

B.I.G.

275

INSTITUTUL GEOLOGIC

DĂRI DE SEAMA  
ALE  
ȘEDINȚELOR

VOL. LIX  
1972

4. STRATIGRAFIE

9105

BUCUREȘTI  
1973



Institutul Geologic al României



Institutul Geologic al României





INSTITUTUL GEOLOGIC

DĂRI DE SEAMĂ

A L E  
S E D I N T E L O R

VOL. LIX  
(1972)

4. STRATIGRAFIE

95/63

BUCUREȘTI  
1973.



Institutul Geological al României



#### 4. STRATIGRAFIE

### DEVONIAN — CARBONIFERUL INFERIOR EPIMETAMORFIC DIN POIANA RUSCĂ<sup>1</sup>

DE

HANS G. KRÄUTNER<sup>2</sup>, MIRCEA MUREŞAN<sup>2</sup>, VIOLETA ILIESCU<sup>2</sup>, SILVIA MÎNZATU<sup>2</sup>  
ELEONORA VIJDEA<sup>2</sup>, ANCA TĂNĂSESCU<sup>2</sup>, MAGDALENA IONCIUCĂ<sup>2</sup>, ANCA  
ANDĂR<sup>2</sup>, SERBAN ANASTASE<sup>3</sup>

#### Abstract

Epimetamorphic Devonian Lower Carboniferous from the Poiana Ruscă Mountains. The correlation of palynological data with isotopic ages ( $Pb/Pb$ ;  $K/Ar$ ) and lithostratigraphical correlations with the Paleozoic sequences from Central Europe allowed the following dating of the epimetamorphic sequence of the Poiana Ruscă Crystalline; Bârlna Series — Lower Paleozoic (Predevonian); Govăjdia Series — Lower Devonian; Ghelar Series — Middle and Upper Devonian; Padeş Series — Lower Carboniferous. The whole sequence was metamorphosed in the Sudec phase. The Hercynian tectonic deformation was developed in two symmetamorphic stages ( $E_1$  and  $S_2$ ) in the course of the Sudec phase, followed during the Saalic phase by a third, late deformation stage ( $S_3$ ).

Formațiunile cristaline din masivul Poiana Ruscă se încadrează în două unități tectonice majore separate printr-o dislocație direcțională prealpină, reactivată parțial în mișcările laramice: unitatea mezometamorfică în sud, care include în cea mai mare parte formațiuni precambriene ale seriilor de Sebeș-Lotru și de Tincova (Cumpăna-Cozia?) și unitatea epimetamorfică în nord, alcătuită din „cristalinul de Poiana Ruscă” care constituie obiectul lucrării de față.

Noțiunea „cristalin de Poiana Ruscă” desemnează un ansamblu de depozite paleozoice terigene, carbonatice și magmatogene, alcătuit din două stive cu succesiuni specifice, separate printr-o discordanță stratigrafică și

<sup>1</sup> Comunicare în ședință din 18 februarie 1972.

<sup>2</sup> Institutul Geologic, Șos. Kiseleff nr. 55, București.

metamorfozate împreună în decursul fazei sudete a orogenezei hercinice. În consecință, formațiunile cristalinului de Poiana Rusă reprezintă în ansamblul lor o provincie metamorfică hercnică.

În afara limitelor masivului, cristalinul de Poiana Rusă se extinde spre est, nord și vest sub cuvertura sedimentară a bazinelor limitrofe și reapare la zi în insula cristalină de la Rapolt. În fundamentul bazinului Strei este cunoscut în foraje și pe baza datelor geofizice (Ionescu et al., 1963, 1969) pînă la nord de Munții Sebeș. Extinderea formațiunilor cristalinului de Poiana Rusă se poate presupune de asemenea sub cuvertura sedimentară din zona sudică a geosinclinalului Mureșului, luîndu-se în considerare ivirile de roci metamorfice similare din regiunea Tisa-Ionească (Peltz, Peltz, 1965).

Orizontarea litostratigrafică a cristalinului de Poiana Rusă reprezintă rezultatul unor cercetări îndelungate, începute în 1958 în regiunea Teliuc-Ghelar (Maior et al., 1964) și sintetizate, la scară masivului, în perioada 1965—1968 (Kräutner et al.,<sup>3,4</sup>, 1969). Corelarea acestor date litostratigrafice cu rezultatele studiilor palinologice și radiocronologice (K/Ar, Pb comun), precum și paraleлизări cu unele formațiuni paleozoice din Europa centrală datează paleontologic, permit în prezent unele precizări asupra vîrstei formațiunilor din cristalinul de Poiana Rusă și datarea metamorfismului acestuia.

În urma studiilor și corelațiilor menționate rezultă pentru cristalinul de Poiana Rusă succesiunea stratigrafică redată în tabelul 1. Echivalarea subdiviziunilor stratigrafice adoptate în lucrarea de față cu diferiți termeni litostratigrafici utilizati în cercetările anterioare este indicată în tabelul 2.

Vîrsta sistemelor cristaline și în special a masivelor dolomitice din cristalinul de Poiana Rusă a fost mult controversată, fiind legată de problema complexă a vîrstei formațiunilor metamorfozate din nucleele cristaline ale orogenului alpin carpatic. Astfel, prin numeroasele afirmații și contraafirmații făcute pînă în prezent, rocilor cristaline din unitatea epi-

<sup>3</sup> H. G. Kräutner, Florentina Kräutner, M. Mureșan, Georgeta Mureșan. Prezentarea hărții 1 : 50.000 a formațiunilor cristaline din unitatea epimetamorfică a masivului Poiana Rusă. 1965. Arh. Inst. Geol. București.

<sup>4</sup> H. G. Kräutner, Florentina Kräutner, M. Mureșan, Georgeta Mureșan. Sincronă geologică a unității epimetamorfice din masivul Poiana Rusă. 1968. Arh. Inst. Geol. București.

metamorfică a masivului Poiana Rusca li s-au atribuit aproape toate vîrstele posibile începînd din Precambrian pînă în Triasic.

Rîseanului i-a fost atribuit complexul șisturilor verzi tufogene din Poiana Rusca, de către D e s s i l a - C o d a r c e a (1964), pe baza paralelizării lui cu seria de Sibiul, afirmație reluată de M u r e ș a n (1964).

TABELUL 1

*Sucesia stratigrafică din cristalinul de Poiana Rusca*

Vîrstă	Seria	Entități litostratigrafice	
		Complexul Facies nordic	Complexul Facies sudic
Carbonifer inferior	Seria de <i>Padez</i> (Pd)	Pd <sub>3</sub> Complexul șisturilor sericito-cloritoase și al metatufurilor acide de <i>Leșnic</i>	
		Pd <sub>2</sub> Complexul șisturilor sericito-cloritoase supradolomitice de <i>Giadna</i>	
		Pd <sub>1</sub> Complexul șisturilor sericito-cloritoase și al dolomitelor de <i>Hunedoara Luncani</i>	Seria de <i>Nădrag</i> (Nd)
Devonian superior	Seria de <i>Ghelar</i> (Gh)	Gh <sub>2</sub> Complexul șisturilor sericito-cloritoase cu intercalări de roci carbonatice și de metatufuri bazice Gh <sup>N</sup> <sub>2</sub> de <i>Bega</i>	Gh <sub>2</sub> de <i>Cernișoara-Floresc</i>
Devonian mediu		Gh <sub>1</sub> Complexul șisturilor verzi tufogene Gh <sup>N</sup> <sub>1</sub> de <i>Iazuri</i>	Gh <sup>S</sup> <sub>1</sub> de <i>Ruschița-Alun</i>
Devonian inferior	Seria de <i>Gavăjdia</i> (Gv)	Gv <sub>2</sub> Complexul șisturilor grafitoase	
		Gv <sub>1</sub> Complexul șisturilor cuarțoase sericito-cloritoase	
Pre- Devonian (Paleozoic inferior ?)	Seria de <i>Bâtrina</i> (Bt)		

Vîrstă precambrian-superior-paleozoic-inferioară a fost presupusă de Kräutner et al.<sup>5</sup>, pe baza determinărilor palinologice și de vîrstă absolută existente la data respectivă: identificarea unor resturi de fito-

<sup>5</sup> Op. cit. pct. 3.

TABEL  
*Rechizivarea subdiviziunilor stratigrafice ale cristalinului de Poiana*

		Kräutner et al., 1969		Maior et al., 1969		Mureșan, 1968	
	Pd <sub>3</sub>	Facies nordic Complexul șisturilor sericito-cloritoase și al metatufurilor acide (de Vetecl) (C <sub>3</sub> )	Facies sudic			Complexul superior al șisturilor sericito-cloritoase și al metatufurilor acide	
Carbonifer inferior Seria de Pades Pd	Pd <sub>2</sub>	Seria de Pades (C)		?	Complexul șisturilor sericito-cloritoase supradolomitice (C <sub>2</sub> )	Seria terigenă superioară (de Pades)	Complexul mediu al șisturilor sericito-cloritoase (supradolomitice)
	Pd <sub>1</sub>		Complexul șisturilor sericito-cloritoase și al dolomitelor de Hunedoara-Luncani (C <sub>1</sub> )	Seria de Nădrag Nd			Complexul inferior al șisturilor sericito-cloritoase și al dolomitelor
Devonian superior Seria de Chelari Gh	Gh <sub>2</sub>	Seria vulcanogenă bazică (B)	Complexul șisturilor sericito-cloritoase cu intercalații de roci verzi lufogene (B <sub>2</sub> )		Complexul șisturilor verzi lufogene (de Ruschița-Alun B')	Complexul vulcanogen superior	
Devonian mediu	Gh <sub>1</sub>	Seria vulcanogenă bazică (B)	Complexul șisturilor verzi lufogene (de Arânciș-Dimbu Pascului) (B <sub>1</sub> )		Complexul șisturilor verzi lufogene	Seria vulcanogenă bazică (de Tonștei)	Complexul vulcanogen inferior
Devonian inferior Seria de Govăjdia Gv	Gv <sub>2</sub>		Complexul șisturilor grafitoase (A <sub>2</sub> )		Complexul șisturilor grafitoase	Bâtrina	Complexul șisturilor grafitoase
	Gv <sub>1</sub>	Seria de Bâtrina (A)	Complexul șisturilor sericito-cloritoase cuarțilice (A <sub>1</sub> )		Complexul șisturilor cuarțilice sericito-cloritoase		Complexul șisturilor cuarțoase sericito-cloritoase
Palcozoic inferior (?) Seria de Bâtrina Bt		Seria de Bâtrina	Complexul șisturilor grafitoase cu intercalății de roci verzi lufogene		Complexul șisturilor grafitoase cu intercalății de roci verzi lufogene	Seria terigenă lufenită (de Bâtrina)	Complexul șisturilor grafitoase cu intercalății de roci verzi lufogene



## LUL 2

Rusca cu diferiți termeni lithostratigrafici utilizati anterior

Maier et al., 1968	Maier et al., 1968	Maier et al., 1967	Pavelescu et al., 1964	Maier et al., 1964
Complexul superior filitic ( $C_1$ ) Complexul șisturilor sericito-cloritoase cu porfirioide ( $C_1 \rightarrow D_2$ )	Complexul filitelor ( $C_1$ )	Complexul superior al șisturilor clorito-sericitoase	—	—
Complexul șisturilor tufogene bazice ( $D_{1-2}$ )	Complexul șisturilor tufogene bazice ( $D_2$ )	—	Complexul șisturilor sericito-cloritoase supérieure	Complexul șisturilor cuarțoase cu clorit și sericit
Complexul șisturilor grafitoase ( $D_{1-2}$ )	Complexul șisturilor grafitoase	—	Complexul șisturilor verzi (tufogene)	Complexul șisturilor tufogene (cu zăcăminte de fier)
Complexul șisturilor sericito-cloritoase cuarțitoase ( $S-Cm_2$ )	Complexul șisturilor sericito-cloritoase cuarțitoase	—	Complexul șisturilor grafitoase	Complexul șisturilor grafitoase
Complexul șisturilor grafitoase cu intercalări de roci verzi tufogene ( $S-Cm_2$ )	Complexul cuarțitelor și al șisturilor grafitoase cu intercalări de șisturi tufogene	—	—	Complexul cuarțitelor și al șisturilor grafitoase cu intercalări de șisturi tufogene



planeton (Ilieșcu, 1964<sup>6</sup>) atribuit în acea vreme Precambrianului și prima analiză de vîrstă izotopică ( $Pb$  comun + 760<sup>6</sup> ani) asupra minereurilor de la Muncelul Mic (Vîjdă, 1964)<sup>7</sup>. Ulterior autorii au extins intervalul de timp în care se situează formarea cristalinului epimetamorfic pînă în Carbonifer inferior (Krautner et al., 1969), pe baza asociațiilor microfloristice carbonifere puse în evidență de Ilieșcu (1964).

*Vîrstă paleozoică* a fost susținută de numeroși cercetaitori pe considerente variate. Astfel Halava (1903, 1904, 1905) atribuie dolomitelor de Hunedoara, considerate drept partea superioară a cristalinului, vîrstă devoniană. Dolomitele, filitele și cuartitele negre (lidite) din nord-vestul masivului au fost considerate de Schafarzik (1903, 1904, 1905, 1906) ca formațiuni paleozoice care repauzează pe șisturi cristaline mai vechi. Tot pentru dolomitele din partea de nord-vest a Munților Poiana Ruscă fusese presupusă vîrstă paleozoică și de Loes (1882). Rocile porfiroide din nord-estul masivului au fost atribuite Devonianului de Nopcsa (1905), pe baza paralelizării lor cu formațiunile asemănătoare din Gemicide. Cantuniar (1941) consideră rocile epimetamorfice din regiunea Ruschița ca devoniene, în urma paralelizării intercalatiilor de calcare cristaline cu calcarele devoniene din Dobrogea. Prin paralelizarea formațiunilor dolomitice și calcaroase precum și a minereurilor de fier din Poiana Ruscă cu formațiunile ferifere și recifale siluriene din Europa, Asia și America, Pașiu et al. (1963) presupun vîrstă siluriană, cu posibilitatea de a urca pînă în Devonian pentru masivele dolomitice, minereurile de fier și șisturile sincrone; șisturile inferioare dolomitelor, provenite din metamorfozarea fundamentalui recifilor, autorii menționati le atribuie Cambrian-Precambrianului, iar șisturile superioare dolomitelor Devonianului.

Pentru intervalul de timp în care au luat naștere rocile cristaline din partea de NW a masivului Poiana Ruscă, Chișu (1964) acceptă o ipoteză similară celei emise de Pașiu et al. (1963). Vîrstă paleozoică a formațiunilor cristaline din Poiana Ruscă a fost presupusă și de Kosareva, Borgheș (1963) prin referire la evoluția geologică a spațiului carpato-balcanic în accepțiunea lui Slavin (1963 a, b); astfel, de exemplu, formațiunile carbonatice recifale sunt încadrate Devonianului inferior, iar șisturile verzi tufogene, Devonianului mediu și superior. Pe baze paleontologice vîrstă paleozoică (carboniferă) a fost atribuită unor formațiuni

<sup>6</sup> Violeta Ilieșcu. Studiu palinologic al depozitelor paleozoice de la Secul-Doman și al șisturilor cristaline din Poiana Ruscă. 1964. Arh. Inst. Geol. București.

<sup>7</sup> Eleonora Vîjdă. Experimentarea unor metode de determinare a vîrstelor absolute. 1964 (manuscris).

epimetamorfice din Poiana Rusca pentru prima dată de Iliescu (1964)<sup>8</sup> în urma determinării unei asociații de spori carboniferi în sisturi grafitoase. Pe baza acestor asociații Dessimila-Codarcea (1967) încadrează partea inferioară a succesiunii din Poiana Rusca Paleozoicului inferior, iar partea superioară — situată deasupra dolomitelor de Hunedoara — Carboniferului inferior, presupunând totodată o discordanță stratigrafică între cele două formațiuni de vîrstă diferite. Ulterior pe baza unei noi asociații microfloristice, considerată carbonifer inferioară (determinată de Violete Iliescu), Maier et al. (1968) atribuie Carboniferului inferior sisturile și rocile carbonatice („complexul filitic”) corespunzătoare serici de Pădes, Devonianului mediu, formațiunile seriei vulcanogene bazice („complexul sistemelor tufogene bazice”), remarcind asemănarea acestuia cu Devonianul mediu de tip renan; pentru partea inferioară a stivei epimetamorfice autorii acceptă formarea în Paleozoicul inferior.

În 1968 Maier et al.<sup>9</sup>, și mai recent Maier<sup>10</sup>, completează această schemă prin separarea unui „complex al sistemelor sericito-cloritoase cu porfirioide” pe care îl atribuie Devonianului superior -Carboniferului inferior. Autorii menționați consideră că peste acest complex se află dispus transgresiv „complexul superior filitic” atribuit de asemenea Carboniferului inferior. Devonianului mediu și inferior atribuie „complexul sistemelor tufogene bazice” și „complexul sistemelor grafitoase”. Cele două complexe stratigrafice inferioare din unitatea epimetamorfică sunt considerate a corespunde Silurianului și eventual Cambrianului superior.

În urma reinterpretării datelor palinologice existente și pe baza primelor date prin metoda K/Ar efectuate de Minzatu et al. (1968)<sup>11</sup> asupra sistemelor cristaline din masiv, Kräutner et al. (1968)<sup>12</sup> atribuie: seria de Pădes intervalului Devonian superior! -- Carbonifer inferior; seria vulcanogenă bazică Devonianului mediu și superior; complexele

<sup>8</sup> Op. cit. pet. 6.

<sup>9</sup> O. Maier, I. Solomon, P. Zimmermann, Veichița Zimmermann. Raport geologic de sinteză în Munții Poiana Rusca — zona sudică. 1968. Arh. I.G.P. București.

<sup>10</sup> O. Maier. Studiul geologic și petrografic al masivului cristalin Locea. Rezumatul tezei de doctorat. 1970. București.

<sup>11</sup> Silvia Minzatu, Maria Lemne, Anca Tănasescu, Magdalena Ionciucă, Eleonora Vijdea, Elena Colios. Determinări de vîrstă prin metoda K/Ar. 1967. Arh. Inst. Geol. București.

<sup>12</sup> Silvia Minzatu, Maria Lemne, Anca Tănasescu, Magdalena Ionciucă, Anca Andăr, Eleonora Vijdea, S. Anastase. Determinări de vîrstă absolută a formațiunilor geologice din R. S. România. 1968. Arh. Inst. Geol. București.

<sup>13</sup> Op. cit. pet. 4.

**A<sub>3</sub>** și **A<sub>2</sub>** din seria de Bătrâna (în acceptiunea anterioară — reunite în lucrarea de față în seria de Govăjdia) Devonianului inferior? — Devonianului median; complexul **A<sub>1</sub>** al seriei de Bătrâna (în acceptiunea anterioară) Paleozoicului inferior (pre-Devonian).

Triasicul i-a fost atribuite dolomitele de Hunedoara, de Nopcsa (1905), pe baza paralelizării cu depozitele triasice din Munții Apuseni și a considerării lor ca termen stratigrafic superior rocilor porfiroide din Poiana Rusca, presupuse devoniene. Vîrstă triasică a dolomitelor de Hunedoara a fost acceptată și de Măcel (1923).

### 1. Datarea palinologică

Cercetările palinologice în cristalinul de Poiana Rusca au început din 1964 cind Iliescu pune în evidență unele asociații de spori caracteristice Carboniferului inferior. Ulterior Măier et al. (1968) semnalază o nouă asociație microfloristică carbonifer-inferioră, determinată de asemenea de Violeta Iliescu, în filitele seriei de Padeș din partea nordică a masivului. Reînarcerea determinărilor de spori în formațiunile epimetamorfice din Poiana Rusca permite, în stadiul actual, precizarea a trei puncte fosilifere în care asociațiile palinologice (tab. 3) (vezi planșele I, II și III) dau indicații asupra vîrstei rocilor cristaline din care provin.

Pet. 1 Iazuri (foraj 15) — calcar stratificat intercalat în sisturile verzi lutogene ale complexului inferior ( $Gh_1^N$ ) din seria de Ghelar;

Pet. 2 Crivina — Valea Lungă (associația semnalată de Măier et al., 1968) — filit sericitos intercalat în rocile dolomitică din partea inferioră a dolomitelor de Hunedoara-Luncani (partea inferioră a complexului  $Pd_1$  din seria de Padeș);

Pet. 3 Valea Bisericii (afuent drept al văii Runcului în dreptul localității Runc) — filit sericito-grafitos cu urme organice macroscopice, nedeterminabile, intercalat în orizontul superior al dolomitelor de Hunedoara, în zona de indinare dintre rocile carbonatice și sisturi (partea superioară a complexului  $Pd_1$  din seria de Padeș).

La acestea se adaugă un alt patrulea punct fosilifer, care nu dă indicații directe asupra rocilor gazdă întrucât conține o asociație migrată pe un plan de falie.

Pet. 4 Valea Govăjdia (în zona confluentei cu valea Inorii, în aval de tunelul Ghelar-Teliuc) — breccie tectonică (de falie) în sisturile grafitoase din partea bazală a complexului inferior ( $Gh_1^S$ ) din seria de Ghelar.

De asemenea s-au pus în evidență în cîteva probe din seria de Ghelar și în seria de Padeș resturi fosile ale unor organisme fitoplanctonice, de circulație stratigrafică relativ largă, care indică sedimentarea în mediu marin a formațiunilor celor două serii.



TABELL 3

Conținutul microflocularilor cristalinului de *Poiana Ilisei*

- a) Cariera din drumul Teliuc-Ghelar (la est de Ghelar). Calcare din orizontul calcar alb-dolomit negru (complexul  $Gh_2$  din seria de Ghelar).
- b) Valea Ciulpăz (Groși). Șist sericito-grafitos din baza orizontului Tomcști-Groși (partea superioară a complexului  $Gh_2^N$  din seria de Ghelar).
- c) Mină de talc Govăjdia. Steatit cenușiu intercalat în dolomitele de Hunedoara (complexul  $Pd_1$  din seria de Padeș).

Asociația identificată în calcarele din seria de Ghelar (vulcanogenă bazică) de la Iazuri (pet. fosilifer 1) se încadrează în Devonian (tab. 3). Întrucât formele *Emphanisporites* sp. și *Retusotriletes* sp., caracteristice pentru Devonian în general, apar asociate cu *Leiotriletes minutus* (K n o x.) P o t. și *Geminospora* sp., cunoscute în Devonianul inferior și mediu și cu *Leiotriletes cf. marginalis* M c . G r e g o r , dezvoltat cu precădere în Devonianul mediu, se poate preciza încadrarea complexului, șisturilor verzi tufoogene ( $Gh_1$ ) în Devonianul mediu.

Conținutul microfloristic pus în evidență în partea bazală și mediană a seriei de Padeș (tab. 3) (punctele fosilifere 2, 3 - valea Orivina și valea Bisericii) indică vîrstă carboniferă prin asociația formelor *Leiotriletes galferus* P o t . K r e m p ., *Ahrensisporites* sp. și *Lycospora* sp., asociație care acoperă întregul interval al Carboniferului. Având în vedere pe de o parte vîrstă K/Ar de 320 m.a. (faza sudetă) obținută pentru metamorfismul cristalinului de Poiana Rusă, iar pe de altă parte dispunerea transgresivă a molasei hercinice nemetamorfozate, începînd cu Westfalianul peste formațiunile metamorfozate din Banat (Năstăseanu et al., 1971), atribuim seria de Padeș în întregime Carboniferului inferior.

În concluzie se realizează în acest fel pe profilul succesiunii litologice din dezvoltarea în faciesul nordic al seriilor de Ghelar și de Padeș, trei nivele de referință care prin poziția lor indică situația în Devonianul mediu a părții inferioare a seriei de Ghelar (complexul  $Gh_1$ ) și faptul că seria de Padeș se repartizează în întregime Carboniferului inferior. Întrucât între cele două serii cristaline există continuitate de sedimentare, rezultă că partea superioară a seriei de Ghelar (complexul  $Gh_2^N$ ) corespunde Devonianului superior.

Prezența Carboniferului inferior în cristalinul de Poiana Rusă este confirmată și de asociația microfloristică exclusiv carboniferă identificată în brecia de falie din formațiunile devoniene ale seriei de Ghelar de pe valea Govăjdia (pet. fosilifer 1). Materialul analizat se caracterizează, spre deosebire de celelalte trei probe, printr-un conținut de spori foarte bogat și bine conservat. Presupunem că este vorba de o levigare și concentrare a unor spori din formațiunile carbonifere inferioare ale seriei de Padeș.

În această ipoteză circulația sporilor pe planul de fali, datorată transportului tectonic și a levigării prin apele meteorice descendente, se poate aprecia, în urma reconstituirii stivei de formațiuni cristaline erodate, la minimum 300—400 m.

Luând în considerare pe de o parte conservarea bună a sporilor iar pe de altă parte prezența formei *Leiotriletes adnatoides* cîtată în Carboniferul superior (Namur-Stefanian) nu este exclsiv ca asociația amintită să provină în parte dintr-o concurtură sedimentară carbonifer-superioră transgresivă pe cristalinul de Poiana Rusca, actualmente erodată. Acest punct de vedere este sprijinit de altfel și de asemănarea conținutului microfloristic al probei 4 cu cel cunoscut în Carboniferul superior de la Secu-Doman.

## 2. Datarea cu izotopii plumbului

Probele luate în studiu în vederea determinării vîrstei izotopice provin din minereurile de blendă și galenă exploatațe la Muncelul Mic (probele 4, 5, 6, 7) și din ivirile de galenă, barită și fluorină de la Românești (probele 1, 2, 3).

Zăcământul de la Muncelul Mic este legat genetic de magmatismul acid care a generat rocile metariolitice și metakeratofitice din complexul superior ( $Pd_3$ ) al seriei de Padă. Minereul apare într-o legătură spațială strinsă cu producțele intrusiv și extrusiv ale acestui magmatism, localizate în partea superioară a seriei de Padă ( $Pd_1$ ). Din punct de vedere genetic reprezintă o concentrație hidrotermală filoniană și de impregnație, recristalizată și parțial mobilizată în decursul metamorfismului regional al cristalinului de Poiana Rusca (Kraluțiu et al., 1963). Minereul de la Românești (probele 1, 2, 3) este reprezentat prin filoase și cuiburi de galenă asociate cu fluorină, barită și cuarț, localizate într-o breccie premetamorfică constituită din sisturi cuarțitice sericitico-cloritoase și cuarțite negre din complexul superior al seriei de Ghelar ( $Gh_2^S$ ). Caracterele structurale ale minereului care atestă o origine premetamorfică și poziția geologică permit presupunerea unei afiliații a acestei mineralizații hidrotermale față de magmatismul acid manifestat în timpul formării complexului superior ( $Pd_3$ ) din seria de Padă (Mureșan, 1964).

Proba 8 a fost recoltată din minereul ankeritic exploatat în cariera Teliuc. Ea reprezintă o concentrație locală de galenă forinată prin mobilizarea sinmetamorfică a plumbului din minereul sideritic și ankeritic cu galenă întărit sporadic în zăcământul Teliuc.

Minereul acestui zăcământ provine din metamorfozarea regională a unor acmumulații vulcanogen-sedimentare de carbonați de fier, asociată metatufulilor diabazice și spilitice din complexul inferior ( $Gh_1^S$ ) al seriei de Ghelar.

Întrucât probele analizate provin în totalitate din concentrații premetamorfice de minereu, datarea lor prin izotopii plumbului poate da indicații asupra vîrstei formațiunilor din cristalinul de Poiana Rusca.

TABELUL 4  
*Compoziția izotopică a plumbului din galene*

		204%	206%	207%	208%
1	Românești 5	1,357	24,942	21,505	52,181
2	Românești M <sub>1</sub>	1,367	24,782	21,542	52,289
3	Românești M <sub>2</sub>	1,354	25,112	21,637	51,911
4	Muncelul Mic 6	1,387	25,432	21,753	51,403
5	Muncelul Mic 7	1,369	25,252	21,596	51,784
6	Muncelul Mic G <sub>1</sub> <sup>+</sup>	1,363	25,207	21,347	51,986
7	Muncelul Mic G <sub>2</sub> <sup>+</sup>	1,361	23,015	21,471	52,158
8	Telinc 10	1,371	24,725	21,809	52,128

<sup>†</sup> Probe colectate de A. Garău.

Analizele izotopice (tab. 4) au fost efectuate cu spectrometrul de masă MI—1305. Plumbul s-a extras din galenă sub formă de iodură. Abundențele izotopice relative ale plumbului au fost determinate cu o eroare de 1%.

Deși pentru minereurile cu galenă analizate situația geologică implică acceptarea unor vîrstă apropiate, parțial chiar identice (probe din același zăcămînt), rezultatele obținute pun în evidență lipsa unei omogenități în constituția izotopică a plumbului din probele luate în studiu, fapt care determină o dispersare a punctelor reprezentative în diagramele din figurile 1 și 2. Într-o oricare măsură acest lucru se datorează desigur abaterii de pînă la 1% dateă de aparatura utilizată pentru determinarea abundențelor izotopice relative prin metoda monoradială folosită. Gruparea probelor în funcție de compoziția lor izotopică după cele trei surse de proveniență, indică însă realitatea existenței unei diferențieri izotopice în materialul analizat.

Astfel, se constată în galena de la Telinc (proba 8) un exces de plumb 207 (fig. 1, 2) care conduce la vîrstă-model aberante (tab. 5), în timp ce galenele de la Muncelul Mic și Românești prezintă abundențe izotopice apropiate de banda de creștere ( $\mu=8,99\pm0,7$ ), a raportului  $^{207}\text{Pb} : ^{206}\text{Pb}$ ,  $^{207}\text{Pb} : ^{204}\text{Pb}$ , determinată de evoluția raportului  $^{238}\text{U}/^{204}\text{Pb}$  în decursul timpului, geologic.



TABELUL 5

Raportările izotopice ale plumbului și urșilor metale

		206	207	208	206	207	206	207	208	Model H-H <sup>*</sup> $t_0 = 4,31 \cdot 10^9$	Model H-H <sup>*</sup> $t_0 = 4,56 \cdot 10^9$	Model R-S <sup>*</sup> $t_0 = 4,56 \cdot 10^9$	$10^6$ ani grafie 206/207- 206/204** $L_0 = 4,55 \cdot 10^9$
204	204	206	207	208	206	207	206	207	208				
1	Românești	18,380	15,817	38,455	0,478	0,412	1,159	100	270	290			
2	Furănești	18,132	15,761	38,258	0,471	0,412	1,150	350	340	400			
3	Românești	18,546	15,980	38,339	0,484	0,417	1,160	505	300	276			
4	Muncel Mic	18,950	15,685	37,060	0,435	0,428	1,169	300	90	170			
5	Muncel Mic	18,445	15,775	37,826	0,487	0,417	1,169	344	130	170			
6	Muncel Mic <sup>o</sup>	18,487	15,729	38,126	0,485	0,412	1,175	280	40	100			
7	Muncel Mic	18,378	15,774	38,320	0,479	0,412	1,165	350	180	215			
8	Telnic	18,034	15,907	38,022	0,474	0,418	1,134	780***	600***	570***			

\*  $a_0 = 9,50$  Media valorilor pentru meteoritii Henbury și Canyon Diablo (Patterson, 1966)  
 $b_0 = 10,96$

\*\*  $a_0 = 9,56$  (Nathry și Patterson, 1962)  
 $b_0 = 10,42$

\*\*\* Plumb anomal de tip B.  
<sup>o</sup> Probe colectate de A. Gurău.

A

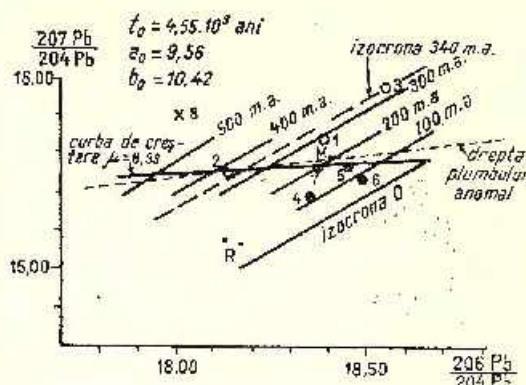


Fig. 1. Grafice  $\frac{207\text{Pb}}{204\text{Pb}}$  —  $\frac{206\text{Pb}}{204\text{Pb}}$  cu izocrone pentru valori diferențiale  $t_0$ ,  $a_0$ ,  $b_0$ .

Graphiques  $\frac{207\text{Pb}}{204\text{Pb}}$  —  $\frac{206\text{Pb}}{204\text{Pb}}$  à isochrones pour des valeurs différentes  $t_0$ ,  $a_0$ ,  $b_0$ .

B

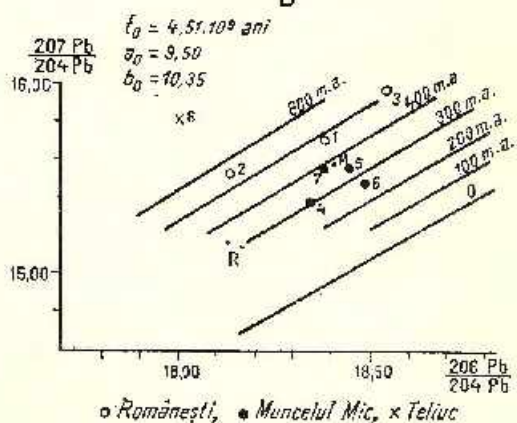
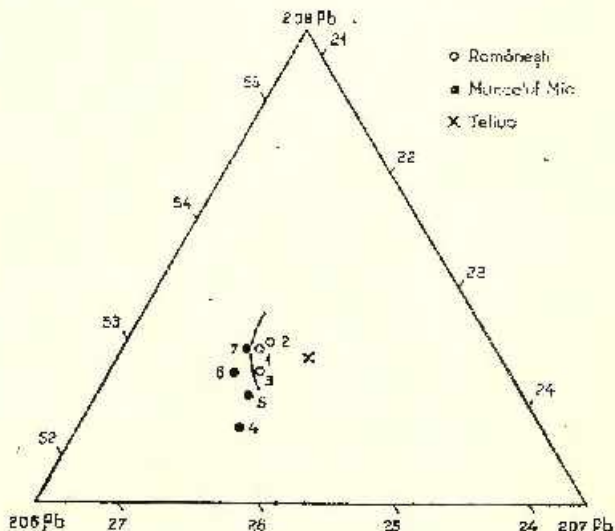


Fig. 2. — Compoziția isotopică a plumbului din galene.

Composition isotopique du plomb des galènes.



A vom în acest fel o indicație asupra faptului că metalogeneza asociată magmatismului bazic din seria de Ghelar și cea afiliată magmatitelor acide din seria de Padeș sunt legale de surse care au evoluat un timp în domenii cu grade diferite de contaminare a plumbului primar cu plumb radiogen.

Galenele de la Muncelul Mic se diferențiază la rindul lor de acelea de la Românești datorită conținutului mai ridicat în  $^{206}\text{Pb}$ , iar pe de altă parte datorită tendinței de descreștere a  $^{208}\text{Pb}$  (fig. 2). Pe lîngă diferențierea datorită raporturilor izotopilor radiogeni proveniți din  $^{235}\text{U}$  și  $^{238}\text{U}$  se remarcă deci și o tendință de diferențiere pe baza plumbului rezultat din desintegrarea  $^{232}\text{Th}$ . În cazul în care contaminarea nu se explică printr-un fenomen petrecut în decursul procesului de punere în loc a mineralizației (contaminare crustală premetamorfică sau contaminare în decursul mobilizării sinmetamorfice a zăcămîntului Muncelul Mic), consanguinitatea minereurilor de la Muncelul Mic și Românești trebuie pusă sub semnal întrebării.

Din cele arătate rezultă că, cel puțin în parte, plumbul din Poiana Rusca nu a evoluat într-un sistem închis pînă în momentul fixării lui în galenele din zăcămînte menționate. Fiind deci vorba de un plumb anomal, modelele de calcul ale vîrstelor geologice bazate pe un singur stadiu de evoluție nu sunt aplicabile. Vîrstele, în parte aberante, obținute prin diferite modele (tab. 5), confirmă de altfel această concluzie.

Deși situația geologică indică vîrste apropiate<sup>13</sup> pentru minereurile de la Românești și Muncelul Mic, totuși rapoartele izotopice determinate se grupează pe graficul  $^{207}\text{Pb}/^{204}\text{Pb} - ^{206}\text{Pb}/^{204}\text{Pb}$  (fig. 1) în două domenii diferențiate de vîrstă. Trebuie să admitem deci fie (a) o contaminare radiogenă selectivă la unul din cele două zăcămînte, situație în care putem obține indicații de vîrstă asupra plumbului necontaminat prin graficul izocronelor H - H, sau (b) o contaminare radiogenă (plumb anomal), comună ambelor grupă de minereu în care caz se poate apela la modelul bistadial Kanasewich pentru a obține indicații asupra timpului de formare al galenelor analizate.

a) Modelul Holmes-Houtermans admite după timpul de formare a plumbului primitiv ( $t_0$ ) apariția unor diferențieri regionale în rapoartele U/Pb și Th/Pb. Acest fapt se concretizează prin variabilitatea rapoartelor izotopice în minereuri de plumb de aceeași vîrstă. Rapoartele izotopice ale galenelor sincrone se mențin însă într-o relație liniară, care transpusă într-un grafic de coordonate  $^{207}\text{Pb}/^{204}\text{Pb} - ^{206}\text{Pb}/^{204}\text{Pb}$ , constituie o izocronă. Kanasewich (1968) demonstrează însă că în unele cazuri

<sup>13</sup> Intervalul de timp corespunzător formării seriei de Padeș.

relația liniară constatătă în cadrul unui grup de galene eogenetice este dată de erozi survenite în determinarea  $^{204}\text{Pb}$ , și deci nu reprezintă izocrone în sensul Holmes-Houtermans. Întrucât însă linile de eroare ale  $^{204}\text{Pb}$  formează un unghi mic cu izocronalele H-II ele pot da indicații asupra vîrstei izotopice, în special în banda de creștere în domeniul cărcia eroare sint minime.

În graficul izocronelor calculat pentru vîrsta plumbului primîiv ( $t_0 = 4,55 \cdot 10^9$  ani, probele de la Românești se grupează între izocronale  $300 - 360 \cdot 10^6$  ani (media  $= 340 \cdot 10^6$  ani), sau între linile de eroare pentru  $^{203}\text{Pb}$  care intersectează curba de creștere în dreptul raporturilor izotopice corespunzătoare vîrstelor menționate. În această accepțiune plumbul minereului de la Muncelul Mic ar reprezenta un plumb anomal de tip J. Ca termen de comparație au fost plasate în diagramele din figura 1 rapoartele izotopice ale plumbului din zăcăminte clasice de la Rammelsberg și Meggen, și căror formare în Devonianul mediu este bine argumentată paleontologic. Se remarcă asemănarea compoziției izotopice a plumbului de la Muncelul Mic în special față de cea a plumbului de la Meggen. Punctele reprezentative pentru Muncelul Mic, Meggen și Rammelsberg se plasează în același domeniu de vîrste seazăne, aberante. Dacă în schimb admitem valoarea inițială utilizată de H-H pentru vîrsta plumbului primîiv ( $t_0 = 451,10^9$  ani) sistemul de izocrone se deplasează în așa fel încît grupul probelor de la Muncelul Mic, împreună cu cele de la Rammelsberg și Meggen se situează între izocronale  $270 - 380 \cdot 10^6$  ani (media  $= 340 \cdot 10^6$  ani). Plumbul din galenele de la Românești ar reprezenta în acest caz, în accepțiunea II-H, un plumb anomal de tip B.

Concluzia care rezultă din ambele variante de interpretare este că vîrsta reală a galenelor analizate trebuie admisă în intervalul de  $300 - 340 \cdot 10^6$  ani.

b) Modelul bistadial Kanasevich, aplicabil la plumburile anomale care au evoluat în decursul timpului geologic succesiv în două sisteme închise, cu raporturi diferite U-Th-Pb, se bazează pe corelația liniară a raporturilor izotopice ale plumburilor anomale. Dreapta plumbului anomal, mediată printr-un grup de probe, intersectează curba de creștere în două puncte: la  $t_1$  corespunzător modificării raportului U-Th-Pb în sistem și la  $t_2$  corespunzător momentului de fixare a plumbului în minereu. În accepțiunea că atit galenele de la Muncelul Mic cît și cele de la Românești conțin plumb anomal, poate fi mediată o dreaptă a acestuia (fig. 1 A). Intersecția acestei drepte cu curba de creștere în domeniul vîrstei de  $300 \cdot 10^6$  ani ar îndreptăji acceptarea acestei vîrste pentru timpul de formare al mincreurilor de la Muncelul Mic și Românești.

În concluzie se poate afirma că galenele analizate aparțin unei metalogeneze a ciclului hercinic, desfășurată după toate probabilitățile în intervalul de timp  $300 - 340 \cdot 10^6$  ani. Având în vedere legătura genetică dintre minerurile de la Muncelul Mic (și probabil cele de la Românești) cu rocile magmatogene acide din seria de Padeș, acestea din urmă pot fi deci atribuite de asemenea ciclului hercinic, punerea lor în loc situindu-se în Carboniferul inferior.

### 3. Datarea $K^{40}/Ar^{40}$

Majoritatea probelor analizate au fost colectate din foraje sau lucrări miniere, pentru a asigura prospețimea necesară unor determinări în condiții bune. Un număr mare de eșantioane provine de aceea din zona sudică a cristalinului de Poiana Rusă, unde se concentreză majoritatea forajelor. Pentru a asigura totuși o distribuție spațială cît mai omogenă a probelor, au fost analizate și unele eșantioane colectate de la suprafață din zona nordică a masivului. În acest fel repartitia neomogenă a probelor se referă în special la numărul determinărilor de vîrstă și mai puțin la distribuția lor spațială.

Determinarea argonului radiogenic s-a realizat prin metoda volumetrică, în majoritatea cazurilor pe probe integrale și în unele cazuri pe lamele de querbiotit proaspete și bine individualizate. La calcularea vîrstelor s-au folosit următoarele constante:  $\lambda_3 = 4.72 \cdot 10^{-10}$  ani<sup>-1</sup>;  $\lambda_k = 0.557 \cdot 10^{-10}$  ani<sup>-1</sup>;  $K^{40}/K = 1,20 \cdot 10^{-4}$ .

Interpretarea vîrstelor izotopice K/Ar pentru rocile prealpine din teoriile carpatică întîmpină dificultăți cauzate de evoluția tectonică și metamorfică polifazică a subasmențului formațiunilor alpine, nefavorabilă unor determinări de vîrstă prin metode bazate pe reținere de gaze în roci. Regenerările alpine și prealpine permitînd difuzarea și eliberarea argonului în decursul unor faze succeseive de metamorfism și deformare tectonică, an întinerit, pentru volume considerabile de roci, vîrstele izotopice K/Ar obținute prin modul de calcul curent, bazat pe raportul K/Ar existent în rocă în momentul determinării.

Plecind de la relația

$$^{40}\text{Ar} = \lambda e/\lambda + ^{40}\text{K}(e^{2\lambda} - 1)$$

în care  $\lambda/e$  este factorul de proporționalitate a descompunerii  $^{40}\text{K}$  în  $^{40}\text{Ar}$  în unitatea de timp, determinările curente de vîrstă izotopică raportează cantitatea de  $^{40}\text{Ar}$  identificat în rocă la conținutul în K. Acest procedeu implică admiterea: a) lipsei totale a  $^{40}\text{Ar}$  în rocă la timpul inițial și b) refacerea în întregime a  $^{40}\text{Ar}$  produs prin descompunerea  $^{40}\text{K}$ , de la formarea mine-

ralulul pînă în prezent. În natură însă, și în special în formațiunile regenerante, cele două presupunări de obicei nu sunt îndeplinite. De aceea vîrstele astfel obținute, denumite de Harper (1970) „vîrstă model K/Ar”, reprezintă în realitate în majoritatea cazurilor vîrstă aparentă.

Pentru a satisface condițiile din natură trebuie introdus în relație un termen care să reflecte evoluția complexă a modificărilor concentrației de argon din rocă. Harper (1970) propune de aceea formularea:

$$^{40}\text{Ar} = \lambda e^{\lambda} \cdot ^{40}\text{K} (e^{\lambda t} - 1) = \text{Ar}_{\Delta}$$

în care  $\text{Ar}_{\Delta}$  reprezintă diferența în concentrația de argon existentă în rocă în momentul determinării, față de cantitatea de  $^{40}\text{Ar}$  eliberată prin descompunerea K de la formarea mineralului pînă în prezent:

$$\text{Ar}_{\Delta} = \text{Ar}_{\text{existent în rocă}} - \text{Ar}_{\text{din descompunerea K.}}$$

Dacă valoarea  $\text{Ar}_{\Delta}$  este negativă vîrstă model va fi mai mică, iar dacă  $\text{Ar}_{\Delta}$  este pozitivă vîrstă model va fi mai mare față de vîrstă reală. În cazul în care  $\text{Ar}_{\Delta} = 0$ , vîrstă model exprimă vîrstă reală a rocii sau a mineralului.

Pentru determinarea valorii  $\text{Ar}_{\Delta}$ , Harper (1970) propune o soluție grafică care pornește de la presupunerea că într-un grup de probe cogenetice, care au avut aceeași evoluție geologică, valoarea argonului pierdut sau ciștigat rămîne constantă, indiferent de conținutul în K. Într-o reprezentare diagramatică a raportului K/Ar punctele reprezentative ale probelor cogenetice se vor inscrie deci pe o dreaptă a cărei intercepție, pozitivă sau negativă, cu abscisa Ar indică valoarea  $\text{Ar}_{\Delta}$ . Panta dreptei reprezintă expresia  $(e^{\lambda t} - 1)$  și este deci proporțională cu timpul. O astfel de dreaptă este denumită de Harper (1970) izocronă iar vîrstele calculate din pantă izocronice – vîrstă izocrone K/Ar.

Vîrstele model K/Ar și vîrstele izocrone K/Ar sunt echivalente în cazul în care  $\text{Ar}_{\Delta} = 0$  și deci izocrona intercepțieiă abscisa argonului la 0. În cazul unei intercepții negative sau pozitive vîrstele izocrone K/Ar vor fi respectiv mai mari sau mai mici față de vîrstele model K/Ar.

Deși premiza de la care se pleacă în calcularea vîrstelor izocrone K/Ar – valoarea constantă a  $\text{Ar}_{\Delta}$  într-un grup de probe cogenetice, indiferent de conținutul lor în K – pare insuficient fundamentală, aplicabilitatea ei a fost confirmată prin exemplificările existente pînă în prezent. În diagramele construite pentru cîteva regiuni orogene de pe glob, punctele reprezentative se inscriu pe izocrone cu intercepție negativă sau 0. Pierderile de argon se cifrează de regulă la valori de ordinul pînă la  $1-3 \text{ cm}^3/\text{g}^{-1}$  (Harper, 1970).

În datarea vîrstelor izotopice a cristalinului de Poiana Ruscă nu ne limităm de aceea la discutarea obișnuită a vîrstelor aparente obținute prin modelul K/Ar, ci luăm în considerare de asemenea vîrstele izocrone K/Ar ale probelor analizate. O astfel de analiză pare îndreptățită în special dacă se are în vedere faptul că formațiunile cristalinului de Poiana Ruscă reprezintă, din punct de vedere al metamorfismului și al evoluției tectonice, un ansamblu cogenetic îndeplinind în consecință condiția necesară determinării vîrstei izocrone K/Ar.

Reprezentarea grafică a raportului K/Ar pentru probele analizate din cristalinul de Poiana Ruscă (fig. 3) arată o grupare a punctelor repro-

zentative în jurul mai multor linii izocrone. Se conturează astfel o izocronă de  $325 \cdot 10^6$  ani cu interceptia  $\Delta r_A = 0$ , pe care se plasează probele a căror vîrstă model K/Ar corespunde cu vîrsta izocronă K/Ar. Media vîrstelor model K/Ar pentru cele trei determinări este de  $327 \cdot 10^6$  ani. Majoritatea punc-

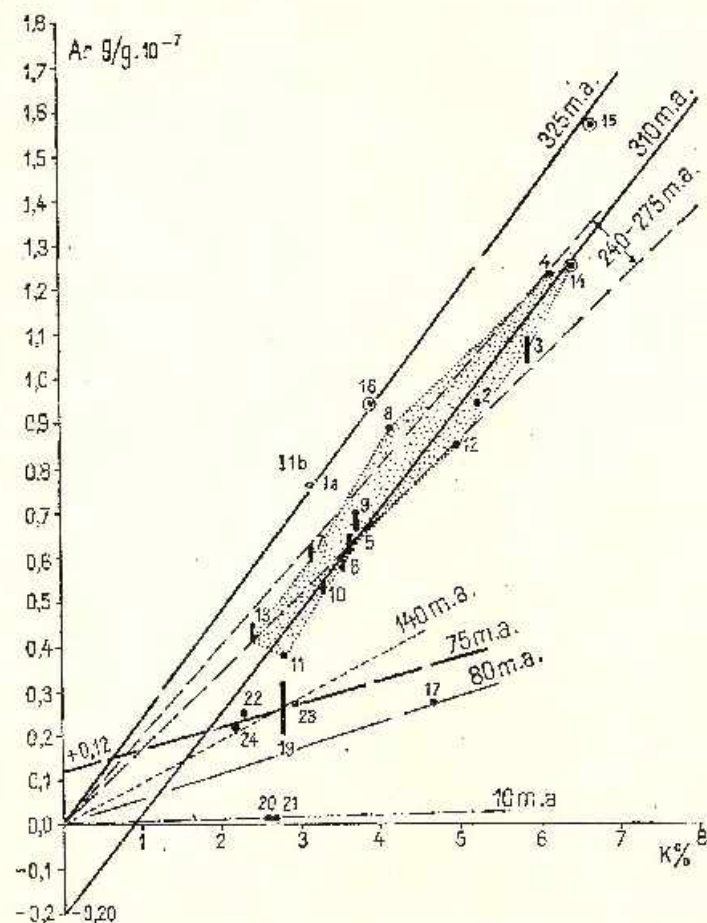


Fig. 3. — Graficul izocronelor K/Ar în cazul unei pierderi constante de Ar, indiferent de concentrația K.

Graphique des isochrones K/Ar au cas d'une perte constante en Ar, sans tenir compte de la concentration K.

tefor se grupează însă într-un spațiu alungit prin care se poate media o izocronă de  $310 \cdot 10^6$  ani cu interceptie negativă la  $\Delta r_A = -0.20 \text{ g/g} \cdot 10^{-7}$ .

TABLEU I.

Vîrfuri isotopice prin metoda  $K/Ar$  volumetrică (analisi: Arcu Tănăsescu, Magdalena Loncea, Anca Andru)

Nr. ct.	Unitatea lectorică și stratigrafică	Rocă	Nr. probelor	Proveniență	Materiale analizat	$K\%$	$\text{KAr}$ gr/g	$T$ , $10^6$ ani	$T$ , $10^6$ ani mediu
1	Subunitatea nordică	Sist cuarțitic servitesc	5	Mina Aluncelul Mic	integral	3,11 2,78	0,913 0,803 0,823	365 386 340	303 ± 23
2		Sist servieto-enartos	6	Mina Muncelul Mic	integral	5,25	0,918	213	
3	Seria de Padese	Metarolit silicific pre- metamorfic	8	Mina Muncelul Mic	integral	5,90	1,038 1,091	242 252	247 ± 5
4		Metarolit tip Săbău	9	Ilăldă gal. Valea Valei	integral	6,18	1,235 1,235	268 268	
5		Metarolit	141/986	Valea Rozalici (Gădina Montarii)	integral	3,65	0,643 0,608	245 236	241 ± 5
6		Sist servito-cloritos	15/314	Valea Siliștii (I.uncatu)	integral	3,58	0,590 0,573	228 222	225 ± 3
7	Seria de țărmă	Sist servieto-cloritos-grafitos	12(169)	Valea Bâtrâna	integral	3,15	0,501 0,590	272 260	266 ± 6
8	Subunitatea Sudică	Sist servito-cloritos-cuarțos	3/20	F. 22112/20 m. - 608,5 ; Ghear-Măchia Moșului	integral	4,16	0,895 0,895	280 290	
9		Sist servieto-cloritos cu mag- neziit	30/20	F. 22112/20 m. 478 ; Ghe- iar-Măchia Moșului	Ghe- iar-integral	3,73	0,710 0,671	249 262	255 ± 6
10	Seria de Ghear (vulcanică genă bazică)	Sist servieto-cloritos-grafitos	1/20	F. 22112/20 m. 478 ; Ghe- iar-Măchia Moșului	Integral	3,30	0,519 0,537	220 230	225 ± 5
11		Sist servieto-cloritos cu can- bonaj	16/0	Telior	Integral	2,80	0,376	180	

	Sist sericitos-carbonatic	18/35	Ahan	integral	4,97	0,841	236
13	Sist biotitic carbonatic	8/10	F. 239/6/10, m 84,7; valea Iea Lupului-Ruschita	integral	2,41	0,447 0,412	255 236
14	Sist cuarțilic biotito-caeleacă-carus	10/19	F. 241/28/10, m 425; Ruschi-biotit	integral	6,46	1,253	268
15	Sist secalito-cloritos grafitos cu querbiotit	7+9/31	F. 221/23/31, m 235 ; fa-Piriu cu Racii	biotit	6,72	1,577	313
16	Seria de Tădes	6/29	F. 239/15/29, m 215; Ruschiita-Dicatu Boului	biotit	3,89	0,948	329

Focu cu raport K/Al regenerat alpin

	Subunitatea nordică			integral	4,68	0,268 0,268	<150	
17	Seria de Gheclar (vulcanogenă bazică)	Sist sericito-cloritos-granitos	I.G.	Iazuri	integral	3,86	<150	
18	Sist cuarțitic sericito-cloritos	ISCT..	Iazuri	integral	2,80	0,322 0,197	<150	
19	Seria de Tădes	Metatu acid	7	Nădrag-Dinușiu de Nicu	integral	2,56	0,089 0,089	<150
20	Subunitatea sudică	Sist cuarțitic sericito-cloritos	4,20	Gheclar-Mucebia Moșului	integral	2,65	0,089 0,089	<150
21	Sist sericito-cloritos	26/20	F. 221/12/20, m 281;	integral	2,28	0,233	<150	
22	Seria de Gheclar (vulcanogenă bazică)	Sist sericito-cloritos cu carbonați	7/1	Ghefar-Mucia Moșului	integral	2,28	0,233	<150
23	Sist sericito-cloritos	18/5	F. 221/06/5, m 369; Ghe- lar, Retezbara	integral	2,90	0,268 0,268	<150	
24	Sist mofitic calcaros cu apit	20/27	F. 221/20/27, m 469; Po-nita Voimii (Dragos)	integral	2,23	0,215	<150	



O a treia izocronă de  $75 \cdot 10^6$  ani cu interceptie pozitivă la  $\Delta r_A = +0,12$  g/g  $\cdot 10^{-7}$  se conturează în partea inferioară a diagramei.

Rezultă deci că metamorfismul regional care a dat naștere cristalinului de Poiana Rusă s-a manifestat cu  $310-325 \cdot 10^6$  ani în urmă și că exceptând o mică parte din eșantioanele examineate, majoritatea probelor au pierdut după acest eveniment o parte din  $^{40}\text{Ar}$  acumulat (aproximativ  $-0,20$  g/g  $\cdot 10^{-7}$   $^{40}\text{Ar}$ ). Vîrstele model K/Ar mai scăzute obținute pentru un număr mare de determinări (tab. 6), reflectă deci eliberarea de Ar menționată și indică valori cuprinse între  $180 - 290 \cdot 10^6$  ani (media =  $245 \cdot 10^6$  ani) pentru timpul la care s-a terminat acest fenomen.

Ulterior un alt eveniment geologic la  $75 \cdot 10^6$  ani a cauzat, pentru o parte a materialului analizat, o nouă întinerire a vîrstelor model K/Ar, printr-o difuzare parțială a Ar din unele roci. Faptul că eliminarea Ar a fost numai parțială rezultă din intersectarea pozitivă a izocronei, care indică un surplus de  $^{40}\text{Ar}$  în rocă și explică valorile mai mari ale vîrstelor-model K/Ar (în jur de  $140 \cdot 10^6$  ani) față de vîrsta izocronă K/Ar.

Pentru a verifica aplicabilitatea la cristalinul de Poiana Rusă a presupusei care stă la baza determinării vîrstelor model K/Ar — valoarea constantă a deficitului de argon ( $\Delta r_A$ ) într-un grup de probe eogenetice, indiferent de conținutul lor în potasiu — a fost mediată cîte o izocronă pentru rocile bogate și pentru cele sărace în K (fig. 4). Întrucît cele două izocrone nu se suprapun presupunea inițială nu se verifică. Rocile cu  $K > 4\%$  se înscriu într-o dreaptă de  $330 \cdot 10^6$  ani, cu valoarea mai ridicată a deficitului în argon ( $\Delta r_A = -0,37$  g/g  $\cdot 10^{-7}$  Ar) față de probele cu  $K < 1\%$  a căror izocronă de  $315 \cdot 10^6$  ani indică  $\Delta r_A = -0,21$  g/g  $\cdot 10^{-7}$   $^{40}\text{Ar}$ . Rezultă deci că rocile mai bogate în K au pierdut o cantitate mai mare de Ar comparativ cu rocile mai sărace în K.

Este însă important de subliniat faptul că vîrstele izocronă K/Ar nu se modifică sensibil din cauza diferenței sesizate în valoarea deficitului de argon ( $\Delta r_A$ ). Atât izocrona generală ( $310 \cdot 10^6$  ani) cât și izocronele parțiale pentru rocile bogate ( $330 \cdot 10^6$  ani) și rocile sărace în K ( $315 \cdot 10^6$  ani) indică vîrste a căror diferență maximă se cifrează la  $20 \cdot 10^6$  ani, deci la valori a căror mărime se apropie de erorile înregistrate în determinarea vîrstelor — model K/Ar (tab. 6).

Avinde o dovedă asupra faptului că pierderea de argon nu a fost uniformă în masa rocilor cristaline din Poiana Rusă, rezultă că lipsa unei izocrone unice (dispersarea punctelor în diagrama raportului K : Ar), reflectă tomai acest fenomen. Ne putem imagina în această situație că în spațiul alungit în care se plasează punctele din diagrama K/Ar există în

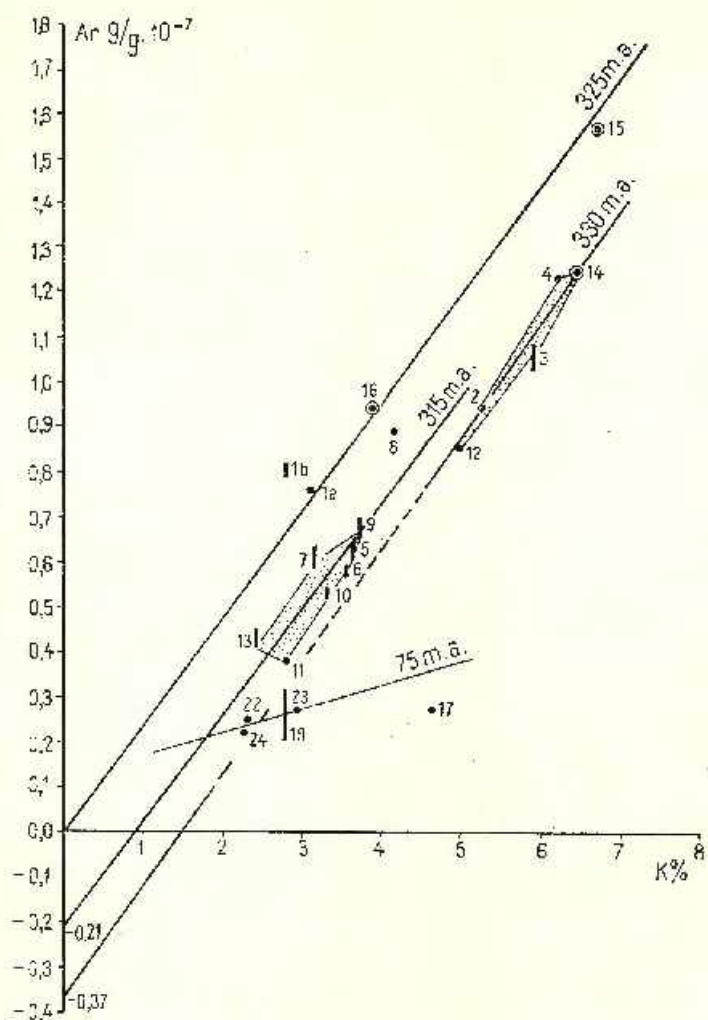


Fig. 4. — Graficul izocronelor K/Ar în cazul unei pierderi diferențiate de Ar în probele cu concentrații ridicate și scăzute de K.

Graphique des isochrones K/Ar au cas d'une perte différenciée en Ar dans les preuves à concentrations riches et pauvres en K.

realitate o infinitate de izocrone care interceptează abscisa Ar la valori negative diferite (fig. 5).

Pozitia (vîrsta) acestor izocrone poate fi indicată cu aproximație de punctele situate la marginea spațiului în care se proiectează probele (fig. 5). Prin unirea punctelor respective se obține la partea superioară a spațiului

o izocronă de  $320 \cdot 10^6$  ani ( $\text{Ar}_\Delta = -0,135 \cdot \text{g/g } 10^{-7} \text{ Ar}$ ) cu mediere bună. La partea inferioară se poaze lăsa în considerare fie o izocronă de  $305 \cdot 10^6$  ani ( $\text{Ar}_\Delta = -0,22 \text{ g/g } 10^{-7} {}^{40}\text{Ar}$ ) care unește toate punctele marginale, fie izocrona de  $330 \cdot 10^6$  ani ( $\text{Ar}_\Delta = -0,46 \text{ g/g } 10^{-7} {}^{40}\text{Ar}$ ) a rocilor bogate în K (fig. 4, 5). Deci și în această interpretare vîrstele izocronice oscilează în limitele valorilor obținute prin diagramele din figurile 3 și 4.

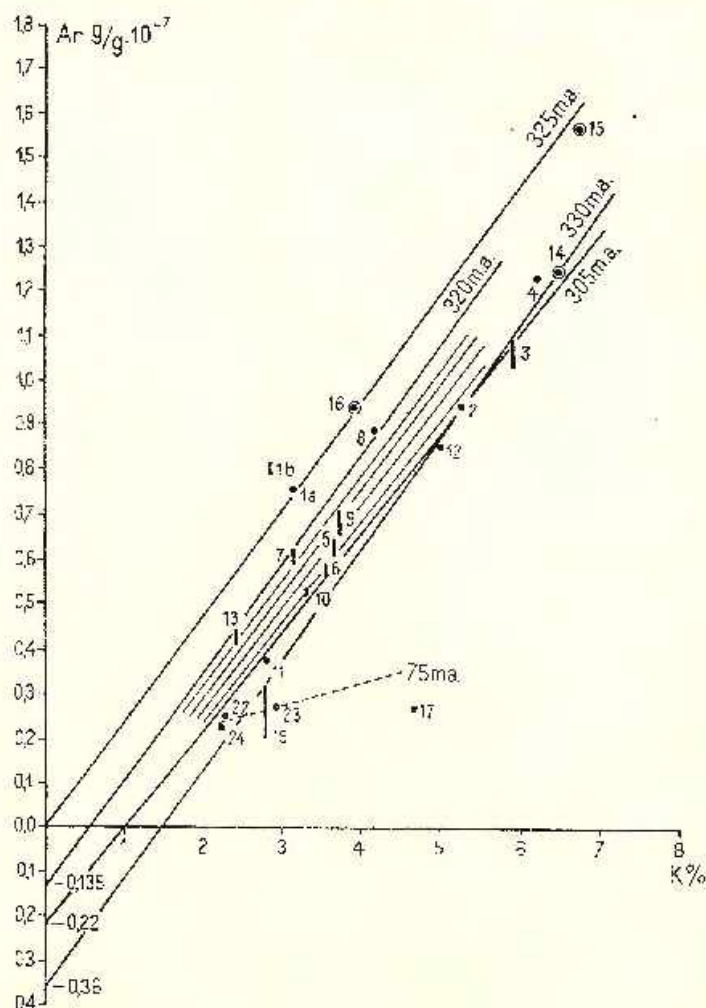


Fig. 5. — Graficul izocronelor K/Ar în cazul unei pierderi diferențiate de Ar în funcție de variația continutului în K.

Graphique des isochrones K/Ar au cas d'une perte différenciée en Ar en fonction de la variation de la teneur en K.

**In concluzie**, avind în vedere că prin încercări variate de interpretare s-au obținut vîrstă apropiate, considerăm că valoarea medie de  $320 \cdot 10^6$  ani poate fi luată în considerare pentru vîrsta metamorfismului regional care a dat naștere cristalinului de Poiana Rusca. Ea se situează între media vîrstelor-model K/Ar neîntinerite ( $327 \cdot 10^6$  ani) și media celor șase vîrstă izocrone K/Ar obținute prin graficele din figurile 3, 4, 5 ( $318 \cdot 10^6$  ani).

*Modelul evoluției și reținerii argonului în rocile cristalinului de Poiana Rusca și relațiile cu principalele fenomene geologice*

Vîrstele izotopice K/Ar permit reconstituirea următoarei scheme de evoluție a argonului în cristalinul de Poiana Rusca, în corelație cu istoria metamorfismului și a deformărilor tectonice (fig. 6).

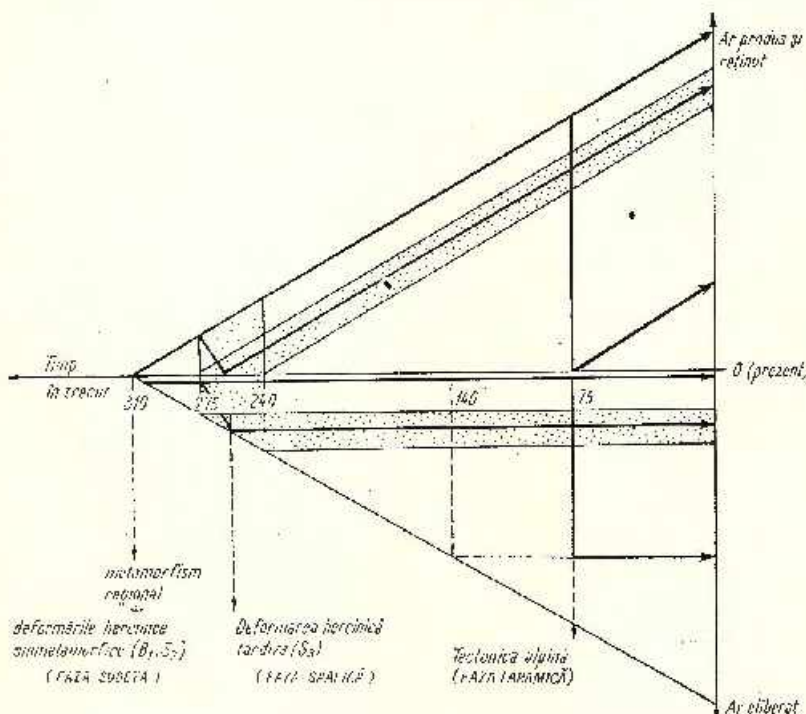


Fig. 6. — Modelul evoluției și reținerii argonului în rocile cristalinului de Poiana Rusca.  
Modèle de l'évolution et de la rétention de l'argon dans les roches du cristallin de Poiana Rusca.

(1) Vîrstă de  $320 \cdot 10^6$  ani a mineralelor și a rocilor cristaline plasează metamorfismul regional al cristalinului din Poiana Rusca în faza sudetă a orogenezei hercinice. Această încadrare este în acord pe de o parte cu atribuirea pe baze palinologice în Poiana Rusca și palcontologic în Banat,<sup>14</sup> și unei părți din rocile cristaline Carboniferului inferior iar pe de altă parte cu prezența în Banat a depozitelor westfaliene (C, D)<sup>15,16</sup> și stefaniene transgresive nemetamorfozate, în facies de molasă.

(2) Majoritatea vîrstelor model K/Ar se plasează între  $240 - 275 \cdot 10^6$  ani (media =  $245 \cdot 10^6$  ani) (fig. 3). Ele indică fie a) timpul de când cristalinul de Poiana Rusca a funcționat ca o masă rigidă elevată din zonele profunde în care temperaturile ridicate pot favoriza difuzarea argonului fie b) un eveniment geologic temporar care a cauzat pierderea argonului din roci și minerale. Întrucât au fost înregistrate unele determinări de vîrstă model K/Ar conforme cu vîrsta metamorfismului regional, prima posibilitate nu poate fi luată în considerare deoarece în cazul unei persistențe îndelungate (pînă la  $245 \cdot 10^6$  ani) a cristalinului în condiții de temperatură și presiune care permit difuzarea argonului, pierderea argonului ar fi trebuit să fie un fenomen general și deci să nu obținem vîrste mai vechi de  $275 \cdot 10^6$  ani.

De aceea în reprezentarea grafică a modelului (fig. 6) s-a însemnat o acumulare continuă de Ar de la  $320 \cdot 10^6$  ani pînă în prezent peste care s-a grefat o pierdere totală de Ar între  $275 - 240 \cdot 10^6$  ani (media  $245 \cdot 10^6$  ani), urmată de o nouă acumulare neîntreruptă pînă în prezent.

Avinde în vedere caracterul penetrant al acestui fenomen este probabil că el să corespundă deformării S<sub>3</sub>, hercinice tardive a cristalinului de Poiana Rusca (Krautner et al., 1969). Această deformare se caracterizează printr-o forfecare penetrantă cu intensificări locale care a determinat o elevație a masivului.

În accepțiunea prezentată deformarea hercinică tardivă (S<sub>3</sub>) a cristalinului de Poiana Rusca ( $275 - 240 \cdot 10^6$  ani) a avut loc între Permianul inferior și superior, deci în faza saalică. O deformare similară a fost semnalată de Dimitrescu (1964) în Permianul laminat din Munții Apuseni.

(3) Vîrstele model K/Ar sporadice de  $140 - 150 \cdot 10^6$  ani nu par a avea

<sup>14</sup> Dinanțianul din valea Idegelului (A. I. Codarcea, Gr. Răileanu, S. Năstăseanu, 1960; Elena Mirănuță, 1964).

<sup>15</sup> Cornelia Bitoianu. Studiu paleobotanic al formațiunilor paleozoice din zona Svinia. 1968. Arh. Inst. Geol. București.

<sup>16</sup> Cornelia Bitoianu. Studii paleobotanice asupra depozitelor paleozoice din zona Reșița. 1969. Arh. Inst. Geol. București.

o semnificație geologică, ele fiind vîrstă izotopice aparente. După cum rezultă din construcția izocronei (fig. 3) reîntinerirea vîrstelor model K/Ar a unui număr redus de eșantioane se datorează unui eveniment cu influență limitată asupra cristalinului, eveniment petrecut cu  $75 \cdot 10^6$  ani în urmă. Este desigur diastrofismul laramic manifestat în masa rigidă a cristalinului numai ruptural prin dislocații și milonitizări locale. După cum se poate deduce din excesul de Ar în probe, indicat de intercepția pozitivă a izocronei, deformarea laramică, datorită caracterului ei diferit față de fazele de deformare hercinică, nu a cauzat în majoritatea cazurilor analizate, o pierdere totală a Ar din roci. Într-o singură probă (17, vezi și izocrona  $80 \cdot 10^6$  ani, fig. 3) eliminarea a fost completă. Vîrsta model K/Ar de  $80 \cdot 10^6$  ani calculată în acest caz confirmă interpretarea geologică a izocronei K/Ar de  $75 \cdot 10^6$  ani.

(4) Cele două vîrste model K/Ar de  $10 \cdot 10^6$  ani, cu totul aproximative în condițiile în care au fost efectuate determinările, reflectă diastrofismul neogen care a dus la formarea bazinelor sedimentare limitrofe tinere, și care s-a manifestat în masa cristalinului prin compartimentări tectonice pe mai multe sisteme de fali (Krautner et al., 1969).

#### 4. Precizări asupra vîrstei pe baza unei paralelizări litostratigrafice

Atribuirea părții principale a cristalinului de Poiana Rusă Devonianului și Carboniferului inferior, pe baze palinologice și radioisotonologice, permite recunoașterea faptului că pe teritoriul carpatic au existat în Devonian și în Carboniferul inferior, regiuni cu o evoluție geologică asemănătoare cu aceea a arilor eugeosinclinale din „Europa hercinică” (Krautner, 1970). Într-adevăr succesiunea litologică din seriile de Govăjdia, Ghelar și Padeș prezintă numeroase aspecte comune cu succesiunile Devonianului și Carboniferului inferior cunoscute în dezvoltarea rheno-hercinică din masivul Renan (Lahn-Dill, Sauerland, Kellerwald) și masivul Harz, în dezvoltarea sudetică din Silezia (Nizky Jeseník, Hrubý Jeseník) și în dezvoltarea saxo-thuringică din Frankenwald și Thüringer Wald. Această evoluție geologică asemănătoare comportă un Devonian inferior transgresiv, caracterizat prin sedimentarea unui material detritogen cuartos grosier la partea inferioară și argilo-grezos la partea superioară, însoțit local de produse vulcanice bazice sau keratofirice.

În Devonianul mediu (în zona saxo-thuringică la începutul Devonianului superior) urmăză fază principală de extruziune a magmatitelor bazice inițiale (spilite, diabaze, keratofire și tufurile respective) căreia i se

asociază o fază metalogenetică specifică, caracterizată prin concentrații de minereu de fier de tip Lahm-Dill. Activitatea vulcanică submarină a fost însoțită și urmată local de episoade cu formare de roci calcaroase. Urmează o sedimentare detritogenă în ceea mai mare parte a intervalului corespunzător Devonianului superior și Carboniferului inferior (Culm). În Carboniferul inferior, în masivul Reteaua, Harz și în Thuringia, magmatismul inițial hercinic s-a manifestat printr-o ultimă fază tardivă care a generat curgeri de diabaze și tufuri keratofirice.

Întrucât din succesiunea stratigrafică cunoscută în Devonianul și în Carboniferul inferior epimetamorfic din Poiana Rusă rezultă o evoluție asemănătoare a sedimentării și în special a fazelor de activitate magmatică, se întrevede posibilitatea de a obține, pe baza paralelizării succesiunilor litologice, unele precizări asupra vîrstei diferitelor unități stratigrafice cunoscute în cristalinul de Poiana Rusă.

În acest scop pare cel mai adecuat luarea în considerare a succesiunii Devonianului și Carboniferului din Silezia (Nyzky Jesenik, Hrubý Jesenik), cum s-a procedat de altfel și la paralelizarea seriei de Repedea din Carpații Orientali (Kráutner, Mirăntă, 1970). Accasta, datorită faptului că : (1) în regiunea sileziană se reflectă evoluția geologică din domeniul hercinic de la sud de pragul Europei centrale, domeniu în care se situează și teritoriul alpino-carpatic; (2) partea sud-estică a Sudeștilor reprezintă cea mai apropiată regiune din fața Carpaților cu dezvoltarea hercinică eugeosininală menționată, la sud de care formațiunile paleozoice se afundă în subasmentul orogenului alpin; (3) în regiunea sileziană începe în fază sudetă să se manifeste metamorfismul regional hercinic (complexul de Vrbno, seria de Branna, seria de Cervenohorské Sedlo) care pe teritoriul carpatic cîstigă o răspindire generală.

În urma paralelizării succesiunii litologice din formațiunile epimetamorfice ale masivului Poiana Rusă cu succesiunea din regiunea sileziană (Jesenik), apropiată aceleia cunoscute în domeniul rheno-hercinic, atribuim unităților litostratigrafice din cristalinul de Poiana Rusă, vîrstele indicate în tabelul 7.

Această încadrare stratigrafică a serilor și complexelor cristaline nu trebuie înțeleasă desigur într-un sens strict, astfel că limitele între unitățile litostratigrafice separate în stiva șisturilor cristaline să corespundă riguros limitelor dintre subdiviziunile scării cronostratigrafice internaționale. Schema prezentată mai sus trebuie deci înțeleasă în sensul că seria de Govăjdia se plasează în majoritatea ei în Devonianul inferior; partea inferioară a seriei de Ghelari (vulcanogenă bazică) corespunde în linii ge-

TABELUL 7

*Vîrstă entităților lithostratigrafice din cristalinul de Poiana Rusca*

Vîrstă	Seria	Complexul
Carbonifer inferior	Seria de Padeș (Pd)	
Devonian superior		Complexul șisturilor sericito-cloritoase cu intercalări de roci carbonatice și de metatufuli bazice (Gh <sub>2</sub> )
Devonian mediu	Seria de Ghelar (Gh) (Vulcanogenă bazică)	Complexul șisturilor verzi tufogene (Gh <sub>1</sub> )
Devonian inferior	Seria de Govăjdia (Gv)	
Pre-devonian (Paleozoic inferior?)	Seria de Bâtrina (Bt)	

nere ale Devonianului mediu, iar partea ei superioară, Devonianului superior; seria de Padeș cuprinde, începând din zona ei bazală, Carboniferul inferior.

În această accepțiune (fig. 7) metatufuli bazice din orizontul bazal al seriei de Ghelar (vulcanogenă-bazică) ar corespunde primei faze incipiente de evoluție a magmatismului inițial hercinic, de la finele Devonianului inferior și începutul Devonianului mediu. Fazei principale a acestui magmatism, din Devonianul mediu, s-ar încadra masa importantă de șisturi verzi din seria de Ghelar (complexul Alun-Ruschița în sud și complexul Iazuri în nord) cu intercalările subțiri de metatufuli keratofirice cu artifere de la partea ei superioară (K ră n t u e r , 1969). Extruziunile bazice sporadice tîrzii, care succed fazelor principale a magmatismului inițial hercinic și care urcă în Devonianul superior, s-ar echivala în acest caz cu intercalările de șisturi verzi din partea superioară a succesiunii faciesului nordic (orizontul Tomești-Groși, de la partea superioară a complexului Gh<sub>2</sub>). Metalogeneza feriferă importantă, asociată în toată Europa hercinică fazelor principale a magmatismului bazic devonian, își găsește un corespondent în acumulările vulcanogen-sedimentare de minereu de fier carbonatic și oxiidic, legate de masa principală a rocilor verzi din seria de Ghelar

(Kräutner, 1970). Faza tardivă a magmatismului inițial hercnic, din Carboniferul inferior, caracterizată prin expulzarea unui material acid, pe lîngă produsele bazice, ar fi reprezentată prin metatufulurile bazice și acide din partea superioară a seriei de Pades (complexul  $Pd_3$ ) și prin suita

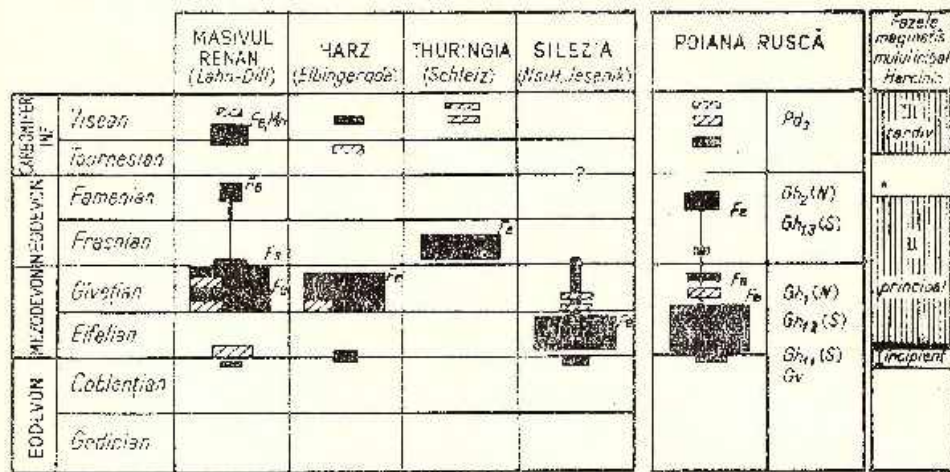


Fig. 7. — Poziția stratigrafică a magmatitelor inițiale și a zăcămintelor de minereu de fier asociate în Paleozoicul superior din masivele hercyniene din Europa centrală și din cristalinul de Poiana Ruscă.

Position stratigraphique des magmatites initiales et des gisements de minerai de fer associés au cours du Paleozoïque supérieur des massifs hercyniens de l'Europe centrale et du cristallin de Poiana Ruscă.

1. diabases, spilites et tufs associés; 2. keratophyres, keratophyres quartzifères, răvolites et tufs associés.

de roci metagabbroide, metadoleritice, metariolitice și metakeratofirice cuartifere care străbat seria de Pades. În Poiana Ruscă această fază este însoțită de o metalogeneză specifică (Kräutner, 1970), caracterizată prin concentrații de sulfuri de Pb și Zn.

## 5. Stratigrafia cristalului de Poiana Ruscă<sup>17</sup>

### 5.1. Paleozoicul inferior (?)

Formațiunile atribuite Paleozoicului inferior cuprind termenii stratigrafici cei mai vechi ai cristalinului de Poiana Ruscă, termeni care constituie seria de Bâtrâna (Bt).

<sup>17</sup> Vezi figurile 8 și 9 și planșele 1 și 11.

În accepțiună anteroară (K r à u t n e r et al., 1969 ; M u r e ș a n , 1968), această serie cuprinde trei complexe litostratigrafice : complexul șisturilor grafitoase cu intercalări de roci verzi tufoogene (la partea inferioară), complexul șisturilor cuartoase sericito-cloritoase (la partea mediană) și complexul șisturilor grafitoase (la partea superioară).

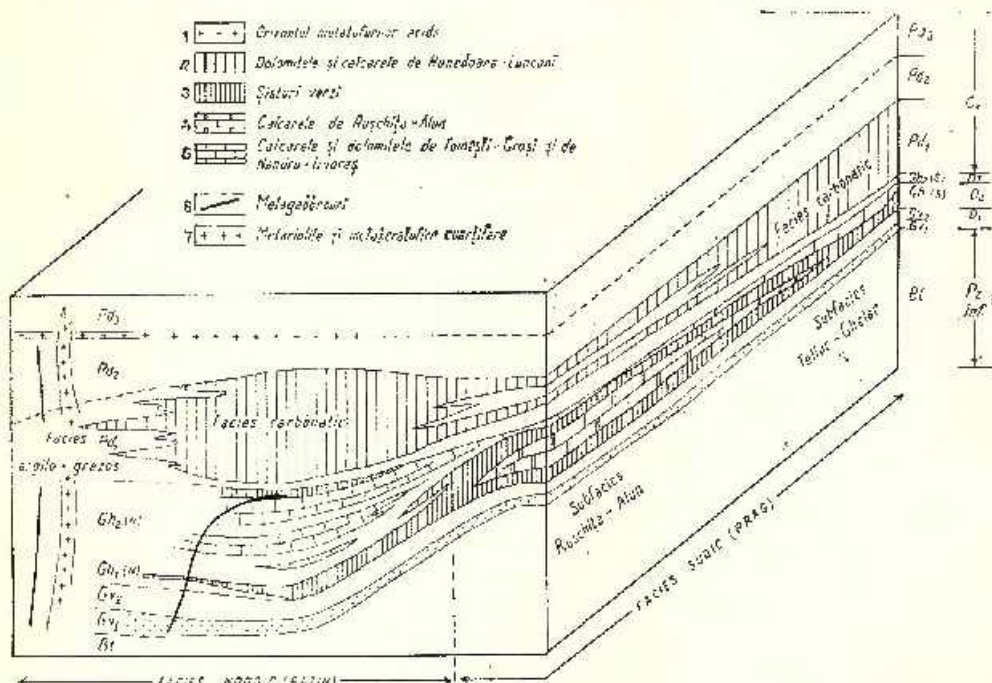


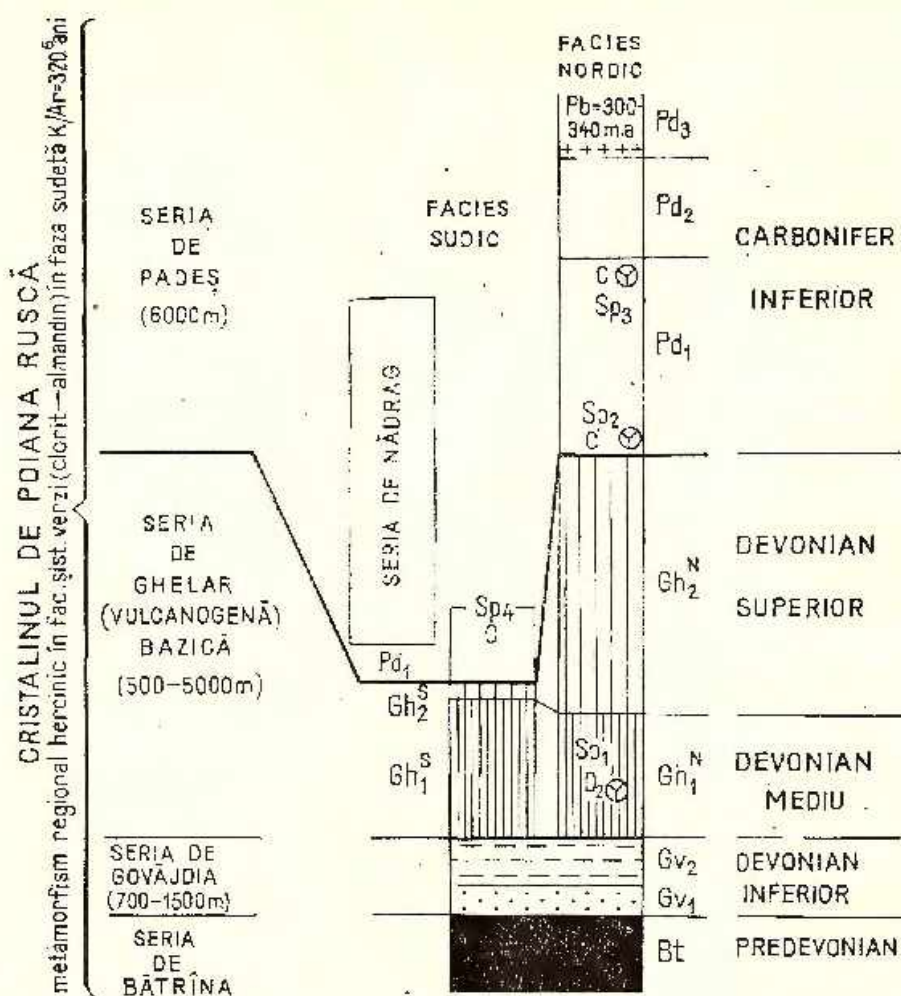
Fig. 8. — Reconstituirea aspectelor faciale și paleostruclurale ale formațiunilor Devonianului și Carboniferului inferior din Poiana Ruscă înaintea cutărilor sudește.

Réconstitution des aspects faciaux et paléostructuraux des formations du Dévonien et du Carbonifère inférieur de Poiana Rusca, avant les plissements sudètes.

1, horizon des métavautres acides; 2, dolomies et calcaires de Hunedoara-Luncani; 3, schistes verts; 4, calcaires de Răchița-Alion; 5, oécouires et dolomies de Tomașești-Groș et de Nădăru-Tzvorag; 6, métatéphibolites; 7, métaténorolites et métaténoroblastes multizonaires.

În zona centrală a anticlinorului Arănieș-Fărășesti, complexul median menționat mai sus este probabil dispus transgresiv peste complexul inferior<sup>18</sup>. Acest lucru este sugerat atât de simetria stratigrafică, pe cele două flancuri ale anticlinorului Arănieș-Fărășesti, constatătă în formați-

<sup>18</sup> *Op. cit.* p. 4.



Asociații de spori,  $Sp_1$ =lazuri,  $Sp_2$ =Crivina,  $Sp_3$ =V.Bisericii,  $Sp_4$ =V.Govăjdia, C=Carbonifer,  $D_2$ =Devonian mediu.

Fig. 9. — Succesiunea stratigrafică de ansamblu a cristalinului de Poiana Ruscă.

Succession stratigraphique d'ensemble du cristallin de Poiana Ruscă.

unile de sub complexul șisturilor cuarțoase sericito-cloritoase, cît și de unele discontinuități ale orizonturilor reper cu extindere regională din complexul șisturilor grafitoase cu intercalări de roci verzi tufogene. Această situație a determinat divizarea stivei de formațiuni atribuite în accepțiunea veche seriei de Bâtrina în două serii separate printr-o discordanță

stratigrafică premetamorfică : seria de Bătrîna corespunzătoare complexului șisturilor grafitoase cu intercalări de roci verzi tufogene — și seria de Govăjdia constituită din complexul șisturilor cuartoase—sericito-cloritice și complexul șisturilor grafitoase. Seria de Govăjdia se repartizează Devonianului inferior întrucât suportă în continuitate de sedimentare formațiunile seriei de Ghelar, datele palinologice drept Devonian mediu. Rezultă că seria de Bătrîna este pre-devoniană. Ea se situează probabil în Paleozoicul inferior.

În această accepțiune Paleozoicul inferior, respectiv seria de Bătrîna, corespunde unui pachet stratigrafic gros de peste 1500 m, dispus sub complexul șisturilor cuartoase sericito-cloritoase și este constituit predominant din roci terigene în care se intercalează metatufuri bazice (șisturi verzi).

În masivul Poiana Rusca formațiunile seriei de Bătrîna se dezvoltă în două sectoare : zona Răchițele-Ferigi și zona Teliuc-Bunila ; ultimul sector se prelungește spre est în fundamentalul cristalin al bazinului neogen al Streiului (date de foraj, date geofizice) (Ionescu et al., 1969).

Seria este alcătuită predominant din șisturi sericito-grafitoase — clorit, în care se intercalează cuarțite (cuarțite grafitoase, cuarțite sericitoase, rare cuarțite biotitice cu granati), șisturi cuartoase (șisturi cuartoase cu sericit și clorit, șisturi cuartoase cu biotit ± clorit), șisturi sericito-cloritoase ± biotit. În zona Teliuc-Bunila s-a surprins treccerea laterală a șisturilor grafitoase la cuarțite grafitoase. În cadrul acestui material divers, de origine terigenă, se intercalează pe alocuri roci verzi tufogene (metatufuri bazice) ; șisturi cloritice ± biotit ± epidot, șisturi clorito-calcarice cu albit, șisturi cloritice cu albit ± calcit.

În seria de Bătrîna calcarele apar cu totul sporadic constituind intercalări a căror grosime nu depășește cîțiva metri.

### 5.2. Devonianul

Din analiza datelor palinologice, radiocronologice și a paralelizărilor litostratigrafice prezentate, rezultă că Devonianul este reprezentat în cristalul de Poiana Rusca prin seriile de Govăjdia (Gv) și de Ghelar (Gh).

Seria de Govăjdia cuprinde formațiunile terigene dispuse transgresiv peste seria de Bătrîna și suportă primele produse bazice din seria de Ghelar. În consecință seria de Govăjdia corespunde complexelor mediu și superior ale seriei de Bătrîna în accepțiunca anterioară (Kăutner et al., 1969).

Seria de Ghelar coincide cu formațiunile atribuite anterior seriei vulcanogene bazice (Kăutner et al., 1969 ; Mureșan, 1968). Ea prezintă stîră de roci cristaline tufogene, terigene și carbonatice dispuse

în continuitate de sedimentare peste seria de Govăjdia și delimitată de primele și ultimele tufuri ale fazei principale a magmatismului bazic.

Se exclud deci șisturile verzi tulogene cu poziția stratigrafică inferioară și superioară din cristalinul de Poiana Ruscă, respectiv cele din seria de Bătrina și cele din seria de Padă.

### 5.2.1. Devonianul inferior

Devonianului inferior i-au fost atribuite formațiunile *seriei de Govăjdia* (*Gv*), întrucât, pe de o parte, suportă în continuitate de sedimentare seria de Ghelar — pentru care datele palinologice și paralelizările litostratigrafice atestă formarea să în decursul Devonianului mediu și superior — iar pe de altă parte, este dispusă transgresiv peste seria de Bătrina. În această accepție, seria de Govăjdia ar corespunde etapei de sedimentare detritică cu care începe Devonianul în Europa centrală.

Seria de Govăjdia cuprinde formațiuni terigene, care se caracterizează printr-o uniformitate petrografică remarcabilă în cadrul celor două complexe litostratigrifice care o alcătuiesc: complexul șisturilor cuarțoase sericito-cloritoase (*Gv<sub>1</sub>*) (la partea inferioară) și complexul șisturilor grafitoase (*Gv<sub>2</sub>*) (la partea superioară). Acest fapt arată că în timpul formării seriei de Govăjdia, condițiile paleogeografice și de sedimentare, specifice fiecăruiu dintre cele două complexe, erau constante pe aria masivului Poiana Ruscă.

*Gv<sub>1</sub>* — Complexul șisturilor cuarțoase sericito-cloritoase (100—300 m grosime), dispus transgresiv peste seria de Bătrina, are un caracter detritogen omogen, fiind constituit predominant din șisturi cuarțoase sericito-cloritoase. În cadrul lui apar cu totul subordonat șisturi cuarțoase sericito-cloritoase cu biotit, cuarțite rubanate cu grafit, șisturi cuarțoase cu sericit și grafit, ultimele făcând trecerea spre formațiunile complexului șisturilor grafitoase (*Gv<sub>2</sub>*). Complexul *Gv<sub>1</sub>* aflorează în zona valea Cernei-Ghelar și în bazinul văii Bătrina.

*Gv<sub>2</sub>* — Complexul șisturilor grafitoase (300—700 m grosime) se dispune în continuitate de sedimentare peste complexul precedent. Formațiunile complexului sunt omogene petrografic, fiind alcătuite în marea lor majoritate din șisturi clorito-sericitoase-grafitoase și șisturi sericito-grafitoase. În cadrul acestor roci apar intercalări sporadice de cuarțite cu grafit, cuarțite cu sericit, șisturi cuartitice cu calcit și grafit și roci carbonatice (dolomite și calcare).

Calcarele se grupează într-un nivel stratigrafic subțire și discontinuu, situat către partea inferioară a complexului — **nivelul calcarelor de Ferigi**.

Dolomitele apar ca lentile discontinue către partea superioară a complexului (dolomitele cu blendă și galenă din valca Bătrîna și cele înfălnite în forajele de la Ghelar).

Complexul  $Gv_2$  este cunoscut în bazinul văii Bătrîna și în zonele Arăniș-Cerbâl și Teliu-Ghelar; ultima zonă se prelungeste spre est în fundalul cristalin al bazinului neogen al Streinului (date de foraj — Ionescu et al., 1963, 1969).

### 5.2.2. Devonianul mediu

Devonianul mediu î se atribuie, pe baza datelor paleontologice și a paralelizărilor litostratigrafice, **complexul și sistrul verzi tufoogene** ( $Gh_1$ ), deci *partea inferioară a seriei de Ghelar* în care sunt localizate produsele extrusive ale fazei principale de manifestare a magmatismului bazic inițial hercinic. Alternanța rocilor verzi tufogene din baza seriei de Ghelar cu șisturi grafitoase asemănătoare celor care alcătuiesc complexul  $Gv_2$  subiacent, din seria de Govăjdia, indică o continuitate de sedimentare între depozitele atribuite Devonianului inferior și mediu. Activitatea magmatismului bazic din Devonianul mediu a debutat deci în timpul în care mai persistau condițiile de sedimentare din perioada depunerii complexului  $Gv_2$ .

Spre deosebire de uniformitatea condițiilor de sedimentare din Devonianul inferior, frământările tectonice incipiente ale tectogenezei hercnice, însotite pe aliniamente direcționale de o activitate magmatică intensă, determină în decursul Devonianului mediu separarea în cadrul masivului a două zone faciale.

a) *Faciesul sudic (de pray)* — **complexul și sistrul verzi tufoogene de Ruschița-Alun-Ghel** este caracterizat prin acumularea locală a unor mase importante de tufuri bazice care determină variații însemnante de grosimi în cadrul complexului. Peste aceste acumulări de tufuri, care după reconstituiriile paleogeografice efectuate reprezintă probabil structuri vulcanice submarine (Kräutner, 1970)<sup>18</sup>, se dispun în regiunea Alun-Vadul Dobrii-Ruschița mase de calcar albe marmoreene a căror poziție geologică și aspect litologic sugerează o proveniență recifală. Grosimea redusă a formațiunilor serici de Ghelar în comparație cu depo-

<sup>18</sup> Il. G. Kräutner, Zăcăminte de minereu de fier din formațiunile epimetamorfice ale masivului Poiana Rusca (teză), 1969, manuscris.

zitele metamorfozate din aria faciesului nordic și prezența structurilor vulcanice menționate sugerează instalarea în decursul Devonianului mediu în zona sudică a unității epimetamorfice a unui prag vulcanic submarin încoronat cu recife, prag care a influențat sensibil sedimentarea în Devoniamul superior. Pe clincile structurilor vulcanice se află localizate zăcămintele de minerale de fier vulcanogen-sedimentare (Krautner<sup>20</sup>, 1970) intercalate în formațiunile cristaline și exploatațate în regiunile Teliuc, Ghelar, Vadul Dobrii, Ruschița. Prin aspectul ei paleostructural și paleofacial zona sudică din unitatea epimetamorfică a masivului Poiana Rusească, se apropie în consecință mult de dezvoltarea reno-hercinică a Devonianului mediu în zonele pragurilor vulcanice submarine (Schwellenfazies) din masivele Renan și Harz. Complexul șisturilor verzi tufogene de Ruschița-Alun ( $Gh_1^S$ ) afloreză pe întreaga extindere a subunității sudice din unitatea epimetamorfică, pe ambele flancuri ale structurii anticlinale Teliuc-Alun-Vadul Dobrii-Ruschița. Spre est, anomaliiile magnetice și datele de foraj (Ionescu et al., 1963, 1969) indică continuarea sa sub coperțea sedimentară a bazinului Strei pînă în apropierea Munților Sebeșului.

Succesiunea stratigrafică în cadrul complexului  $Gh_1^S$  începe cu un orizont bazal constituit dintr-o alternanță de șisturi sericito-grafitoase, șisturi sericito-cloritoase și metatufuri bazice, alternanță prin care se realizează tranzitia treptată de la seria de Govăjdia subiacentă la seria de Ghelar. Local orizontul prezintă intercalații subțiri de roci dolomitice. Urmează masa principală a șisturilor verzi tufogene, dispusă într-o alternanță cu șisturi sericito cloritoase, în special în zona de îndințare a acumulațiilor de metatufuri bazice cu formațiunile terigene sincrone. Tot la partea superioară a succesiunii, peste acumularea de metatufuri bazice și în părțile periferice ale acesteia, se distinge un nivel discontinuu de metatufite keratofirice cu răfite (de Grenzenstein) care separă la partea superioară a complexului  $Gh_1^S$ , un orizont cu grosime redusă, uneori lipsit de șisturi verzi tufogene. Metatufurile de Grenzenstein delimităzează în cadrul minereurilor de fier stratiforme un orizont ferifer superior de un orizont ferifer inferior asociat masei principale de șisturi verzi (Krautner, 1969)<sup>21</sup>.

Limita superioară a complexului  $Gh_1^S$  a fost trasată la baza nivelului calcar alb-dolomit negru. În regiunile în care acest nivel reper lipsește (flancul sudic al anticlinialului Teliuc-Alun-Vadul Dobrii-Ruschița) limita

<sup>20</sup> Op. cit. pet. 19.

<sup>21</sup> Op. cit. pet. 19.

a fost considerată în mod convențional fie deasupra metatufurilor băzice care stau peste cuarțitele albe superioare calcarelor de Ruschița-Alun în zona Vadul Dobrii-Cincis-Ruschița, fie deasupra masei principale a metatufurilor bazice, în zona de la sud de Nădrag.

b) *Faciesul nordic (de bazin)* — complexul șisturilor verzi tufogene de Iazuri — Gh<sub>1</sub><sup>N</sup> se caracterizează spre deosebire de cel sudic prin cantitatea mai redusă de roci verzi tufogene, calcare și dolomite. Local, în regiunile Iazuri, Dîmbul Pascului și Bâtrina se cunosc acumulări mai însemnate de metatufuri diabazice și spilitice, care reprezintă probabil fie zonele terminale ale structurilor vulcanice din regiunea sudică, fie alte structuri independente, situate în afara aliniamentului principal din sud.

Succesiunea în cadrul dezvoltării Devonianului mediu în facies nordic comportă un orizont bazal constituit dintr-o alternanță de șisturi sericito-cloritoase cu șisturi sericito-grafitoase în care se intercalează sporadic nivale subțiri de șisturi verzi metatufitice. Urmează un pachet de șisturi sericito-cloritoase care suportă orizontul principal de șisturi verzi tufogene. În regiunea Iazuri acest orizont apare dedublat din cauză intercalării unui pachet de șisturi sericito-cloritoase asociate subordonat cu cuarțite negre și șisturi sericito-grafitoase. Limita superioară a complexului Gh<sub>1</sub><sup>N</sup> a fost considerată deasupra orizontului principal de șisturi verzi tufogene de la Iazuri-Dîmbul Pascului și a calcarelor asociate acestora.

Din punct de vedere petrografic, Devonianul mediu din Poiana Ruscă este constituit deci în mare parte din metatufuri diabazice și spilitice care alternează cu metatufite bazice, șisturi terigene, calcare, dolomite și subordonat metatufite acide. Șisturile verzi sunt reprezentate prin roci clorito-albitice cu actinot, epidot, calcit și magnetit care spre vest, în regiunile de la Ruschița și de la sud de Nădrag trec la șisturi amfibolice cu albit și granat. Prin creșterea treptată a conținutului în calcit, enart, sericit sau biotit se surprind prin intermediul mai multor varietăți de roci metatufitice, treceri gradate spre rocile calcaroase sau șisturile terigene sericito-cloritoase. Rocile terigene sunt reprezentate prin șisturi sericito-cloritoase, uneori cuarțoase sau grafitoase care spre est trec treptat la șisturi cu biotit și șisturi muscovitice cu biotit și granat.

### 5.2.3. Devonianul superior

Devonianul superior î se atribuie, pe baza paraleлизărilor litostratigrafice și a datărilor palinologice, stiva de șisturi dintre partea superioară devonian-medie a seriei de Ghelar și seria de Padeș carbonifer-inferioară,

deci complexul șisturilor sericito-cloritoase cu intercalări de roci carbonatice și de metatufuri bazice ( $Gh_2$ ) care constituie *partea superioară a seriei de Ghelar*. Devonianul superior astfel delimitat se caracterizează prin formațiuni predominant terigene în care se află intercalate la mai multe nivele, orizonturi de metatufuri bazice care reprezintă produsele momentelor extrusiv tardive ale fazelor principale de activitate a magmatismului inițial hereinic.

Deosebirea dintre cele două domenii de facies separate în nordul și sudul unității epimetamorfice în decursul Devonianului mediu, se accentuează în Devonianul superior. Regiunea pragului vulcanic din sud ajunge local, probabil, la o exondare temporară marcată prin subierea pînă la efilare a complexului  $Gh_2^S$ . În zona nordică în schimb grosimea marcă a depozitelor sugerează o acumulare intensă de sedimente.

a) *Faciesul sudic (de prag)* — complexul șisturilor sericito-cloritoase cu intercalări de roci carbonatice și de metatufuri bazice — de Cernișoara Florește -  $Gh_2^S$  este cunoscut în dezvoltarea sa tipică numai pe flancul nordic al anticinalului Teliuc-Alum-Vadul Dobrii-Ruschița, prin entitatea litostratigrafică „*calcar alb-dolomit negru*”<sup>22</sup> (Maijer et al., 1964, 1969; Krautner et al., 1969). Aceasta reprezintă un pachet cu grosimi variabile de la 2 - 10 m pînă la cea 200 m constituit în partea inferioară dintr-un dolomit-cenușiu sau dintr-o alternanță de dolomite negre, cenușii, albe, șisturi sericito-cloritoase și calcare, iar la partea superioară dintr-un banc de calcare albe cu intercalări de șisturi sericito-cloritoase calcaroase. După indicațiile forajelor din regiunea Teliuc-Ghelar grosimea acestui complex crește înspre nord. În zona pragului ea se reduce treptat pînă la efilare. Pe flancul sudic al structurii anticlinale menționate, complexul  $Gh_2^S$  este reprezentat în regiunea Cincis-Vadul Dobrii printr-o alternanță de șisturi sericito-cloritoase, cu șisturi sericito-grafitoase ( $\perp$  biotit), șisturi verzi tufogene și subordonat calcare, iar în regiunile Ruschița-Negrii, bazinele superioare ale văii Cornet (SE Nădrag), prin șisturi sericito-cloritoase cu biotit și șisturi muscovitice cu biotit și granat. La sud de pragul menționat, Devonianul superior are deci tendința de a reveni la o dezvoltare facială într-o oarecare măsură asemănătoare celei din nordul masivului. Deosebirea esențială față de dezvoltarea nordică constă în prezența cu totul subordonată a calcarelor în formațiunile din sud.

<sup>22</sup> Considerată în lucrările anterioare drept orizont reper situat la partea superioară a „complexului șisturilor verzi tufogene”.

b) *Faciesul nordic (de bazin)* — complexul șisturilor sericito-cloritoase cu intercalări de roci carbonatice și de metatufuri bazice de Rega ( $Gh_2^N$ ) — se caracterizează printr-o grosime apreciabilă a depozitelor (pînă la 2 000 m). Succesiunea litologică<sup>23</sup> comportă în partea inferioară un pachet de șisturi sericito-cloritoase cuarțoase cu intercalări dolomitice locale de grosimi reduse. Urmează calcarele și dolomitele de Nandru-Izvorăș care suportă șisturi sericito-cloritoase cuarțoase în care se dezvoltă local un nivel de metatufuri bazice. Succesiunea se continuă cu calcarele și dolomitele de Tomesti-Groși peste care se dispune un orizont constituit din metatufuri bazice, cuartite negre și șisturi sericito-cloritoase — orizontul Tomesti-Groși.

### 5.3. Carboniferul inferior

Formațiunile cristalinului de Poiana Rusca atribuite Carboniferului inferior aparțin seriei de Padeș ( $Pd$ ), în care s-au pus în evidență asociații microfloristice specifice pentru Carbonifer; de asemenea, s-a atribuit aceeași vîrstă seriei de Nădrag ( $Nd$ ), echivalentă stratigrafică părților inferioare ale seriei de Padeș (complexul  $Pd_1$  și eventual o parte din  $Pd_2$ ).

Seria de Padeș se caracterizează prin predominarea rocilor terigene în care se intercalează importante masive de roci carbonatice (mai ales dolomitice) la partea inferioară și nivelele de metatufuri acide în partea superioară. Formațiunile seriei sunt străbătute de dyke-uri de roci acide (porfiroide) și bazice metamorfozate. Seria de Padeș este dezvoltată mai ales în subunitatea nordică a unității epimetamorfice a masivului și în prelungirea acestuia spre E, în fundamentul bazinului Strei (Ionescu et al., 1963, 1969).

Seria de Nădrag prezintă numai în subunitatea sudică, se caracterizează prin formațiuni terigene, metamorfozate mai intens, la limita dintre faciesul șisturilor verzi și faciesul amfibolitelor cu almandin.

*Pd. Seria de Padeș* cuprinde trei complexe litostratigrifice, în succesiune normală.

*Pd<sub>1</sub>*. Complexul șisturilor sericito-cloritoase și a dolomitelor de Hunedoara-Luncani (1500—3000

<sup>23</sup> Detalii în H. G. Kräutner et al., 1969 și M. Mureșan, 1968.

m grosime), care în subunitatea nordică, urmează în succesiune normală peste seria de Ghelar. Este constituit preponderent din roci carbonatice (dolomite, calcare) și roci terigene (sisturi scricito-cloritoase, sisturi scricito-grafitoase, filite scricitoase  $\pm$  grafitoase, cuarțite negre). Rocile carbonatice formează masivul dolomitelor de Hunedoara și masivul dolomitelor de Luncani, care se îndințează cu formațiunile terigene ale complexului, prin intermediul unor brațe care se efilează. În masivul dolomitelor de Hunedoara au fost distinse trei orizonturi stratigrafice (inferior, mediu și superior).

**Pd<sub>2</sub>** — Complexul sistemelor scricito-cloritoase supradolomitice — de Gladna (1 000 — 2 500 m grosime) dispus normal atât peste formațiunile terigene cât și peste cele carbonatice ale complexului Pd<sub>1</sub>, este constituit din sisturi scricito-cloritoase, filite scricitoase, sisturi scricito-grafitoare și subordonat din calcare, dolomite și cuarțite.

**Pd<sub>3</sub>** — Complexul sistemelor scricito-cloritoase și ale metatufurilor acide — de Leșnie (>2 000 m grosime) cuprinde partea superioară cunoscută a stivei cristalinului de Poiana Rusă. Complexul este constituit preponderent din roci de natură terigenă (sisturi scricito-cloritoase, sisturi scricito-grafitoase, filte scricitoase) și din metatufuri acide, sisturi verzi terigene, cuarțite negre și calcare. În baza complexului, în partea de NE a masivului, s-a deosebit un orizont de metatufuri acide asociate cu metatufuri bazice — orizontul Fata Roșie. În partea de W a unității epimetamorfice, metatufurile acide (asociate cu calcare, cuarțite negre și roci terigene) din baza complexului Pd<sub>3</sub> se grupează în orizontul Bordarul. Spre partea mediană și succesiunii cunoscute, în nord-estul masivului, se individualizează produsele unei alte faze de erupție — orizontul metatufurilor riolitice de Valea. Complexul Pd<sub>3</sub> ocupă suprafețe importante în partea de W și NE a Munților Poiana Rusă; el se continuă pe sub cuvertura sedimentară a bazinului Strei și reapare la zi în insula cristalină de la Rapolt.

**Nd.** Seria de Nădrag apare exclusiv în subunitatea sudică a unității epimetamorfice și cuprinde cinci unități litosratigrifice, care au fost paralelizate (Krautner et al., 1969) cu partea inferioară a seriei de Padeș (cu complexul Pd<sub>1</sub> și eventual cu partea inferioară a complexului Pd<sub>2</sub>).

**Nd.** — Complexul mică sistemelor inferioare (> 1 000 m grosime), cuprinde cele mai profunde formațiuni cunoscute ale seriei și este alcătuit predominant din micașisturi cu biotit  $\pm$  granati, sisturi cuarțitice muscovitice și rare intercalări de calcare și cuarțite negre.

**Nd<sub>2</sub>** — Orizontul calcarului de Nădrag (5—50 m grosime), urmează în succesiune normală peste complexul Nd<sub>1</sub>. Este constituit din calcarc rubanate, uneori cu intercalări de șisturi muscovitice.

**Nd<sub>3</sub>** — Complexul micașisturilor superioare (> 300 m grosime), dispus normal peste Nd<sub>2</sub>, cuprinde micașisturi ± granați, și local dolomite calcaroase.

**Nd<sub>4</sub>** — Complexul șisturilor cu muscovit și biotit (> 1500 m grosime), are un caracter net terigen, fiind constituit din șisturi muscovito-biotitice, șisturi muscovitice cu granați, șisturi muscovito-cloritoase și șisturi sericito-cloritoase. Relațiile tectonice ale complexului Nd<sub>4</sub>, cu celelalte entități stratigrafice ale seriei de Nădrag nu permit precizarea în detaliu a pozițiilor sale în succesiunea seriei.

**Nd<sub>5</sub>** — Complexul șisturilor sericito-cloritoase (> 1000 m grosime) este cunoscut ca și complexul Nd<sub>4</sub>, numai în relații tectonice cu celelalte entități litostratigrifice ale seriei de Nădrag; judecind după gradul de metamorfism mai scăzut, Nd<sub>5</sub> reprezintă partea superioară cunoscută a scriei de Nădrag. Complexul Nd<sub>5</sub> este alcătuit preponderent din șisturi sericito-cloritoase, în care se intercalează un orizont de dolomite și calcare.

După cum s-a arătat în lucrare, datele palinologice și vîrstele obținute prin metoda K/Ar, corelate cu faptul că în Carpații Meridionali primul termen nemetamorfozat aparține Westphalianului, atestă că metamorfismul regional al formațiunilor cristalinului de Poiana Rusca a avut loc în fază sudetă a orogenezei hercinice. Procesele metamorfice au fost în general sincrone cutării care a dat naștere principalelor structuri plicative din regiune.

Recristalizarea metamorfică a decurs în ansamblu în faciesul de șisturi verzi. S-au constatat variații ale intensității metamorfismului (Măier et al., 1964; Pavelescu et al., 1964; Krăutner et al., 1969), care se traduc prin dispunerea oblică a izoplanelor de metamorfism față de stratificația generală a rocilor. Astfel, izoplanele de metamorfism, inclină spre nord intersectând flancul sudic al anticlinoriului Arănieș-Fărășești (Krăutner et al., 1969).

Există date pe baza cărora se pot etapiza fenomenele de blasteză în două stadii: a) primul stadiu, cel mai important și omniprezent, este sincinematic propriu-zis și a decurs în general în subfaciesul cuart-albit-clorit; b) cel de al doilea stadiu cu răspindire locală (cunoscut numai în subunitatea sudică), este tardocinematic și a condus la formarea unor minerale de metamorfism mai înalt: biotit, granat, hornblendă verde-albă.

truie, care crește transversal față de sistozitate. Datele K/Ar arată că stadiul al doilea a urmat la scurt timp după primul, adică tot în faza sudetă (vîrstă K/Ar a biotitului din cca de a 2-a blasă =  $320 \cdot 10^6$  ani).

Formațiunile cristalinului de Poiana Ruscă au suferit deformații hercine și alpine. Deformațiile hercine (tectonica  $B_1$ , tectonica  $S_2$  și tectonica  $S_3$  — Krautner et al., 1969) sunt cele mai importante și au un caracter penetrant, în timp ce mișările alpine au dat naștere numai la fracturi (direcționale, oblice și transversale).

Tectonica  $B_1$  și  $S_2$ , desfășurîndu-se în timpul metamorfismului regional a cărui vîrstă este de 320 m.a. se repartizează în consecință mișărilor sudete. Tectonica  $S_3$  corespunde probabil vîrstei de 240 m.a., deci mișărilor saalice.

Dislocațiile apline, laramice și postlaramice (Krautner et al., 1969), au fost însotite de regenerări locale, dovedă fiind unele din vîrstele model K/Ar mai mici de 150 m.a.

## Anexa

### *Caracterizarea microscopică a rocilor analizate pentru K/Ar*

#### *Proba 5 : Sist. cuarțitic-sericitos (Muncelul Mic).*

Structura grano-lepidoblastică, textură sistoasă. Fondul rocii cuarțitic este echigranular, puternic îndințat, cu extincție rulantă. Sericitul asociat întîm cuarțului sau concentrat în benzi și lentile împreună cu zircon și pigment grafitos. (Integral :  $363 \cdot 10^6 \pm 23$  ani).

#### *Proba 6 : Sist. sericitico-cuarțos (Muncelul Mic).*

Structura grano-lepidoblastică, textură sistoasă. Fondul rocii este predominant sericitos, subordonat cuarțitic. Cuarțul legat genetic de mineralizare este larg cristalizat, poligonal. (Integral :  $249 \cdot 10^6$  ani).

#### *Proba 8 : Metariolit silicificat, premetamorfic (Muncelul Mic).*

Structura porfirică, textură sistoasă. Pasta orientată, fin cristalizată, cuarțo-feldspato-sericitosă conține fenocristale de cuarț zdrobit, lentilizat și schachbrettalbit. Piritizări și calcitizări irevenente. (Integral :  $247 \cdot 10^6 \pm 5$  ani).

#### *Proba 9 : Metariolit tip Sabău (Valea Vețel).*

Structura porfirică, textură sistoasă. Abundente fenocristale de cuarț și feldspat (ortoză, uncori schachbrettalbit) lentilizate, sparte, caolinizate, într-o pasta cuarțo-feldspatică cu sericit, orientată. (Integral :  $268 \cdot 10^6$  ani).

#### *Proba 41/69 : Metariolit (Valca Rozalie).*

Structura porfirică, textură masivă. Fenocristale de ortoză (partial schachbrettalbit) într-o pasta cuarțo-feldspatică cu sericit-muscovit. (Integral :  $241 \cdot 10^6 \pm 5$  ani).

*Proba 15 : řist sericito-cloritos (Valea Stilpului).*

Structura grano-lepidoblastică, textura ſiſtoasă fiin cutală. Sericit, uneori și muscovit, asociat cu biotit cloritizat în pături fiin cintate, curbate, rupte și dispuse în unghi. Cuarțul poligonal, recristalizat. Accesori: magnetit idiomorf, turmalină, calcit porfiroblastic și apatit. (Integral :  $225 \cdot 10^5 \pm 3$  ani).

*Proba 12 : řist sericito-cloritos grafitos (Valea Bâtrîna).*

Structura grano-lepidoblastică, textura ſiſtoasă, cutală. Alternanță de pături cuarțo-feldspatică cu pături exclusiv sericito-cloritoase. Cloritul este secundar după biotit. Sericulit are dezvoltare muscovitică. Pigment grafitos asociat micelor. Accesori: apatit, turmalină. (Integral :  $266 \cdot 10^6 \pm 6$  ani).

*Proba 3/20 : řist sericito-cloritos cuarțos (Ghelar).*

Structura grano-lepidoblastică, textura ſiſtoasă cutată. Constituenți: cuarț, sericit, clorit muscovit, în pături alternante. Cloritul este secundar după biotit. Muscovitul asociat cu magnetit fiin granular. Accesori: turmalină, apatit carbonați, zircon. (Integral :  $290 \cdot 10^6$  ani).

*Proba 30/20 : řist sericito-cloritos cu magnetit (Ghelar).*

Structura grano-lepidoblastică, textura ſiſtoasă.

Caracteristică: finețea cuarțului din benzi subțiri ce alternează cu benzi de sericit, clorit, subordonat și muscovit cu incluzuni de zircon. (Integral :  $255 \cdot 10^6 \pm 6$  ani).

*Proba 1/20 : řist sericito-cloritos grafitos (Ghele).*

Structura grano-lepidoblastică, textura ſiſtoasă slab ondulată. Quarțul pavimentos, plagioclazul maclat polisintetic și foite disperse de clorit, constituie benzi ce alternează cu benzi sericito-cloritoase pigmentate cu grafit. Accesoriile: carbonați, magnetit, turmalină, rutil. (Integral :  $225 \cdot 10^6 \pm 5$  ani).

*Proba 16/20 : řist sericito-cloritos cu carbonați (Tejule).*

Structura grano-lepidoblastică, textura ſiſtoasă, cutată intens. Fondul rocii este cuarțo-feldspatic, echigranular, puternic îndințat, subordonat calcit, clorit, muscovit. Micele constituie fluii ondulați, incluzind rutil (pseudomorf după ilmenit). Accesori: apatit, urtit, turmalină. (Integral :  $180 \cdot 10^6$  ani).

*Proba 18/55 : řist sericito-carbonatic (Alun).*

Structura grano-lepidoblastică, textura ſiſtoasă, ondulată. Pături fine de cuarț pavimentos alternează cu pături sericito-muscovitice, în care biotitul apare ca solzi la periferia muscovitului. Carbonați frecvenți în plăji și romboedri. Accesori: magnetit, pirită. (Integral :  $236 \cdot 10^6$  ani).

*Proba 8/10 : řist biotitic cu carbonați (Ruschita).*

Structura grano-lepidoblastică, textura ſiſtoasă. Benzi exclusiv cuarțo-feldspatică alternează cu benzi în care predomină biotit proaspăt, brun-măsliniu, asociat cu magnetit și incluzind zircon. Calcitul dezvoltat nepreferențial. (integral :  $245 \cdot 10^6 \pm 9$  ani).

*Proba 10/20 : řist cuarțitic-biotitic calcaros (Ruschita).*

Structura grano-lepidoblastică, textura ſiſtoasă grosieră. Alternanță de pături grosiere exclusiv cuarțifice, cu pături fine, micacee, cu cuarț și feldspaț fiin granulari. Biotitul proaspăt, brun-roșieic, cu incluzuni de zircon cu puternice aureole pleocroice, are dezvoltare inegală: fiin foios cu dispoziție lineară conformă, și porfiroblastic cu dispoziție transversală. Muscovit subordonat. Accesori: calcit, apatit, pirită, turmalină, zircon, titanit. (Biotit porfiroblastic :  $268 \cdot 10^5$  ani).

*Proba 9 + 7/32 : řist sericito-cloritos grafitos cu querbiotit (Vadul Dobru).*

Structura grano-lepidoblastică, porfiroblastică, textura șiștoasă, cutată. Păuri subțiri de cuarț pavimento saltereză cu păuri micae ceu calcit, apatit, magnetit, pirită, turmalină. Biotitul porfiroblastic orientat perpendicular pe șiștozitate, și uneori muscovitul, includ zircon înconjurat de puternice aureole pleocroice. (Biotit porfiroblastic:  $313 \cdot 10^6$  ani).

*Probă 6/29: Sist sericită-clorită cu biotit (Dealul Boului).*

Structura grano-lepidoblastică, textura șiștoasă. Benzi din cuarț în granular, pavimentos, cu extincție rulantă, albă și calcit, alterneză cu benzi de biotit brun-roșiețică, contorsionat, asociat cu pirită, calcit, grafit. Biotitul include numeroase granule de zircon înconjurate de aureole pleocroice, care se înșinjă și în cloritele secundare. (Biotit:  $329 \cdot 10^6$  ani).

*Probă 1. G. Sist sericită-clorită grafită (Iazuri).*

Structura grano-lepidoblastică, porfiroblastică, textura milonitică. Caracteristica rocii, puternica tectonizare. Benzile micae grafitoase, cutate și contorsionate, cu mici dispuse discordant și înegrile de grafit, conțin porfiroblaste de feldspat cu structura helicitică. Benzile de cuarț pavimentos lipsit de extincție ondulatorie, au clorit dispers și carbonați. (Integral:  $150 \cdot 10^6$  ani).

*Probă 1. Sc. Sist cuarțitic sericită-clorită (Iazuri).*

Structura grano-lepidoblastică, textura șiștoasă, cutată intens. Alternanță de zone cuarț-feldspatică cu zone sericită-cloritoase. Cloritul, secundar după biotit (cu ace de rutil relicte) este crescut cu muscovit. Carbonații sunt larg dezvoltăți xenomorf sau idiomorf. (Integral:  $< 150 \cdot 10^6$  ani).

*Probă 7: Metatuf acid (Nădrag).*

Structura grano-lepidoblastică, textura paralelă. Fond cuarțitic echigranular, pavimentos, întrerupt de dezvoltarea sericitului în aglomerări sau benzi. Local se individualizează pachete largi cu caracter muscovitic. Accesorii: rutil, zircon. (Integral:  $< 150 \cdot 10^6$  ani).

*Probă 4/20: Sist cuarțitic sericită-clorită (Ghelar).*

Structura grano-lepidoblastică, textura șiștoasă, ușor cutată. Caracteristica rocii: predominarea micelor asupra cuarțului și feldspatului și finețea lor. Cuarțul echigranular puternic îndințat și cu extincție ondulatorie. (Integral:  $< 150 \cdot 10^6$  ani).

*Probă 26/20: Sist sericită-clorită (Ghelar).*

Structura grano-lepidoblastică, textura șiștoasă, cutată. Fondul rocii echigranular, pavimentos, cuarț-feldspatic are fișii micae cu pachete de clorit și sericit dispuse dezordonat. Accesorii: carbonați, magnetit, apatit, zircon. (Integral:  $< 150 \cdot 10^6$  ani).

*Probă 7/1: Sist sericită-clorită cu carbonați (Mănăstire).*

Structura grano-lepidoblastică, textura șiștoasă, cutată. Deosebirea față de probă 26/20 constă numai în participarea carbonaților. (Integral:  $< 150 \cdot 10^6$  ani).

*Probă 18/5: Sist sericită-clorită (Ghelar).*

Structura grano-lepidoblastică, textura șiștoasă, ușor ondulată. În masa cuarț-feldspatică, inechigranulară, se individualizează zone micae cu sericit, muscovit și subordonat clorit. Accesorii: magnetit în zone micae, pirită în zone cuarț-feldspatică, carbonați cu dezvoltare porfiroblastică. (Integral:  $< 150 \cdot 10^6$  ani).

*Probă 20/27: Sist biotită carbonatică (Poenita Voimii).*

Structură grano-lepidoblastică, textura șiștoasă. Componenți principali: cuarț, plagioclaz proaspăt, relativ echigranular; biotit și calcit în benzi alternante. Biotit brun-roșiețică cu inclusiuni de zircon înconjurate de aureole înegrile. (Integral:  $< 150 \cdot 10^6$  ani).

## BIBLIOGRAFIE

- Allen K. C. (1965) Lower and middle Devonian spores of North and Central Vestspitsbergen. *Paleontology* 8/4, p. 687-748, pls. 94-108.
- Alpern B. (1959) Contribution à l'étude palynologique et pétrographique des Charleons français. (Thèses) Paris.
- Cantuniari St. M. (1937) Études géologiques dans les Monts Poiana Rusca. I. Bassin de Rusea. Région de Rusca Montană. *C. R. Inst. Géol. Roum.*, XXI (132-33), p. 156-168, Bucureşti.
- (1941) Études géologiques dans les Monts Poiana Rusca. II. Bassin de Rusca, région de Ruschiţa (dép. Severin). III. Versant S de la Crête Poiana Lungă, Măgura. *C. R. Inst. Géol. Roum.*, XXVI, p. 114-121, Bucureşti.
- Chaloner G. W. (1967) Spores and land-plant evolution. *Review of Paleobotany and Palynology*, 1/4-4, p. 83-93.
- Chivu C. (1964) Considerații geologice și tectonice în regiunea Gladna Română-Munții Poiana Rusca. *Rev. Minelor*, 1, București.
- Serafimovici V. (1967) Contribuții la cunoașterea geologiei și tectonicii regiunii Românești-Gladna Montană (Poiana Rusca de NW). *D. S. Com. Stat. Geol.*, LII, 3 (1964-1965), p. 5-14, București.
- Codarcea A.I., Răileanu Gr., Năstăseanu S. (1960) Carboniferul inferior de pe valea Ideguiu. *Stud. cerc. geol. Acad. R. P. R.*, V, 3, p. 404-418, București.
- Codarcea-Dessila Marela (1964) Considerații asupra stratigrafiei, genezei și structurii formațiunilor cristaloiliniene din Carpații Meridionali centrali (regiunea Răiunari-Cisnădioara-Sadu). *An. Com. Geol.*, XXXIV, I, p. 195-210, București.
- (1967) Noi date asupra stratigrafiei terenurilor cristaloiliniene din România. *Stud. cerc. geol. geofiz. genet. seria Geol.*, 1, 12, p. 57-67, București.
- Dimitrescu R. (1964) Date microtectonice asupra regiunii Cimpeni. *D. S. Com. Geol.*, L/1 (1962-1963), p. 193-195, București.
- Hajlaváts J. (1903) Über den geologischen Bau der Umgebung von Hattzag-Szászváros-Vajdahunyad. Arbeiten der XXXII Wanderversammlung ungar. Ärzte u. Naturforscher, Cluj.
- (1904) Über den geologischen Bau der Umgebung von Vajdahunyad. *Jahresb. d. k. geol. Anst.* f. 1902, p. 93-100, Budapest.
- (1905) Der geologische Bau der Umgebung von Deva. *Jahresb. d. k. ung. geol. Anst.* f. 1903, p. 113-124, Budapest.
- Harper C. T. (1970) Graphical solutions to the problem of radiogenic Argon-40 loss from metamorphic minerals. *Eclogae geol. Helv.*, 63-1, Basel.
- Ionescu F.I., Kräutner H., Mureșanu M. (1963) Contribuții la cunoașterea fundației cristalin din bazinul Streiului, pe baza noilor date geofizice și geologice. *Assoc. Geol. Carp. Balcan. Congr.* V. 1961, II, p. 57-85, București.
- (1969) Correlarea datelor geofizice și geologice din unitatea epimetamorfică a masivului Poiana Rusca. *D. S. Com. Stat. Geol.*, LIV/3 (1967-1968), p. 339-366, București.
- Kanasewich E. R. (1968) The interpretation of lead isotopes and their geological significance in radiogenic dating for geologists, p. 147-223. Interscience Publishers London-New York-Sydney.
- Kosareva T., Berches S. I. (1963) Considerații generale cu privire la paleogeografia și metalogeneza masivului Poiana Rusca. *Rev. Minelor*, XIV, 10, p. 449-453, București.

- Kräutner Florentina, Mirăuță Elena (1970) Asupra prezenței Devonian-Carboniferului în cristalinul Carpaților Orientali. *D. S. Inst. Geol.* (1967-1968) LV/1, p. 197-213, București.
- Kräutner H. G. (1963) Zăcământul de sulfuri de la Muncelul Mic (Poiana Rusca). *Assoc. Geol. Carp. Balt., Congr.* V, 1961, II, p. 97-114, București.
- Kräutner Florentina, Mureșan M., Mureșan Georgea (1969) Stratigrafia, evoluția magmatismului, metamorfismul și tectonica formațiunilor cristaline din unitatea epimetamorfică a masivului Poiana Rusca. *An. Com. Stat. Geol.*, XXXVII, p. 179-264, București.
- (1970) Die hercynische Geosynklinalerzbildung in den rumänischen Karpaten und ihre Beziehungen zu der hercynischen Metallogenese Mitteleuropas. *Mineralium Deposita*, 5, 4, p. 323-344, Berlin-Heidelberg-New York.
- Loczy L. v. (1882) Geologischen Notizen aus dem nördlichen Teile des Krassoer Komitates. *Füll. Käst.* XII, 5-6, p. 119-138, Budapest.
- Maler O., Mureșan Georgea, Mureșan M. (1964) Structura geologică a regiunii Teliuc-Ghelar (zona centrală a masivului Poiana Rusca). *D. S. Inst. Geol.*, XLIX/1 (1961-1962), p. 269-285, București.
- Solomon I., Vasilescu G. (1968) Stratigrafia cristalinului epimetamorfic din partea de nord a masivului Poiana Rusca (regiunea Poieni-Bâtrina-Roșcani). *D. S. Com. Stat. Geol.*, LIV/1 (1966-1967), p. 81-100, București.
- Kräutner H., Kräutner Florentina, Mureșan M., Mureșan Georgea (1969) Stratigrafia și structura formațiunilor epimetamorfice din zona mediană a masivului Poiana Rusca (regiunea Teliuc-Ghelar-Vadul Dobrii). *An. Com. Stat. Geol.* XXXVII, p. 119-177, București.
- McC. Gregor D. C. (1960) Devonian spores from Melville island Canadian arctic Archipelago. *Paleontology*, 3/1, p. 26-44, II-13.
- Mirăuță Elena (1964) O formă caracteristică de conodontă în Carboniferul de pe valea Idegnimi. *Stud. cerc. geol., geofiz., geogr.*, seria Geol., 9, 1, p. 193-194, București.
- Möckel K. (1923) Comunicare preliminară asupra studiilor petrografice din Poiana Rusca. *D. S. Inst. Geol. Rom.*, XI (1922-1923), p. 75-81, București.
- Moreau-Benvíl, Arlette (1966) Étude des spores du Dévonien inférieur d'Aurillé (le Fléchay), Anjou. *Rev. de micropal.*, 4/8, p. 215-232, 1-3.
- Mortimer M. G. (1966) Some lower Devonian microfossils from Southern Britain. *Rev. Palaeobotan. Palynol.*, 1, p. 95-109.
- Mureșan M. (1964) Studii geologice în cristalinul epimetamorfic din partea de nord-vest a masivului Poiana Rusca. *D. S. Inst. Geol.* L/2 (1962-1963), p. 103-127, București.
- (1968) Privire generală asupra stratigrafiei și evoluției terenurilor cristalofoiene din partea de NW a masivului Poiana Rusca. *Acad. R.S.R. Stud. cerc. geol., geofiz., geogr.*, seria Geol., 13, 1, p. 111-123, București.
- Murthy V. R., Patterson C.C. (1962) Primary isochron of zero age for meteorites and the earth. *Jour. Geophys. Research.*, 67/3 p. 1161-1167.
- Năstaseanu S., Stănoiu I., Bitoianu Cornelia (1973) Corelarea formațiunilor molaselor westfalian-permiene din partea vestică a Carpaților Meridionali. *An. Inst. Geol.*, XL (1970-1971), București.
- Papiu V. C., Popescu A., Serafimovici V. (1963) Considerații petrogenetice asupra carbonatitelor epizonale din masivul Poiana Rusca. *Assoc. Geol. Carp. Balt., Congr.* V, 1961, II, p. 137-165, București.

- (1964) Importanță litogenetică a rocilor carbonatate din epizona masivului Poiana Rusă. *D. S. Com. Geol.*, XLIX/2 (1961–1962), p. 53–67, București.
- Peltz S., Peltz Margareta (1965) Notă asupra unor iviri de șisturi cristaline în regiunea Tisa-Ioncasca (Munții Poiana Rusă). *D. S. Com. Geol.*, LI/2 (1963–1964), p. 109–116, București.
- Palyxford G. (1963) Lower Carboniferous microfloras of Spitsbergen. *Paleontology*, 5/3, p. 550–618, 78–87.
- Potonie R., Kremp G. (1954) Die Gattungen der paläozoischen Sporae dispersae und ihre stratigraphie. *Geol. Jahrbuch Band* 69, Hannover, p. 111–194.
- (1955) Die Sporae dispersae des Ruhrcarbons. *Paleontographica*, 98, p. 1–136, 1–16.
- Alpern B. (1961) Principaux aspects du développement de la palynologie du Mouiller. V. *Congr. Intern. de Stratigr. et de Géologie du Carbonifère. Compte Rendu*, p. 203 – 226.
- Richardson J. B. (1961) Spores from the middle old red Sandstone of Cromarty, Scotland. *Paleontology*, 3/1, p. 45–63, 14.
- (1964) Middle old red Sandstone spore assemblages from the Orcadian Basin North-East Scotland. *Paleontology*, 7/4, p. 559–605, 88–93.
- (1964) Stratigraphical distribution of some devonian and lower carboniferous spores. *C. R. V. Congr. Intern. de Stratigraphie et de Géologie du Carbonifère*, III, p. 1111–1114.
- Staplin F. L. (1960) Upper Mississippian plant spores from the Golata formation, Alberta, Canada. *Paleontographica*, 107–B, p. 1–40, 1–81.
- Schafarzik Fr. (1903) Über die geologischen Verhältnisse der Umgebung von Furdia und Német-Gladna, sowie der Gegend westlich von Nadrag. *Jahresb. d. k. ung. geol. A. f.* 1901, p. 110–118, Budapest.
- (1904) Über die geologischen Verhältnisse der Umgebung von Romangladna. *Jahresb. d. k. geol. A. f.* 1902, p. 101–108, Budapest.
- (1905) Über die geologischen Verhältnisse der Umgebung von Lunkány und Pojén sowie des Kroneyttales bei Nádrag. *Jahresb. d. k. ung. geol. A. f.* 1903, p. 125–138, Budapest.
- (1906) Über die geologischen Verhältnisse von Forasest und Tonest im Komitat Krassó-Szörény. *Jahresb. d. k. ung. geol. R. A. f.* 1904, p. 141–147, Budapest.
- Slavkin V. I. (1963) Stratigrafia paleozoia brutrennei clasti Karpato-Balcanskogo Sooruzhenia. *Asoc. Geol. Carp.-Balc., Congr. V.* 1961, III, 2, p. 191–198, București.
- Hain V. E. (1963) Osnovnye zakonomernosti tektoniceskogo razvitiia Karpatobalkansko i Krimsko-Kavkazskoi gеosinklinalnih oblastei. *Asoc. Geol. Carp.-Balc. Congr. V.* IV, p. 249–268, București.

## LE DÉVONIEN-CARBONIFÈRE INFÉRIEUR ÉPIMÉTAMORFIQUE DE POIANA RUSCĂ

(Résumé)

Les formations cristallines du massif Poiana Rusă se rangent en deux unités tectoniques majeures, séparées par une dislocation directionnelle préalpine, partiellement réactivée par les mouvements laramiens : l'unité métamorphique, au sud, qui renferme — dans la plus grande partie — des formations précambriennes des séries de Sebeș-Jotru et de Tincova

(Cumpăna-Cozia?) et l'unité épimétamorphique au nord, constituée du „cristallin de Poiana Rusca”, qui fait l'objet de cet ouvrage.

La notion de „cristallin de Poiana Rusca” désigne un ensemble de dépôts paléozoïques terrigènes, carbonatiques et magmatogènes, constitué de deux empilements à successions spécifiques, séparés par une discordance stratigraphiques et métamorphisés ensemble pendant la phase sudète de l'orogenèse hercynienne. Par conséquence, les formations du cristallin de Poiana Rusca représentent — dans leur ensemble — une province métamorphique hercynienne.

### 1. Données palynologiques

La reprise des déterminations de spores des formations épimétamorphiques de Poiana Rusca permet, dans l'actuel stade, de préciser 3 points fossilières où les associations palynologiques (tableau 3 est planche I) donnent des indications sur l'âge des roches cristallines qui les renferment.

Il faut en ajouter un quatrième point fossilière, qui ne livre pas des indication directes sur les roches-hôtes, vu qu'il renferme une association migrée le long d'un plan de faille.

On a mis aussi en évidence en quelques roches de la série de Ghelar et de la de série de Padeș des restes fossiles d'organismes phytoplanctoniques de circulation stratigraphique assez large, qui indiquent la sédimentation en milieu marin des formations des deux séries.

L'association identifiée dans les calcaires de la série de Ghelar (volcanogène basique), de Lazuri (point fossilière 1) appartient au Dévonien (tab. 3). Etant donné que les formes d'*Emphaniaisporites* sp. et *Relusotritetes* sp., caractéristiques au Dévonien en général, apparaissent associées à *Leiotriletes minutus* (Knoch.) Pot. et *Geminospora* sp. connues dans le Dévonien inférieur et moyen et à *Leiotriletes* cf. *marginalis* Mc Gregor développé surtout dans le Dévonien moyen, on peut attribuer le complexe des schistes verts tuffogènes (Gh<sub>1</sub>) au Dévonien moyen.

Le contenu microfossile mis en évidence à la partie basale et médiane de la série de Padeș (tab. 3) (points fossilières 2, 3 — vallée Crivina et vallée Bisericii) indique l'âge carbonifère vu l'association des formes *Leiotriletes gulaferns* Pot. -Krempp., *Ahrensisporites* sp. et *Lycospora* sp., connue dans l'ensemble du Carbonifère. Vu, d'une part, l'âge K/Ar de 320 m.a. (phase sudète) acquis pour le métamorphisme du cristallin de Poiana Rusca et d'autre part, la disposition transgressive de la molasse hercynienne non-métamorphisée, du Westphalien, sur les formations métamorphisées du Banat (Năstaseanu et al., 1971) nous allons attribuer toute la série de Padeș au Carbonifère inférieur.

### 2. Données Pb/Pb

La plupart des roches étudiées afin de déterminer l'âge isotopique proviennent des minerais de blende et de galène exploités à Muncelul Mic (échantillons 4, 5, 7, 6) et des apparitions de galène, de barytine et de fluorine de Românești (échantillons 1, 2, 3).

Le gisement de Muncelul Mic est lié, au point de vue génétique, au magmatisme acide qui a engendré les roches métarhyolitiques et métakératophyriques du complexe supérieur (Pd<sub>3</sub>) de la série de Padeș. Le minéral apparaît étroitement lié, au point de vue spatial, aux produits intrusifs et extrusifs de ce magmatisme, localisés dans la partie supérieure de la série de Padeș (Pd<sub>3</sub>). Il représente, au point de vue génétique, une concentration hydrotermale tithonienne et une imprégnation, recristallisées et partiellement mobilisées au cours du métamorphisme régional du cristallin de Poiana Rusca (Kräutner, 1968). Le minéral de Românești

(échantillons 1, 2, 3) est représenté par de petits filons et nids de galène associée à la fluorine, à la barytine et au quartz, situés dans une brèche pré-métamorphique, constituée de schistes quartzitiques séricite-chloriteux et de quartzites noires du complexe supérieur de la série de Ghelar (Gh<sup>4</sup>). Les caractères structuraux du minéral, témoignant d'une genèse pré-métamorphique, et la position géologique permettent de supposer une affiliation de cette minéralisation hydrothermale au magmatisme acide manifesté pendant la formation du complexe supérieur (Pd<sup>2</sup>) de la série de Padăș (Mureșan, 1964).

Les analyses isotopiques (tab. 4) ont été effectuées à l'aide du spectromètre de masse MI-1305. On a extrait le plomb de la galène à l'état de iodure. Les abondances isotopiques relatives du plomb ont été déterminées avec une erreur de 1%.

Le groupement des échantillons, en vertu de leur composition isotopique, selon les trois sources d'origine, témoigne d'une différenciation isotopique dans le matériel analysé.

On peut ainsi constater, dans la galène de Teliuc (échantillon 8), un excès en Pb<sup>27</sup> (fig. 1, 2) qui semble indiquer des âges-modèle aberrants (tab. 5), tandis que les galènes de Muncelul Mic et de Românești présentent des abondances isotopiques près de la courbe d'évolution du Pb (MI-8,90 ± 0,7).

On a donc une indication que la métallogenèse associée au magmatisme basique de la série de Ghelar et celle affiliée aux magmatites acides de la série de Padăș sont liées à des sources ayant évolué dans le temps dans des domaines à différents degrés de contamination du plomb primaire avec du plomb radiogénique.

Il résulte, de ce que nous venons d'exposer, que le plomb de Poiana Rusca, au moins une partie, n'a pas évolué dans un système clos jusqu'au moment de se fixer dans les galènes des gîtes mentionnés. Il s'agit donc d'un plomb anomal et les modèles du calcul des âges géologiques basés sur un seul stade d'évolution ne s'y appliquent pas. Les âges, partiellement aberrants, acquis par différents modèles (tab. 4), confirment d'ailleurs cette conclusion.

Bien que la situation géologique indique des âges rapprochés pour les minéraux de Românești et de Muncelul Mic, les rapports isotopiques déterminés se rangent pourtant sur le graphique  $^{207}\text{Pb}/^{204}\text{Pb} - ^{208}\text{Pb}/^{204}\text{Pb}$  (fig. 1) en deux domaines d'âges différents. Il faut donc admettre soit : a) une contamination radiogénique selective chez l'un des deux gisements, situation capable de fournir des indications d'âge sur le plomb non-contaminé résultée du graphique des isochrones H-H ou b) une contamination radiogénique (plomb anomal) commune à deux groupes de minéraux, dans ce cas-là on peut employer le modèle bi-slatal Kanasewich pour obtenir des indications sur le temps de formation des galènes analysées.

a) Dans le graphique d'isochrones, calculé pour l'âge du plomb primitif ( $t_0 = 4,55 \cdot 10^9$  ans), les échantillons de Românești se rangent entre les isochrones 300 - 300,10<sup>6</sup> ans (moyenne = 340,10 ans) où entre les lignes d'erreur pour  $^{224}\text{Ra}$  entre croissant étant la courbe d'augmentation au droit des rapports isotopiques correspondant aux âges mentionnés. Dans cette acceptation, le plomb du minéral de Muncelul Mic représenterait un plomb anomal de type J. On a placé — en tant que terme de comparaison — dans les diagrammes de la figure 1 les rapports isotopiques du plomb des gisements classiques de Hammelsberg et Meggen, dont la formation au cours du Dévonien moyen est bien argumentée au point de vue paléontologique. On peut remarquer la similitude de la composition isotopique du plomb de Muncelul Mic, spécialement par rapport à celle du plomb de Meggen. Les points représentatifs pour Muncelul Mic, Meggen et Hammelsberg se rangent dans le même domaine, d'âges bas, aberrants. Si l'on admet, en échange, la valeur initiale, utilisée par H-H pour l'âge du plomb primitif ( $t_0 = 451$  et  $10^6$  ans), le système d'isochrones se déplace de sorte que le

groupe des échantillons de Muncelul Mic, de Rammelsberg et de Meggen se situe entre les isochrones  $270 - 380 \cdot 10^6$  ans (moyenne =  $340 \cdot 10^6$  ans). Le plomb des galénés de Românești représenterait, dans ce cas-là, dans l'acceptation II — (un plomb anomal de type B).

Les deux variantes d'interprétation nous portent à conclure qu'on doit admettre l'âge réel des galénés analysées dans l'intervalle de  $300 - 340 \cdot 10^6$  ans.

b) Dans l'acceptation que les galénés de Muncelul Mic, tout comme celles de Românești contiennent du plomb anomal, on peut y tracer une isochrone secondaire (fig. 1A). L'intersection de cette droite avec la courbe d'augmentation dans le domaine de l'âge d'environ  $300 \cdot 10^6$  pourrait autoriser l'acceptation de cet âge pour le temps de formation des minéraux de Muncelul Mic et de Românești.

On peut donc conclure que les galénés analysées appartiennent à une métallogenèse du cycle hercynien, déroulée — selon toute probabilité — dans l'intervalle de temps  $300 - 340 \cdot 10^6$  ans. Si l'on tient compte de la liaison génétique entre les minéraux de Muncelul Mic et probablement ceux de Românești avec les roches magmatogènes acides de la série de Padeș, on peut donc attribuer aussi ces dernières au cycle hercynien, leur mise en place ayant eu lieu pendant le Carbonifère inférieur.

### 3. Données $K^{40}/Ar^{40}$

La plupart des roches analysées ont été récoltées des forages ou des travaux miniers, afin d'assurer la fraîcheur nécessaire aux déterminations en bonnes conditions.

La détermination de l'argon radogénique a été réalisée par la méthode volumétrique, dans la plupart des cas sur des roches totales et, quelquefois, sur de la querbiotite fraîche et bien individualisée. On a employé au calcul des âges les suivantes valeurs constantes :  $-4.72 \cdot 10^{-10}$  ans $^{-1}$ ;  $0.557 \cdot 10^{41}$  ans $^1$ ;  $K^{40}/K = 1.20 \cdot 10^{-8}$ .

Nous n'avons pas entamé — afin de dater l'âge isotopique du cristallin de Poiana Rusca — seulement des discussions sur les âges apparents acquis par le modèle K/Ar, mais, nous avons pris en considération aussi les âges isochrones K/Ar des roches analysées. Cette analyse paraît justifiée surtout si l'on tient compte que les formations du cristallin de Poiana Rusca représentent, au point de vue du métamorphisme et de l'évolution tectonique, un ensemble cogenétique et donc elles semblent accomplir la condition nécessaire à la détermination de l'âge isochrone K/Ar.

La représentation graphique du rapport K/Ar pour les roches analysées du cristallin de Poiana Rusca (fig. 3) montre un groupement des points représentatifs autour de plusieurs lignes isochrones. On voit se préciser ainsi une isochrone de  $325 \cdot 10^6$  ans avec l'interception  $Ar_{\Delta} = 0$ , sur laquelle se rangent les preuves dont l'âge modèle K/Ar correspond à l'âge isochrone K/Ar. La moyenne des âges-modèle K/Ar pour les trois déterminations est de  $327 \cdot 10^6$  ans. Mais, la plupart des points sont groupés dans un espace allongé, à l'aide duquel on peut tracer la moyenne d'une isochrone de  $310 \cdot 10^6$  ans avec l'interception négative  $Ar_{\Delta} = -0.20 \text{ g/g} \cdot 10^6$ . Une troisième isochrone de  $75 \cdot 10^6$  ans avec l'interception positive  $Ar_{\Delta} = +0.12 \text{ g/g} \cdot 10^6$  se dessine à la partie inférieure du diagramme.

Il s'ensuit que le métamorphisme régional qui a engendré le cristallin de Poiana Rusca s'est manifesté entre  $310 - 325 \cdot 10^6$  ans et que, excepté une petite partie des échantillons examinés, la plupart des roches ont perdu, après cet événement, une partie de  $^{40}\text{Ar}$  accumulé (environ  $0.20 \text{ g/g} \cdot 10^{-7} \text{ Ar}$ ). Les âges-modèle K/Ar réduits, acquis pour un petit nombre de déterminations (tab. 6) reflète donc la perte en Ar mentionnée et indique des valeurs comprises entre  $180 - 290 \cdot 10^6$  ans (moyenne =  $245 \cdot 10^6$  ans) pour la fin de ce phénomène.

Ultérieurement, un autre événement géologique à  $75 \cdot 10^6$  ans a déclenché, chez une partie du matériel analysé, un nouveau rajeunissement des âges-modèle K/Ar par une diffusion partielle de l'Ar en certaines roches. L'intersection positive de l'isochrone, qui indique un excès de  $^{40}\text{Ar}$  dans la roche et explique les valeurs plus grandes des âges-modèle K/Ar (environ  $140 \cdot 10^6$  ans), par rapport à l'âge isochrone K/Ar, dénote l'élimination seulement partielle de l'Ar.

Afin de vérifier la possibilité d'appliquer au cristallin de Poiana Rusca la supposition étayant la détermination de l'âge isochrone K/Ar — la valeur constante du déficit en argon (Ar) dans un groupe de roches cogenétiques, sans tenir compte de leur teneur en potassium on a tracé la moyenne de chaque isochrone pour les roches riches et pour celles pauvres en K (fig. 4). Vu que les deux isochrones ne se superposent pas, la supposition initiale ne se vérifie guère. Les roches à  $K > 4\%$  s'inscrivent sur une droite de  $330 \cdot 10^6$  ans, avec une valeur plus élevée du déficit en argon ( $\text{Ar}_\Delta = -0,37 \text{ g/g} \cdot 10^{-7} \text{ Ar}$ ) par rapport aux roches avec  $K < 4\%$  dont l'isochrone de  $315 \cdot 10^6$  ans indique  $\text{Ar}_\Delta = -0,21 \text{ g/g} \cdot 10^{-7} \text{ Ar}$ . Il en résulte que les roches plus riches en K ont perdu une quantité plus grande d'Ar par rapport aux roches plus pauvres en K.

Mais, il est à souligner que les âges isochrones K/Ar ne se modifient pas sensiblement à cause de la différence saisie dans la valeur du déficit en argon ( $\text{Ar}_\Delta$ ). Tant l'isochrone générale ( $310 \cdot 10^6$  ans) que les isochrones partielles pour les roches riches ( $330 \cdot 10^6$  ans) et les roches pauvres en K ( $315 \cdot 10^6$  ans) indiquent des âges dont la différence maximum monte à  $20 \cdot 10^6$  ans, donc à des valeurs dont la grandeur approche les erreurs enregistrées dans la détermination des âges-modèle K/Ar (tab. 6).

Une preuve que la perte en argon n'a pas été uniforme dans la masse des roches cristallines de Poiana Rusca, est l'absence d'une isochrone unique due à la dispersion des points dans le diagramme K/Ar, qui reflète justement ce phénomène. On peut imaginer, dans cette situation, que dans l'espace allongé où se placent les points du diagramme K/Ar il y a, en réalité, une infinité d'isochrones interceptant l'abscisse Ar à des valeurs négatives différentes (fig. 5).

La position (l'âge) de ces isochrones peut être indiquée approximativement par les points situés sur le bord de l'espace où sont projetées les roches (fig. 5). Par l'association des points respectifs l'on obtient à la partie supérieure de l'espace une isochrone de  $320 \cdot 10^6$  ans ( $\text{Ar}_\Delta = -0,135 \text{ g/g} \cdot 10^{-7} \text{ Ar}$ ). On peut considérer, à la partie inférieure, soit une isochrone de  $305 \cdot 10^6$  ans ( $\text{Ar}_\Delta = -0,22 \text{ g/g} \cdot 10^{-7} \text{ Ar}$ ) ren禀issant tous les points marginaux, soit l'isochrone de  $330 \cdot 10^6$  ans ( $\text{Ar}_\Delta = -0,46 \text{ g/g} \cdot 10^{-7} \text{ Ar}$ ) des roches riches en K (fig. 4, 5). Donc, selon cette interprétation aussi, les âges isochrones varient dans les limites des valeurs acquises par les diagrammes des figures 3 et 4.

L'essai de tracer les isochrones moyennes pour les roches à constitution pétrographique et chimique similaire n'a pas donné des résultats satisfaisants.

En conclusion, vu que les essais d'interprétation variés ont indiqué des âges rapprochés, nous sommes d'avis que la valeur moyenne de  $320 \cdot 10^6$  ans peut être envisagée comme l'âge du métamorphisme régional qui a engendré le cristallin de Poiana Rusca. Elle se place entre la moyenne des âges modèle K/Ar non-rajeunis ( $327 \cdot 10^6$  ans) et la moyenne des six âges isochrones K/Ar acquis par les graphiques des figures 3, 4, 5 ( $318 \cdot 10^6$  ans).

#### *Modèle de l'évolution et de la rétention de l'argon dans les roches du cristallin de Poiana Rusca et les relations avec les principaux phénomènes géologiques*

Les âges isotopiques K/Ar permettent la reconstitution du suivant schéma d'évolution de l'argon dans le cristallin de Poiana Rusca et la corrélation avec l'histoire du métamorphisme et des déformations tectoniques (fig. 6).



1) L'âge de  $330 \cdot 10^6$  ans des minéraux et des roches cristallines place le métamorphisme régional du cristallin de Poiana Rusca dans la phase sudète de l'orogenèse hercynienne. Cet encadrement vient en accord, d'une part, avec l'attribution — en vertu des données palynologiques à Poiana Rusca et paléontologiques en Banat<sup>24</sup> — d'une partie des roches cristallines au Carbonifère inférieur et, d'autre part, avec la présence, en Banat, des dépôts westphaliens<sup>25</sup> et stéphaniens transgressifs, non-métamorphisés, en facies de molasse.

2) La plupart des âges-modèle K/Ar se rangent entre  $240 - 275 \cdot 10^6$  ans (moyenne =  $245 \cdot 10^6$  ans) (fig. 3). Ils indiquent un événement géologique temporaire qui a provoqué la perte de l'argon des roches et des minéraux.

Etant donné le caractère pénétrant de ce phénomène, il est probable qu'il correspond à la déformation  $S_3$  hercynienne tardive du cristallin de Poiana Rusca (Krautner et al., 1969). Cette déformation est caractérisée par un cisaillement pénétrant à intensifications locales, ayant déterminé l'élévation du massif.

Dans cette acceptation, la déformation hercynienne tardive ( $S_3$ ) du cristallin de Poiana Rusca a eu lieu entre le Permien inférieur et celui supérieur, donc pendant la phase salique. Dimitrescu (1964) a signalé une situation similaire dans le Permien laminé des Monts Apuseni.

3) Les âges-modèle K/Ar sporadiques de  $110 - 150 \cdot 10^6$  ans ne semblent pas avoir une signification géologique, représentant des âges isotopiques apparents. La construction de l'isochrone (fig. 3) met en évidence que le rajeunissement des âges-modèle K/Ar d'un nombre réduit d'échantillons est dû à un événement à influences limitées sur le cristallin, événement passé il y a  $75 \cdot 10^6$  ans. Il s'agit, à coup sûr, du diastrophisme taramien manifesté, seulement d'une manière rupturale, dans la masse rigide du cristallin, par des dislocations et des milonisations locales.

4) Les deux âges-modèle K/Ar de  $10 \cdot 10^6$  ans, tout à fait approximatifs dans les conditions de détermination, reflètent le diastrophisme néogène qui a déclenché la formation des bassins sédimentaires limitrophes jeunes et qui s'est manifesté dans la masse du cristallin par des compartmentalizations tectoniques le long de plusieurs systèmes de failles (Krautner et al., 1969).

#### 4. Précisions sur l'âge à partir des corrélations lithostratigraphiques

L'attribution de la majeure partie du cristallin de Poiana Rusca au Dévonien et au Carbonifère inférieur, étayée des considérations palynologiques et radiochronologiques, permet de conclure que sur le territoire carpaticque ont existé, le long du Dévonien et du Carbonifère inférieur, des régions avec une évolution géologique parallèle à celle des aires engéosynclinales de "l'Europe hercynienne" (Krautner, 1970). En effet, la succession lithologique des séries de Govăjdia, Ghelar et Padeș, révèle de nombreux aspects communs avec ceux des successions du Dévonien et du Carbonifère inférieur, connus dans le développement rhéno-hercynien du massif Rhénan (Lahn-Dill, Sauerland, Kellerwald) et du massif Harz, dans le développement sudète de Silésie (Nizky Jesenik, Jiruby Jesenik) et dans le développement saxo-thuringien du Frankenwald et de Thüringer Wald.

<sup>24</sup> Dinauțanul din Valea Tlegnici (A.), Codrușea, Gr. Răileanu, S. Năstaseanu, 1960; Mirăntă, 1964.

<sup>25</sup> Cornelia Bitolișanu. Studii paleobotanice și formacțiunilor paleozoice din zona Svinita, 1968. Arh. Inst. Geol. București.

Cornelia Bitolișanu. Studii paleobotanice asupra depozitelor paleozoice din zona Reșița, 1969. Arh. Inst. Geol. București.

S. Năstaseanu, I. Stănoiu, Cornelia Bitolișanu. Corelații formacțiunilor paleozoice westfaliene din partea vestică a Carpaților Meridionali (sub tipar), 1971.

La corrélation de la succession lithologique des formations épimétamorphiques du massif Poiana Rusca avec la succession de la région silésienne (Jesenik) semblable à celle connue dans le domaine rhéno-hercynien, nous porte à attribuer aux unités lithostratigraphiques du cristallin de Poiana Rusca les âges indiqués dans le tableau 7.

Il ne faut pas considérer cet encadrement stratigraphique des séries et des complexes cristallins dans un sens strict, de sorte que les limites entre les unités lithostratigraphiques séparées dans l'empilement des schistes cristallins pourraient elles ne pas correspondre rigoureusement aux limites des subdivisions de l'échelle chronostratigraphique internationale. Il faut donc interpréter le schéma ci-dessus présenté dans le sens que la série de Goyăjdia se rattache, dans la plus grande partie, au Dévonien inférieur; la partie inférieure de la série de Ghelar (volcanogène basique) correspond, en lignes générales, au Dévonien moyen et sa partie supérieure au Dévonien supérieur; la série de Padeș renferme, à partir de sa zone de base, le Carbonifère inférieur.

Dans cette acceptation (fig. 7), les métatufs basiques de l'horizon de base de la série de Ghelar (volcanogène-basique) correspondent à la première phase, de début, de l'évolution du magmatisme initial hercynien, de la fin du Dévonien inférieur et du début du Dévonien moyen. Il faudrait attribuer à la phase principale de ce magmatisme du Dévonien moyen la masse importante de schistes verts de la série de Ghelar (le complexe Alun-Ruschița — au sud — et le complexe Iazuri — au nord) à minces intercalations de métatufs kératophyriques quartzifiés de sa partie supérieure (Krăutner, 1969). Les extrusions basiques sporadiques tardives succédant à la phase principale du magmatisme initial hercynien qui apparaissent au cours du Dévonien supérieur, pourraient être des équivalents des intercalations de schistes verts de la partie supérieure de la succession du faciès septentrional (l'horizon Tomești-Groși, de la partie supérieure du complexe Gh<sub>2</sub><sup>N</sup>). La métallogenèse ferrifère importante, associée dans toute l'Europe hercynienne à la phase principale du magmatisme basique dévonien, trouve son correspondant dans les accumulations volcanogènes sédimentaires de minerai de fer carbonatique et oxydique, liées à la masse principale des roches vertes de la série de Ghelar (Krăutner, 1970). La phase tardive du magmatisme initial hercynien du Carbonifère inférieur, caractérisée par l'expulsion — outre les produits basiques — d'un matériel acide, serait représentée par des métatufs basiques et acides de la partie supérieure de la série de Padeș (complexe Pdg) et par la suite des roches métagabbroides, métadoléritiques, métarhyolitiques et métakératophyriques quartzifiées qui traversent la série de Padeș. A Poiana Rusca, cette phase est accompagnée d'une métallogenèse spécifique (Krăutner, 1970) caractérisée par des concentrations de sulfures de Pb et Zn.

## 5. Stratigraphie du cristallin de Poiana Rusca

### 5.1. Paléozoïque inférieur (?)

Les formations attribuées au Paléozoïque inférieur renferment les plus anciens termes stratigraphiques du cristallin de Poiana Rusca, constituant la série de Bâtrina (Bt).

Cette série est constituée surtout de schistes séricite-graphiteux ± chlorite, où sont intercalés des quartzites (quartzites graphitiques, quartzites sériciteuses, rares quartzites biotitiques à grenats), schistes quartzzeux (schistes quartzzeux à séricite et chlorite, schistes quartzzeux à biotite ± chlorite), schistes séricite-chloriteux-± biotite. Dans la zone de Teliuc-Bunila on peut remarquer le passage latéral des schistes graphiteux vers des quartzites graphitiques.

Dans ce matériel divers d'origine terrigène, sont intercalées par endroits des roches vertes tuffogéniques (métatufs basiques): schistes chloritiques, biotite ± epidote, schistes chlorito-calcaires à albite, schistes chloritiques à albite ± calcite.

Dans la série de Bâtrina, les calcaires apparaissent tout à fait subordonnément, en constituant des intercalations dont la largeur ne dépasse pas quelques mètres.

### 5.2. Dévonien

En vertu des données palynologiques, radiochronologiques et des corrélations lithostratigraphiques présentées, il s'ensuit que le Dévonien est représenté dans le cristallin de Poiana Rusca par les séries de Govăjdia (Gv) et de Ghelar (Gh).

La série de Govăjdia renferme les formations terrigènes disposées en transgression sur la série de Bâtrina et supportent les premiers produits basiques de la série de Ghelar. La série de Ghelar représente l'empilement des roches cristallines tuffogènes, terrigènes et carbonatiques disposées en continuité de sédimentation sur la série de Govăjdia et délimitées par les premiers et les derniers tufs de la phase principale du magmatisme basique.

#### 5.2.1. Dévonien inférieur

On a attribué au Dévonien inférieur les formations de la série de Govăjdia (Gv) vu que, d'une part, elles supportent en continuité de sédimentation la série de Ghelar, dont la formation au cours du Dévonien moyen et supérieur est attestée par les données palynologiques et les parallelisations lithostratigraphiques et, d'autre part, elles reposent d'une manière transgressive sur la série de Bâtrina. Selon cette acceptation, la série de Govăjdia semble correspondre à l'étape de sédimentation détritique par laquelle débute le Dévonien dans l'Europe centrale.

La série de Govăjdia renferme des formations terrigènes, caractérisées par une uniformité pétrographique remarquable au sein des deux complexes lithostratigraphiques qui participent à sa constitution : le complexe des schistes quartzés séricito-chloriteux ( $Gv_1$ ) (à la partie inférieure) et le complexe des schistes graphiteux ( $Gv_2$ ) (à la partie supérieure).

$Gv_1$ . Le complexe des schistes quartzés séricito-chloriteux (100–300 m d'épaisseur), disposé d'une manière transgressive sur la série de Bâtrina, trahit un caractère détritogène, homogène, étant constitué surtout de schistes quartzés séricito-chloriteux. Dans son cadre apparaissent — tout à fait sporadiquement — des schistes quartzés séricito-chloriteux à biotite, quartzites rubanées à graphite, schistes quartzés à séricite et à graphite, les derniers réalisant le passage vers les formations du complexe des schistes graphiteux ( $Gv_2$ ). Le complexe  $Gv_2$  affleure dans la zone de la vallée de Cerna-Ghelar et dans le bassin de la vallée de Bâtrina.

$Gv_2$ . Le complexe des schistes graphiteux (300–700 m d'épaisseur) est disposé en continuité de sédimentation sur le complexe précédent. Les formations de ce complexe sont homogènes au point de vue pétrographique étant constituées, dans la plus grande partie, de schistes chlorito-séricito-graphiteux et de schistes séricito-graphiteux. Dans ces roches apparaissent des intercalations sporadiques de quartzites à graphite, quartzites à séricite, schistes quartziques à calcite et à graphite et de roches carbonatiques (dolomies et calcaires).

Les calcaires sont groupés dans un niveau stratigraphique mince et discontinu, situé vers la partie inférieure du complexe — le niveau des calcaires de Ferigi.

Les dolomies apparaissent sous forme de lentilles discontinues vers la partie supérieure du complexe (les dolomies à blende et à galène de la vallée de Bâtrina et celles rencontrées dans les forages de Ghelar).

#### 5.2.2. Dévonien moyen

On peut attribuer au Dévonien moyen — à partir des données palynologiques et des parallelisations lithostratigraphiques — le complexe des schistes verts tuffogènes ( $Gh_1$ ), donc la partie inférieure de la série de Ghelar, où sont localisés les produits extrusifs de la principale phase de

manifestation du magmatisme basique initial hercynien. L'alternance des roches vertes tuffogènes de la base de la série de Ghelar avec les schistes graphiteux pareils à ceux constituant le complexe  $Gv_2$  sous-jacent de la série de Govăjdia, indique une continuité de sédimentation entre les dépôts attribués au Dévonien inférieur et moyen. L'activité du magmatisme basique du Dévonien moyen a débuté donc par la phase pendant laquelle les conditions de sédimentation de la période de la formation du complexe  $Gv$  persistaient encore.

A la différence de l'uniformité des conditions de sédimentation du Dévonien inférieur, les mouvements tectoniques initiaux de la tectogenèse hercynienne, accompagnés, le long des alignements directionnels, par une activité magmatique intense, ont déclenché — au cours du Dévonien moyen — la séparation, au sein du massif, des deux zones faciales.

a) *Facies méridional (de seuil)* — le complexe des schistes verts tuffogènes de Ruschița-Alun-Ghiș este caractérisé par l'accumulation locale des masses importantes de tufs basiques déterminant de remarquables variations d'épaisseur au sein du complexe. Sur ces accumulations de tufs qui — selon les reconstitutions paléogéographiques effectuées — représentent probablement des structures volcaniques sous-marines (Krautner, 1970) sont disposées, dans la région d'Alun-Vadul Dobrii-Ruschița, des masses de calcaires blancs marmoriens, dont la position géologique et l'aspect lithologique suggèrent une provenance récifale. La petite largeur des formations de la série de Ghelar par rapport aux dépôts métamorphisés de l'aire du facies septentrional et la présence des structures volcaniques mentionnées suggèrent l'installation, au cours du Dévonien moyen, dans la zone méridionale de l'unité épimétamorphique, d'un seuil volcanique sous-marin couronné de récifes, qui a sensiblement influencé la sédimentation le long du Dévonien supérieur. Sur les versants des structures volcaniques sont emplacés les gisements de minerai de fer volcanogène-sédimentaires (Krautner, 1970), intercalés dans les formations cristallines et exploités dans les régions de Teliuc, Ghelar, Vadul Dobrii, Ruschița. En conséquence, la zone méridionale de l'unité épimétamorphique du massif de Poiana Rusca — par son aspect paléostруктурal et paléofacial — approche beaucoup du développement rhénocercynien du Dévonien moyen dans les zones de seuils volcaniques sous-marins (schwellenfazies) des massifs Rhenan et Harz.

b) *Facies septentrional (de bassin)* — le complexe des schistes verts tuffogènes de Iazuri-Ghiș<sup>N</sup>, à la différence de celui méridional, est caractérisé par la quantité réduite de roches vertes tuffogènes, de calcaires et de dolomies. Dans les régions de Iazuri, Uimbul Pascului et Bâtrina, on connaît des accumulations à développement local, plus importantes, de métatufts diabasiques et splitiques, représentant probablement soit les zones terminales des structures volcaniques de la région méridionale, soit d'autres structures indépendantes, situées au-delà de l'alignement méridional principal.

### 5.2.3. Dévonien supérieur

Il faut attribuer au Dévonien supérieur, en vertu des corrélations lithostratigraphiques et des données palynologiques, l'empilement de schistes d'entre la partie supérieure dévonienne moyenne de la série de Ghelar et la partie inférieure de la série de Padina carbonifère-inferieure, donc le complexe des schistes sérichto-chloriteux à intercalations de roches carbonatées et métatufts basiques ( $Gh_2$ ) constituant la partie supérieure de la série de Ghelar. Le Dévonien supérieur délimité de cette façon est caractérisé par des formations à dominante terrigène où sont intercalées, à plusieurs niveaux, des horizons de métatufts basiques représentant les produits des moments extrusifs tardifs de la principale phase de l'activité du magmatisme initial hercynien.

La différence entre les deux domaines de facies séparés au nord et au sud de l'unité épimétamorphique au cours du Dévonien moyen va s'accentuer pendant le Dévonien supérieur. La

région du seuil volcanique du sud subit -- sur le plan local -- probablement une exondation temporaire marquée par le rétrécissement jusqu'à l'éffilement du complexe Gh<sub>1</sub><sup>N</sup>. Par contre, dans la zone septentrionale, la grande largeur des dépôts semble suggérer une intense accumulation de sédiments.

a) *Faciès méridional (de sud)*. Le complexe des schistes séricito-chloriteux à intercalations de roches carbonatiques et de métatufs basiques -- de Cernișoara Floresc -- Gh<sub>2</sub><sup>N</sup> est typiquement représenté seulement sur le flanc septentrional de l'antéfelinale Tăliu-Alun-Vadul Dobri-Ruschița -- par l'entité lithostratigraphique „calcaire blanc-dolomie noire” (Maior et al., 1964, 1969; Krautner et al., 1969). Sur le flanc méridional de la structure anticlinale mentionnée, le complexe Gh<sub>2</sub><sup>N</sup> est représenté dans la région de Cincis-Vadul Dobri par une alternance de schistes séricito-chloriteux, à schistes séricito-graphiteux ( $\pm$  biotite), schistes verts tuffogènes et sporadiquement calcaires, et dans les régions de Ruschița-Negră, et le bassin supérieur de la vallée du Cornet (SE Nădrag), par des schistes séricito-calcaires à biotite et des schistes muscovitiques à biotite et à grenat. Au sud du seuil mentionné, le Dévonien supérieur traduit donc la tendance de revenir à un développement facial en quelque mesure semblable à ceux du nord du massif. La différence essentielle par rapport au développement septentrional consiste dans la présence tout à fait subordonnée des calcaires dans les formations du sud.

b) *Faciès septentrional (de bassin)*. Le complexe des schistes séricito-chloriteux à intercalations de roches carbonatiques et de métatufs basiques de Bega -- Gh<sub>2</sub><sup>N</sup> est caractérisé par une largeur appréciable des dépôts (jusqu'à 2 000 m). La succession lithologique comporte, à la partie inférieure, un paquet de schistes séricito-chloriteux quartzeux à intercalations dolomitiques locales de dimensions réduites, suivies par des calcaires et des dolomies de Nandru-Izvorăș qui supportent les schistes séricito-chloriteux quartzeux où l'on connaît, à développement local, un niveau de métatufs basiques. La succession est continuée par les calcaires et les dolomies de Tomești-Groși, surmontés par un horizon constitué de métatufs basiques, quartzites noires et schistes séricito-chloriteux (horizon Tomești-Groși).

### 5.3. Carbonifère inférieur

Les formations du cristallin de Poiana Rusca attribuées au Carbonifère inférieur se rattachent à la série de Padeș (Pd) où l'on a mis en évidence des associations microfloristiques spécifiques au Carbonifère; on a attribué aussi le même âge à la série de Nădrag (Nd), dont la stratigraphie est équivalente à celle des parties inférieures de la série de Padeș (complexe Pd<sub>1</sub>, et, éventuellement une partie de Pd<sub>2</sub>).

La série de Padeș est caractérisée par la prédominance des roches terrigènes où sont intercalés d'importants massifs de roches carbonatiques (surtout de roches dolomitiques) vers la partie inférieure et des niveaux de métatufs acides vers la partie supérieure. Les formations de cette série sont traversées par des dykes de roches acides (porphyroïdes) et basiques métamorphisés.

La série de Nădrag, présente uniquement dans la subunité méridionale, est caractérisée par des formations terrigènes, métamorphisées plus intensément, à la limite entre le faciès des schistes verts et le faciès des amphibolites à almandin.

Pd. Série de Padeș. La série de Padeș renferme trois complexes lithostratigraphiques, en succession normale.

Pd<sub>1</sub>. Le complexe des schistes séricito-chloriteux et des dolomies de Hunedoara-Luncani (1500–3000 m d'épaisseur) qui, dans la subunité septentrionale surmonte, en succession



normale, la série de Ghelar, est constitué surtout de roches carbonatiques (dolomies, calcaires) et de roches terrigènes (schistes séricito-chloriteux, schistes séricito-graphiteux, phyllites sériciteux  $\pm$  graphiteux, quartzites noirs).

Les roches carbonatiques constituent le massif des dolomies de Hunedoara et le massif des dolomies de Luncani qui passent latéralement aux formations terrigènes du complexe, par l'intermédiaire de certaines branches qui s'éfilent.

Dans le massif des dolomies de Hunedoara on a séparé trois horizons stratigraphiques (inférieur, moyen et supérieur).

Pd<sub>1</sub>. Le complexe des schistes séricito-chloriteux supradolomitiques de Gladna (1 000—2 500 m d'épaisseur) disposé normalement autant sur les formations terrigènes que sur celles carbonatiques du complexe Pd<sub>1</sub>, est constitué de schistes séricito-chloriteux, phyllites sériciteuses, schistes séricito-graphiteux et sporadiquement de calcaires, dolomies et quartzites.

Pd<sub>2</sub>. Le complexe des schistes séricito-chloriteux et des métatufs acides (> 2 000 m d'épaisseur) renferme la partie supérieure comme de l'empilement du cristallin de Poiana Rusca. Le complexe est constitué surtout de roches de nature terrigène (schistes séricito-chloriteux, schistes séricito-graphiteux, phyllites sériciteuses) et de métatufs acides, schistes verts terrigènes, quartzites noirs et calcaires. A la base du complexe, dans la partie NE du massif, on a distingué un horizon de métatufs acides associés aux métatufs basiques — l'horizon Fața Roșie. A la partie occidentale de l'unité épimétamorphique, les métatufs acides (associés aux calcaires, quartzites noirs et roches terrigènes) de la base du complexe Pd<sub>2</sub> se raugent dans l'horizon des métatufs acides de Bordaru.

Nd. Série de Nădrag, apparaissant uniquement dans la subunité méridionale de l'unité épimétamorphique, comporte 5 unités lithostratigraphiques, mises en parallèle (Kräutner et al., 1969) avec la partie inférieure de la série de Padeș (avec le complexe Pd<sub>1</sub> et éventuellement avec la partie inférieure du complexe Pd<sub>2</sub>).

Nd<sub>1</sub>. Complexe des micaschistes inférieurs (> 1 000 m d'épaisseur) renferme les formations les plus profondes de la série et il est constitué surtout de micaschistes à biotite  $\pm$  grenats, schistes quartzitiques muscovitiques et de rares intercalations de calcaires et de quartzites noirs.

Nd<sub>2</sub>. Horizon des calcaires de Nădrag (5—50 m d'épaisseur) surmonte, en succession normale, le complexe Nd<sub>1</sub>. Il est constitué de calcaires rubanés parfois à intercalations de schistes muscovitiques.

Nd<sub>3</sub>. Complexe des micaschistes supérieurs (> 300 m d'épaisseur), normalement disposé sur Nd<sub>2</sub>, renferme des micaschistes  $\pm$  grenats et des dolomies calcaires à développement local.

Nd<sub>4</sub>. Complexe des schistes à muscovite et à biotite (> 1 500 m d'épaisseur) trahit un caractère nettement terrigène, étant constitué de schistes in muscovite-biotitiques, schistes muscovitiques à grenats, schistes muscovite-chloriteux et schistes séricito-chloriteux. Les relations tectoniques du complexe Nd<sub>4</sub> avec les autres unités stratigraphiques de la série de Nădrag ne permettent pas de préciser en détail sa position dans la succession de la série.

Nd<sub>5</sub>. Le complexe des schistes séricito-chloriteux (> 1 000 m de largeur) est connu, de même que le complexe Nd<sub>4</sub>, seulement en relations tectoniques avec les autres entités lithostratigraphiques de la série de Nădrag ; si l'on considère le degré de métamorphisme plus réduit, Nd<sub>5</sub> représente la partie supérieure comme de la série Nd. Le complexe Nd<sub>5</sub> est constitué surtout de schistes séricito-chloriteux, renfermant un horizon de dolomies et de calcaires.

Nous l'avons déjà montré dans cet ouvrage, les données palynologiques et les âges acquis par la méthode R/Ar corrigés au fait que dans les Carpates Méridionales le premier terme non-

métamorphisé appartient au Stéphanien, prouvent que le métamorphisme régional des formations du cristallin de Poiana Rusca a eu lieu durant la phase sudète de l'orogenèse hercynienne. Les processus métamorphiques ont été, en général, synchrones au plissement qui a engendré les principales structures plicatives de la région.

La recristallisation métamorphique s'est déroulée dans son ensemble dans le faciès des schistes verts. On a constaté des variations de l'intensité du métamorphisme (Maiere et al. 1964; Pavaleșcu et al. 1964; Krautner et al. 1969), se traduisant par la disposition oblique des isoplans de métamorphisme par rapport à la stratification générale des roches. Ainsi, les isoplans de métamorphisme ont des pendages vers le nord, en recoupant le flanc méridional de l'anticlinorium Arâncieș-Fărăsești (Krautner et al. 1969).

Il y a des données à partir desquelles on peut établir les étapes des phénomènes de blastèse: a) le premier stade, le plus important et omniprésent, est proprement dit syncinématique et s'est déroulé généralement dans le subfaciès quartz-albite-chlorite; b) le deuxième stade à développement local (connu seulement dans la subunité méridionale) est tardécinématique et a engendré la formation des minéraux de métamorphisme plus intense: biotite, grenat, hornblende verte-bleuâtre, disposés transversalement par rapport à la schistosité. Les données K/Ar montrent que le deuxième stade a eu lieu peu de temps après le premier, c'est-à-dire également pendant la phase sudète (âge K/Ar de la biotite de la deuxième blastèse).

Les formations du cristallin de Poiana Rusca ont subi des déformations hercyniennes et alpines. Les déformations hercyniennes (tectonique  $B_1$ , tectonique  $S_2$  et tectonique  $S_3$  - Krautner et al. 1969) sont les plus importantes et témoignent d'un caractère pénétrant, tandis que les mouvements alpins ont engendré seulement des fractures (directionnelles, obliques et transversales).

La tectonique  $B_1$  et  $S_2$ , se déroulant au cours du métamorphisme régional dont l'âge est de 320 m.a., se rattache donc aux mouvements andésites. La tectonique  $S_3$  correspond à l'âge de 215 m.a. donc aux mouvements saaliques.

Les dislocations alpines, préalpines, laramiennes et post-laramiennes (Krautner et al. 1969) ont été accompagnées par des régénérations locales, fait confirmé par quelques-uns des âges-modèle K/Ar correspondant à des valeurs réduites.

## EXPLICATION DES PLANCHES

### Planche II

Colonnes stratigraphiques d'ensemble à travers le Dévonien-Carbonifère inférieur de Poiana Rusca.

### Planche III

Carte géologiques de l'unité épimétamorphique du massif de Poiana Rusca.

**Formations sédimentaires:** 1, Quaternaire (alluvions); 2, Néogène (Tortonien, Sarmatiens, Pannonicien) et la formation de Poieni (Albien?); 3, Vrăceni-Sénonien (couche de Fornădia, couche de Deva, couche de Chergheș); 4, Jurassique-Crétaçé (bassin Rusca Montană). **Formations éruptives:** 5, roches basaltiques (néogènes et quaternaires); 6, andésites (néogènes); 7, agglomérats andésitiques (néogènes); 8, granodiorites, diorites, por-



phyres granodioritiques, porphyres dioritiques, andésites (banatites). Formations cristallines : *Cristallin de Poiana Rusca*. Roches météruptives ; 9, porphyroïdes (Carbonifère inférieur); 10, métaserpentinites. Série de Padă-Pd (Carbonifère inférieur) : a) faciès septentrional : Pd<sub>1</sub> — complexe des schistes séricito-chloriteux et des métatufs acides de Lesnic (1, horizon Fața-Roșie ; 2, horizon Bordaru ; 3, niveau des métatufs de Vețel); Pd<sub>2</sub> — complexe des schistes séricito-chloriteux supradolomitiques — de Gladna (1, dolomies); Pd<sub>3</sub> — complexe des schistes séricito-chloriteux et des dolomies de Hunedoara-Luncani (1, dolomies de Hunedoara-Luncani); b, faciès méridional. Série de Nădrag — Nd (Carbonifère inférieur) : Nd<sub>1</sub> — complexe des schistes séricito-chloriteux; Nd<sub>2</sub> — complexe des schistes à muscovite et biotite; Nd<sub>3</sub> — complexe des micaschistes supérieurs; Nd<sub>4</sub> — horizon du calcaire de Nădrag; Nd<sub>5</sub> — complexe des micaschistes inférieurs. Série de Ghelar — Gh (Dévonien moyen et supérieur) : a) faciès septentrional : Gh<sub>1</sub><sup>N</sup> — complexe des schistes séricito-chloriteux à intercalations de roches carbonatiques et de métatufs basiques (de Bega) — Dévonien supérieur (1, calcaires /a/ et dolomies /b/ de Nandru-Valea Izvoarului ; 2, calcaires /a/ et dolomies /b/ de Tomești-Groși ; 3, horizon Tomești-Groși); Gh<sub>2</sub><sup>N</sup> — complexe des schistes verts tuffogènes (de Iazuri) — Dévonien moyen (1, calcaires); faciès méridional : Gh<sub>1</sub><sup>S</sup> — complexe des schistes séricito-chloriteux à intercalations de roches carbonatiques et de métatufs basiques (de Cernișoara-Florește) — Dévonien supérieur (1, „calcaire blanc-dolomie noire”); Gh<sub>2</sub><sup>S</sup> — complexe des schistes verts tuffogènes (de Ruschița-Alun) — Dévonien moyen (1, calcaires marmoréens de Ruschița-Alun). Série de Govăjdia — Gv (Dévonien inférieur) : Gv<sub>1</sub> — complexe des schistes graphitiques (1, dolomies); Gv<sub>2</sub> — complexe des schistes quartzitiques séricito-chloriteux. Série de Bârlina — Bt (Prédévonien-Paléozoïque inférieur?) : alternance de schistes graphitiques et schistes séricito-chloriteux à intercalations de roches vertes tuffogènes et quartzitiques. *Cristallin de Sebeș-Lotru* (Précambrien moyen) : 11, micaschistes, gneiss, amphibolites; 12, schistosité de stratification; 13, failles principales; 14, failles secondaires, 15, failles directionnelles dans les coupes; 16, anticlinorium Arânci-Poieni; 17, anticlinal; 18, synclinal; 19, direction de la coupe; 20 associations de spores; 21, âges Pb-commun; 22, âges modèle K/Ar (Bt = biotite).



Institutul Geologic al României

## PLANŞA I



Institutul Geologic al României

## PLANSA I

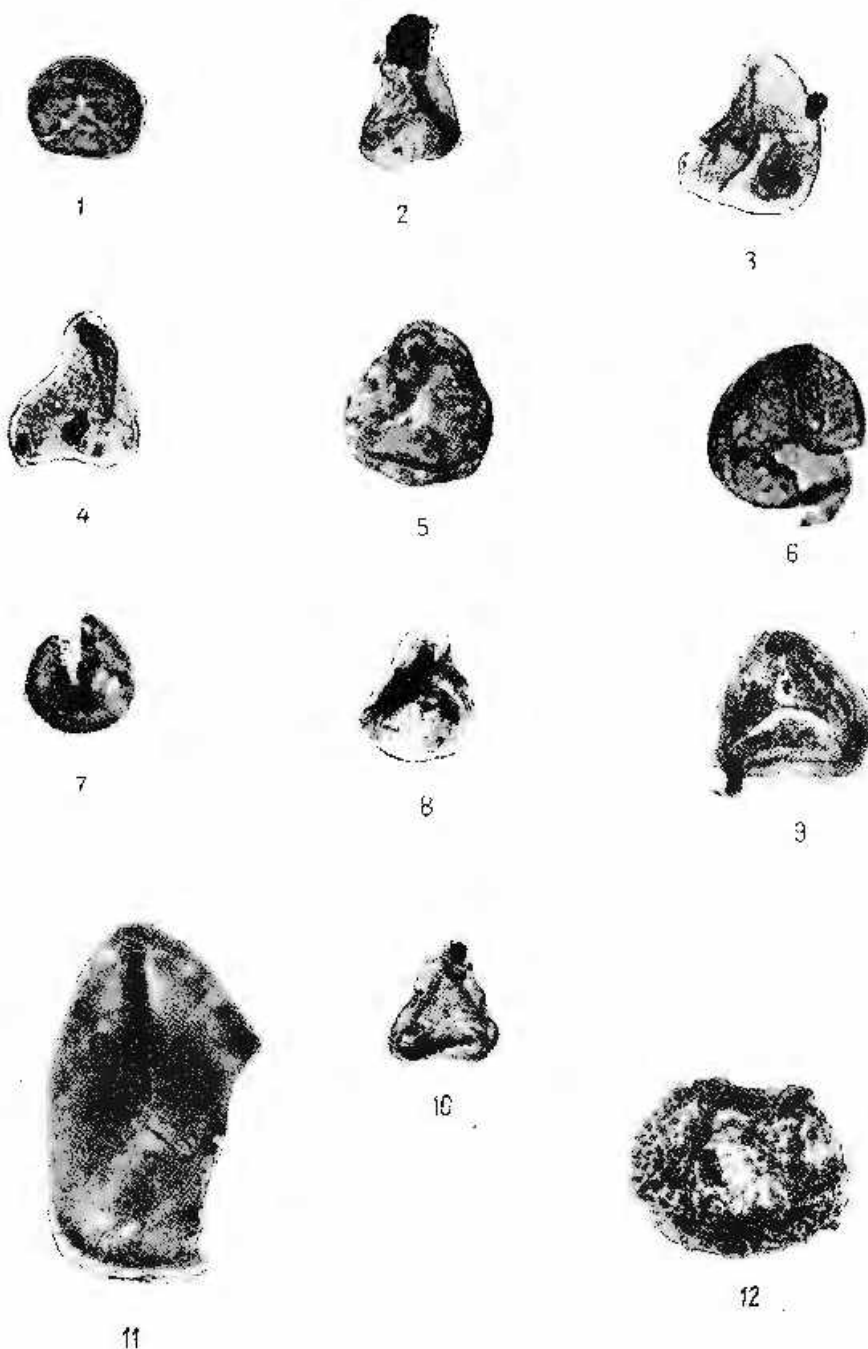
Forme de spori din asociajile palinologice identificate în formațiunile epimetamorfice din Poiana Rusca ( $\times 500$ ).

Formes de spores des associations palynologiques identifiées dans les formations épimé-tamorphiques de Poiana Rusca ( $\times 500$ ).

- Fig. 1. - *Leiodrillites simplex* Naumova. Prep. 2529/1.
- Fig. 2. - *L. adraoides* Potonié-Krempp. Prep. 2070/1.
- Fig. 3 - 4. - *L. galloferas* Potonié-Krempp. Prep. 2070/1 - 2.
- Fig. 5. - *Gemmatisporites* sp. Prep. 2529/3.
- Fig. 6. - cf. *Punctatisporites* sp. Prep. 2529/5.
- Fig. 7. - *Acanthotriletes* sp. Prep. 2529/4.
- Fig. 8. - *Waltzispora* sp. Prep. 2070/2.
- Fig. 9. - *Savitrisporites* cf. *nux* (Butt-Wall) Sullivan. Prep. 2070/1.
- Fig. 10. - *Obrenisporites* sp. Prep. 2070/2.
- Fig. 11. - *Gemiospora* sp. Prep. 2529/6.
- Fig. 12. - cf. *Comataispora* sp. Prep. 2070/2.

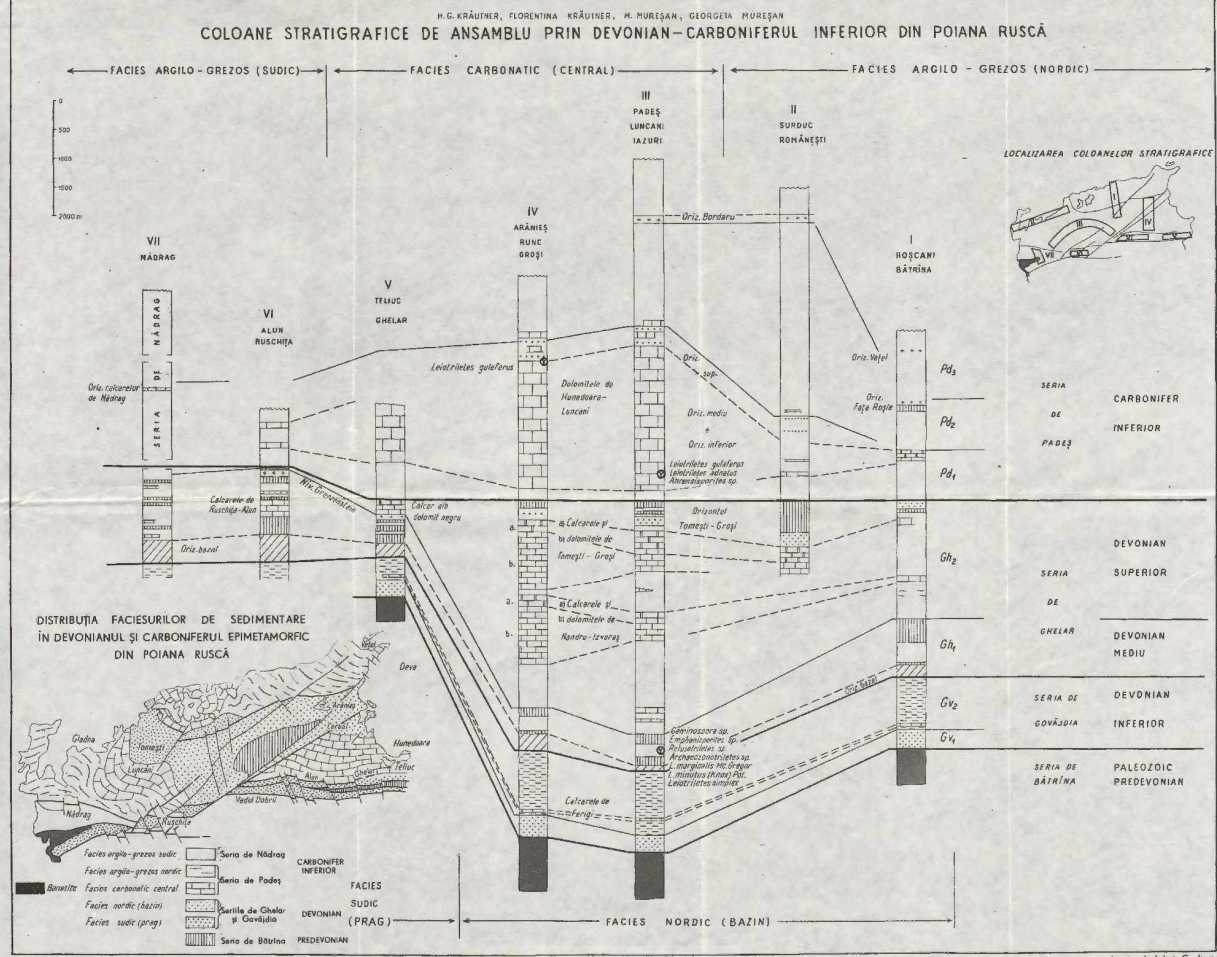


H. G. KRÄUTNER et al. Devonian — Carboniferul inferior epimetamorfic  
din Poiana Ruscă. Pl. I.



Institutul Geologic. Dări de scrisă ale şedinţelor, vol. LIX/4.

**COLOANE STRATIGRAFICE DE ANSAMBLU PRIN DEVONIAN-CARBONIFERUL INFERIOR DIN POIANA RUSCĂ**



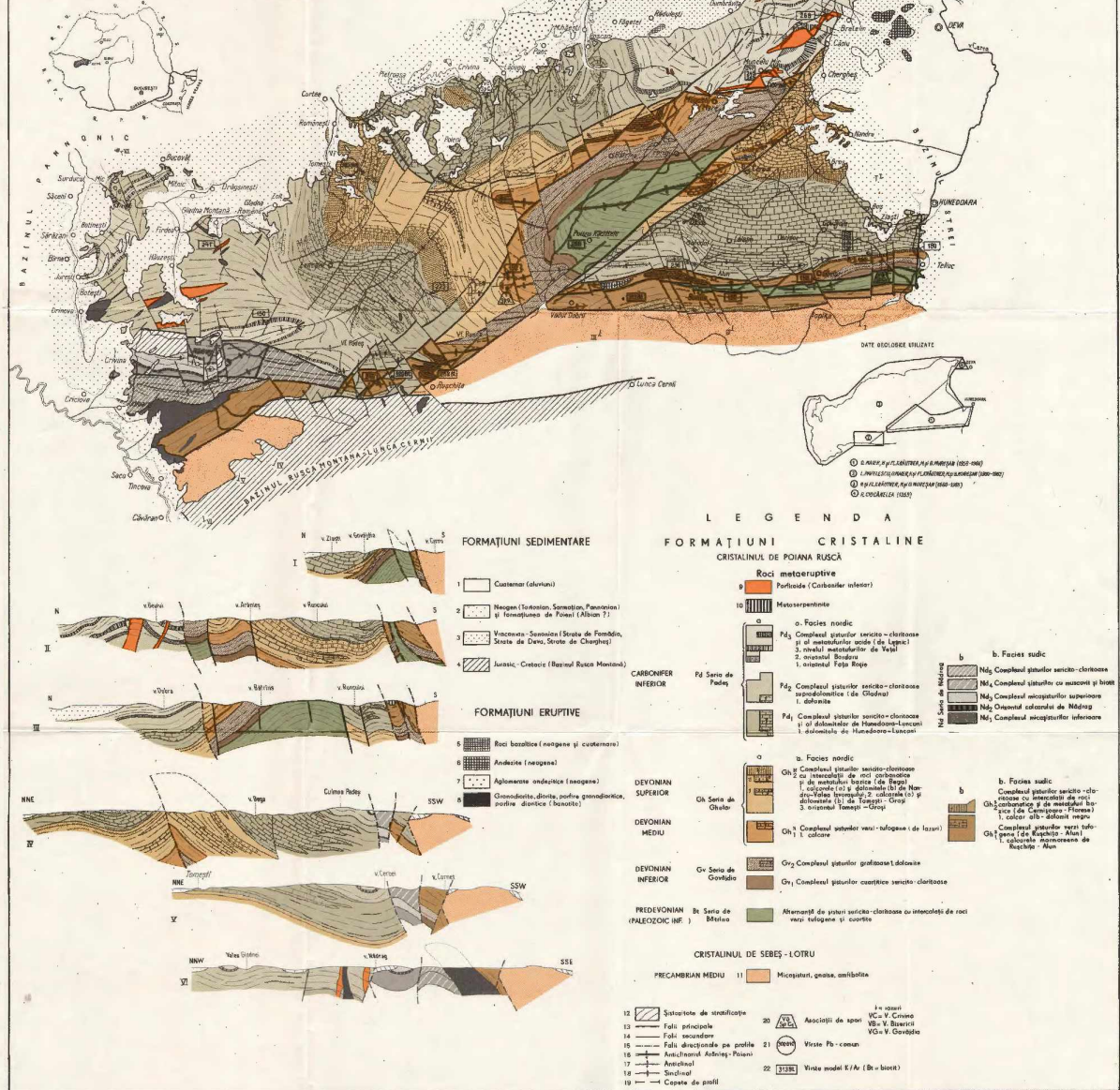
H.KRÄUTNER, FLORENTINA KRÄUTNER, M. MUREŞAN, GEORGETA MUREŞAN

HARTA GEOLOGICĂ

## UNITĂȚII EPIMETAMORFICE DIN MASIVUL POIANA RUSCĂ

#### **AMPLASAREA MASERULUI PENTRU RISCĂ PE HARTA RCS.R.**

0 2 4 km



#### 4. STRATIGRAFIE

## SERIA DE IZVORUL MUREŞ — O NOUĂ FORMAȚIUNE PALEOZOICĂ ÎN CARPAȚII ORIENTALI<sup>1</sup>

DE

MIRCEA MUREŞAN<sup>2</sup>

### Abstract

Izvorul Mureş Series a New Paleozoic Formation in the East Carpathians. The Izvorul Mureş Series transgressively overlying the biotitic quartzo-schists (from the Upper Precambrian Rebra-Barnar Series) is represented by slates displaying a cleavage schistosity. The latter are built up of a blackish matrix wherein grains, detrital quartz aggregates and partially chloritized biotite spangles, reworked from the subjacent basement, do occur. The petrographical aspects, the geological and tectonical situation of the Izvorul Mureş Series correlated with those of the Palaeozoic formations in other sectors of the East Carpathians, are indicating the formation of this series during the Lower Carboniferous. The incipient metamorphism of the Izvorul Mureş Series has probably taken place in the course of the Sudest phase.

În apropierea localității Izvorul Mureş, în bazinul văii Meseş (fig.), am pus în evidență o formațiune filitoasă, dispusă transgresiv poste șisturile cuarțoase biotitice din complexul superior ( $Rb_3$ ) al seriei de Rebra-Barnar.

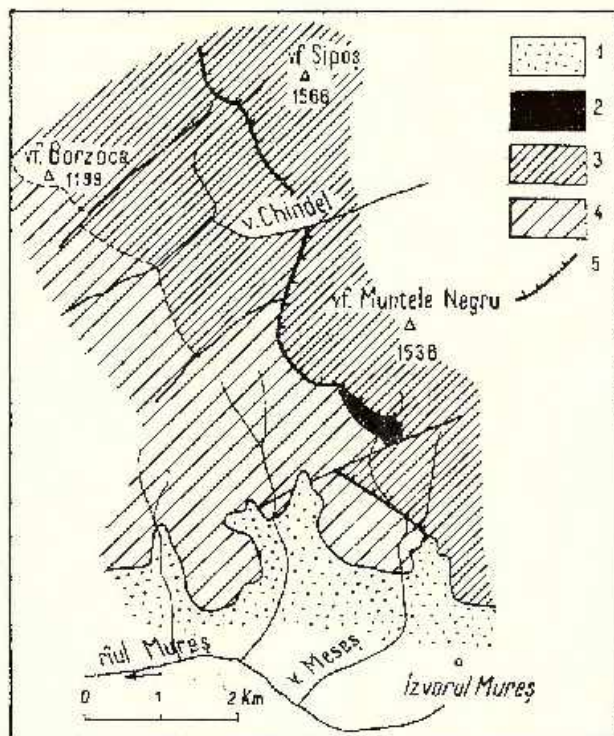
Această formațiune slab metamorfozată, pe care o denumim „seria de Izvorul Mureş”, este reprezentată prin filite ardeziforme (slate-nri) de culoare neagră, cu textură șistoasă evidentă; cu ochiul liber, pe fețele de șistozitate se observă paieți (sub 2 mm) de biotit decolorat, care dău un aspect specific rocii.

Sub microscop, roca prezintă o masă fundamentală negricioasă, cu sistozitate pronunțată, dispusă aproape transversal față de vechea stratifi-

<sup>1</sup> Comunicare în ședință din 21 aprilie 1972.

<sup>2</sup> Institutul Geologic, Șos. Kiseleff nr. 66, București.

ficătie a rocii (sistozitate de clivaj), dată de o vagă rubanare, față de care se dispun paralel granule și agregate detritice de cuart (frecvent cu extincție ondulatorie) precum și paictele remaniate de biotit, adesea decolorat și uneori cloritizat.



Schiță geologică a zonei Izvorul Mureș.

1. Cainozoic; 2. serie de Izvorul Mureş (Carbonifer inférieur?); 3. serie de Tâlighes (Cambrien inférieur); 4. serie de Rebra-Barnar (Précambrien supérieur); 5. linie de serii (anté-Carbonifère supérieur).

Esquisse géologique de la zone de Izvorul Mureş.

1. Cainozoïque; 2. série de Izvorul Mureş (Carbonifère inférieur?); 3. série de Tâlighes (Cambrien inférieur); 4. série de Rebra-Barnar (Précambrien supérieur); 5. ligne de séries (anté-Carbonifère supérieur).

Materialul inițial al rocilor luate în considerare era argilo-grezoas, probabil slab bituminos, care ulterior a suferit un metamorfism regional incipient, în decursul căruia s-a imprimat actuala sistozitate a rocilor, biotitul a fost decolorat și parțial cloritizat, iar cuartul a căpătat extincție ondulatorie; elementele cuartoase și biotitice sunt remaniate evident din fundalimentul subjacent menționat (sisturi cuartoase biotitice).

Menționăm că în aluviumile văii Meseșului, în aval de zona de apariție a rocilor filitoase descrise, am găsit blocuri de roci bazice slab metamorfozate care ar putea reprezenta magmatitele inițiale, intruse în sedimentele primare ale seriei de Izvorul Mureș; această problemă rămâne deschisă, întrucât nu am avut prilejul să identificăm locul de proveniență al blocurilor de roci bazice menționate.

Întrucât în stadiul actual de cunoaștere nu există date paleontologice, pe baza cărora să se argumenteze vîrstă seriei de Izvorul Mureș, se poate recurge la unele raționamente, expuse mai jos.

1. Dispunerea transgresivă a seriei de Izvorul Mureș peste seria de Rebra-Barnar (de vîrstă precambrian-superioară) care, într-o zonă apropiată (bazinul văii Chindeni), suportă normal și în continuitate de sedimentare formațiunile cambrian-inferioare ale seriei de Tulgheș (ambele serii datează palinologic — Iliescu, Mureșan, 1972), arată că în orice caz seria de Izvorul Mureș este ulterioară Cambrianului inferior; în plus, între seria de Tulgheș și seria de Izvorul Mureș există deosebiri nete între gradul lor de cristalinitate, prima prezentând o blasteză completă în facișul de șisturi verzi.

2. Întrucât, în zona cristalino-mezozoică, Permianul superior (formațiunea brețiilor de Hăgimaș) este complet nemetamorfozat și se dezvoltă într-un facies continental, se poate conchide că scria de Izvorul Mureș este formată înaintea Permianului superior; în plus, este improbabil că această formăție să se fi format în decursul Permianului, neexistând analogii litologice cu formațiunile permiene marine din partea nordică a zonei cristalino-mezozoice a Carpaților Orientali, care de altfel nici nu au fost supuse metamorfismului regional.

3. Peste formațiunile seriei de Izvorul Mureș cit și peste fundamentalul lor, reprezentat prin seria de Rebra-Barnar, este șariată seria de Tulgheș, de-a lungul unui plan tectonic inclinat către est. După datele preliminare pe care le posedăm, acest contact tectonic se continuă pînă la nord de șoseaua Gheorghieni-Lacul Roșu, unde se oprește în masivul alcalin de la Ditrău. Întrucât acest masiv are vîrstă medie de 310 m.a. (determinări de vîrstă absolute prin metoda Pb— $\alpha$  — Ionescu et al., 1966), rezultă că planul tectonic menționat, fiind mai vechi, s-a format înaintea Carboniferului superior, lucru valabil și pentru seria de Izvorul Mureș, prinsă sub el.

Acest plan tectonic separă în regiune două subunități tectonice pre-mezozoice (hercine, după toate probabilitățile), care aparțin pînzei alpine de Mestecăniș: în vest, subunitatea de Voșlăbeni (căreia îi apar-

în atât seria de Izvorul Mureş cît și fundamentalul ei), iar în est, subunitatea de Bălan, prima fiind încălecată de ultima.

4. Vîrsta paleozoică a seriei de Izvorul Mureş se poate presupune și pe baza aspectului petrografic, a slabului metamorfism care o afectează și a unor similitudini litologice și metamorfice cu rocile serilor paleozoice din Carpații Orientali (de exemplu șisturile grafitoase blasto-detritice ale seriei de Rusăia — H. Krautner, date nepublicate).

În urma celor arătate, rezultă că seria de Izvorul Mureş este paleozoică, fiind formată după Cambrianul inferior și înaintea Carboniferului superior.

Seria de Izvorul Mureş poate fi atribuită Carboniferului inferior, pe baza faptului că în Munții Bistriței, atât peste seria de Rebra-Barnar cît și peste seria de Tulgheș se dispune Carboniferul inferior (datat palinologic de Iliescu, 1965)<sup>3</sup>, în faciesul seriei de Tibău (H. Krautner, date nepublicate).

În această situație, ar trebui acceptată atât o variație facială inițială la nivelul Carboniferului inferior (de la faciesul predominant carbonatic al seriei de Tibău la faciesul argilo-grezos al seriei de Izvorul Mureş), cît și o scădere a intensității metamorfismului de la nord către sud (intercalările de șisturi terigene din carbonatitele seriei de Tibău sunt metamorfozate clar în zona cu clorit și prezintă o blasteză completă, pe cind seria de Izvorul Mureş este anchimetamorfică).

Metamorfismul seriei de Izvorul Mureş este probabil sudet, judecind după faptul că, în regiune, rocile sericii de Tulgheș, metamorfozată în decursul mișcărilor baicaliene (Giuşcă et al., 1969; Iliescu, Mureșan, 1972), prezintă uneori vîrste aparente K/Ar de circa 320 milioane ani (Măzătu et al., 1971)<sup>4</sup>, care pot fi interpretate ca o regenerare sudetă, posibil concomitentă cu metamorfismul seriei de Izvorul Mureş.

#### BIBLIOGRAFIE

Giuşcă D., Savu H., Bercea I., Krautner H. (1969) Sequence of tectonomagnetic pre-alpine cycles of the territory of Romania. *Acta Geologica Acad. Scient. Hung.*, 13, Budapest.

<sup>3</sup> Violeta Iliescu. Studiu palinologic al șisturilor cristaline de al Cârlibaba. 1965. Arh. Inst. Geol. București.

<sup>4</sup> Silvia Măzătu, Anca Tănăsescu, Magdalena Ionciucă, Vasilica Neacșu. Determinări radiometrice și de vîrstă absolută asupra formațiunilor metamorfice din Carpații Orientali. 1971. Arh. Inst. Geol. București.



**Ilieșcu Violeta, Mureșan M.** (1972) Asupra prezenței Cambrianului inferior în Carpații Orientali — seria epimetamorfică de Tulgheș. *D. S. Inst. Geol.* L.VIII/4, București.

**Ionescu Jana, Tiepăc I., Udrescu Constanța** (1966) Determinarea vîrstelor absolute prin metoda Pb —  $\alpha$ . *Stud. tehn. econ., serie B*, XLIV, București.

## SÉRIE D'IZVORUL MUREȘ, UNE NOUVELLE FORMATION PALÉOZOIQUE DANS LES CARPATES ORIENTALES

(Résumé)

La série d'Izvorul Mureșului, reposant transgressivement sur des schistes quartzeux biotitiques de la série de Rebra-Barnar, est représentée par des phyllites ardoisières (slates) noires, montrant une texture schisteuse évidente; à l'œil nu, sur les surfaces de schistosité on observe des paillettes (inférieures à 2 mm) de biotite décolorée. Au microscope, la roche présente une masse fondamentale noirâtre, à schistosité prononcée, disposée presque transversalement par rapport à l'ancienne stratification de la roche (schistosité de clivage), venant d'une structure faiblement rubanée, le long de laquelle se disposent parallèlement des granules et des agrégats détritiques de quartz (fréquemment à extinction ondulatoire) ainsi que des paillettes remaniées de biotite, souvent décolorées, parfois chloritisées.

Le matériel initial des roches prises en considération était argileux-gréseux, probablement faiblement bitumineux. Ultérieurement il a été affecté par un anchimétamorphisme régional, durant lequel la roche a gagné l'actuelle schistosité, le quartz l'extinction ondulatoire et la biotite a été décolorée et partiellement chloritisée; les éléments quartzeux et la biotite ont été remaniés du soubassement sous-jacent susmentionné.

Du fait que dans une zone avoisinante la série de Rebra-Barnar (Précambrien supérieur) supporte normalement la série de Tulgheș (Cambrien inférieur), il s'ensuit que la série d'Izvorul Mureșului est ultérieure au Cambrien inférieur, et antérieure au Carbonifère supérieur, étant située sous un plan de charriage anté-carbonifère supérieur. L'âge paléozoïque de la série d'Izvorul Mureșului pourrait être présumé aussi de l'aspect pétrographique, du faible métamorphisme qui l'a affecté et des similitudes lithologiques et métamorphiques avec les roches d'autres séries paléozoïques des Carpates Orientales.

La série d'Izvorul Mureșului peut être attribuée au Carbonifère inférieur du fait que dans les Monts Bistrița, tant sur la série de Rebra-Barnar que sur la série de Tulgheș repose le Carbonifère inférieur (données palynologiques) sous faciès de la série épimétamorphique de Tibău.

Le métamorphisme de la série d'Izvorul Mureșului est probablement sudète, à en juger du fait que dans la région les roches de la série de Tulgheș, métamorphisées au cours des mouvements baïkaliens présentent parfois des âges apparents  $N/Ar$  d'environ 320 m.a. qui pourraient être interprétés comme une reprise sudète survenue fort probablement en même temps que le métamorphisme de la série d'Izvorul Mureșului.

### INTREBĂRI

I. Balintoni. Există două seturi de plane „S” în seria de Izvorul Mureş?

M. Mureşan. Se observă uncoia o veche stratificaţie relictă dată de o vagă rubanare a unor dintre rocile seriei de Izvorul Mureş, rubanare care este intersectată oblic de către sistozitatea metamorfică.

I. Hirtopan. Aţi stabilit care este parageneza minerală de neoformare?

M. Mureşan. Cloritul format pe seama biotitului, pigmentul grafitos și o parte din cuarțul care a recristalizat reprezintă în principal mineralele formate în timpul metamorfismului seriei de Izvorul Mureş.

A.I. Mușat. Formațiunea descrisă reprezintă o „serie”? Autorul a mai întîlnit formațiuni similare în cursul cercetărilor în Carpații Orientali?

M. Mureşan. Da. Există unele afinități litologice cu rocile grafitoase lilaстро-detritice din seria de Rusăia de la N de Cârlibaba.

V. Mutihac. Se pune întrebarea dacă „seria” de Izvorul Mureş este identică cu „seria” filonitizată de Argeș? Considerăm că denumirea de „serie” nu este corect utilizată.

M. Mureşan. Prin caracterele ci petrografice și aspectele metamorfice seria de Izvorul Mureş apare ca diferită litologic față de seria de Argeș; în ceea ce privește vîrstă ambelor serii în stadiul actual nu există date de ordin paleontologic și radioeronologic care să ne permită să apreciem că cele două serii sunt sincrone sau diamprivă, sunt formate în timpuri diferite. Denumirea de „serie” nu este legată în formațiunile cristaline de grosimea acestora ci de caracterele litologice și de timpul de formare al formațiunilor respective și de momentul de intervenție al metamorfismului regional.



## 4. STRATIGRAFIE

# NOTĂ PRELIMINARĂ PRIVIND PALEOZOICUL ANCHIMETAMORFIC (FORMATIUNEA DE OSLEA) DIN CARPAȚII MERIDIONALI<sup>1</sup>

DE

SERGIU NĂSTĂSEANU<sup>2</sup>

### Abstract

Preliminary Note Concerning the Anchimetamorphic Paleozoic (Oslea Formation) in the South Carpathians. This paper presents the lithostratigraphic sequence of the slightly metamorphosed Paleozoic formations in the Western Jiu Valley Basin. The name of Oslea formations is introduced for these formations which are unconformably overlying the epimetamorphic formations of the Autochthonous Crystalline in the South Carpathians.

### Introducere

Cercetările geologice întreprinse în anul 1971, în bazinul Jiului de Vest, au condus la concluzia că, discordant pe depozitele epimetamorfice se dispun depozitele slab metamorfozate. În vederea separării celor două tipuri de depozite cu grade diferite de metamorfism, propun denumirea de „formățiunea de Oslea” pentru depozitele slab metamorfozate. Se face astfel prima încercare de detaliere a formățunii de Tulișa (Pavelscu și Pavelscu, 1966), la partea superioară a căreia se află formățiunea de Oslea.

### Istorie

Formațiunile slab metamorfozate din bazinul Jiului de Vest au fost semnalate de multă vreme, însă referiri amănunțite la litologia și strati-

<sup>1</sup> Comunicare în ședință din 21 aprilie 1972.

<sup>2</sup> Institutul Geologic, Sos. Kiseloff nr. 55, București.



grafia lor se găsesc mai ales în lucrările pe care le menționez în cele ce urmează.

**M a n o l e s c u** (1937, pag. 136—149) descrie detaliat sedimentarul de pe versantul nordic al Munților Vulcan, încadrindu-l în complexul Infragetic.

Infrageticul este reprezentat începînd din bază spre partea superioară din : cuarțite albe, calcare microcristaline în plăci, șisturi filitoase cenușii-negricioase, cu intercalări de șisturi verzi (prasinită), formațiunea de Schela, lentile de calcar compacte și apoi șisturi negre calcaroase. Depozitele Infrageticului sunt atribuite Mezozoicului.

Autorul aduce mai tîrziu unele completări (1940, pag. 38-10) în ceea ce privește succesiunea și vîrstă Infrageticului.

Referindu-se la sinclinalul Oslea împarte Infrageticul într-o serie inferioară și alta superioară. Infrageticul (seria inferioară) începe printr-un orizont de conglomerate laminate, care repauzează în discontinuitate pe amfibolite sau pe seria clastică. Aceste conglomerate în lucrarea anterioară (1937) le considerase ca termen final al seriei elastice a cristallinului.

Succesiunea depozitelor se continuă cu cîteva lentile de cuarțite albe sericitoase care aflorează la sud-est de Oslea, imediat sub calcare. Calcarele marmoreene formează un orizont continuu pe cele două flancuri ale sinclinalului Oslea. Peste calcar urmează filite și șisturi filitoase cenușii-negricioase care trec pe nesimțire la formațiunea de Schela. În filitele negre, inferioare formațiunii de Schela, semnalează prezența unui orizont inferior de serpentinite sintectonice. Autorul atribuie seria inferioară a Infrageticului intervalului Triasic inferior-Jurasic, iar despic conglomeratele bazale presupune că ar putea fi un echivalent al Permo-Carboniferului.

**P a v e l e s c u** (1953, pag. 181—188) separă, în cadrul Infrageticului, depozitele paleozoice de cele mezozoice.

Dopezitele paleozoice le descrie sub numele de formațiunea de Tulișa, nume luat de la culmea Tulișa din Munții Retezat. Stratotipul formațiunii are următoarea alcătuire de la bază spre partea superioară : conglomerate, cuarțite, calcar cristaline, șisturi satinate și filite negre grafitoase. Această formațiune corespunde integral seriei inferioare a Infrageticului din ultima lucrare a lui **M a n o l e s c u** (1940).

Formațiunea de Tulișa a fost atribuită Carboniferului pe similitudini litofaciale cu alte formațiuni carbonifere din Carpații Meridionali și datorită poziției ei inferioare formațiunii de Schela.

Pavelescu și Răileanu (1963, pag. 183—185) insistă asupra poziției discordante a conglomeratelor bazale ale formațiunii de Tulișa, față de serile cristaline subjacente. De asemenea se semnalează poziția discordantă a depozitelor superioare, față de conglomerate și fundamentele mai vechi. Autorii paralelizează conglomeratele bazale cu șisturile argiloase din valea Idegului, considerate la acea vreme siluriene. Calcaroile în plăci sunt paralelizate cu calcarele dinantiene din valea Idegului, iar șisturile filito-grafitoase cu faciesul de culm al Carboniferului de la Drenova. În concluzie atribuie formațiunii de Tulișa vîrstă Silurian-Carbonifer inferior.

Pavelescu și Pavelescu (1964, pag. 45—85) întocmesc prima hartă detaliată a Munților Oslea, prezentând aceeași succesiune stratigrafică a formațiunii de Tulișa ca în lucrarea lui Pavelescu (1953).

Referitor la vîrstă formațiunii de Tulișa se reia comparația cu depozitele paleozoice din valea Idegului. În acest sens conglomeratele sunt atribuite Devonianului (eventual și Silurianului), calcaroile ar putea fi dinantiene, iar restul formațiunii ar apartine Carboniferului inferior.

Pavelescu și Pavelescu (1966, pag. 161—163) referindu-se la grahenuл Jiețului extinde denumirea de Tulișa la formațiuni mult mai deosebite litologice și metamorfice, în care separă trei orizonturi.

Orizontul inferior începe cu sernifite dispuse discordant pe seria de Drăgășan. Urmează un pachet subțire de arcoze albe-roșietice. Peste aceasta se aşază uneori prin treceri gradate, calcare albe sau cenușii în plăci. De cele mai multe ori calcaroile se dispun însă discordant peste fundamentele cristalin.

Orizontul median se aşază pe calcaroile orizontului inferior și este reprezentat prin roci verzi alcătuite din șisturi clorito-sericitoase, șisturi clorito-epidotice cu albă, cu zoizit, tremolit, etc.

Orizontul superior se dispune discordant pe celealte orizonturi. El este constituit din filite grafitoase, satinate, de culoare neagră și șisturi cuarțifere arcoziene, grafitoase. Într-o lucrare recentă, Pavelescu și Pavelescu (1970, pag. 199), aproape de „Tulișa” din Oslea, consemnează: „Şisturile cristaline ale seriei de Tulișa, în zonele cerecate sunt reprezentate, îndeosebi, numai prin cele ale orizontului superior”.

Solomon (1964, pag. 26—33)<sup>3</sup> repartizează formațiunea de Tulișa (Pavelescu, 1953) la „complexul detritogen grafitos”, care este constituit dintr-un „nivel inferior” și un „nivel superior”.

Nivelul inferior începe cu fangconglomerate laminare, arcoze sau cuarțite ferruginoase și se încheie cu calcare cristaline în plăci care lateral se

<sup>3</sup> I. Solomon, Raport geologic asupra prospecțiunilor pentru minereuri de fier în regiunea Câmpul lui Neag (munții Vulcan și Retezat). 1964. Arh. Inst. Geol. București.

pot îndința cu șisturile cuarțito-feldspatic ale „nivelului superior”. Depozitele „nivelului inferior” se aşază transgresiv peste „complexul detritogen verde” al „seriei detritogene”, dar fără discordanță unghiulară. În schimb contactul dintre „complexul detritogen grafitos” și „seria de Drăgășan” este marcat de o accentuată discordanță unghiulară.

Nivelul superior conține filite cuarțitice sericito-grafitoase, filite grafitoase, cuarțite arcoziene cu grafit, șisturi cuarțitice verzi cu clorit și sericit, microconglomerate, conglomerate laminate, filite argiloase talcoase, etc. Între aceste tipuri de roci există numeroase variații de facies, trecând unele în altele atât pe direcție cât și pe inclinare.

În ceea ce privește vîrsta „complexului detritogen grafitos” autorul o acceptă pe cea stabilită de Pavelescu (1953) Silurian-Carbonifer inferior.

Micu și Paraschivescu (1970, pag. 76—80) separă în „seria de Tulișa” din partea nordică a Retezatului, începînd din bază: conglomerate metamorfozate, calcare cristaline în plăci și șisturi clorito-sericitoase-grafitoase, cu roci tufogene și talcoase. Acestea din urmă au oferit o asociație microfloristică caracteristică Cambrianului (Visarion, Gherghe în Micu și Paraschivescu, 1970). Pe aceste argumente autorii consideră primele două nivele ale succesiunii ca aparținînd Protozoicului superior iar șisturile clorito-sericitoase și grafitoase le atribuie Cambrianului inferior și mediu. În urma acestor argumente, paleontologice, Pavelescu și Pavelescu (1970, pag. 217) consemnează: „determinările sporo-polonice din rocile orizontului superior indică vîrsta cambriană”. Prin aceasta autorii lasă să se înțeleagă că este vorba de partea superioară a Tulișei (sensu, 1966).

Stănoiu (1971, pag. 5—15) semnalează Silurianul fosilifer în Platoul Mehedinți. Un an mai tîrziu (1972) autorul încearcă să sintetizeze datele existente privind Paleozoicul. În ceea ce privește formațiunea de Tulișa (Pavelescu și Pavelescu, 1966) o restrînge la încadrarea ei inițială (Pavelescu, 1953) și o atribuie intervalului Devonian-Carbonifer mediu (Namurian), considerînd că sub această se află formațiunea de Valea Izvorului cu faună caracteristică pentru Ordovician-Silurian, iar mai jos în succesiunea litologică s-ar situa formațiunea cambriană (Visarion, Gherghe în Micu, Paraschivescu, 1970).

### **Formațiunea de Oslea (Paleozoic superior)**

Formațiunea de Oslea este bine reprezentată pe tot versantul de nord al Munților Vulcan, unde alcătuiește umplutura sinclinorului Oslea

(pl. I). Stratotipul seriei a fost stabilit în partea vestică a sinclinalorului, în Muntele Oslea și pe o serie de afluenți ai Jiului de Vest care coboară din culmea Oslea-Arcanul.

Formațiunea de Oslea, formațiune anchimetamorfică, este dispusă discordant pe formațiunile epimetamorfice ale autohtonului danubian. Ea cuprinde două complexe bine individualizate litologice: unul inferior (calcaros-grezos) și altul superior (argilitic-grezos-conglomeratic).

Spre deosebire de: Infragetic „seria inferioară” (Mănolescu, 1940), Tulișa (Pavelescu, 1953; Pavelescu și Pavelescu, 1964, 1966) și complexul detritogen grafitos (Solomon, 1964)<sup>4</sup>, formațiunea de Oslea nu cuprinde în bază nivelul de „conglomerate laminate”. El face parte integrantă din formațiunile epimetamorfice ale cristalinului autohton.

Conglomeratele laminate au fost atribuite „seriei clastice” într-o primă interpretare dată de Mănolescu (1937), însă autorul a revenit mai târziu (1940) și le-a repartizat părții bazale a Infrageticului. Observațiile consemnate de Pavelescu și Pavelescu (1964) pe hartă (la Oslea și Tulișa) indică dilema autorilor în privința locului pe care-l ocupă „conglomeratele laminate” în succesiunea depozitelor din regiune. Pe culmea Tulișa conglomeratele nu sunt figurate nici în baza formațiunii de Tulișa, nici în seria de Drăgășan, deși ele apar între aceste două formațiuni. La Oslea, ele sunt figurate în baza formațiunii de Tulișa.

Observațiile noastre n-au pretenția să rezolve problema relațiilor dintre „conglomeratele laminate” și serile subjacente, numai pe datele cunoscute din culmea Tulișa și Coada Oslei, deși în ambele locuri se observă continuitate de sedimentare între serii și același grad de metamorfism. În schimb am constatat că este foarte clară discordanța dintre calcarile formațiunii de Oslea și „conglomeratele laminate”, în ambele locuri. De asemenea este frapant gradul avansat de metamorfism al „conglomeratelor laminate” în comparație cu metamorfismul incipient al conglomeratelor din formațiunea de Oslea (complexul superior).

Pentru aceste motive: poziția discordantă a calcarelor pe „conglomeratele laminate”, poziția stratigrafică inferioară a „conglomeratelor laminate” față de conglomeratele complexului superior și gradul diferit de metamorfism al celor două tipuri de conglomerate, am denumit depozitele slab metamorfozate „formațiunea de Oslea”, separându-le de restul formațiunii de Tulișa (sensu Pavelescu și Pavelescu, 1966).

<sup>4</sup> Op. cit. pct. 3.

### A) Stratigrafia formațiunii de Oslea

**Complexul inferior.** În majoritatea cazurilor formația de Oslea începe printr-un pachet de gresii cuarțitice sau areoziene dispuse discordant pe formațiunile subjacente. Pachetul prezintă concentrații lenticulare de magnetit și hematit, iar spre partea superioară trece la gresii calcaroase și apoi progresiv la calcare. Grosimea maximă a pachetului este de 10 m pe valea Nedeuței și scade uneori la cîțiva metri (pe valea Jiului și valea Gîrbovului), sau pînă la dispariție (Coada Oslei).

Reducerea grosimii pachetului precum și dispariția lui se datorează variațiilor de facies existente în cadrul complexului inferior. Este evidentă înlocuirea pachetului grezos de către calcarele superioare, mai ales în punctele indicate mai sus (pl. II).

În continuitate de sedimentare cu pachetul grezos, sau discordant pe formațiunile epimetamorfice urmează o stivă de calcare, groasă de 100–250 m. O poziție clară de discordanță a calcarelor peste formațiunile epimetamorfice am observat-o pe versantul vestic al Muntelui Oslea și sub Coada Oslei (pl. I și II).

Calcarele sunt masive în partea bazală, evident stratificate în bancuri în partea mediană și ajung să se dispună în plăci la partea superioară.

Partea bazală a calcarelor conține de regulă elemente mici de cuarț remaniat, mai ales atunci când gresile cuarțitice bazale lipsesc, cum este cazul pe versantul vestic al Oslei. Aceasta demonstrează substituirea orizontului cuarțitic prin calcare detritice în unele puncte, explicindu-i astfel absența (pl. II).

Relațiile calcarelor cu complexul superior sunt foarte clare pe valea Gîrbovului (pl. II). În treimea superioară a stivei calcaroase, la 70 m față de partea bazală a ei, apare prima intercalație lenticulară de argilite grafitoase negre, groasă de 3 m. La 20 m stratigrafic mai sus apare altă lentilă de același tip, iar peste încă 15 m calcarele trec la un pachet (20 m) mixt de bancuri subțiri de calcare cu argilite grafitoase. Acest aspect arată clar o trecere progresivă de la calcare la complexul argilos-grezos-grafitos. Pachetul mixt (valea Gîrbovului) se îmbină pe direcție cu calcarele compacte de la partea superioară a complexului calcaros-grezos (valea Nedeuței) (pl. II).

În Muntele Oslea calcarele au grosimea cea mai mare (250 m), însă relațiile cu complexul superior sunt tectonice. Pe flancul sudic al sinclinalului complexul inferior al formațiunii de Oslea este reprezentat prin aceeași succesiune ca în Oslea și valea Jiului, însă contactul cu cristalinul este

tectonic. Aici, gresiile cuarțitice sunt și mai sporadice iar calcarele sunt uneori laminate total.

**C o m p l e x u l s u p e r i o r.** Majoritatea cercetătorilor anteriori s-au axat pe o descriere petrologică amănuntită a rocilor componente ale complexului. În acest sens s-au semnalat: argile negre sericitoase și grafitoase, șisturi verzi sericitoase, arcoze, gresii cuarțitice, microconglomerate, etc. În consecință, noi ne vom referi mai mult la succesiunea litostratigrafică și aspectele sedimentare.

Partea superioară a formațiuni de Oslez este mult mai dezvoltată decât cea inferioară și mai variată ca litologie. Grosimea depozitelor din complexul superior este foarte greu de apreciat, mai ales datorită tectonicii complicate. Din corelația citorva coloane stratigrafice am obținut o grosime de 1000 – 1250 m. În cele ce urmează vom da și detalii în legătură cu modul cum s-a ajuns la această cifră, deoarece este pentru prima dată cind se face o asemenea estimare.

Peste pachetul mixt din valea Gîrbovului sau peste calcarele compacte din valea Nedeușei urmează, pe o grosime stratigrafică de 150 - 160 m, argilite fine grafitoase alternând cu argilite grezoase. Din loc în loc se observă și intercalării subțiri de gresii fine negricioase, sau foarte rare intercalării microconglomeratice. Pe ultima sută de metri, care include succesiunea complexului din cele două vâi, se observă o predominanță a materialului psamitic. Argilitele alternează cu bancuri de gresii și microconglomerate, prezentând și rare intercalării de conglomerate. Însumând grosimea depozitelor de pe cele două profile s-a ajuns la grosimea de 200 – 250 m, pentru partea bazală a complexului superior (pl. II).

Din valea Răstovanului și pînă aproape de Valea de Pești, complexul superior este alcătuit în cea mai mare parte din material psorfitic. Aici, abundă gresiile, microconglomeratele, iar argilitele apar cu totul sporadic.

Pentru ilustrarea faciesului psorfitic am ales două profile apropiate, valea Negrului și valea Strugului, deoarece acesta ilustrează totodată și întrepătrunderile dintre subfaciesurile care-l compun. Se poate observa cum pe direcție, la mai puțin de 1 km, conglomeratul sănătău să fie substituit de gresii sau invers, încit nu se pot separa nivele reper.

Coloanele stratigrafice au fost întocmite pe datele oferite de celă două vâi într-un sector continuu deschis și cu un regim inmonoelinal, respectiv flancul nordic al anticinalului Răstovanu (pl. I, prof. II).

Considerind că în axul anticinalului Răstovanu s-ar găsi complexul calcaros-grezos acoperit de partea inferioară a complexului superior, care

n-a fost scos la zi de eroziune, succesiunea depozitelor din văile Negruului și Strugului completează coloana stratigrafică a depozitelor din văile Gîrbovului și Nedeaței. În felul acesta cei 750 m de depozite psefítice, din văile amintite, urmează peste cele psamitice din văile de la vest, sau parțial s-ar putea îndința lateral cu acestea (pl. II).

Din axul anticinalului Răstovanu spre nord se constată (valea Negruului și a Răstovanului) predominanța conglomeratelor și microconglomeratelor, față de gresii care se prezintă ca intercalări. În valea Strugului predomină gresiile, pe cind celelalte două tipuri de roci sunt subordonate.

Conglomeratele din ambele profile se prezintă sub formă de bancuri groase de 1–5 m. Ele prezintă aceleași elemente remanente din formațiuni mai vechi. Ceea ce le caracterizează este frecvența elementelor de argilite negre de dimensiuni variabile (1–50 cm), provenite din nivelul inferior al complexului pe calea remanierilor intraformatiionale. Pe valea Răstovanului conglomeratele sunt mult mai grosiere, remanierile intraformatiionale sunt mai frecvente, iar aspectul general mult mai puțin stratificat, ceea ce constituie o particularitate a secvențelor conglomeratice din complexul superior al formațiunii de Oslea.

Secvențele grezoase sunt frecvente în valea Strugului și sunt dispuse în bancuri de 1–3 m formând pachete de 10–15 m grosime. Uneori aceste pachete de gresii cuarțitice au cimentul feruginos și în consecință culoarea roșcată. Asemenea pachete se găsesc situate atât pe flancul nordic al anticinalului Răstovanu, la 450 m față de baza faciesului psefitic (pl. II), cît și pe flancul nordic al unei cunăi secundare din valea Răstovanu (pl. I).

Intercalațiile argilitice din faciesul psefitic sunt aproape neglijabile, cu excepția celor situate la partea superioară a succesiunii de pe valea Strugului unde se dezvoltă un pachet de 60 m de argilite negre.

În concluzie se poate admite, în linii cu totul generale, că partea superioară a formațiunii de Oslea începe cu depozite pelitice, continuă cu depozite psamitice și se încheie cu depozite psefítice în facies de molasă. Între aceste tipuri există întrepătrunderi atât pe inclinare cât și pe direcție, astă cum rezultă din coloanele stratigrafice (pl. II).

*Considerații stratigrafice.* Formațiunea de Oslea n-a oferit pînă în prezent argumente paleontologice care să-i precizeze vîrstă. Colecțiările noastre n-au reușit să semnaleze decît un singur rest vegetal, probabil un rachis de plantă inferioară, recoltat de pe valea Negruului, la 2 000 m în amonte de confluența cu valea Jiului. Restul vegetal are o lungime de 5 cm

și o lățime de 3 mm, pe care se observă cîteva stîriuri (2—3) dispuse paralel în lungul mulajului. Simplitatea restului vegetal amintește de aspectul plantelor inferioare devoniene cunoscute de la Ideg.

Concluziile stratigrafice la care au ajuns Pavelescu și Răileanu (1963,) în ceea ce privește vîrsta formațiunii de Tulișa (pro-partea = formațiunea de Oslea), nu sunt confirmate de rezultatele noastre și nici de precizările stratigrafice făcute asupra formațiunilor folosite de autori în paraleлизările lor. Astfel, atribuirea calcarelor de Tulișa (= complexul inferior al formațiunii de Oslea) dinianțianului nu apare justificată, deoarece calcarele Tournaisianului din valea Idegului urmează în continuitate de sedimentare peste o serie argilitică cu floră devoniană nu peste depozite siluriene, așa cum considerau autori. În afară de aceasta, calcarele din formațiunea de Oslea slau discordant peste un fundiment cristalin și suportă o serie de argilite în care s-a găsit acel rest vegetal cu habitusul asemănător florei devoniene. Mai mult încă, chiar autori paralelizează partea superioară (grafitoasă-sericioasă) a formațiunii de Tulișa cu cea ceniunea de la Drencova, care aparține Devonianului (Năstăseanu, Bițoiu, 1970) și nu Carboniferului așa cum se presupunea. În concluzie complexul inferior al formațiunii de Oslea ar putea apartine Devonianului.

Vîrsta Devonian-Carbonifer inferior (Namurian) acordată formațiunii de Tulișa (sensu Pavălescu, 1953) de Stănoiu (1972), ni se pare mult mai adecvată pentru discutarea vîrstei formațiunii de Oslea. Considerăm că microflora proterozoică superioară-cambriană (Visarion, Gherghela, în lucrarea lui Micu, Paraschivescu, 1970) provine din formațiuni epimetamorfice (formațiunea de Tulișa, orizontul inferior și mediu) inferioare formațiunii de Oslea (= Tulișa, orizontul superior, sensu Pavălescu și Pavălescu, 1966). Deci în nici un caz din partea superioară a formațiunii de Tulișa așa cum afirmă Pavălescu și Pavălescu (1970). În afară de aceasta, trebuie de asemenea verificat dacă „conglomeratele laminate”, de pe versantul nordic al Munților Vulcan (de sub formațiunea de Oslea) nu pot fi paralelizate cu nivelul de microconglomerate și cuarțite (Stănoiu, 1971) care suportă șisturile argiloase cu faună ordovician-siluriană, sau cu conglomerate de Piatra Cloșanilor (Stănoiu, 1972), așa cum presupun acum. După ce aceste două probleme vor fi elucidate abia atunci putem discuta mai întemniat poziția stratigrafică a formațiunii de Oslea în cadrul formațiunilor anchimetamorfice din Carpații Meridionali.

Pentru toate aceste dileme, neconcordanțe de opinii și lacune de cercetare, am considerat necesar introducerea denumirii de formațiunea de Oslea (= pro-partea Tulișa superioară, Pavelescu și Pavelescu 1966, 1970) și atribuirea ei Palcozoicului superior. Orice altă precizare ar fi prematură și ar largi domeniul presupunerilor, care și așa este destul de bogat.

### B) *Tectonica formațiunii de Oslea*

Depozitele din regiunea cercetată intră în alcătuirea unui sinclinar, pe care-l numesc „sinclinoriu Oslea”.

Formațiunea de Oslea constituie umplutura sinclinalului amintit, dispunându-se discordant pe scăriile epimetamorfice ale cristalinului danubian și suportând tot discordant depozite mezozoice și terciare. Formațiunea de Oslea prezintă cufe orientate E-W, redresate aproape de verticală sau cu tendință de răsturnare spre sud. Cufele se ridică atât spre est cât și spre vest, lăsind să apară la zi formațiunile cristalinului danubian. În partea de S și de N a regiunii, formațiunea de Oslea este încadrată de două dislocații importante. La sud se află falia Arcanu, al cărui plan inclină cu  $60-80^{\circ}$  spre nord și reprezintă de fapt o suprafață de desprindere a depozitelor de pe subasmențul lor inițial, iar la nord se află planul de inclinare al cristalinului getic.

De la sud spre nord am identificat în formațiunea de Oslea mai multe sinclinale și anticlinale, pe care le prezentăm în ceea ce urmează.

**S i n c l i n a l u l A r c a n u** (pl. I), situat imediat la nord de falia Arcanu, are zona axială mareșă de depozitele complexului superior. Datorită unor falii orientate aproximativ N-S, el este fragmentat în trei compartimente orientate W-E. Compartimentul estic se dezvoltă la E de falia Negru, cel median între falia Negru și falia Gîrbovu, iar al treilea la vest de falia Gîrbovu pînă sub vîrful Oslea.

Flancul sudic al sinclinalului este reprezentat uneori prin ambele complexe ale formațiunii de Oslea. În ceea ce privește complexul inferior se constată lipsa lui completă în compartimentul estic și apariția sporadică în cel median și vestic. Această situație s-ar explica prin laminarea lui parțială în compartimentele vestic și median datorită alunecării pe planul faliei Arcanu și prin poziția transgresivă a complexului superior care, în compartimentul estic, stă pe formațiuni epimetamorfice închizindu-se perielinal (pl. I). În compartimentele median și vestic, flancul sudic prezintă încă două cufe secundare care se efilează spre vest în falia Arcanu.

Flancul nordic al sinclinalului prezintă de asemenea două cufe secundare bine conturate în compartimentul median și vestic, efilindu-se în ultimul compartiment în falia Răstovanu. În compartimentul estic, cuftele secundare n-au fost depistate decât în valea Negrului.

Faciesul psefitic care alcătuiește umplutura sinclinalului Arcanu este bine reprezentat în compartimentul median (valea Răstovanului).

**A n t i c l i n a l u l R ă s t o v a n u** (pl. II) urmează imediat la nord, cu aceleași compartimente tectonice ca și sinclinalul Arcanu.

Flancul sudic corespunde flancului nordic al sinclinalului Arcanu.

Flancul nordic este bine dezvoltat în compartimentul estic, unde prezintă și două cufe secundare, limitate la est de falia Strungu și la vest de falia Răstovanu. Dintre acestea, sinclinalul Strungu este mai bine conturat, fiind constituit din depozitele complexului superior. În compartimentul median și vestic, începând din valea Răstovanului și pînă în valea Girbovanului, flancul nordic se efilează progresiv, pentru că imediat la vest de ultima vale să dispară în falia Răstovanu. Depozitele acestui flanc au fost descrise cu ocazia prezentării faciesului psefitic al complexului superior.

**F a l i a Răstovanu** este a doua linie tectonică orientată W—S, evidențiată mai ales prin efilarea unor structuri în lungul ei, aşa cum am arătat mai sus. La nord de această linie tectonică se mai găsesc o serie de cufe strivite și deci disconținui.

**A n t i c l i n a l u l N e g r u** apare clar conturat în valea Negrului. Aici flancul său sudic este puternic recurbat spre sud încet direcția stratelor este aproape perpendiculară pe direcția stratelor din flancul nordic al anticlinialului Răstovanu. De altfel situația aceasta a dat indicații despre traseul faliei Răstovanu.

Axul anticlinialului este bine definit de pozițiile contrare din nivelele grezoase ale complexului superior, din același compartiment estic. În compartimentul median structura este răsturnată spre sud, fapt observat în valea Răstovanului unde de altfel structura se încheie periclinal. Totodată este strivită între falia Răstovanu și o falie orientată NW—SW. Ultima falie separă la NW de ea cîteva cufe cu altă orientare.

Flancul nordic al anticlinialului Negru prezintă două cufe secundare bine reprezentate în compartimentul estic și întrerupte tectonic în cel median, mult înainte de a ajunge în valea Răstovanului.

Variatiile de facies ale complexului superior, în care este conturat anticlinialul Negru, sunt evidente și aici. Conglomerate grosice din periclinul vestic se refițînesc și pe flancul sudic, dar trec la gresii pe flancul nordic și apoi la argilite în cadrul cufelor secundare.

Anticlinalul Jiului păstrează în mare aceeași orientare (W-E) dar prezintă o serie de ondulații axiale și cîteva cîteva secundare în compartimentul vestic.

Axul structurii este marcat de formațiunile epimetamorfice ale crîstalului autohton. Acesta se ridică în amonte de valea Gîrbovlui și se afundă în aval de ea. La început afundarea este foarte mică și în consecință eroziunea Jiului se poate observa într-o butonieră de cristalin de sub formațiunea de Oslea care prezintă înclinări mici. Apoi, afundarea se accentuează și Jiul taie adine numai în formațiunea de Oslea.

Fâncurile anticlinalului sunt constituite din ambele complexe ale formațiunii de Oslea. Complexul inferior este reprezentat atât prin pachetul de gresii cuarțitice cu minereu de fier, cît și prin stîvă de calcare albe sau cenușii. Complexul superior este alcătuit numai din argilite grafitoase cu rare intercalări de gresii fine și lentile de calcare.

În extremitatea nordică a regiunii, începînd din valea Jiului și pînă aproape de Valea de Pești, structurile formațiunii de Oslea suportă discordanțe calcarele în facies urgonian ale Cretacicului inferior și împreună cu acestea suportă pinza getică. Tot acest edificiu structural a fost afectat de mișcări verticale, în procesul cărora s-a născut grabenul Petrosani, umplut în Paleogen cu depozite care maschează structurile mai vechi.

Privit în ansamblul structurii hercinice, a Carpaților Meridionali, sinclinalul Oslea apare ca un sector median al unui șanț miogeosinclinal extern în raport cu șanțul eogeosinclinal intern din regiunea Drenova - valea Idegului - valea Lăpușnicului. Între ele situîndu-se cordiliera de cristalin autohton reprezentată prin creasta Munților Retezat și a Munților Almăj, sinclinalul Oslea este puternic strivit între creasta amintită și creasta Munților Păring-Vulcan, fapt bine ilustrat în cîtele redresate pe care le-am prezentat mai înainte.

## BIBLIOGRAFIE

- Manolescu Gh. (1932). Das Alter der Schela - Formation. *Bul. Soc. Rom. Geol.*, I, București.  
 — (1937) Etude géologique et pétrographique dans les Munții Vulcan (Carpates Meridionales, Roumanie). *An. Inst. Geol.*, XVIII, București.  
 — (1940) Observations géologique dans les bassins supérieurs des vallées de la Cerna et du Jiu Roinesc. *Inst. Geol. Comptes Rendues*, XXIV (1935-1936), București.

- Micu C., Paraschivescu C. (1970) Contribuții la cunoașterea geologică părții de nord a Munților Retezat, între Riu Alb și Riu Nucșoarei, cu privire specială asupra ivirilor de talc. *D. S. Inst. Geol.* LVII/2, București.
- Morariu D. (1972) Paleozoicul inferior din valea Căpușnicul Mare. *D. S. Inst. Geol.* LVIII/4 (1970—1971), București.
- Năstaseanu S., Bitoianu Cornelia (1970) Devonianul de la Drăcova (Banat). *D. S. Inst. Geol.* LVII/4 (1968—1969), București.
- Pavelescu I. (1953) Studiu geologic și petrografic al regiunii centrale și de sud-est a Munților Retezat. *An. Com. Geol.* XXV, București.
- Răileanu Gr. (1963) Considerations générales sur l'âge des schistes cristallins de l'autochtone des Carpates Méridionales. *Asoc. Geol. Carp.-Balk. Congr.*, V, II, București.
- Pavelescu Maria (1964) Geologia și petrografia văii Jiului Românesc între Oslea și Petroșani. *An. Com. Geol.* XXXIII, București.
- Pavelescu Maria (1966) Cercetări geologice și petrografice în bazinul văii Jiului Transilvănean și al Jiețului. *Acad. R.S.R. Stud. cerc.* 11, 1, București.
- Pavelescu Maria (1970) Cercetări geologice și petrografice în zona mediană a Carpaților Meridionali (Munții Vulcan-Păring). *An. Inst. Geol.* XXXVIII, București.
- Stănoiu I. (1971) Notă preliminară asupra Silurianului fosilifer din Carpații Meridionali. *D. S. Inst. Geol.* LVII/4 (1969—1970), București.
- (1972) Încercare de reconstituire a succesiunii Paleozoicului din partea de est a autohtonului danubian, cu privire specială asupra regiunii de la obârșia văii Motru (Carpați Meridionali). *D. S. Inst. Geol.* LVIII/4 (1970—1971), București.

## NOTE PRÉLIMINAIRES CONCERNANT LE PALÉOZOÏQUE ANCHIMÉTAMORPHIQUE (FORMATION D'OSLEA) DES CARPATES MÉRIDIONALES

(Résumé)

Les formations faiblement métamorphisées du bassin du Jiu de W ont été attribuées à la formation d'Oslea, où l'on a séparé deux complexes lithostratigraphiques distincts. Le stratotype de la formation a été défini par des colonnes stratigraphiques détaillées où sont corrélates les dépôts des deux complexes (pl. II).

Le complexe inférieur débute par des arkoses et des grès quartzitiques à minéral de fer (hématite, magnétite et limonite) et supporte en continuité de sédimentation des calcaires. Les calcaires peuvent substituer partiellement ou intégralement les grès quartzitiques et présentent parfois de petites lentilles du même minéral de fer. Le complexe inférieur repose en discordance sur différents termes épimétamorphiques du cristallin autochtone, soit à l'intermédiaire des grès quartzitiques, soit à l'intermédiaire des calcaires (pl. II).

Le complexe supérieur suit en continuité de sédimentation à celui inférieur. Le passage progressif des calcaires du complexe inférieur aux argilites séricito-graphitiques est mis en évidence par l'alternance des calcaires en plaquette avec les argilites, ordinairement observable entre les deux complexes.



Les argillites passent progressivement à des dépôts psammitiques et ensuite à des dépôts pséphitiques sous faciès de molasse. De fréquents endentements de faciès entre ces types de roches apparaissent dans toute l'épaisseur et l'étendue des roches. Dans ce complexe, à différents niveaux stratigraphiques, apparaissent des intercalations de grès ferrugineux.

La formation d'Oslea a été attribuée au Paléozoïque supérieur, faute d'arguments paléontologiques pour faire d'autres précisions.

Les dépôts de la formation d'Oslea sont le résultat de l'activité d'un sillon miogéosynclinal externe du cycle hercynien des Carpates Méridionales. Ils constituent un synclinorium où les plis sont orientés approximativement W-E (pl. I), parfois complètement redressés (pl. I) voire même faiblement déversés vers le S et affectés par des failles transversales qui décrochent les structures vers le N et le S. Le synclinorium d'Oslea est écorcé entre le cristallin du massif de Vulcan au S, avec lequel il prend contact tectonique (faille d'Arcanu) et le massif de Hetezat au N. Sur la rive gauche du Jiu, les dépôts du synclinorium ont été recouverts par la nappe gétique et ensemble avec celle-ci ont glissé dans la dépression de Petroșani à la suite de l'orogenèse alpine.

## EXPLICATION DES PLANCHES

### Planche I

Carte géologique du secteur occidental de la vallée du Jiu -- synclinorium d'Oslea.  
Coupes géologiques à travers la formation d'Oslea.

1, Quaternaire; 2, Néozoïque; 3, roches magmatiques; 4, Crétacé inférieur; 5, Paléozoïque supérieur, formation d'Oslea: a, complexe supérieur; b, complexe inférieur; 6, cristallin autochtone; 7, cristallin gétique; 8, calcaires; 9, argiles séricito-graphiteuses; 10, grès argileux; 11, grès quartzifères et arkostens; 12, grès; 13, conglomérats; 14, limite géologique normale; 15, limite de transgression; 16, axe d'anticlinal; 17, axe de synclinal; 18, position des couches; 19, décrochement; 20, faille; 21, faille inverse; 22, position des coupes géologiques; 23, échantillons avec minéral de fer.

### Planche II

Colonnes lithologiques-stratigraphiques à travers la formation d'Oslea.

1, calcaires; 2, argillites séricito-graphiteuses; 3, grès argileux; 4, grès calcaires; 5, grès quartzifiques et arkostens; 6, grès; 7, conglomérats; 8, schistes cristallins; 9, échantillon avec minéral de fer.



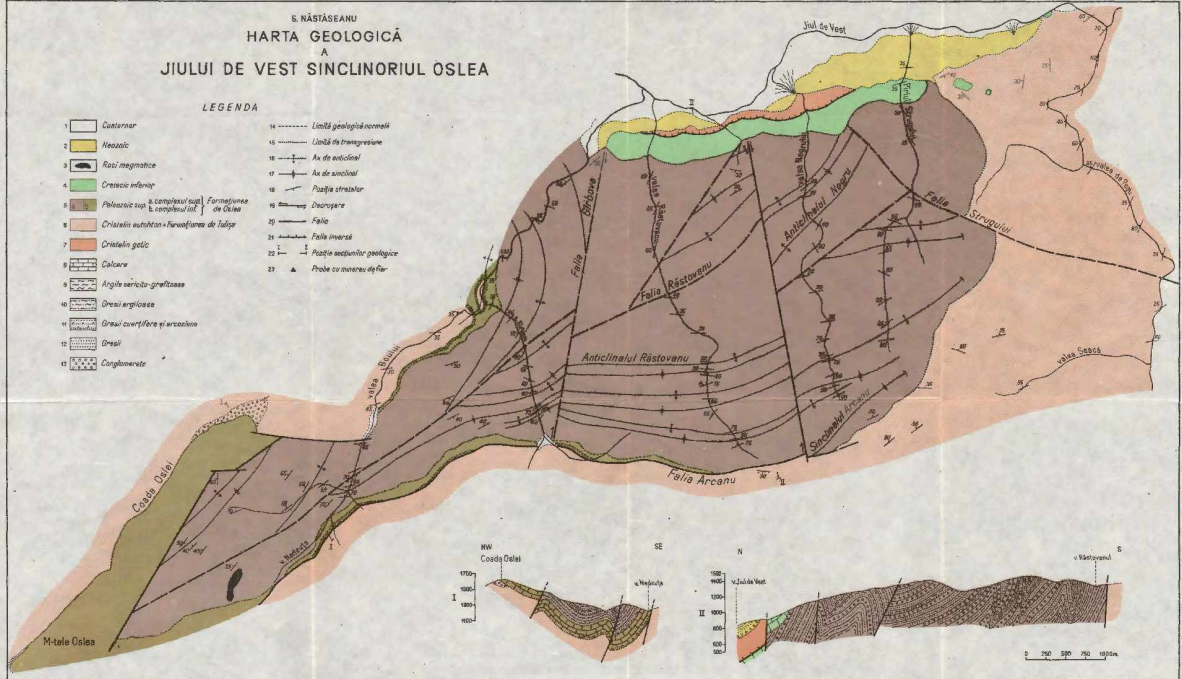
S. NĂSTASEANU: Hartă geologică a jilului de vest al judecătării formatorii de Datești din Carpați Meridionali

P. 1

S. NĂSTASEANU  
HARTA GEOLOGICĂ  
A  
JIULUI DE VEST SINCLINORIUL OSLEA

LEGENDA

- 1 Cutiere
- 2 Neozic
- 3 Razi magmatische
- 4 Crenice înfăptite
- 5 Paleozic sup. & complexul sup. I de Olteț
- 6 Cristalin eutecton + formacii de Tuluge
- 7 Cristalin gotic
- 8 Calcare
- 9 Argile serico-grafitizate
- 10 Gresii argiloase
- 11 Gresii cavitare și arcizoane
- 12 Gresii
- 13 Conglomerate
- 14 —— Limită geologică normală
- 15 —— Limită de transversală
- 16 —+— Axe de anticliniu
- 17 —— Axe de sinclinal
- 18 —— Profilă străzitor
- 19 —— Deschise
- 20 —— Folia
- 21 —— Folia inversă
- 22 —— Profilă secțiunilor geologice
- 23 ▲ Probe cu măsurare de fier



INSTITUTUL GEOLOGIC. Dan de seară vol LIX/4

Institutul Geologic al României

Impres. Ateli. Inst. Geol.

S. NĂSTĂSEANU  
COLOANE LITO-STRATIGRAFICE  
PRIN  
FORMATIUNEA DE OSLEA.

0 30 60 90 100 m

L E G E N D A

- 1 Calcare
- 2 Argilite sericito - grafitoase
- 3 Gresii argiloase
- 4 Gresii calcaroase
- 5 Gresii cuartitice și circoziene
- 6 Gresii
- 7 Conglomerate
- 8 Sisturi cristaline
- 9 Fe Probe cu minereu de fier

v. Negruhui

v. Strugului

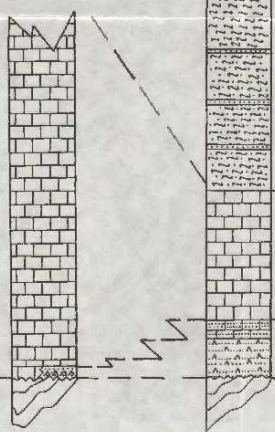


v. Gîrbovului

v. Nedeaiei

Măle Oslea

Coada Oslea



superior

completul

inferior

Complexul

#### 4. STRATIGRAFIE

### NOTĂ ASUPRA VÎRSTEI ROCILOR ERUPTIVE DIN ZONA CHEILE TURZII<sup>1</sup>

DE  
IONEL NICOLAE<sup>2</sup>

#### Abstract

Note on the Age of Eruptive Rocks from the Cheile Turzii Zone. This note is referring to the eruptive rocks pertaining to the initial magmatism from the north-eastern part of the Trascău Mts. On the basis of their relationships with the upper Jurassic limestones it was established that the spilitized andesites, pyroxene-bearing andesites, andesitic pyroclastites, rhyodacitic vitrophyres and tuff breccias were emplaced until the time deposition of the lower part of the Upper Jurassic whereas the emplacement of albitized rhyodacites has occurred subsequently to the Upper Jurassic, probably during the Cretaceous.

Obiectul acestei note îl reprezintă rocile aparținând magmatismului inițial din prelungirea NE a Munților Trascăului, cuprinse între Tureni la N și valea Arieșului la S, între localitățile Burnu și Cheia.

Cercetări geologice privind rocile eruptive din regiune sunt puțin numeroase.

Alături de referiri tangențiale asupra acestor roci, aparținând lui Hauner și Stache (1863), Herbigh (1873, 1877), Koch (1887, 1890), sunt de menționat mai ales lucrările lui Szentpétery (1904, 1906) care privesc suprafața cuprinsă între Tureni la N și Rimetea-Podeni la S, fiind însoțite de cîte o hartă scara 1 : 500.000.

Ulterior, asupra prezenței acestor roci eruptive se fac mențiuni fie în lucrările unor cercetători care au studiat rocile sedimentare, fie în lucrări cu caracter general (Ilie, 1957; Iancovici et al., 1969).

<sup>1</sup> Comunicare în ședința din 14 aprilie 1972.

<sup>2</sup> Institutul Geologic, Șos. Kiseleff nr. 55, București.

În privința vîrstei rocilor eruptive, Hauer și Stache (1863) observă înglobate în „roca verde” de lîngă moara de la Cheile Turzii, fragmente de calcare jurasică-superioare și tragh concludând că punerea în loc a acestor roci eruptive a avut loc după depunerea unei porțiuni a masivului calcar.

Ulterior, Herbigh (1877) și Koch (1887) observă lîngă Buru, în baza calcarelor jurasice, calcare roșcate pe care le consideră triasic-mediul-superioare, fără argumente paleontologice; aceste calcare stau evident deasupra rocilor eruptive, motiv pentru care autori consideră că erupțiile s-au produs în Triasicul inferior sau mediu.

Szentpétery (1904) citează și el calcare roșcate în baza calcarelor jurasice-superioare, la N de intrarea în Cheile Turzii și în Cheile Turului și este de părere că erupțiile s-au produs înainte de Jurasic.

Tie (1936, 1950) referindu-se la calcarele roșcate din baza calcarelor jurasice-superioare, consideră că acestea ar putea fi kimmeridgiene, părere la care se răiază și Lupu (1954)<sup>3</sup>. În lumina acestei interpretări, vîrsta triasică nu ar mai putea fi o certitudine.

Cercetările noastre (Nicolae, 1972)<sup>4</sup> au stabilit în cadrul rocilor vulcanice o remarcabilă varietate de tipuri petrografice. Am pus în evidență în ordinca vîrstei: andezite spilitizate, andezite cu piroxen, piroclastite andezitice și vitrofire și tufobrecii riocacitice. Cele mai băzice roci ale seriei sunt andezite cu angit și hipersten care au plagioclazul reprezentat prin labrador și uncori chiar bytownit. În tufobreciile și vitrofirele riocacitice nu am întîlnit enclave de calcare descrise de Hauer și Stache la Cheile Turzii, în schimb la Săndulești în debleul căii ferate am observat în tufobreciile riocacitice, care corespund „rocii verzi” a lui Hauer și Stache, blocuri de calcar al căror facies este asemănător calcarelor jurasice-superioare; în alt punct de observație situat pe versantul stîng al văii Arieșului, în dreptul localității Buru se întâlnesc prinse în calcare jurasice-superioare, nici fragmente de tufobrecii riocacitice.

Rezultă deci că vitrofirele și tufobreciile riocacitice sunt atît anterioare calcarelor jurasice-superioare cît și sincrone cu partea bazală a acestora, erupțiile continuând și în acest interval. Admitem că întreaga succesiune prezentată mai sus a fost pusă în loc pînă în Jurasicul superior.

<sup>3</sup> M. Lupu. Raport privind cercetările geologice din regiunea de la N de Cheile Turzii, 1954. Arh. Inst. Geol. București.

<sup>4</sup> I. Nicolae. Studiul petrografic al rocilor eruptive din Cheile Turzii. 1972; Arh. Inst. Geol. București.

Ocurența frecventă dintre rocii vulcanice submarine și calcare recifale a fost explicată de Păpîn (1956) prin instalarea recifilor pe zone ridicate ale fundului bazinului marin, alcătuite din material de natură vulcanică. Sineron, în zonele adiacente activitatea vulcanică a continuat odată cu procesul de recifogeneză.

În afara rocilor amintite am mai pus în evidență o serie de dykeuri de riadacite albitezate care străpung rocile seriei enumerate, inclusiv vitrofirele și tufobrecile riadacitice și sunt deci mai noi decât acestea. Punerea lor în loc să se fi putut produce după Jurasicul superior, probabil în Cretacic, dar nu avem elemente pentru a le stabili mai exact vîrstă.

## BIBLIOGRAFIE

- Hauer F., Stache G. (1863) Geologie Siebenbürgens. Wien.
- Herthich Fr. (1879) Zur Verbreitung der Eruptivgesteine Siebenbürgens. Erd. Mus. Egyt. Klausenburg.
- (1877) Geologische Beobachtungen in dem Gebiete der Kalkkippen am Ostrand des siebenbürgischen Erzgebirges. Földt. Közl., VII, Budapest.
- Ianovici V., Giușcă D., Ghîțulescu P. T., Boronș M., Lupu M., Bleahu M., Savu II. (1969) Evoluția geologică a Munților Metaliferi. Ed. Acad. R.S.R. București.
- Ilie D. M. (1936) Recherches géologiques dans les Monts du Trascău et dans le bassin de Păties. Ann. Inst. Géol. Roum. XVII, Bucarest.
- (1950) Monts Métallifères de Roumanie. Recherches géologiques entre la vallée Stremăului et la vallée Ampoiului. Ann. Com. Géol. XXIII, Bucarest.
  - (1957) Munții Apuseni. Ed. Șt. București.
- Koch A. (1887) Bericht über die im Sommer 1857 durchgeführten geologische Spezialaufnahme des westlich von Torda gelegenen Gebietes im Torda — Aranyeser Comitate. Jahressb. d. k. ung. geol. Budapest.
- (1890) Umgebungen von Torda Blatt Zone 19, Col. XXIX (1 : 75.000) geologisch aufgenommen und erläutert. Budapest.
- Păpîn V. C. (1956) Eruptii vulcanice submarine. Ed. Șt. București.
- Szentpétery S. (1904) A Tur-Toroczkói eruptivus vonulat. Kolozsvár.
- (1906) Petrographische Verhältnisse des zwischen Botév, Várfalva, Csegez und Toroczkék liegenden Teiles der Tur-Toroczkéer eruptiven Höhenzuges. Kolozsvár.

## NOTE SUR L'ÂGE DES ROCHES ÉRUPTIVES DE LA ZONE DE CHEILE TURZII

### (Résumé)

L'objet de cette note est constitué par les roches éruptives, revenant au magmatisme initial, du prolongement vers le NE des Monts Trascău, entre Tureni au N. et Valea Arieșului au S.

On a établi une succession (en tenant compte de l'âge) : d'andésites spilitisées, andésites à pyroxènes, pyroclastites andésitiques, vitrophyres et tuffobrèches rhyodacitiques et rhyodacites albitisées.

Vu leurs relations avec les calcaires récifaux du Jurassique supérieur on a établi que la partie supérieur des vitrophyres et des tuffobrèches rhyodacitiques est synchrone à la partie basale de ces calcaires.

Il en résulte que la mise en place de la succession présentée, y compris les vitrophyres et les tuffobrèches rhyodacitiques s'est prolongée jusqu'à la partie inférieure du Jurassique supérieur.

Les rhyodacites albitisées apparaissent sous forme de dykes et sont les plus récentes roches éruptives de la région, mises probablement en place au Crétacé.



#### 4. STRATIGRAFIE

## NANNOPLANCTONUL CALCAROS DIN STRATELE DE PODUL SECUL SI ORIZONTUL BAZAL AL GRESIEI DE FUSARU DIN VALEA TĂRCUȚA (CURSUL SUPERIOR AL VĂII TARCĂULUI)<sup>1</sup>

DE

CAROL LEBENZON<sup>2</sup>

### Abstract

*Calcareous Nannoplankton of the Podul Secul Beds and the Basal Horizon of the Fusaru Sandstone in the Tărcuța Valley (Upstream the Tarcău Valley). In this paper the content of nannoplankton of the Upper Eocene and Lower Oligocene deposits in the region located upstream the Tarcău Valley (Bistrița Valley Basin) is studied. The Upper Eocene is divided into four zones corresponding to the nannoplankton standard zones. Relying on analyses of nannoplankton, the Eocene/Oligocene limit of the geological section under study is established. Finally, a biostratigraphical zonality of the deposits investigated is obtained by means of correlations with stratotype zones, as well as with other fossil groups.*

Numeroasele studii de nannoplancton efectuate pe parcursul a mai mulți ani asupra depozitelor terțiare din diverse regiuni ale lumii, au dus, în final, la posibilitatea unei zonări standard de nannoplancton a Terțiarului cu largă aplicabilitate pe plan mondial.

Zonarea standard amintită mai sus constituie o luerare de sinteză în domeniul nannoplanctonului. Ea aparține lui Martin (1970) și a fost prezentată și acceptată de Simpozionul Internațional al Nannoplanctonului de la Roma (octombrie 1970). Zonarea standard a Terțiarului are la bază atât luerările proprii ale autorului, cât și studiile a numeroși alți cercetători, printre care cităm pe: Mohler, Hay, Bramlette, Sullivan,

<sup>1</sup> Comunicare în ședință din 3 martie 1972.

<sup>2</sup> Institutul de cercetare și proiectare tehnologică pentru industria extractivă de țigă și gaze-Grupul de secții de cercetare, Str. Toamnei nr. 103, București.



Bronnimann, Stradner, Wade, Roth, Wilcoxon, Worrsley, Gartner, Schmidt, Boudreaux.

Această zonare se bazează pe analiza a numeroase eșantioane provenite din principalele bazine de sedimentare ale Terțiului și în special din regiunile de stratotip ale etajelor.

Se realizează în același timp o corelare a zonelor de nannoplancton cu zonele stabilite pe baza studiului foraminiferelor planctonice, radiolari și silicoflagelatelor.

Având la dispoziție acest studiu de sinteză, foarte recent și de largă aplicabilitate, am încercat în lucrările noastre să precizăm modul cum să incadreză conținutul specific în nannofloră al eșantioanelor studiate în zonarea standard de nannoplancton a Terțiului. Am considerat că, în acest fel, se va putea realiza, prin intermediul studiilor de nannoplancton, o mai bună corelare între formațiunile paleogenene de la noi din țară cu cele din diverse regiuni ale lumii.

În acastă optică, vom analiza, în cele ce urmează, conținutul în nannoplancton calcaros al probelor studiate.

Vom folosi notația NP (specifică Paleogenului) pentru zonele de nannoplancton ce vor fi discutate.

Dată fiind cele expuse mai sus nu vom reveni asupra autorului pentru fiecare zonă în parte.

*Paleogenul* în faciesul de Tarcău din regiunea cursului superior al văii Tarcăului a făcut obiectul cercetărilor noastre din anul 1958<sup>3</sup>.

În scopul folosirii asociațiilor de nannoplancton pentru o analiză microbiostratigrafică a acestor depozite, în anul 1970 am efectuat o colectare sistematică de eșantioane, de pe o secțiune care străbate transversal structurile geologice în această regiune (valea Tărcuța, affluent stânga și valea Răchităș, affluent dreapta ai văii Tarcăului). O prezentare în general a observațiilor privind conținutul în nannoplancton a formațiunilor geologice din acastă regiune s-a făcut într-o lucrare apărută în luna septembrie a acestui an (Martin, Lebenzon, 1971). În această lucrare se anunță o tratare ulterioară, în amănunt, a diferitelor segmente ce constituie secțiunea geologică amintită.

Stratele de Podul Secul și orizontul bazal al gresiei de Fusaș, de pe valea Tărcuța reprezintă un prim asemenea segment.

<sup>3</sup> C. Lebenzon, O. Dicea. Cercetări geologice în regiunea Ghimeș-Asău. 1959. Arh. M.M.P.G. București.

Acstea depozite, cu constitucție litologică bine cunoscută, aflorează aici pe flancurile anticlinialului Ciudomir-Ardele-Măgura Bicazului și sinclinalului Camuga-Erătes-Secu.

Din 18 eșantioane colectate de pe acest segmental profilului amintit, s-a un conținut de nannoplaneton calcaros, care a permis identificarea unor asociații specifice (tabelul).

În proba nr. 65, colectată din primul afloriment al stratelor de Podul Secul, ce reprezintă pe gresia de Tarcău (flancul estic al anticlinialului Ciudomir-Ardele Măgura Bicazului), s-a determinat o bogată asociație de nannofloră (15 specii).

Existența în această asociație, în afară formelor comune și a speciilor *Dictyococcites dictyodus* (D e f l a n d r e et F e r t), *Reticulofenestra umbilica* (L e v i n) și *Sphenolithus radians* D e f l., permite încadrarea acesteia la partea inferioară a zonei NP. 17 (zona *Discoaster saipanensis*).

Încadrarea în această zonă se bazează pe faptul că speciile *Dictyococcites dictyodus* și *Reticulofenestra umbilica* se dezvoltă începând numai în zona NP. 16, iar specia *Sphenolithus radians* D e f l. nu depășește treimea inferioară a zonei NP. 17.

Ezităm să coborim mai jos această asociație, deoarece nu a fost identificată specia *Chiasmolithus solitus* (B r a m . et S u l l i v a n), care caracterizează intervalul stratigrafic corespunzător zonei NP. 16 și nu urcă mai sus de această zonă.

Asociația de nannoplaneton a zonei NP. 17 a mai fost identificată, în partea inferioară a Eoceneului superior (Bartonianul din Ungaria, Germania și S.U.A) (M a r t i n i, 1971), precum și în marmele cu *Pholadomia* ale Bartonianului inferior din bazinul Parisului și în nisipurile de Barton din bazinul Hampshire.

Corelată cu alte grupe fosile, această zonă de nannoplaneton, corespunde zonei de foraminifere planctonice *Truncorotaloides rohri* (P. 14) și părții inferioare a zonei *Globigerapsis mexicana* (P. 15) și zonelor de radiolarii, *Podocyrtis mitra* (partea terminală), *Podocyrtis chalara*, *Thrysocyrtis tetricantha* și părții bazale a zonii *Thrysocyrtis bromia* (M a r t i n i, 1971).

În proba nr. 37, colectată din partea inferioară a stratelor de Podul Secul de pe celălalt flanc al anticlinialului s-a identificat de asemenea o asociație bogată în nannofloră (12 specii) (tabelul).

În această asociație este prezentă specia *Coranulus germanicus* S t r a d n e r. Se consideră că această specie nu apare la un nivel inferior zonei NP. 18 (M a r t i n i, 1970). Sunt de asemenea prezente în asociație

forme de *Cyclococcolithus formosus* Kamptner, *Dictyococcites dictyodus* (Defl. et Fert.) și *Reticulofenestra umbilica* (Levin), considerate drept comune pentru zona NP. 18.

Atribuirea acestei asociații unui nivel mai superior zonei NP. 18 este de asemenea inopportună, deoarece lipsește din asociație forma *Istmolithus recurvus* Defl., specifică intervalului imediat superior (se dezvoltă numai începând cu zona NP. 19).

Deși lipsa din asociație a speciei *Chiasmolithus oamaruensis* (Defl.) impune anumite reticente, din toate motivele amintite mai sus atribuim această asociație zonei NP. 18.

Ocurența în masă în această probă a speciei *Braarudosphaera bigelowi* (Gran. et Braarud) (pl. II, fig. 7, 8), indică pentru depozitele respective un facies apropiat de țărm.

Zona NP. 18 la care atribuim asociația de nannofloră indicată mai sus, corespunde părții superioare a zonei de foraminifere *Globigerapsis mexicana* (P. 15.) (Martin, 1971).

În proba nr. 10, colectată din stratele de Podul Secul ec aflorează pe flancul estic al sinclinalului Camuga-Bratesecu (pl. IV) a fost pusă în evidență o asociație de nannoplancton constituită din 17 specii (tabelul).

Dintre acestea, o semnificație stratigrafică deosebită o au speciile *Discoaster barbadiensis* Tan Sin Hook (pl. III, fig. 1, 6) și *Istmolithus recurvus* Deflandre (pl. III, fig. 2, 3).

Astfel, specia *Discoaster barbadiensis* nu se întâlnește mai sus de jumătatea inferioară a zonei NP. 20, iar specia *Istmolithus recurvus* nu coboară mai jos de zona NP. 19. În același timp absența din asociație a speciei *Sphenotithus pseudoradians* Bramlette et Wilcoxon, care se dezvoltă începând numai cu zona NP. 20 nu permite încadrarea ei la un nivel superior zonei NP. 19. Asociația respectivă se poate deci atribui zonei NP. 19 (zona *Istmolithus recurvus*), care se situează în baza jumătății superioare a Eocenului superior, conform zonării standard de nannoplancton a Terțiarului.

Zona NP. 19 a fost identificată și în nisipurile de la Mandrikovka-Ucraina (Martin, Ritzkowski, 1971) și corespunde părții terminale a zonei de foraminifere planctonice *Globigerapsis mexicana* (P. 15) și părții bazale a zonei *Cribrohantkenina inflata* (P. 16).

În proba nr. 11, colectată din stratele de Podul Secul dintr-un nivel imediat superior precedentului (pl. IV), s-a identificat o asociație de nannoplancton mai puțin bogată. Prezența speciilor *Istmolithus recurvus* Defl.

Landre și *Discoaster saipanensis* Bram. et Riedel, permite însă atribuirea asociației respective la intervalul NP. 19—NP.20.

Din celălalt flanc al sinclinalului Camuga-Brates-Secu, de la partea terminală a stratelor de Podul Secul (pl. IV) au fost colectate probele nr. 69 și 70.

Asociația de nannofloră pusă în evidență în proba nr. 69 este deosebit de bogată și semnificativă (21 de specii).

Mai puțin bogată, însă la fel de semnificativă, este și asociația de nannoplancton identificată în proba nr. 70.

Prezența în ambele asociații a speciilor *Discoaster saipanensis* Bram. et Riedel, care se dezvoltă numai în Eocenul superior și dispare odată cu debutul Oligocenului, și *Sphenolithus pseudoradians* Bram. et Wilc. (pl. III, fig. 4, 5), care își începe dezvoltarea numai începând din zona NP. 20, indică cu precizie apartenența asociațiilor respective la zona NP. 20 (zona *Sphenolithus pseudoradians*), zonă ce marchează partea terminală a Eocenului superior.

Din cele expuse mai sus, reiese că partea superioară a stratelor de Podul Secu poate fi corelată, pe baza conținutului în nannoplancton, cu Priabonianul tip (partea superioară a zonei NP. 18—zona NP. 20).

Acest interval stratigrafic corespunde, conform zonării corelate a mai multor grupe fosile (Martini, 1971), părții terminale a zonei *Globigerapsis mexicana*, zonei *Cribrohanikenina inflata* (P. 16) și zonei *Globigerina gortanii/Globorotalia centralis* (P. 17) (pentru foraminifere planctonice) și zonei *Thysocyrtis bromia* (pentru radiolari).

În probele nr. 71 și 72 s-au identificat două bogate asociații de nannoplancton (25 și respectiv 17 specii). Acestea sunt identice din punct de vedere al conținutului caracteristic (tabelul).

Cele două probe sunt colectate din pelitice intercalate în gresia masivă, din care este constituit orizontul bazal al gresiei de Fusaru, din flancul vestic al sinclinalului Camuga-Brates-Secu.

Din asociațiile de nannofloră amintite mai sus, o semnificație deosebită oau formele *Ericsonia? subdisticha* Roth. et Hay, *Cyclococcolithus formosus* Kaupert, *Reticulofenestra umbilica* (Leyte) și *Istmolithus recurvus* De Landre (pl. III, fig. 2, 3, 7, 8, 9).

Speciile *Ericsonia subdisticha* și *Cyclococcolithus formosus* nu depășesc în dezvoltarea lor zona NP. 21. Aceste forme, alături de speciile *Istmolithus recurvus* și *Reticulofenestra umbilica*, care mai urcă și în zona imediat următoarea, reprezintă asociația de nannofloră ce indică zona NP. 21 (*Ericsonia? subdisticha*), care caracterizează baza Oligocenului.

TABLE:  
Specie de nanoplanton identificate în probele analizate

Vîrsta	Spiecii de nanoplanton	Bartonian				Priabonian				Eocen Superior				Oligogen			
		NP.17	NP.18	NP.19	NP.19-20	NP.20	NP.20	NP.21	NP.21	NP.21	NP.21	NP.21	NP.21	NP.21	NP.21	NP.21	
Zona standard de nanoplanton		65	37	10	11	69	70	71	72								
Nr. epantioanilor		I	6	I	m	I	m	f	m	e	f	m	f	e	f	m	
<i>Coccolithus</i> sp.		r	r	m	e	I	r	r	m	r	r	r	r	r	r	r	
<i>Peltoceratina unifilosa</i> (Levin)		r	r	r	r	r	r	r	r	r	r	r	r	r	r	r	
<i>Cyclococcolithus formosus</i> Kampfer		r	r	r	r	r	r	r	r	r	r	r	r	r	r	r	
<i>Zygrypholithus binggus</i> (Deflandre)		f	r	r	r	r	r	f	r	f	r	r	r	r	r	r	
<i>Coccolithus</i> cf. <i>pelagicus</i> (Wallich)		d	r	m	m	m	m	r	r	r	r	r	r	r	r	r	
<i>Pectenacolithus diegensis</i> (Lefort)		r	r	f	m	m	m	r	r	r	r	r	r	r	r	r	
<i>Sphaerolithus pacificus</i> Martini		r	r	r	m	m	m	r	r	r	r	r	r	r	r	r	
<i>Discoster verduffensis</i> Tan Sin Hok		r	r	r	r	r	r	r	r	r	r	r	r	r	r	r	
<i>Lanternites minutus</i> Seraudier		r	r	r	m	m	m	m	m	m	m	m	m	m	m	m	
<i>Sphaerolithus radians</i> Deflandre		r	r	r	r	r	r	r	r	r	r	r	r	r	r	r	
<i>Coccolithus expugnans</i> Bram. et Riedel		r	r	r	r	r	r	r	r	r	r	r	r	r	r	r	
<i>Braueridessphaera bigelowi</i> (Gran et Brauer)		r	r	r	r	r	r	r	r	r	r	r	r	r	r	r	
<i>Discoster</i> sp.		r	r	r	r	r	r	r	r	r	r	r	r	r	r	r	

<i>Discaster sp. (cf. minus) De Blancke</i>	r	r	r	r	r	r	r	r	r	r	r	r
<i>Discolithina cf. disticta</i>												
<i>Discolithina cf. rimosa</i>		r										
<i>Litsonia subtilisella Roth et Hay</i>									m	1		
<i>Lorauulus germanicus Stradner</i>	r	m	r	r	r	r	r	r	r	r	r	r
<i>Discaster cf. deflandrei Bram. et Riedel</i>	r	r	r	r	r	r	r	r	r	r	r	r
<i>Isthnolithus reuteri De Blancke</i>	r	r	r	r	r	r	r	r	r	r	r	r
<i>Discaster tenui Bram. et Riedel</i>	r	r	r	r	r	r	r	r	r	r	r	r
<i>Trochaster operosus (De Blancke)</i>		r										
<i>Discaster seipensis Bram. et Riedel</i>	r	r	r	r	r	r	r	r	r	r	r	r
<i>Chiasmolithus concretaens (Defl.)</i>									m			
<i>Discaster multiradiatus Bram. et Riedel</i>								r				
<i>Discaster elegans Bram. et Sullivan</i>								r				
<i>Sphenolithus pseudoradiatus Bram. et Willc.</i>								r				
<i>Cylatholithus spinosus Martini</i>								r				
<i>Fasciculithus involutus Bram. et Sullivan</i>								r				
<i>Discolithina pustulifera (Sullivan)</i>								r				

continuare tabel I

Vîrstă	Specie de nanoplanton	Eocen superior						Oligocen Latdorfian
		Partonian	NP.17	NP.18	NP.19	NP.19-20	NP.20	
Zona standard de nannoplancion	Nr. eșantioanelor	65	37	10	11	69	70	71
<i>Discaster distinthus</i> Martini								72
<i>Discaster cf. tenuimodifer</i>								
<i>Discaster talensis</i> Bram et Riedel								
<i>Discaster binodosus</i> Martini								
<i>Heterofenestra</i> cf. <i>insignia</i> Roth et Hay								
<i>Rhabdosphaera tenuis</i> Bram et Sullivan								
<i>Sphenolithus prestans</i> Bram et Willc.								
<i>Helicopontosphaera reticulata</i>								
<i>Micula sinuosa</i> (Gardet)								
<i>Eiffelithus turrisiffeli</i> (Delt.) Reinhardt								
<i>Eretsonia</i> cL. <i>lenestrua</i> (Delt.)								

r = rar; m = moderat; f = frecvent; e = eruptiv;



Un argument în plus la stabilirea acestei poziții stratigrafice mai este și faptul că din cele două associații lipsește specia *Discoaster saipanensis* Bram. et Riedel, despre care am amintit anterior, că dispare odată cu începutul Oligocenului.

O asemenea asociatie de nannoplancton a fost identificată în depozitele ce reprezintă stratotipul Latdorfianului (Martini, 1969), în stratele de Silberberg din zona Helmstadt, din nordul Germaniei, care reprezintă un neostratotip al Latdorfianului, în nisipurile de Grimmeringen din baza Tongrianului belgian (Martini, Morkens, 1969), precum și în Franța, Barbados, S.U.A. și în Noua Zeelandă.

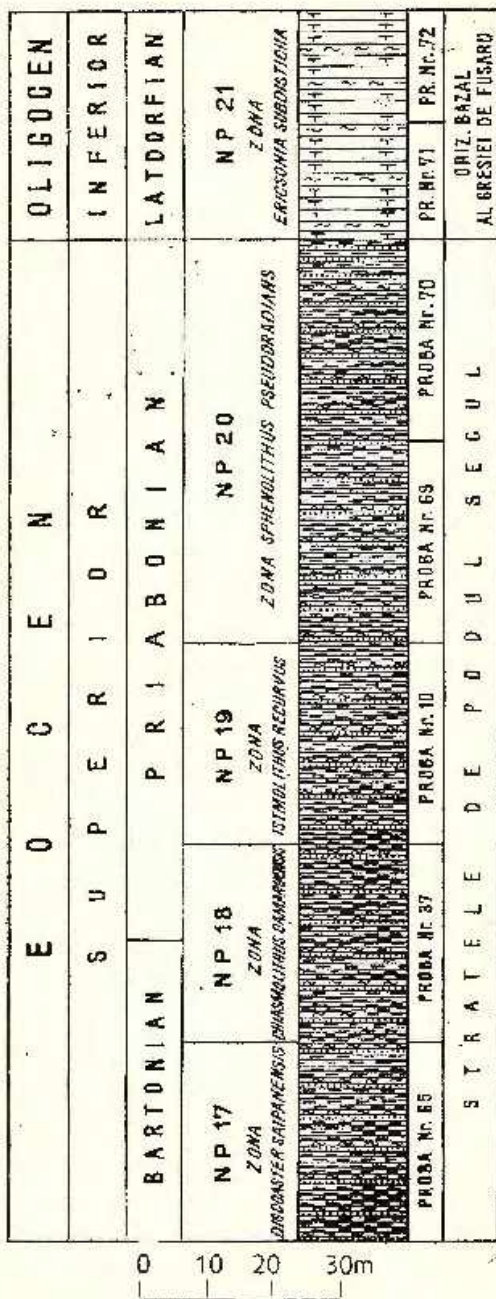
Această zonă se corclează cu zona de foraminifere *Globigerina tapuensis* (P. 18) și în ceea ce privește radiolarii, cu partea inferioară a zonei *Theocyrtis tuberosa* (Martini, 1971).

În concluzia celor prezentate în această lucrare se pot remarcă următoarele :

1. Stratele de Podul Secul și orizontul bazal al gresiei de Fusaru din valea Târcuța au un bogat conținut de nannoplancton (42 de specii).
2. Pe baza asociatiilor specifice de nannofloră s-a putut stabili o biozonare a stratelor de Podul Secul în patru zone, corespunzătoare zoneelor de nannoplancton NP. 17 (zona *Discoaster saipanensis*), NP. 18 (zona *Chiasmolithus oamaruensis*), NP. 19 (zona *Istmolithus recurvus*) și NP. 20 (zona *Sphenolithus pseudoradians*).
3. Pe baza corclărilor cu asociatiile specifice de nannoplancton din alte zone, cit și a corclărilor cu alte grupe fosile (foraminifere planetonice și radiolari) stratele de Podul Secul, pot fi atribuite Bartonianului (partea lor inferioară) și Priabonianului (partea lor superioară) (fig. ).

Deoarece limita litologică dintre orizontul gresiei de Târcău și stratele de Podul Secul, nu este întotdeauna suficient de tranșantă, este posibil ca zonele bazale pe care le atribuim Bartonianului să corespundă părții terminale a orizontului gresiei de Târcău.

4. Asociația specifică de nannoplancton identificată în orizontul bazal al gresiei de Fusaru, permite atribuirea acestor depozite, Latdorfianului.
5. Pe baza studiilor de nannoplancton se stabilește astfel că limita Eocen/Oligocen se plasează, pe acest profil, între stratele de Podul Secul și orizontul bazal al gresicii de Fusaru.
6. Se reușește astfel, o precizare a conținutului biostratigrafic al stratelor de Podul Secul și al orizontului bazal al gresiei de Fusaru și o zonare de detaliu a Eocenului superior și Oligocenului inferior din această regiune.



Coloană stratigrafică schematică a straturilor de Podul Secui și a orizontului bazal al gresiei de Fusaru din valea Târcuța.

Colonne stratigraphique schématique des couches de Podul Secui et de l'horizon basal du grès de Fusaru de la vallée de Târcuța.

## BIBLIOGRAFIE

- Martini E., Moorkens T. (1969) The type — locality of the sands of Grimmeringen and calcareous nannoplankton from the lower Tongrian. *Bull. Soc. Belge. Géol. Paleont., Hydrol.*, 78, 2, Bruxelles.
- (1969) Nannoplankton aus dem Latdorf (locus typicus) und weltweite Parallelisierungen im oberen Eozän und unteren Oligozän. *Senckenbergiana Lethaea* Band 50, 2/3, Frankfurt am Main.
  - Worsley T. (1970) Standard Neogene calcareous nannoplankton zonation-Nature, 225, 5229, London.
  - (1970) Standard Paleogene calcareous nannoplankton zonation-Nature, 226, 5245, London.
  - (1971) Standard Tertiary and Quaternary calcareous nannoplankton zonation. *Proc. II. Planktonic Conf. Roma*, 1970, Roma.
  - Ritzkowski S. (1970) Stratigraphische Stellung der obereozänen Sande von Mandrikovka (Ukraine) und Parallelisierungs-Möglichkeiten mit Hilfe des fossilen Nannoplanktons. *Newsl. Stratigr.*, 1, 2, Leiden E. J. Brill.
  - Lebenson C. (1971) Nannoplankton-Untersuchungen in oberen Tal des Tarcău Ostkarpaten, Rumänien) und stratigraphische Ergebnisse. *N. Jb. Geol. Paläont. Stuttgart*.
  - Müller Carla (1971) Das marine Alttertiär in Deutschland und seine Einordnung in die Standard Nannoplankton Zonen. *Erdöl und Kohle-Ergas-Petrochemie vereinigt mit Brennstoffe-Chemie Heft.*

## LE NANNOPLANCTON CALCAIRE DES COUCHES DE PODUL SECUL ET DE L'HORIZON BASAL DU GRÈS DE FUSARU DE LA VALLÉE DE TĂRCUȚA (COURS SUPÉRIEUR DE LA VALLÉE DU TARCĂU)

(Résumé)

Dans cet ouvrage est présenté le contenu en nannoplancton calcaire des couches de Podu Secu et de l'horizon basal du grès de l'Insaru (vallée de Tărcuța).

Ces dépôts constituent les flancs d'anticlinal de Ciudomir-Ardele-Măgura Bicazului et du synclinal de Camuga-Brateș-Secu.

Le contenu spécifique en nannoflore des échantillons analysés a permis d'identifier des zones de nannoplankton qui figure dans la zonation standard de nannoplankton du Tertiaire, présentée au Symposium International tenu à Rome en octobre 1970.

Dans la partie basale des couches de Secu on a identifié une association de nannoflore caractéristique pour la zone NP. 17 (Zone *Discoaster saipanensis*). Cette association spécifique a été identifiée aussi dans le Bartonien type de Iliongrie, d'Allemagne et des U.S.A., dans les marnes à *Pholadomia* du Bartonien inférieur du bassin de Paris et dans les sables de Barton du bassin d'Hampshire.



Dans un niveau immédiatement surjacent, dans les couches de Podul Secul, on a identifié une association caractéristique pour la Zone NP. 18 (Zone *Chiasmolithus vamaraeensis*) et la partie tout à fait supérieure de ces dépôts contient des associations caractéristiques pour les zones NP. 19 (Zone *Istiomilithus recurvus*) et NP. 20 (Zone *Sphenolithus pseudoradians*). La partie supérieure des couches de Podul Secul est ainsi corrélable au Priabonien type.

Dans les dépôts qui constituent l'horizon basal du grès de Fusaru, qui suit immédiatement en continuité de sédimentation, on a identifié l'association spécifique de nannoflore pour la Zone NP. 21 (Zone *Ericsonia subdisticha*), rencontrée aussi dans les dépôts qui représentent le stratotype du Latdorrien, dans les sables de Grimmertingen de la partie basale du Tongrien belge, en France, Barbados, U.S.A. et Nouvelle Zélande.

On aboutit ainsi, à partir d'études de nannoplancton, à diviser les couches de Podul Secul en quatre zones correspondant aux zones standard de nannoplancton, à préciser la limite Eocène/Oligocène et à obtenir une zonalité biostratigraphique de ces dépôts, tout en établissant des corrélations avec les zones de stratotypes et avec d'autres groupes fossiles.

## EXPLICATION DE LA PLANCHE

### Planche IV

Emplacement schématique des échantillons le long de la coupe.

### DISCUȚII

N. Gheță. Este meritării inițiativa tov. Lebenzon de a realiza în primul rind un inventar al nannoplanctonului conținut de depozitele cocene în facies de fliș. Consider că este mai indicat ca paralelizările cu alte grupe fosile (în special foraminifere planctonice) să fie făcute în primul rind pe scama acelorași depozite din care s-a analizat nannoplanctonul înainte de corelările posibile pe scama literaturii de specialitate.

M. Sandulescu. Încrarea este foarte meritătoare și constituie o primă încercare a aplicării studiilor de nannoplancton în zona externă a flișului. Problema limitei Oligocen-Eocene în faciesul gresiei de Tarcău — aşa cum este prezentată în lucrare — comportă unele precizări. Există profile clare în partea internă a piuzei de Tarcău în care gresii micaferi inasive (de tip Fusaru) se intercalează în marnele cu globigerine de la partea superioară a stratelor de Podu Secu a căror vîrstă priaboniană este certă atât pe baza microfaunei de foraminifere planctonice cât și a nannoplanctonului calcaros aşa cum arată autorul notei. Este posibilă aşa cum în faciesuri externe există două gresii similare saprapuse (gresia de Lucăcesti — Eocene și gresia de Fierăstrău — Oligocene — I. Dumitrescu, 1952, 1963) și în faciesul gresiei de Tarcău să avem de-a face cu două „gresii de Fusaru bazale” una eocenă (intercalată în marnele cu globigerine), alta oligocenă, deasupra marnelor cu globigerine.

## PLANŞA I



Institutul Geologic al României

## PLANŞA I

Fig. 1. — *Discowaster lobensis* Bram., sp. n.; del., x 2,000; 65 Târcuța (Eocene).

Fig. 2. — *Discowaster lobensis* Bram., sp. n.; del. Riedel., x 4,000; 65 Târcuța (Eocene).



Pl. I.

C. LEBENZON. Nannoplantonul calcaros din străurile de Podul Secul.



1



2

Institutul Geologic. Dări de seară ale sedimentelor, vol. LIX/4.



Institutul Geologic al României

## PLANŞA II

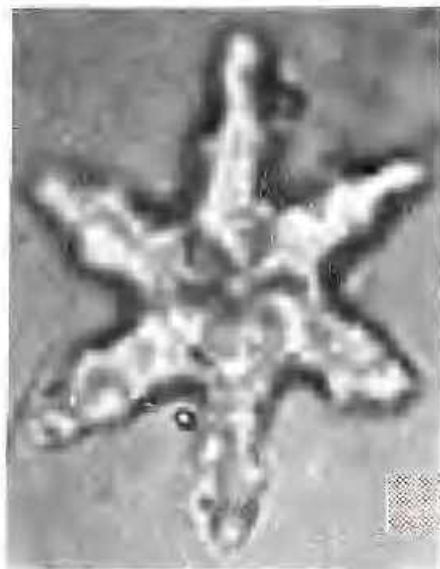
- Fig. 1. — *Discoaster lani Bram.*, et Riedel, x 2.000; 10 Târcuța (Eocen).
- Fig. 2. — *Discoaster lani Bram.*, et Riedel, x 1.000; 10 Târcuța (Eocen).
- Fig. 3. — *Reticulofenestra umbilica* (Levin), N-; (90°); x 2.000; 65 Târcuța (Eocen superior).
- Fig. 4. — *Ectyscoecithes dirigatus* (Döhl. et Herl.), N+; (0°); x 2.000; 65 Târcuța (Eocen superior).
- Fig. 5. — *Sphenolithus radians* Döhlundre, N-; (0°); x 2.000; 65 Târcuța (Eocen superior).
- Fig. 6. — *Coranulus germanicus* Straubner, NII; (0°); x 2.000; 37 Târcuța (Eocen superior).
- Fig. 7. — *Braarudosphaera bigelowi* (Gran et Braarud), N-; x 2.000; 37 Târcuța (Eocen superior).
- Fig. 8. — *Braarudosphaera bigelowi* (Gran et Braarud), NII; x 2.000; 37 Târcuța (Eocen superior).



C. LICHENZON. Nannoplanetomul calcaros din stratele de Podul Secul.  
Pl. II.



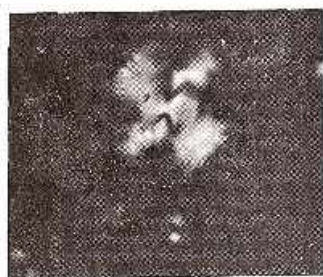
1



2



3



4



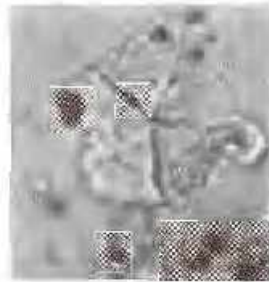
5



6



7



8

Institutul Geologic. Dări de seamă ale ședințelor, vol. LIX/4.



Institutul Geologic al României

### PLANSĂ III

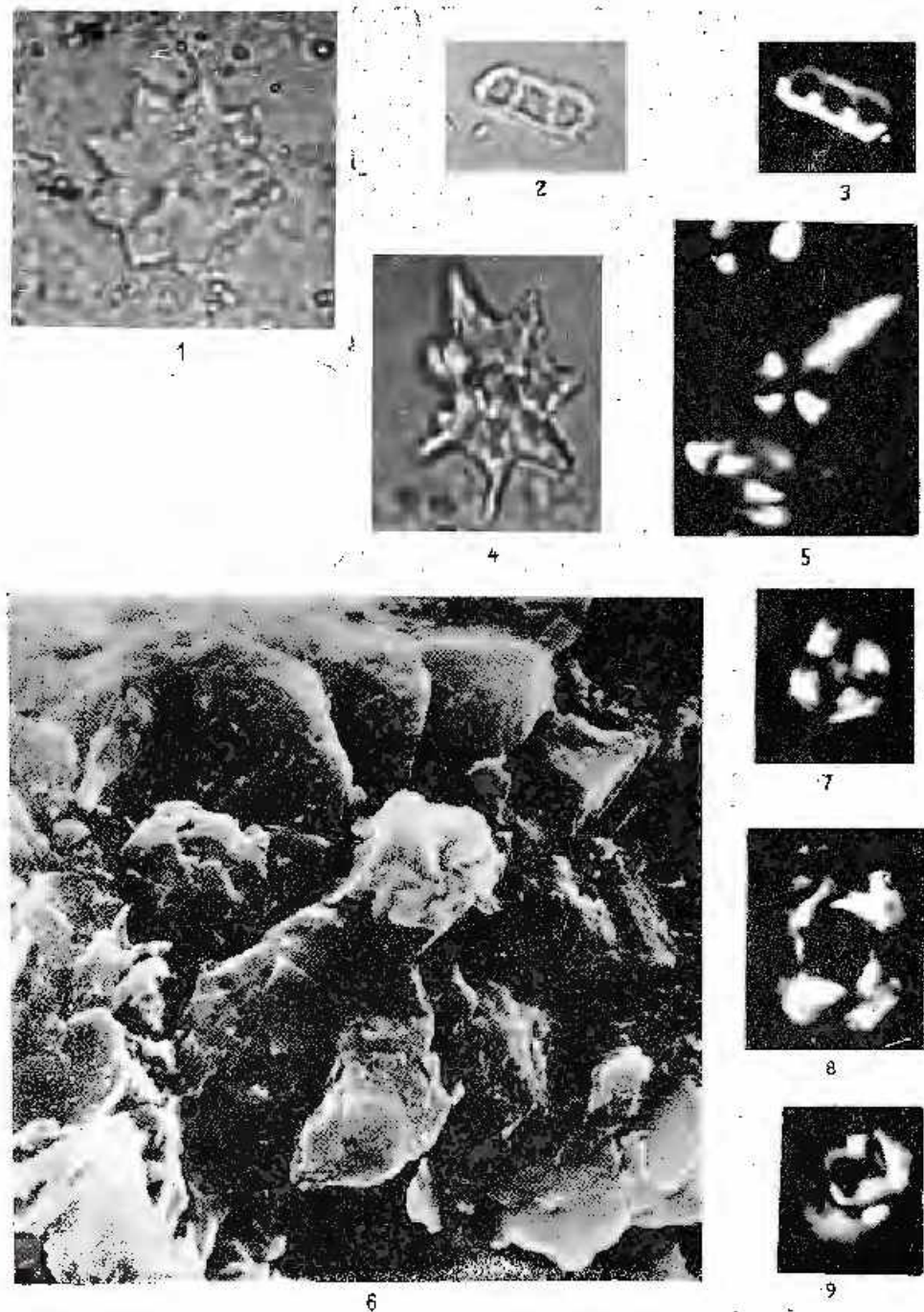
- Fig. 1. -- *Discoster barbadiensis* Tan Sin Hook, x 2.000; 10 Târcuța (Eocene superior).
- Fig. 2. -- *Istmolithus recurvus* De Flandre, NII; x 2.000; 10 Târcuța (Eocene superior).
- Fig. 3. -- *Istmolithus recurvus* De Flandre, NII; x 2.000; 10 Târcuța (Eocene superior).
- Fig. 4. -- *Discoster saipanensis* (Bram. et Tiebold), x 2.000; 69 Târcuța (Eocene superior).
- Fig. 5. -- *Sphaerolithus pseudosphaerans* Bram. et Wilce., NII; x 4.000; 69 Târcuța (Eocene superior).
- Fig. 6. -- *Discoster barbadiensis* Tan Sin Hook. Electronomicrofoto nr. 76; x 9.000.
- Fig. 7. -- *Cyclocerasolithus formosus* Kammerer, NII; (0°); x 2.000; 71 Târcuța (Oligocene inferior).
- Fig. 8. -- *Reilectofenestra univalva* (Levin). NII; (90°); x 2.000; 71 Târcuța (Oligocene inferior).
- Fig. 9. -- *Erisonia subdiscifera* Roth et May, NII; (90°); x 1.000; 71 Târcuța (Oligocene inferior).

Electronomicrofotografiile au fost executate la microscopul electronic al Laboratorului de Geologie de la Muzeul de Istorie Naturală din Paris.

Les électronomicrophotographies ont été exécutées au microscope électronique du Laboratoire de Géologie du Musée d'histoire Naturelle de Paris.



C. LEBENZON. Nannoplanctonul calcaros din stratele de Podul Secul.  
PL. III.



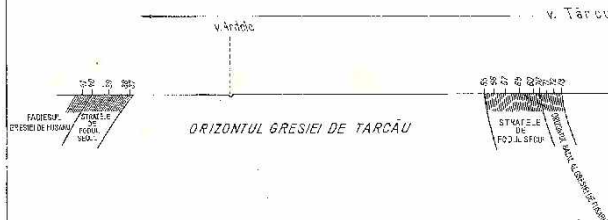
Institutul Geologic. Dări de seamă ale ședințelor, vol. LIX/4.

CALBENZIN: flancplancalul celor de la Pojorâșeu și, orientat înspre est, în grădi de fuzare din valea Tarcău (înaltă suprafață văii Tarcăului).

FIR

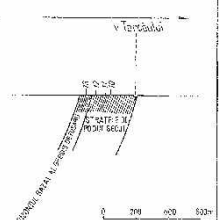
### ANTICLINALUL CIUDOMIR-ARDELE-MĂGURA BICAZULUI

V



### SINCLINALUL CAMUGA-BRATES-SECU

E



INSTITUTUL GEOLOGIC, Jurnal de cercetări geologice



Institutul Geologic al României

Dep. Geol. - Pet. Servicii

#### 4. STRATIGRAFIE

## NANNOPLANCTONUL CALCAROS AL DEPOZITELOR OLIGOCENE ȘI MIOCEN-INFERIOARE DIN CURSUL SUPERIOR AL VĂII TAR- CĂULUI (VALEA TĂRCUȚA ȘI VALEA RĂCHITIȘ)<sup>1</sup>

DE

CAROL LEBENZON<sup>2</sup>

### Abstract

*Calcareous Nannoplankton of Oligocene and Lower Miocene Deposits Upstream the Tarcău Valley (Tărcuța and Răchitiș Valleys). In this paper, the content of nannoplankton of Oligocene and Lower Miocene deposits upstream the Tarcău Valley (Bistrița Valley Basin) is studied. On this basis the biostratigraphical zonality of the respective deposits was obtained. A biofacies characteristic of the Rupelian was revealed. The Miocene deposits are for the first time identified in the respective region.*

Lucrarea de față face parte dintr-o serie de comunicări în care ne propunem să analizăm conținutul în nannoplancton al depozitelor terciare, ce aflorează în regiunea cursului superior al văii Tarcăului în vederea stabilirii semnificației lui stratigrafice.

În această comunicare prezentăm un al doilea segment al secțiunii geologice transversale, de pe văile Tărcuța și Răchitiș, afluenți stânga și respectiv dreapta ai văii Tarcăului. Acest segment de secțiune este constituit, de jos în sus, din următoarele subdiviziuni litostratigrafice: orizontul bazal al gresiei de Fusaru; orizontul marnelor și marnocalcarelor brune; orizontul pseudodisodilelor; orizontul gresiei de Fusaru; stratele de Krosno.

Într-o comunicare anterioară am arătat care este conținutul în nannoplancton calcaros al orizontului bazal al gresiei de Fusaru și am

<sup>1</sup> Comunicare în ședință din 10 martie, 1972.

<sup>2</sup> Institutul de cercetare și proiectare tehnologică pentru industria extractivă de țări și gaze-Grupul de secții de cercetare, Str. Toamnei, nr. 103, București.



conchis, pe această bază, că această formațiune poate fi atribuită Latdorfianului.

Din această cauză, în lucrarea de față nu vom reveni asupra orizontului bazal al gresiei de Fusaru. Îl vom reprezenta însă, ca atare, cu întregul său conținut specific de nannofloră, în planșele anexe pe care le prezintăm (vezi tabelul).

În lucrarea de față vom păstra notațiile folosite anterior, de NP. pentru zonele standard de nannoplancton ale Paleogenului și NN. pentru zonele de nannoplancton ale Neogenului.

În cele ce urmează vom analiza deci, conținutul în nannoplancton calcaros al depozitelor ce repauzează peste orizontul bazal al gresiei de Fusaru.

Din orizontul marnelor și marnocalcarelor brune situate în continuitate de sedimentare peste orizontul bazal al gresiei de Fusaru din flancul vestic al sinclinalului Camuga-Brateș-Secu, de pe valea Târcuța, a fost colectată proba nr. 74 (pl. IV).

Studiul acestei probe a permis identificarea unei asociații de nannofloră constituită din 17 specii (tabelul).

În această asociație nu mai apare specia *Cyclococcilithus formosus Kampfner*, care nu depășește în evoluția sa zona NP. 21. Sunt prezente însă speciile *Reticulofenestra umbilica* (Lavin), *Istmolithus recurvus* Delf., *Dictyococcites dictyodus* (Delf. et Fert.) etc. prezentate în zonarea standard a Terțiului ca specii comune zonei NP. 22. Atribuirea acestei asociații unui nivel superior nu este posibilă, dat fiind prezența speciilor *Istmolithus recurvus* Delf. și *Reticulofenestra umbilica* (Lavin) care se dezvoltă numai pînă la partea terminală a zonei NP. 22. Asociația de nannofloră identificată în proba nr. 74 se atribue deci zonei NP. 22 (Zona *Helicopontosphaera reticulata*).

Zona NP. 22 (zona *Helicopontosphaera reticulata*), corespunde părții superioare a Oligocenu lui inferior (intervalul stratigrafic situat imediat deasupra Latdorfianului) în zonarea standard de nannoplancton a Terțiului (Martin, 1971).

Zona NP. 22 corespunde părții mediane a zonei de foraminifere P. 19 (zona *Globigerina sellii/Pseudohastigerina barbadoensis*).

De pe celălalt flanc al sinclinalului mai sus amintit, dintr-o deschidere ce reprezintă litostratigrafic formațiunea imediat superioară (orizontul pseudodisodilelor), a fost colectată proba nr. 14.

Asociația de nannofloră identificată în această probă nu se caracterizează printr-un mare număr de specii, în schimb este net dominată

de dezvoltarea în erupție a speciei *Reticulofenestra ornata* Müller (pl. III, fig. 2, 3). Dezvoltarea în masă, a acestei specii are o semnificație biostratigrafică deosebită.

Müller (1970), a semnalat și analizat o asociatie identica cu *Reticulofenestra ornata*, conservată în marnocalcarul molasei bavareze.

Asociatia cu dezvoltare în erupție a speciei *Reticulofenestra ornata* Müller a fost interpretată ca un echivalent al zonei de nannoplancton NP. 23 (zona *Sphenolithus predistentus*), deci ca un echivalent biostratigrafic al Rupelianului tip, precum și a unei părți a formațiunii de Cipero din Trinidad (Martini, 1971).

Aceeași asociatie a fost identificată de Müller într-un marnocalcar de culoare deschisă dintr-o carotă din sondă de la Piberbach, din Austria superioară.

Punerea în evidență a asociatiei cu *Reticulofenestra ornata* și în orizontul pseudodisoidelor din Paleogenul Carpaților Orientali prezintă astfel interes, deoarece poate indica largirea ariei de răspândire și a semnificației acestui bio-facies al Rupelianului.

Zona NP. 23, corespunde părții superioare a zonei de foraminifere P. 19 (*Globigerina sellii/Pseudohastigerina barbadoensis*) și părții inferioare a zonei P. 20 (*Globigerina ampliapertura*).

Acest interval stratigrafic corespunde de asemenea părții superioare a zonei de radiolari *Theocyrtis tuberosa* (Martini, 1971).

În proba nr. 15 colectată din depozite situate în imediata continuitate a celor descrise anterior, și cu care debutează, de altfel, orizontul gresiei de Fusaru propriu-zise, a fost identificată o asociatie de nannofloră constituită din 11 specii.

În această asociatie nu mai apare specia *Reticulofenestra ornata* Müller, în schimb s-a determinat specia *Helicopontosphaera recta* II a q (pl. III, 1). Această specie se dezvoltă numai începând cu zona NP. 24, fiind însă prezentă și în asociatia caracteristică zonei NP. 25, ce marchează intervalul stratigrafic terminal al Oligocenuhui. Mai este prezentă în asociatie și specia *Cyclococcolithus floridanus* Roth et Hay.

Această asociatie poate fi atribuită intervalului stratigrafic reprezentat de zonele NP. 24 (Zona *Sphenolithus distentus*) și NP. 25 (zona *Sphenolithus ciperoensis*). La aceleasi zone de nannoplancton pot fi atribuite și asociatiile de nannofloră identificate în probele nr. 20 (11 specii) și 25 (8 specii) (tabelul și figura).

Spre deosebire de acestea însă, frecvența mai moderată a speciei *Cyclococcolithus floridanus* în asociatia specifică probei nr. 15, indică pentru acca-

sta o poziție mai inferioară în intervalul stratigrafic marcat de zonele NP. 24 și NP. 25.

Acest lucru corespunde, de altfel, și cu poziția pe profil a punctului unde a fost colectată proba respectivă (pl. IV).

O poziție mai superioară, în cadrul acestui interval stratigrafic destul de larg, este marcată de asociațiile de nannofloră identificate în probele nr. 20 și 25.

Astfel, în proba nr. 25 asociația de nannoplancton este dominată de dezvoltarea în erupție a speciei *Cyclococcolithus floridanus* R o t b . et P a y . (foarte frecventă în Oligocenul terminal), fiind încă însoțită de forma *Zygrhablithus bijugatus* (D e f l a n d r e) (pl. III, fig. 4, 6).

În proba nr. 20, apare în plus specia *Dictyococcites dictyodus* (D e f l . et F e r t .) (pl. III, fig. 5). Alături de motivele indicate mai sus, persistența în asociațiile specifice ale acestor 3 probe (15, 20 și 25) a speciilor *Dictyococcites dictyodus* și *Zygrhablithus bijugatus* pledează pentru apartenența lor, încă, la Oligocen.

Zonele NP. 24 și NP. 25 corespund formațiunii tipice a argilei cu septarii din Germania de nord (Rupelianul superior) și Chattianului tip (M a r t i n i , M ü l l e r , 1971).

Acestui interval stratigrafic îi corespunde, din punct de vedere al zonării foraminiferelor, partea superioară a zonei P. 20 (*Globigerina ampliapertura*) și zonele P.21 [*Globigerina angulisuturalis/Globorotalia (turbo-rotalia) opima*] și P. 22 (*Globigerina angulisuturalis*), iar din punct de vedere al radiolarilor Zona *Doreadospyris ateuchus* (M a r t i n i , 1971).

Conținutul în nannoplancton calcaros a părții superioare a orizontului gresiei de Fusu și ce aflorează în axul sinclinalului Camuga-Brateș-Secu, pe valea Târcuța, și a nivelelor inferioare ale stratelor de Krosno ce aflorează în flancurile sinclinalului Răchitiș-Isvorul Muntelui, pe valea Răchitiș, nu permite atribuirea acestui interval stratigrafic la o anumită zonă, dar are probabil o semnificație stratigrafică.

Astfel, în probele nr. 22 și 23, colectate din orizontul gresiei de Fusu din axul sinclinalului amintit și în probele nr. 78, 85, 86, 87, 88 și 89, colectate din ambele flancuri ale sinclinalului Răchitiș-Isvorul Muntelui, de pe valea Răchitiș (pl. IV), au fost identificate un număr mare de specii (în tabelul anexat se dau, exemplificativ, speciile identificate în probele nr. 23 și 87). Conținutul bogat de nannofloră al acestor probe este însă remaniat din depozite aparținând Cretacicului superior, Paleocenului, Eocenului inferior, Eocenului superior și Oligocenului inferior.

Dacă luăm în considerare faptul că pe de o parte, acest interval stratigrafic (singurul de altfel în care s-a observat această aglomerare de nannoplancton remaniat), se situează peste depozitele atribuite curent părții terminale a Oligocenului, iar pe de altă parte, că între speciile identificate nu figurează forme cu răspândire largă în Oligocen, ca *Dictyococcithes dictyodus* (Defl. & Fert.) și *Zigrhabilthus bijugatus* (Deflandre), putem considera că acest interval stratigrafic ar putea apartine Miocenului.

Conținutul în nannoplancton al nivelului imediat superior acestui interval stratigrafic indică sigur vîrstă miocen-inferioară (Zonele NN. 2 și NN.3).

În acest caz, intervalul cu nannofloră remaniată situindu-se stratigrafic, peste zonele de paleogen NP. 24—NP.25 și sub zonele de Neogen NN.2—NN.3, ar corespunde zonei de limită între Oligocen și Miocen.

Această observație ridică problema semnificației stratigrafice a remanierilor amintite, care ar putea să se datoreze unei transgresiuni, în această zonă, a depozitelor miocene peste cele paleogene.

Pentru precizări privind cauza acestor remanieri și semnificația lor stratigrafică, vor fi necesare colectări suplimentare de probe.

Din stratele de Krosno din axul sinclinalului Răchitiș-Ivorul Muntelui, de pe valea Răchitiș, deci dintr-un nivel stratigrafic imediat superior, s-au colectat probele nr. 75 și 76 (pl. IV).

Analiza acestor probe a permis identificarea a două asociații specifice de nannofloră cu o semnificație stratigrafică precisă (tabelul, fig. IV).

Prezența în ambele asociații a speciilor caracteristice *Sphenolithus belemnos* Bramlette et Wilcoxon, *Helicopontosphaera ampliaperta* (Bramlette et Wilcoxon) și *Helicopontosphaera aff. kampfneri* Hay et Mohler (pl. III, fig. 7, 8, 9), permite atribuirea cu precizie a acestor asociații la zonele de nannoplancton NN.2 și NN.3 (Zona *Discosaster druggi* și respectiv, Zona *Sphenolithus belemnos*), care ocupă partea mediană a Miocenului inferior.

Se poate face această repartizare stratigrafică, deoarece conform zonării standard de nannoplancton a Terțiului, în marea majoritate a cazurilor specia *Sphenolithus belemnos* nu se întâlnește decât începând cu zona NN.2 și nu depășește zona NN.3, iar speciile *Helicopontosphaera kampfneri* și *Helicopontosphaera ampliaperta* nu se dezvoltă decât începând cu zona NN.3 și în cazuri foarte rare apare din zona NN.2.

Asociația specifică de nannofloră ce caracterizează acest interval stratigrafic (tabelul ) a mai fost identificată și în Trinidad și în Oceanul

TABLEL

Specii de nanoplanton identificate in probele analizate

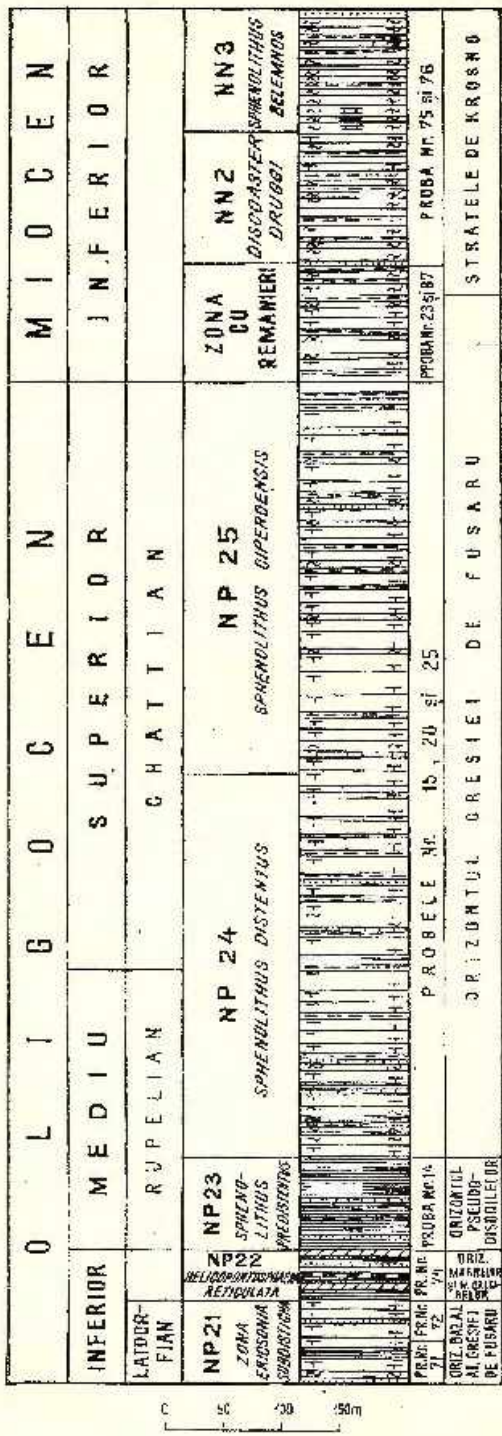
Specii de nanoplanton	Nr. esantioanelor	Zona standarde de nanoplanton	Vîrstă				Oligocene				Miocen			
			Laodocien		Bunelian		Chatian		NP.?		NP.?		NP.?	
			NP.21	NP.22	NP.23	NP.24	NP.25	NP.25	NP.24	NP.25	NP.25	NP.23	NN. 2/3 2/3	NN. 2/3 2/3
<i>Coccilithus</i> sp.			f	m			m	m	m	m	m	m	m	m
<i>Relictofenestra umbilica</i> (Levin)			e	r					r	r	r	r		
<i>Cyclococcilithus formosus</i> Kautz			r	r					r	r	m			
<i>Zygobacillithus bijugatus</i> (Defl.)			f	f			r	r	r	r	m			
<i>Coccilithus cf. paleogicus</i> (Wallach)			t	f	r		m	r	m	m	m	m	m	m
<i>Diphycococcilithes dictyodus</i> (Def. et Pert)			e	f	r		r	m	m	m	m	m	r	r
<i>Sphenolithus pacificus</i> Martini			f	f	f		r	m	m	m	m	m	r	r
<i>Discosaster burbadensis</i> Tan Sin Hok			r				r	r	r	r	r	r	r	r
<i>Lanternius minutus</i> Stradner			m	m					r					
<i>Coccilithus epeorus</i> Bram. et Riedel			m	m										
<i>Discosaster</i> sp.							r							
<i>Eriessonella sudisticha</i> Roth et Hay				m	r									
<i>Coronarius germanicus</i> Stradner					r									
<i>Discosaster cf. deflandrei</i> Bram. et Riedel				m										
<i>Isthmolithus recurvus</i> Deflandre				m	r									
<i>Discosaster tani</i> Bram. et Riedel				f										
<i>Glyptolithus umbranensis</i> (Deflandre)				m										
<i>Discosithina pulcherrimoides</i> (Sullivan)				r										
<i>Discosaster distinctus</i> Martini				r										
<i>Discosaster cf. tani nodifer</i>				r										
<i>Discosaster loessensis</i> Bram. et Riedel				r										



<i>Discoaster binodosus</i> Martini	r														
<i>Reticulofenestra insignis</i> Roth. et Hay	r														
<i>Rhabdosphaera tenuis</i> Bram. et Sullivan	r														
<i>Sphenolithus predistentus</i> (B. et W.)	r														
<i>Heliocentrospheara reticulata</i>	r														
<i>Micella staurophora</i> Gardet	r														
<i>Eiffelithus turcicifera</i> (Defl.)	r														
<i>Euksonia fenestrata</i> (Defl.)	r														
<i>Cyathococcolithus floridanus</i> Roth. Hay	m														
<i>Heliocentrospheara euphratis</i> (Hag) Martini	r														
<i>Heliocentrospheara cf. compacta</i> (B. et W.)	r														
<i>Reticulofenestra ornata</i> Miller	e														
<i>Oriatyzis annaeus</i> (Stradner)	r														
<i>Heliocentrospheara parallela</i>	r														
<i>Archangelites cylindiformis</i> (Veskina)	r														
<i>Discosiphina cf. multipora</i> (Kampf.)	r														
<i>Heliocentrospheara recta</i> (Hay) Martini	m														
<i>Reticulofenestra</i> sp.	m														
<i>Watnaueria barnesiæ</i> (Black)	r														
<i>Zygodiscus pseudodimorphatus</i> Bram. et Marin	r														
<i>Braurodysphaera bigeloui</i> Gran. Braarud	r														
<i>Creatheurabius antiphorus</i> (Deflandre)	r														
<i>Reticulofenestra cf. tokteri</i>	r														
<i>Discoaster multiradiatus</i> Bram. et Riedel	r														
<i>Heliocentrospheara</i> aff. <i>Kampfneri</i> Hay et Moh.	r														
<i>Heliocentrospheara ampliateria</i> (Bram. et Willc.)	r														
<i>Sphenolithus betvensis</i> Bram. et Wilc.	r														
<i>Luctuorhabdus cayetanus</i> Delalande	r														
<i>Discoaster saipanensis</i> Bram. et Riedel	r														

r = rare; m = moderate; l = frequent; e = eruptive





Coloană stratigrafică schematică a Oligocenului și Miocenului inferior din cursul superior al văii Tarcăului (văile Tărcața și Răchitiș)

Colonne stratigraphique schématique de l'Oligocène et du Miocène inférieur du cours supérieur de la vallée du Tarcău (vallées Tărcața et Răchitiș).

Pacific și corespunde, conform zonării corelate a mai multor grupe fosile, cu partea terminală, a zonei de foraminifere N.4 [*Globigerinoides quadrilobatus primordius*; *Globorotalia (Turborotalia) kugleri*], cu zona N.5 (*Globogaudriformis dehiscens* [*praedehiscens*]/*Gg. dehiscens*) și cu partea inferioară a zonei N.6 (*Globigerinatella insueta*/*Globigerinata dissimilis*), iar din punct de vedere al radiolarilor cu zona *Calocyctella virginis*.

În concluzia celor expuse mai sus, putem aminti următoarele rezultate mai importante ale comunicării de față :

- zonarea biostratigrafică pe baza nannoplanetonului și depozitelor oligocene din cursul superior al văii Tarcăului (valea Târcuță și valea Răchităș).

- găsirea, în regiunea studiată, a unor asociații nannofloristice corespondente cu cele din stratotipurile Latdorfianului, Rupelianului și Chattianului;

- punerea în evidență a unui biofacies specific al Rupelianului (*Reticulofenestra ornata*) în depozitele oligocene din regiunea studiată;

- identificarea, pentru prima oară în această regiune, a depozitelor miocene.

## BIBLIOGRAFIE

- Martini E., Worsley T. (1970) Standard Neogene calcareous nannoplankton zonation-Nature, 225, 5229, London.
- (1970) Standard Paleogene calcareous nannoplankton zonation-Nature, 226, 5245, London.
  - (1971) Standard Tertiary and Quaternary calcareous nannoplankton zonation. Proc. II. Planktonic Conf., 1970, Roma.
  - Lehenzion C. (1971) Nannoplankton-Untersuchungen in oberen Tal des Tarcău (Ostkarpaten, Rumänien) und stratigraphische Ergebnisse. N. Jb. Geol. Paläont. Mh. Stuttgart.
  - Müller Carla (1971) Das marine Alttertiär in Deutschland und seine Einordnung in die Standard Nannoplankton Zonen. Erdöl und Kohle-Erdgas-Petrochimie vereinigt mit Brennstoff-Chemie Heft.
- Müller Carla (1970) Nannoplankton Zonen der unteren Meeressmolasse Bayerns. Geologica Bavaria 63, (Sonderdruck), Bayerisches Geologisches Landesamt, München.



## LE NANNOPLANCTON CALCAIRE DES DÉPÔTS OLIGOCÈNES ET MIOCÈNES INFÉRIEURS DU COURS SUPÉRIEUR DE LA VALLÉE DU TARCĂU (VALLÉES DE TĂRCUTA ET DE RĂCHITIS)

(Résumé)

Dans cet ouvrage est présenté le contenu en nannoplancton calcaire des dépôts paléogènes et miocènes inférieurs du cours supérieur de la vallée du Tarcău.

Suivant leur lithostratigraphie, ces dépôts reviennent à l'horizon basal du grès de Fusaru, à l'horizon des marnes et des marnocalcaires bruns, à l'horizon pseudodysodilique, à l'horizon du grès de l'Usaru et aux couches de Krosno.

Le contenu en nannoflore des échantillons analysés a permis d'identifier dans ces dépôts quelques zones nannofossiles qui figurent dans la zonation standard du nannoplancton du Tertiaire, présentée à Rome en octobre 1970.

Dans les dépôts qui constituent l'horizon basal du grès de Fusaru on a identifié l'association de nannoflore spécifique à la Zone NP. 21 (Zone *Ericsonia subalisticha*) correspondant au Latdorfien.

Dans les dépôts qui constituent l'horizon des marnes et des marnocalcaires bruns on a mis en évidence une association spécifique de nannoflore qui caractérise la zone NP. 22 (Zone *Helicopontosphaera reticulata*) correspondant à la partie supérieure de l'Oligocène inférieur. Dans l'horizon pseudodysodilique on a identifié une association spécifique de nannofossiles dominée par l'éruption de la forme *Reticulofenestra ornata* Müller. Cette association représente un équivalent local de la Zone NP. 23 (Zone *Sphenolithus predilectus*) c'est-à-dire un équivalent biostratigraphique du Rupélien type.

Dans les dépôts qui constituent la partie inférieure et moyenne de l'horizon du grès de Fusaru on a mis en évidence une association spécifique de nannoflore correspondant aux zones NP. 24 (Zone *Sphenolithus distentus*) et NP. 25 (Zone *Sphenolithus cipriensis*) qui correspondent à la série typique de l'argile à septales du N de l'Allemagne (Rupélien supérieur) et respectivement au Chattien type.

La partie supérieure du grès de Fusaru et la partie inférieure des couches de Krosno se caractérisent par un contenu en nannoflore, dans la plupart des cas, remanié du Crétacé supérieur, de l'Eocène et de l'Oligocène inférieur. Le niveau stratigraphique immédiatement surjacent des couches de Krosno contient une association spécifique de nannoflore, caractéristique pour les Zones NN. 2 (Zone *Discaster drugii*) et NN. 3 (Zone *Sphenolithus heteromorphus*) indiquant donc l'âge miocène inférieur.

On aboutit ainsi, à partir d'études de nannoplancton à une zonalité biostratigraphique des dépôts oligocènes, à identifier un biofacies spécifique du Rupélien et à identifier pour la première fois dans la région des dépôts miocènes.

### EXPLICATION DE LA PLANCHE

#### Planche IV

Emplacement schématique des échantillons le long de la coupe.



### ÎNTREBĂRI ȘI DISCUȚII

**M. Bleahu.** În lucrare se citează conținutul în nannoplancton din 11 probe. Numai acestea au fost cercetate, altele au fost sterile sau nesemnificative și lăsate deoparte? De ce nu s-a făcut o prelucrare statistică?

**C. Lebesson.** În anexele prezentate sunt figurate toate probele colectate, cu poziția lor în profil. În comunicare sunt comentate însă, numai probele care au avut un conținut de nannofloră concluziv, pentru a se putea face determinări specifice, necesare acestui studiu.

**T. Joja.** Cum se explică remaniările în masă de forme de nannoplancton în partea superioră a orizontului gresic de Fusaro?

**C. Lebesson.** Scopul comunicării a fost prezentarea unei situații de fapt concrete evidențiată de secțiunea geologică prezentată. În acest context este semnalată zona cu remanieri la care vă referiți. Nu se fac precizări privind zona de nannoplancton căreia îi revine acest interval stratigrafic, deoarece din punct de vedere biostratigrafic aglomerarea de nannoplancton remaniat din acest interval nu permite acest lucru. Se stabilește însă precis poziția acestui interval cu remanieri, situat peste parlea terminală a Oligocenului, căreia îi corespunde zona NP. 25 și sub intervalul ocupat de zonele de Neogen NN. 2 – NN. 3, reprezentând ca vîrstă Acvitianianul superior-Burdigalianul inferior. Semnificația geologică a acestui aglomerat de nannoplancton remaniat care din expunere s-a văzut că nu reprezintă un fenomen izolat, specific numai zonei în discuție, nu se poate predica pe baze biostratigrafice decât după studiul a cel puțin încă cîteva profile, unde aflarează depozite corelabile cu cele prezentate. Ne referim la stratele de Vînețiu, la stratele de Podul Morii, la stratele de Găinești și bineînțeles la profilul de la Cornu.

**V. Moisescu.** Cum se plasează zonele de nannoplancton în cadrul succesiunii depozitelor studiate. Ce revine Latdorfianului, Rupelianului și Chatianului? Care este fosila de zonă caracteristică Latdorfianului în momentul de față? Ce raporturi există între zonele *Ericsonia subdisticha* și *Helicopontosphaera reticulata*?

**C. Lebesson.** Din tabelele prezentate reiese poziția zonelor de nannoplancton în cadrul succesiunii depozitelor studiate. Latdorfianul îi revine zona NP. 21 (zonă *Ericsonia subdisticha*), Rupelianul îi revine zona NP. 23 (zonă *Sphenolithus predilectus*) iar Chatianul, partea superioară a zonei NP. 24 (zonă *Sphenolithus distensus*) și zona NP. 25 (zonă *Sphenolithus ciperoensis*). Fosila de zonă, caracteristică Latdorfianului este specia *Ericsonia subdisticha* Roth et Hay. Zona este indicată însă de o asociație caracteristică, din care în afara acestei specii mai fac parte și altele, printre care și specia *Cyclococcolithus formosus* Kampsper. Zona NP. 21 (zonă *Ericsonia subdisticha*) reprezintă Latdorfianul, iar zona NP. 22 (zonă *Helicopontosphaera reticulata*) reprezintă partea superioară a Oligocenului inferior, adică intervalul situat imediat peste Latdorfian.

**T. Joja.** În acord cu observația făcută de tov. Sandulescu consider parțial nepotrivită denumirea de strate de Krosno pe care o utilizează pentru orizontul pe care de mult l-am denumit strate de Găinești. În ea privește tendința de a coborî limita oligocen/miocen în interiorul depozitelor atribuite pînă acum Oligocenului ea este mai veche și a fost sugerată între altele de prezența gipsurilor de la Platonița cunoscute de mult încă dintr-o lucrare a lui L. P. Voitești. Îmi permit eu această ocazie să felicit pe tov. Lebesson pentru ardoarea cu care a luptat și luptă pentru a-și învăță cit mai complet noua metodă de determinare a vîrstelor relative a strateelor pe baza nannoplanctonului și pentru ardoarea cu care a luptat împotriva adversităților care i-au stat în rale, adversități de care trebuie să facă abstracție pentru a putea obține rezultate la fel de interesante ca cele la care a ajuns în comunicarea prezentată astăzi.

I. C. Motuș. Vreau să remarcă comunicarea tov. Lebenzon, că acel nivel cu remanieri este cunoscut în Carpații Orientali tot la partea superioară a gresiei de Fusaru. Astfel, în valea Buzdilelului, în dealul Stîrmina, se cunoacă alunecări submarine (slumping) și tot acolo a găsit tov. P. Olteanu acea *Myogypsina* care arată vîrstă burdigaliană. De asemenea tov. Gh. Bombiță a descris în valea Crasnei, affluent al Teleajenului, o associație remanierată de numuliți eoceni, în aceeași poziție stratigrafică. Trebuie să felicităm pe tov. Lebenzon pentru competență și finețea cu care argumentează biostratigrafic limita Neogen/Paleogen. Acest lucru este bănuit încă mai de mult de școala geologică de la noi și chiar la Simpozionul Terțiarului din 1959 împreună cu acad. G. Murgăeanu, Emilia Saulea și Gr. Popescu arătam că limita Neogen/Paleogen trebuie căutată undeva în cuprinsul flisului oligocen".

M. Sandulescu. Comunicarea dovedește indubabil prezența Oligocenului în zona flisului Carpaților Orientali. Este de dorit însă ca nomenclatura să fie utilizată corect; denumirea de strate de Krasno nu poate fi aplicată numai depozitelor superioare gresiei de Fusaru întrucât aceasta din urmă corespunde cu ceea ce se cunoaște sub denumirea de strate de Krasno medii din Carpații polonezi. Stratele de Krasno corespund cu întregul pachet cunoscut sub denumirea de faciesul gresiei de Fusaru în Carpații românești. Zona cu remanieri poate fi paraleлизată cu orizontul brețiilor de Slon din valea Buzăului. Cum deasupra acestora urmează gipsurile inferioare și stratele de Cornu, miocene inferioare, s-ar intrevedea posibilitatea paraleлизării pachetului de strate de deasupra orizontului gresiei de Fusaru cu aceste două orizonturi, marind astfel două faciesuri sincrone ale Miocenului inferior. Acest mod de-a vedea jucările ar explica lipsa gipsurilor inferioare și a straturilor de Cornu în partea centrală și nordică a Carpaților Orientali.



## PLANŞA I



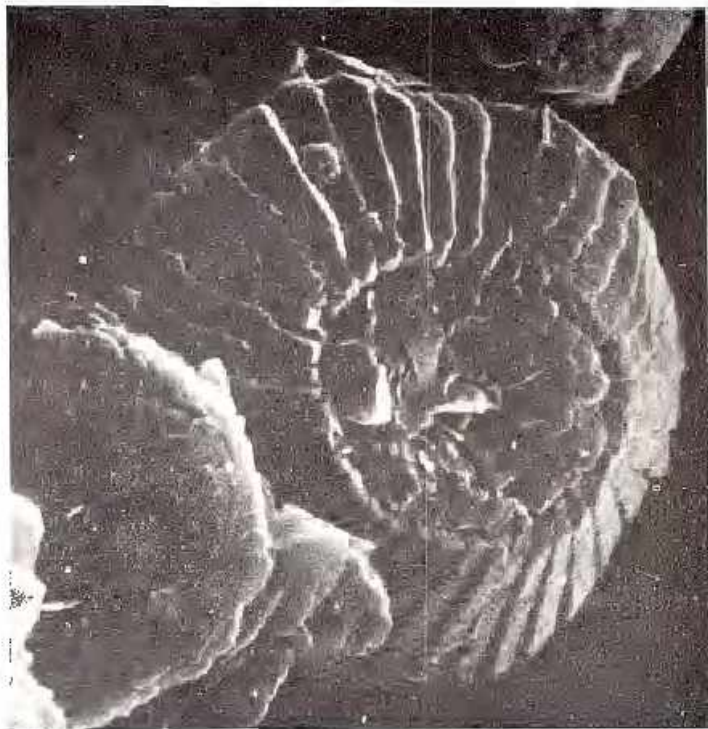
Institutul Geologic al României

## PLANSA 1

- Fig. 1. — *Gecocithlus pelagicus* (Wahl 1816). Electronmicrofoto nr. 279;  $\times 10,000$ .  
Fig. 2. — *Gecocithlus pelagicus* (Wahl 1816). N. —  $\times 2,000$ ; 71. Tăcerăz.  
Fig. 3. — *Gecocithlus pelagicus* (Wahl 1816). N. —  $\times 2,000$ ; 71. Tăcerăz.



C. LEBENZON. Nannoplanctonul calcaros — valea Târcuța și valea Răchitiș.  
Pl. I.



1



2



3

Institutul Geologic. Dări de seismă ale ședintelor. vol. LIX/1.



Institutul Geologic al României

## PIANSA II

- Fig. 1. — *Chiasmolithus oamaruensis* De Flaujard, N.I.; x 2.000; 11 Târcuța (Oligocene mediu).
- Fig. 2. — *Chiasmolithus oamaruensis* De Flaujard, N.I.; x 4.000; 11 Târcuța.
- Fig. 3. — *Chiasmolithus oamaruensis* De Flaujard, Electronomicrofoto nr. 382; x 10.000.



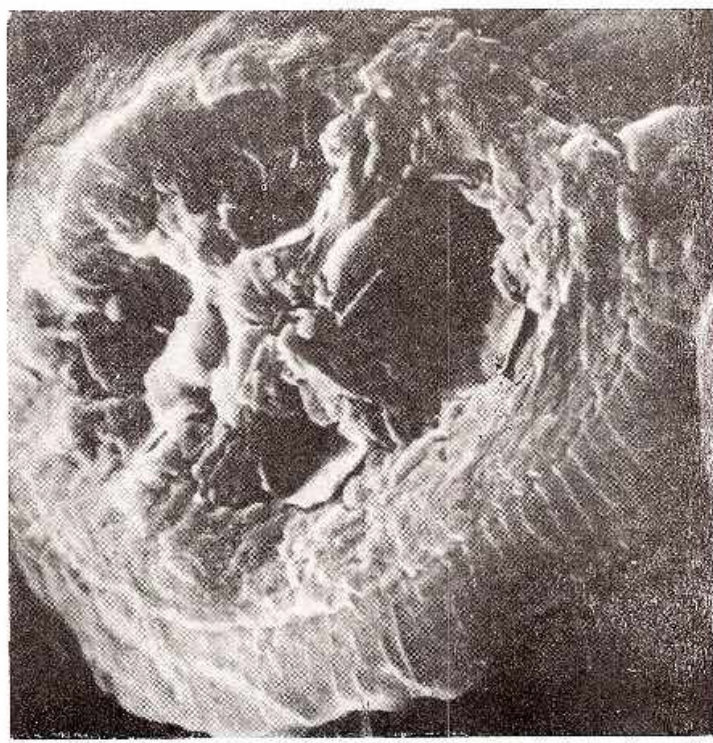
C. LIEHENZON. Nannoplanetonul calcaros — valea Tăreană și valea Răchitiș.  
Pl. II.



1



2



3

Institutul Geologic. Dări de seamă ale sedințelor, vol. LIX/4.

### PLANSA III

- Fig. 1. — *Helicopontosphaera recta* Haq., N $\pm$ ; (90°);  $\times 2.000$ ; 11 Târcuța (Oligocen mediu).
- Fig. 2. — *Reticulofenestra ornata* Müller, N $\pm$ ; (90°);  $\times 2.000$ ; 14 Târcuța (Oligocen mediu).
- Fig. 3. — *Reticulofenestra ornata* Müller, N $\pm$ ; (90°);  $\times 2.000$ ; 14 Târcuța (Oligocen mediu).
- Fig. 4. — *Cyclococcolithus fibridatus* Röhl et Hickey, N $\pm$ ; (0°);  $\times 2.000$ ; 25 Târcuța (Oligocen superior).
- Fig. 5. — *Ditigonococcolites dictyonis* (D'Orbigny) et Feret, N $\pm$ ; (15°);  $\times 2.000$ ; 25 Târcuța (Oligocen superior).
- Fig. 6. — *Zygobalithus bijingalns* (D'Orbigny), N $\pm$ ; (0°);  $\times 2.000$ ; 25 Târcuța (Oligocen superior).
- Fig. 7. — *Helicopontosphaera ampliaperta* (Bramm. et Wille), N $\pm$ ; (45°); 75 Târcuța (Miocen inferior).
- Fig. 8. — *Sphenolithus baleinos* Bramm. et Wille, N $\pm$ ; (0°); 75 Târcuța (Miocen inferior).
- Fig. 9. — *Helicopontosphaera aff. kampfneri* Hay et Möller, N $\pm$ ; (80°); 75 Târcuța (Miocen inferior).

Electronicrofotografiile au fost executate la microscopul electronic al Laboratorului de Geologie de la Muzeul de Istorie Naturală din Paris.

Les électronicrophotographies ont été exécutées au microscope électronique du Laboratoire de Géologie du Musée d'Histoire Naturelle de Paris.



C. LEBENZON. Nannoplanetomul calcaros — valea Tărcuța și valea Răchitiș.  
Pl. III.



1



2



3



4



5



6



7



8



9

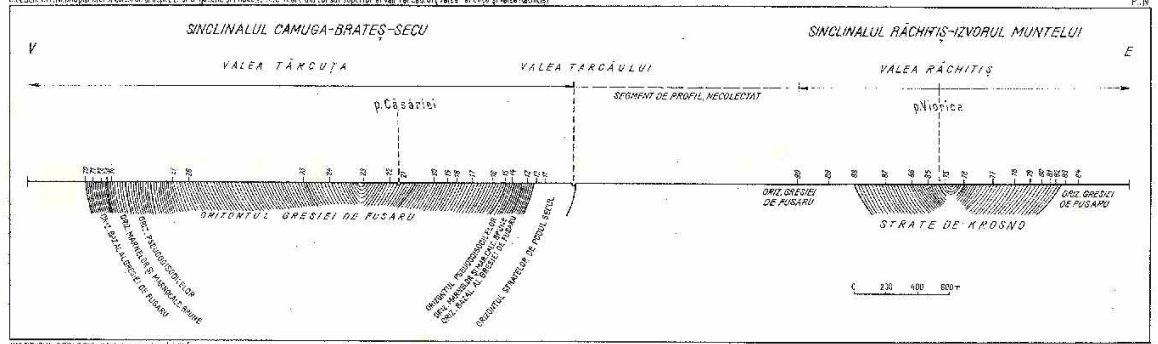
Institutul Geologic. Dări de seamă ale ședințelor, vol. LIX/4.



Institutul Geologic al României

**DISCUZIIONI**, Nenăgădările cu cărțile de origine și mijlocie: cinci cărți de la vîrful luptelor al vîii Tarcău și în valea Tarcău și valea Bistriței

84



INSTITUTUL GEOLOGIC. Jurnal de științe vol. LIX/2



Marine Metallogenic

#### 4. STRATIGRAFIE

### OBSERVAȚII BIOSTRATIGRAFICE PE VALEA RODULUI (VEST DE SIBIU)<sup>1</sup>

de

VICTORIA LUBENESCU<sup>2</sup>, DOINA GHEORGHIAN<sup>3</sup>

#### Abstract

Studies of the Valea Rodului Fauna (West of Sibiu). The authors present a study relating to the fauna of some assemblages of mollusks and foraminifera, sampled along the Valea Rodului area (West of Sibiu). Relying on paleontological data, the Badenian, Sarmatian and Malvensian (partly)-Middle Pannonian stages have been identified,

Cu ocazia cercetărilor geologice efectuate între anii 1964-1971 asupra depozitelor neogene de pe rama sudică a Depresiunii Transilvaniei, am găsit o serie de puncte fosilifere încă necunoscute.

Asupra acestei regiuni au fost executate în decursul timpului, numeroase cercetări și studii geologice, care au adus însemnate contribuții de ordin paleontologic, stratigrafic și tectonic. Dintre acestea le menționăm pe cele ale lui Hauser și Stache (1863), Koch (1900), Ilie (1953), Ichim (1959)<sup>3</sup>, Maxim (1965), Dumitriu et. al (1965)<sup>4</sup>, Gheor-

<sup>1</sup> Comunicare în ședință din 3 mai 1972.

<sup>2</sup> Intreprinderea Geologică de Prospecționi, Str. Caransebeș nr. 1, București.

<sup>3</sup> Tr. Ichim. Cercetări geologice în regiunea Ocaz Sibiului-Alba Iulia-Sebeș. 1959. Arh. I.G.G. București.

<sup>4</sup> M. Dumitriu, Cristina Dumitriu, Aura Ceclarov, Magdalena Radu, Silvia Dinescu. Prospecționi geologice pentru hidrocarburi, sare și săruri de potasiu în vestul bazinului Transilvaniei, între valea Mureșului și valea Cibinului. 1965. Arh. M.P.G. București.

ghian (1964-1967)<sup>5-7</sup>, Huică et. al (1971)<sup>8</sup>, Maxim și Honig (1970).

În nota de față ne vom referi numai la punctele fosilifere din depozitele miocene și pannoniene de pe valea Rodului (Apold) (pl.).

Primele depozite studiate de noi, se dispun transgresiv și discordant peste nisipuri total lipsite de faună și sint alcătuite din marne albicioase tufacee care au în bază un nivel conglomeratic. În aceste marne nu a fost identificată macrofaună, dar microconținutul analizat se caracterizează prin abundența foraminiferelor planetonice și anume a celor din asociația cu *Orbulina suturalis*. În continuare se dispun marne cenușii-negricioase cu intercalații centimetrice de nisipuri grosiere roșcate, parțial cimentate, care la partea superioară au gipsuri zaharoide și marne interstratificate cu gips fibros. Aceste marne se deosebesc de cele subjacente atât prin culoarea mai închisă, cât și prin înlocuirea foraminiferelor planetonice cu o bogată asociație de microfaună bentonică ce caracterizează zona cu *Spiroplectammina carinata* și *Uvigerina*. La partea superioară a succesiunii litologice imediat sub gipsuri a fost identificat orizontul cu *Pseudouriplasia* menționat și de geologii cehi la același nivel (Georgian, 1971).

Deasupra gipsurilor, urmează marne cenușii-negricioase, disodili-forme și marne vinetii cu intercalații de nisipuri cenușii albicioase care conțin și primele indicații macrofaunistice. Din baza acestui complex au fost determinate specile: *Nucula (Nucula) nucleus* Linné, *Corbula (Variocorbula) gibba* Olivieri, *Anadara (Anadara) dituvii* Lamark.

Probile micropaleontologice (10, 11, 12, 1218, 1219) colectate din aceste marne ce au în total cca 400 m grosime au pus în evidență o bogată asociație de foraminifere (conform tabelului de mai jos):

<sup>5</sup> M. Gheorghian, Doina Gheorghian. Urmărirea și colectarea de profile normal deschise în formațiuni de vîrstă paleogen-neogenă de pe rama sudică a bazinului Transilvaniei. 1965. Arh. M.M.P.G. București.

<sup>6</sup> M. Gheorghian, Doina Gheorghian. Urmărirea de profile pe rama de sud a Bazinului Transilvaniei. 1966. Arh. M.M.P.G. București.

<sup>7</sup> M. Gheorghian, Doina Gheorghian. Stabilirea conținutului micropaleontologic în succesiunea stratigrfică a depozitelor miocene din partea de sud a bazinului Transilvaniei și din regiunea cuprinsă între valea Arieșului și valea Someșului Mic. 1967. Arh. M.M.P.G. București.

<sup>8</sup> I. Huică, Victoria Lubenescu, Magdalena Radu, M. Pauca Aurora Cehlarov, Antoaneta Clemens, Doina Gheorghian. Raport geologic privind lucrările de sinteză a cercetărilor geologice pentru sare, săruri de potasiu și hidrocarbură în zona cutelor diapirice din partea de SW, S și E a depresiunii Transilvaniei între V. Mureșului și rama Carpaților Meridionali și Orientali. Perimetru Ocaș Sibiului-Ocaș Mureșului-Alba Iulia-Scheș. 1971, Arh. M.M.P.G. București.

TABEL

Foraminifere	Numărul probelor					
	10	11	12	13	1218	1219
<i>Spiroplectammina carinata</i> (d'Orb.)					x	
<i>Siphonularia concava</i> (Karrer)	x		x	x		x
<i>S. inopinata</i> Luzzk.		x		x		x
<i>Pavonitina stylifera</i> Schubert		x		x		x
<i>Martinottiella communis</i> (d'Orb.)				x		x
<i>Quinqueloculina akueriana</i> d'Orb.				x		x
<i>Sigmoilina tenuis</i> (Czjzek)		x		x		x
<i>Lagenula elongata</i> (Ehrenberg)	x					x
<i>Sphaerooidina bulloides</i> d'Orb.	x		x	x	x	x
<i>Bolivina marginata</i> Cushman		x	x	x		x
<i>Buliminula aculeata</i> d'Orb.		x	x	x		
<i>B. subulata</i> Cushman et Parker			x		x	x
<i>Globobuliminina perversa</i> (Cushman)			x	x		
<i>Uvigerina cf. U. acuminate</i> Hosius				x		x
<i>Trifarina angulosa</i> (Wittl.)	x		x		x	x
<i>Valvulinaria sautiei</i> (d'Orb.)	x	x	x		x	x
<i>Globigerina bulloides</i> d'Orb.	x	x	x			
<i>Velapertina indigena</i> (Luzzk.)		x				x
<i>Cibicides boueianus</i> d'Orb.		x	x			x
<i>C. lobatulus</i> (Walker et Jacob)			x		x	
<i>Cassidulina neocarinata</i> (Tolman)		x				x
<i>Allomorphina macrostoma</i> Karrer		x				x
<i>Pullenia bulloides</i> d'Orb.				x		x
<i>P. quinqueloba</i> (Reuss.)	x				x	
<i>Gyroidina gyrrardana</i> (Reuss.)	x			x		x
<i>Melonis pomphiloides</i> (Fichtel et Moll.)	x	x	x	x	x	x
<i>Heterolepa dutemplei</i> (d'Orb.)				x		x
<i>Hoeglundina elegans</i> (d'Orb.)		x		x		x

Prezența în asociație a frecvențelor exemplare de *Siphonularia* și *Pavonitina*, alături de *Valvulinaria sautiei* și *Velapertina*, indică fără dubiu Badenianul superior respectiv zona cu *Valvulinaria sautiei*, considerată de noi ca echivalentă cu marnele cu *Spirialis* din Subcarpați.

Urmează o porțiune acoperită (cca 270 m) după care apar nivale de marne argiloase cenușii cu fragmente de cardite juvenile și gasteropode mici (proba 12), ce suportă marne și gresii cenușii friabile în care au fost întâlnite rare exemplare de *Ercilia podolica dissita* Eichw. Faptul că asociația micropaleontologică a probei 13 este caracteristică tot Badenianului superior iar macrofauna din marnele suprajacente indică Sarmatianul, ne conduce la ideea că limita dintre aceste două etaje poate fi trasată la acest nivel.

Succesiunea se continuă cu marne cenușii rubanate, uneori foioase, deranjate tectonic (10–15 m), ce conțin o faună indeterminabilă, apoi marne albicioase fosilifere stratificate, marne foioase în alternanță cu mar-

ne masive bine cimentate și șisturi calcaroase gălbui, reiate, uneori disolitiforme (cca 30 m).

Asociația faunistică este alcătuită din numeroase exemplare de *Ervilia podolica dissita* Eichw. și *Abra (Sindesmya) reflexa* Eichw. alături de rare exemplare de *Articulina* sp. și ostracode.

În axul unei mici cutii în continuitate de sedimentare, se dispun marne cenușii-negricioase care suportă marne reiate, cu impresiuni de plante și solzi de pești dar și frecvențe exemplare de *Cardium gleickenbergensis* Papp. Microfauna (proba 15) reprezentată la acest nivel doar de frecvențe exemplare de *Elphidium aculeatum* (d'Orb.), „*Sphaeridium*” și otolite, ne îndreptățește să acordăm întregii suite de depozite vîrsta sarmatiiană respectiv volhyniană superioară — bessarabiană inferioară.

Aparent în continuitate de sedimentare, urmează marne cenușii massive bine cimentate, fosilifere (cca 20 m) din care au fost colectate numeroase lamelibranhiate și gasteropode caracteristice Pannonianului :

- Congeria banatica* R. Hörn.
- Paradaena lenzi* Hoernes
- P. syrmensis* Hoernes
- Pisidium costatum* Gorj-Kramberger
- P. protractum* Gorj-Kramberger
- Radix (Velutinopsis) velutina* Deshayes
- Planorbis* cf. *P. tenuistriatum* Gorj-Kramberger.

Asociația micropaleontologică a probelor 16, 17, colectate din acest punct este alcătuită în exclusivitate din ostracode (în curs de studiu).

Ultimele iviri asupra căroră ne-am oprit sunt formate din marne argiloase cenușii ce conțin numeroase ostracode și foraminifere miocene (remaniate) precum și o bogată faună de congerii, limnocardiacee și limneide :

- Congeria banatica* R. Hörn.
- C. partschi firmocarinata* Papp
- C. spathulata* Partsch.
- Paradaena lenzi* Hoernes
- P. syrmensis* Hoernes
- Planorbis tenuistriatum* Gorj-Kramberger
- Radix (Velutinopsis) velutina* Deshayes
- Provalenciennius* sp.
- Helix* sp.

Lipsa din asociațiile noastre a cardüidelor și a speciei *Congeria ornithopsis* caracteristice zonei A (Papp, 1951) în bazinul Vienei precum și

freevențele remanieri de microfaună mioenă întâlnite de noi ne indică o lacună de sedimentare la limita Sarmătian/Pannonian.

De fapt în urma prelucrării faunei obținute din datele de foraje efectuate în centrul depresiunii Transilvaniei s-a constatat de către Vanea (1965) prezența echivalentelor Pliocenului inferior extracarpatic peste depozite sarmatiene.

O discontinuitate între depozitele sarmatiene și pannoniene remarcă pentru aceeași zonă și Mărinescu și Popescu (1968).

Lipsa depozitelor mai vechi este atribuită de către Paulea (1933) unei puternice eroziuni ante-ponțiene.

Fauna întâlnită de noi confirmă presupunerea că pe rama sudică a bazinului Transilvaniei, este prezent numai Pannonianul mediu — zona cu *Congeria banatica* — sau în parte Malvensianul.

În concluzie în depozitele deschise pe valea Rodului constatăm în mod cert prezența Badenianului reprezentat printr-o asociație de moluște (*Nucula*, *Anadara*) cantonată în partea sa superioară și prin numerozase foraminifere care ne-au permis să identificăm următoarele zone de asociație: zona cu *Orbulina suturalis*, *Spiroplectammina carinata* și *Uvigerina* și zona cu *Valvularia saulcii* (considerată de noi ca fiind echivalentă marnelor cu *Spirialis*).

În continuitate de sedimentare, a fost identificat Sarmatianul (Vohynian + Bessarabian inferior și mediu) datat paleontologic prin prezența exemplarelor de *Ervilia podolica*, *Abra (Sindesmya) reflexa* și *Cardium gleichenbergensis*, *Nonion*, *Articulina*, *Elphidium* și „*Sphaeridium*”.

Ultimele depozite se dispun după o lacună de sedimentare și conțin asociația de moluște aparținând zonei cu *Congeria banatica* și reprezintă Malvensianul (în parte) sau Pannonianul mediu.

## BIBLIOGRAFIE

- Gheorghian Doina (1971) Asupra prezenței genurilor *Pseudotriplasia* și *Pavonites* (Foraminiferida) în Miocenul din Transilvania. *D.S. Inst. Geol.* LVII/3, București.
- Hauer Fr., Staeble G. (1863) Geologie Siebenbürgens. Wien.
- Ilie M. (1953) Cercetări geologice în bazinul Transilvaniei, regiunea Aiud-Teiuș-Alba Iulia-Oena Sibiului. *D. S. Inst. Geol.* XXXVII, București.
- Koch A. (1900) Die Tertiärbildungen des Beckens der Siebenburgischen Landestheile II Neogen. Budapest.
- Maxim L A I. (1965) Asupra prezenței unor blocuri de calcare eocene și tortoniene răspândite în regiunea Dobrică (Sebeș-Sibiu). *Soc. St. Nat. și Geogr. din R.P.R.* III, București.



- Höning G. (1970) Cereetări asupra foraminiferelor miocene de la Dobirea (Sibiu-Sibiu). *Bul. Soc. St. Geol. R.S.R.* Bucureşti.
- Măruşescu Fl., Popescu A. (1968) Harta geologică sc. 1/200 000, 19 Tg. Mureş. Note explicative. Inst. Geol. Bucureşti.
- Motăş I., Măruşescu Fl. (1971) L'évolution et les subdivisions du Sarmatiens dans le bassin dacique. *Földt. Körz. Bull. of the Hungarian Geol. Soc.*, Budapest.
- Papp A. (1951) Das Pannón des Wiener Beckens. Sonderabdruck aus den. *Mitt. der Geol. Gesell. Wien* ien 39—41 Band 1946—1948, Wien.
- Pancă M. (1933) Die vorpontische Erosion am Ostrand der pannonischen Senche. *Bull. Soc. Roum. Geol.* II, Bucureşti.
- Stevanović P. M. (1959) Das Neogen in Jugoslawien in seinen Beziehungen zum Wiener Becken. Sonderabdr. aus *Mitt. d. Geol. Ges. in Wien* 52 Bd. 1959 (Verh des Comitet du Néogène méditerranéen), Wien.
- Vancea A. (1965) Geologia regiunii de la nord de Tg. Mureş. *Acad. R.S.R. Stud. cerc. geol.* 10, 2, Bucureşti.

## REMARQUES FAUNIQUES DANS LA VALLÉE DU RODU (À l'W DE SIBIU)

(Résumé).

L'ouvrage présente l'étude de la faune de quelques dépôts néogènes de la vallée du Rodu (à l'W de Sibiu) situés sur la bordure méridionale de la dépression de Transylvanie.

A cette occasion a été mise en évidence la présence du Badénien grâce à une association de mollusques (*Nucula*, *Anadara*) et de foraminifères contenant : *Orbulina suturalis*, *Spiroplectammina carinata*, *Uvigerina* et *Valvalineria sauteri*.

En continuité de sédimentation on a identifié le Sarmatiens à partir de : *Ervilla podolica*, *Abra (Sinedsmya) reflexa* et *Cardium gleickerbergensis*, *Nonion*, *Articulina*, *Elphidium* et „*Sphaeridium*“.

Les derniers dépôts identifiés s'accumulent après une lacune de sédimentation et contiennent l'association à mollusques de la zone à *Congeria baratica*. Ils représentent le Malvensien (proparte) ou le Pannónien moyen.

## EXPLICATION DE LA PLANCHE

Colonne biostratigraphique dans la vallée du Rodu (ouest de Sibiu).



### INTREBĂRI

- O. Iliescu. 1. Pește ce formățiuni se situează depozitele tortoniene cercetate de autori?
2. Dacă se poate separa Bessarabianul de Volhyanian?
  3. La ce nivel în cadrul Pannonianului se situează depozitele cu *Congeria banatica* întâlnite în regiune?
1. Depozitele badeniene care aflorează pe valea Rodului se dispun peste un orizont nisipos lipsit de faună.
  2. Bessarabianul se poate separa de Volhyanian pe baza asociațiilor macro- și microfaunistice întâlnite.
  3. Depozitele cu *Congeria banatica* întâlnite în regiunea cercetată de noi se situează la nivelul Pannonianului mediu.
- C. Stoica. La ce ar corespunde lacuna stratigrafică dintre Sarmațian și Pannonian?
- Lacuna stratigrafică constată de autori pe baze faunistice corespunde aproximativ Bessarabianului superior și Kersonianului.



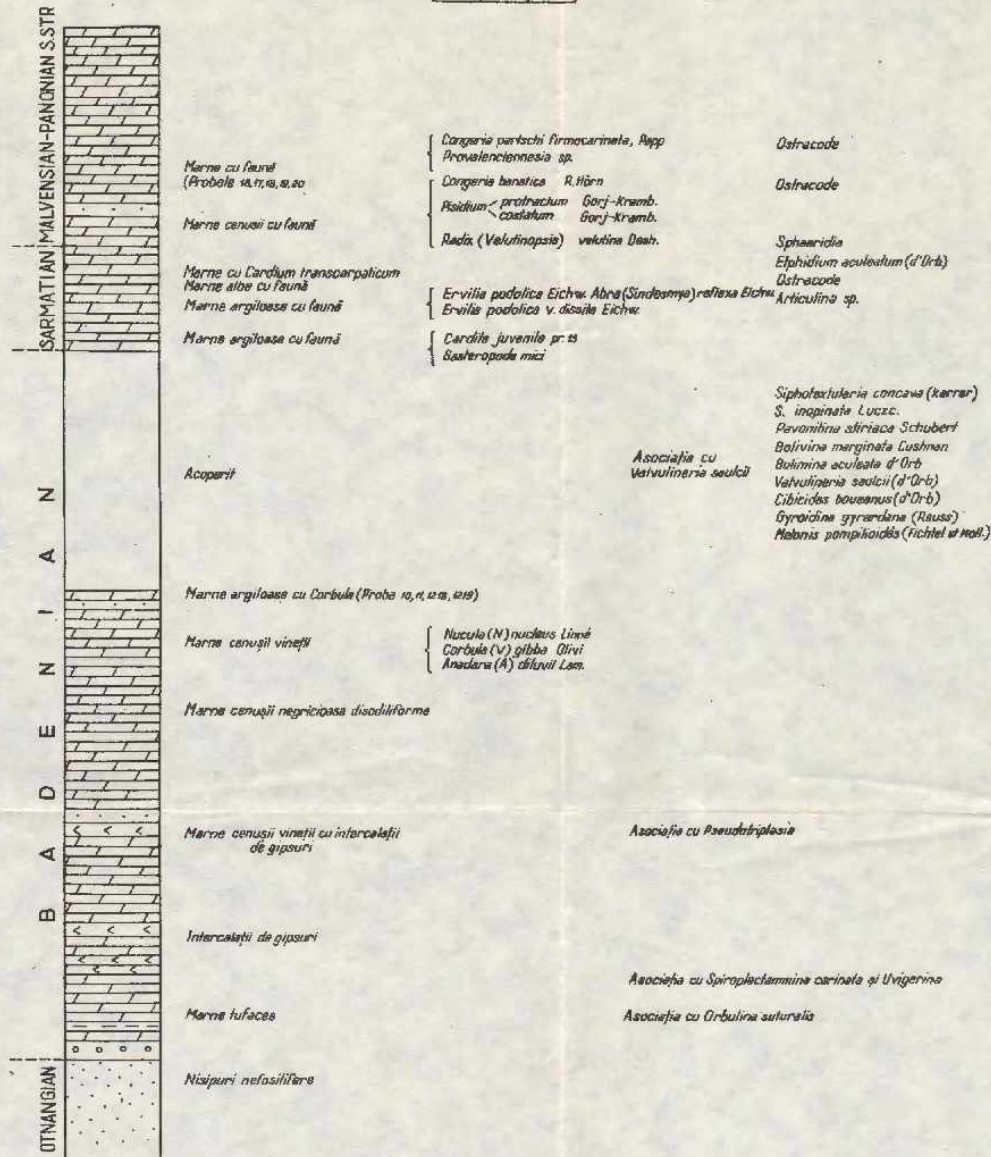


Institutul Geologic al României

VICTORIA LUBENESCU SI DOINA GHÉORGHIAN

COLOANĂ BIOSTRATIGRAFICĂ PE V. RODULUI (V. DE SIBIU)

0 50 100 150 m



#### 4. STRATIGRAFIE

### CONTRIBUȚII LA STUDIUL FAUNEI BADENIENE DIN SUD-VESTUL TRAÑSILVANIEI (ZONA SEBEŞ ALBA — CUT)<sup>1</sup>

DE

VICTORIA LUBENESCU<sup>2</sup>

#### Abstract

*Contributions to the Study of the Badenian Fauna from the South-West of Transylvania (Sebeş Alba-Cut Zone). The author presents an assemblage of mollusks and foraminifera for the first time encountered nearby the town of the Sebeş Alba, along the south-eastern border of the Transylvania Depression. In conclusion, some palaeoecological considerations are made, as well as parallels are drawn between the similar faunas from Romania and those from other countries.*

În urma unor revizuiri și lucrări de sinteză efectuate între anii 1969—1972 asupra unor depozite neogene dezvoltate pe rama sudică a depresiunii Transilvaniei, am descoperit un nou și bogat zăcămînt fosilifer, cu faună badeniană.

Punctul fosilifer respectiv este situat la 1 km est de localitatea Cut, pe un mic affluent pe dreapta al văii Secaș.

Cercetările geologice asupra părții de sud și sud-vest a depresiunii Transilvaniei au fost efectuate încă din secolul trecut.

Contribuții însemnate în deschiderea stratigrafiei Neogenului au adus Hauer și Stache (1863), Koch (1900), Ilie (1953), Ichim (1959)<sup>3</sup>, Dumitriu et al. (1965)<sup>4</sup> și Huică et al. (1971)<sup>5</sup>.

Fauna badeniană a fost întîlnită într-o zonă cu depozite considerate pannoniene.

<sup>1</sup> Comunicare în ședință din 28 mai 1972.

<sup>2</sup> Întreprinderea Geologică de Prospecții, Șos. Kiseleff nr. 2, București.

<sup>3</sup> T. Ichim, Cercetări geologice în regiunea Ocaș Sibiu — Sebeş — Alba Iulia, Arh. I.P.G. București.

<sup>4</sup> M. Dumitriu, Cristina Dumitriu, Aurora Chiarov, Magdalena Radu, Silvia Dinescu. Prospecții geologice pentru hidrocar-

Intr-o deschidere situată în versantul drept al unui mic ogaș al văii Secaș am întlnit marne argiloase cenușii, compacte, ușor micaferate, nefosiliere, cu o grosime de cca 3 m, peste care se dispun nisipuri gălbui-albicioase cu lentile de pietrișuri fine, polimictice și concrețiuni calcaroase. Pachetul nisipos cu pietrișuri, dezvoltat pe cca 2 m grosime, conține o bogată faună de gasteropode și lamelibranhiate necunoscută în regiune.

Microfauna din mărnele și argilele din partea inferioară a deschiderii a fost analizată de M. Doina Gheorghian, care ne-a prezentat o asociație de foraminifere bentonice și planctonice dintre care mai frecvente sunt speciile :

- Valvularia saulcii* (d'Orb.)
- Globigerina bulbosa* (Leydig)
- Globigerina bulloides* d'Orb.
- Globigerinoides trilobus* (Reiss.)
- Praeorbulina glomerosa* (Bölow.)
- Praeorbulina transitoria* (Bölow.)
- Orbulina suturalis* Brönn.

și pteropodul

#### *Spiratella andrusowi* Kittl.

Fauna de moluște determinată de noi din pachetul nisipos superior (pl. I-V) cuprinde :

#### Lamelibranhiate

- Anadara (Anadara) diluvii* Lamark
- Glycymeris (Glycymeris) glycymeris pilosus* (Linnaeus)
- Arcopsis (Arcopsis) papillifera* (Hoernes)
- Pyenodonta cochlear* (Bröckhi)
- Pitaria* sp.
- Venus* sp.

#### Gasteropode

- Diloma (Oxystele) patula orientalis* (Cossmann et Peyrot)
- Pirenella picta picta* (Defrance)

buri și săruri de potasiu în vestul bazinului Transilvaniei, inclusiv zona cutelor diapire între Valea Mureșului și Valea Cibinului. 1965. Arh. M.M.P.G. București.

<sup>5</sup> I. Huica, Victoria Lubenescu, Magdalena Radu, M. Paucă, Aura Ceklarov, Antoaneta Clemens, Mihaela Gheorghian. Raport geologic privind „Lucrări de sinteză a cercetărilor geologice pentru sare, săruri de potasiu și hidrocarburi în zona cutelor diapire din partea de sud-vest, sud și est a presiunii Transilvaniei între valea Mureșului și rama Carpaților Meridionali și Orientali. 1971. Arh. M.M.P.G. București.

*Potamides (Potamides) gamlitzensis pseudotheodiscus* Strauss  
*Bittium reticulatum* (Da Costa)  
*Turritella (Archimediella) erronea* Cossmann  
*Turritella (Archimediella) badensis* Sacco  
*Turritella (Zaria) subangulata polonica* Friedberg  
*Lemintina arenaria* (Linnaeus)  
*Natica (Lunatia) catena helicina* Brocchi  
*Ficus* sp.  
*Cyprea* sp.  
*Perynotus (Perynotus) swainsoni* Michelotti  
*Hinia (Uzita) rosthorni* Partsch  
*Nassa (Phrontis)* cf. *dujardini* (Deshayes)  
*Ancilla (Baryspira) glandiformis* Lamarek  
*Narona (Sveltia) dertovaricosa* (Sacco)  
*Clavus (Drillia) angustae* (R. Hoernes et Auinger)  
*Clavatula (Clavatula) interrupta* (Brocchi)  
*Clavatula (Clavatula) ursulae* (R. Hoernes et Auinger)  
*Conus (Chelyconus) fuscocingulatus* Bronn.  
*Conus (Conolithus) dujardini* Deshayes  
*Terebra (Terebra) neglecta* Michelotti  
*Terebra (Mycarella) basieroti* Nystr.  
*Subula (Oxymeris) fuscata modesta* (Trist.)  
*Cerithium* sp.

Analizînd asociația de moluște determinată, putem trage o serie de concluzii asupra condițiilor paleoecologice din acel timp.

Prezența numeroaselor forme de *Anadara* și *Glycymeris*, organisme foarte sensibile la schimbările de salinitate, ne dau indicații asupra salinătății normale a apelor.

Bogăția faunistică, a cochiliilor bogat ornamentate, presupun de asemenea ape cu regim normal al gazelor și cu o temperatură ridicată. (Genurile *Ostrea*, *Venus*, *Cardita*, *Turritella* trăiesc în măriile actuale cu climat tropical).

Între moluștele întâlnite un mare număr de specii și indivizi îl prezintă cele erbivore (*Turritella*, *Ditoma*, *Vermetus*) ceea ce ne permite să admitem în același timp și existența unei flore marine abundente.

Gasteropodele carnivore sunt de asemenea frecvente (*Murex*, *Conus*, *Natica*, *Cerithium*).

Întreaga faună găsită, în care apar, alături de forme juvenile, forme adulte, ne demonstrează condiții optime de dezvoltare a viețuitoarelor.

Depozitele marine fosilifere de la Cut, sunt sincrone celor întâlnite de noi anul trecut la Cacova Sibiului și Apold (Victoria Lubrenescu în raportul Huciță et al., 1971) de unde am recoltat o bogată faună din marnie argiloase. Între exemplarele de acolo determinate de Antoaneta Clemens<sup>4</sup> remarcăm și identități cu cele de la Cut. Cităm: *Nucula (Nucleus) nucleus* (Linne), *Lucina (Linga) columbella* Lamarck, *Glycymeris (Glycymeris) glycymeris pilosus* (Linne), *Anadara diluvii* Lamarck, *Pycnodonta cochlear navicularis* Brocch., *Diloma (Oxytele) patula orientalis* (Cosmann et Peyrot) și altele.

Asociația faunistică, pe care am atribuit-o Badenianului (în sensul A. Papp), prezintă asemănări cu faunele clasice de la Buituri, Lăpuș, Alba Iulia, Delinești, Mehadia și Bahna, precum și cu cea din bazinul Lom (Bulgaria) și bazinul Vienei.

## BIBLIOGRAFIE

- Hauer Fr., Stache G. (1863) Geologie Siebenbürgens. Wien.
- Hoernes R., Aninger M. (1801) Die Gastropoden der Meeresablagerungen der I und 11 Miozänen Medit. Stufe, Abh. d.k.k. geol. R.A. Wien.
- Koch A. (1894-1900) Die Tertiärbildungen des Beckens der Siebenburgischen Landesteile II Neogen. Budapest.
- Kojumdjeva E., Strachimirov M. (1960) Les fossiles de Hongrie, Tortoniens. Sofia.
- Ilie M. (1953) Cercetări geologice în bazinul Transilvaniei (reg. Aiud, Teiuș, Alba Iulia, Ocaș Sibiului). D. S. Cum. Geol., XXXVII (1949-1950), București.
- Iliescu O., Hinculov A., Hinculov Luciana (1968) Bazinul Mehadia. Studiu geologic și paleontologic. Mem. Inst. Geol. IX, București.
- Moisescu Gertruda (1955) Stratigrafia și fauna de moluște din depozitele tortoniene și sarmatiene din regiunea Buituri. Ed. Acad. P.P.R. București.
- Rado Gertrude (1967) Contribuții la cunoașterea faunei tortoniene din regiunea Alba Iulia. An. Univ. București, seria Geol.-Geogr. 37, București.
- Stancu Iosefină, Andreescu Eugenia (1968) Fauna tortoniană din regiunea Iug-Delinești. Stud. cerc. geol. 13, 2, București.

<sup>4</sup> Laboratorul de macropaleontologie al I.P.G. București.

## CONTRIBUTIONS A L'ETUDE DE LA FAUNE BADENIENNE DU SW DE LA TRANSYLVANIE (ZONE DE SEBEŞ ALBA-CUT)

### (Résumé)

L'auteur présente une association de mollusques et de foraminifères attribuée au Badénien (sensu A. Papp) qu'elle a rencontrée pour la première fois dans des dépôts considérés pannoniens par les dévanciers.

Le gisement fossillère se trouve à une distance d'un km de Cut (Sebeş Alba) sur la bordure SE de la dépression de Transylvanie.

L'auteur y fait aussi quelques considérations paléoécologiques et quelques parallelisations avec des faunes badénienes classiques de Roumanie et d'autres pays.





## PLANŞA I

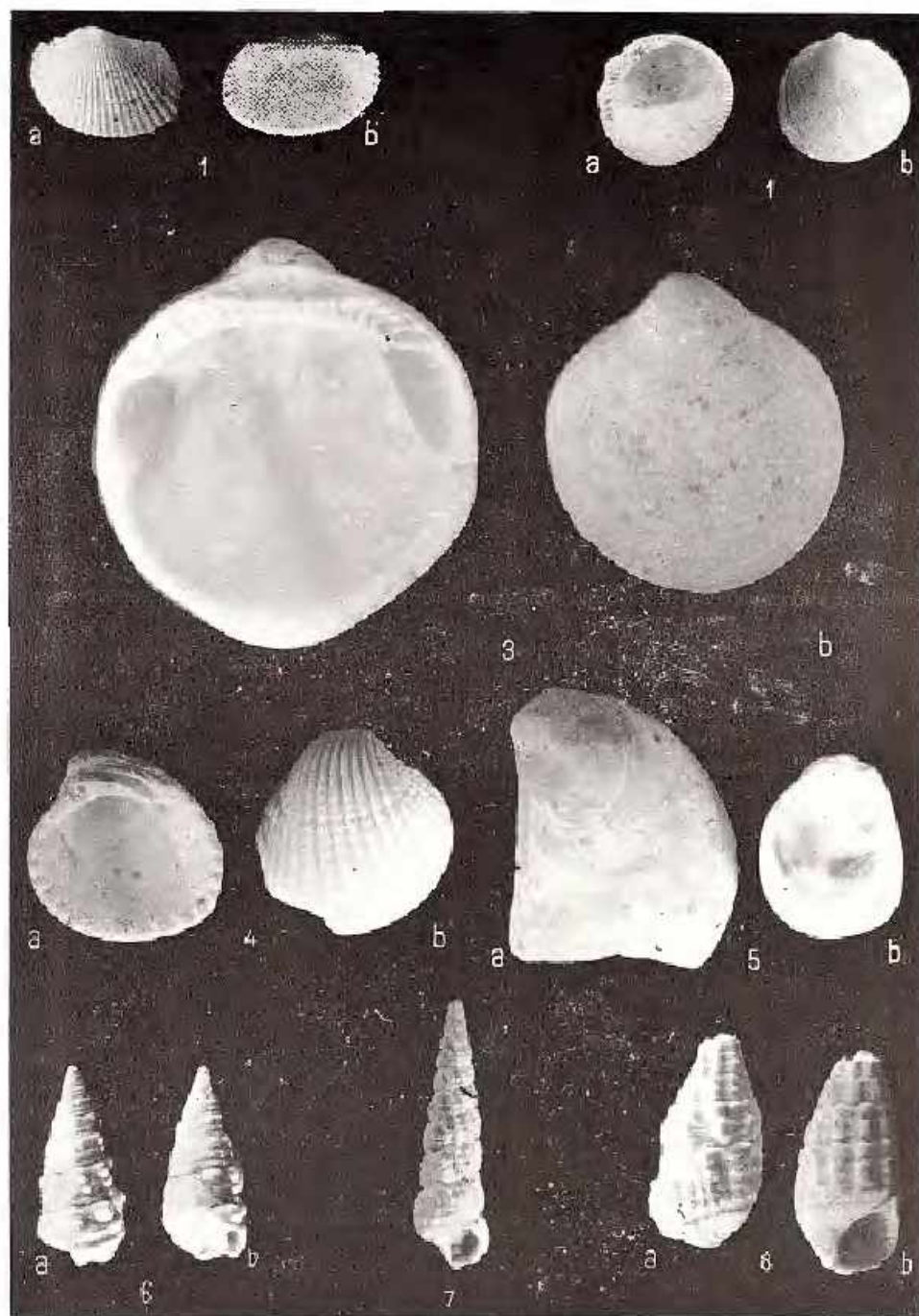


## PLANSA I

- Fig. 1 a,b. - *Anomura (Anomura) diluvii* L. em. Mack., x 2, Badenian, Cut (Sebes Alba).
- Fig. 2 a, b. - *Glycymeris (Glycymeris) var. dolosa* (Cassmann et Peyerot), x 2.
- Fig. 3 a, b. - *Glycymeris (Glycymeris) glycymeris pilosa* (Linné). Badenian, Cut (Sebes Alba).
- Fig. 4 a, b. - *Cardita (Cardita) partschi* Gmelin, x 1, 2, Badenian, Cut (Sebes Alba).
- Fig. 5 a, b. - *Pycnodontia cochlear nancimensis* (Brunner), x 1, 2, Badenian, Cut (Sebes Alba).
- Fig. 6 a,b. - *Ptenostrea pecta pecta* (Le Franec), x 3, Badenian, Cut (Sebes Alba).
- Fig. 7. - *Hiatella reticulata* (Deshays), x 4.
- Fig. 8 a, b. - *Cerithium* sp., x 2, 4.



VICTORIA LUBENESCU. Studiul faunei badeniene din SW Transilvaniei.  
PL. I.



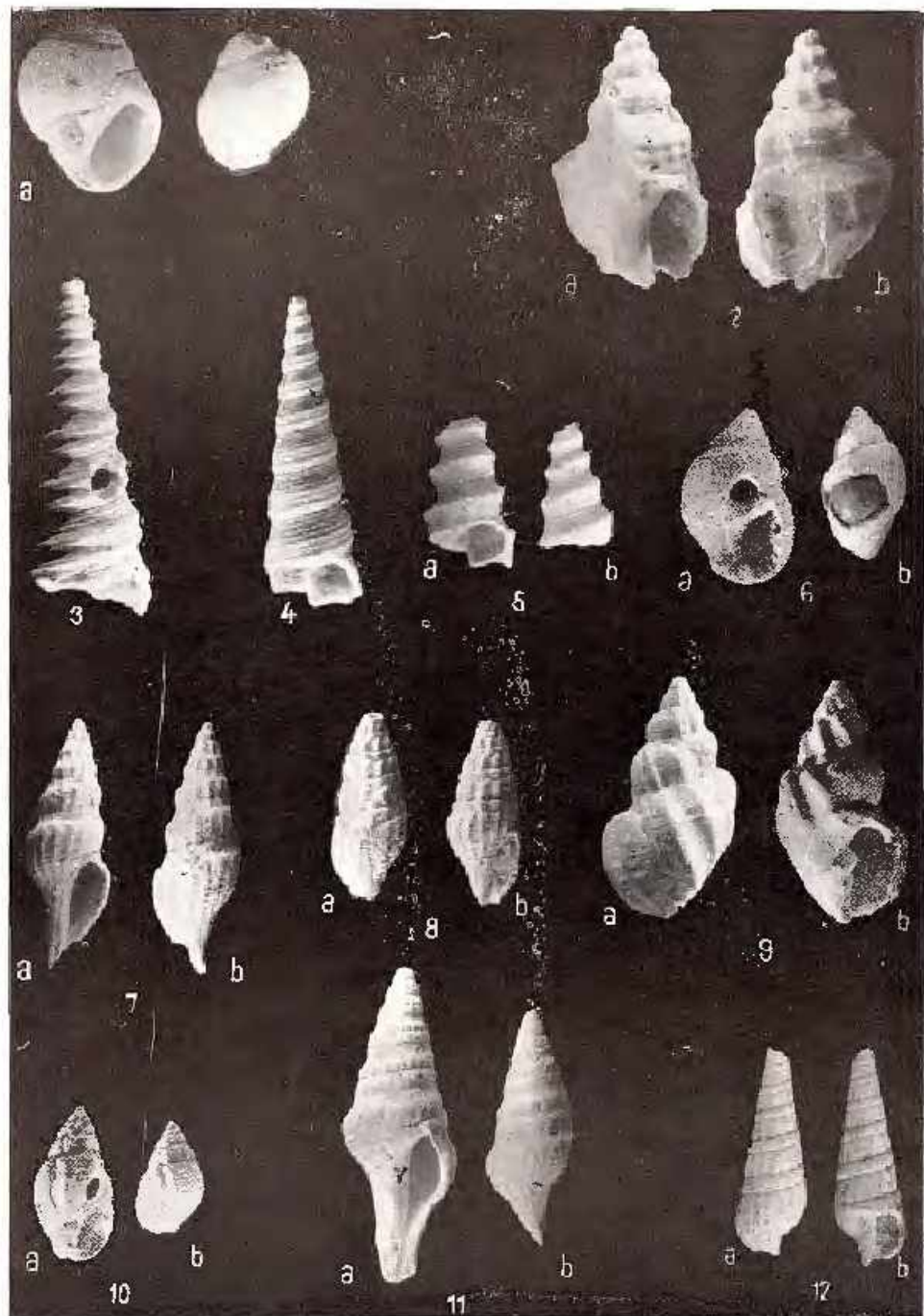
Institutul Geologic. Dări de seamă ale ședințelor, vol. LXIX/4.

## PLANŞA II

- Fig. 1 a,b. - *Natica (Lunatia) catena helicina* Bonatti, x 2, Badenian, Cut (Sebeş Alba).
- Fig. 2. - *Paryntus (Parynotus) swatinssoni* (Michelini), x 1, 8, Badenian, Cut (Sebeş Alba).
- Fig. 3. - *Turritella (Archimediella) crenata crenata* Gosemann, x 2, Badenian, Cut (Sebeş Alba).
- Fig. 4. - *Turritella (Archimediella) badensis* Sacco, x 1, 5, Badenian, Cut (Sebeş Alba).
- Fig. 5. - *Turritella (Turita) subangulata polonica* Friedberg, x 1, 5, Badenian, Cut (Sebeş Alba).
- Fig. 6 a, b. - *Hinia (Uvula) rosthorni* Parvush, x 1,5, Badenian, Cut (Sebeş Alba).
- Fig. 7 a, b. - *Raphisoma (Raphitoma) hispidula* (Jan), Badenian, Cut (Sebeş Alba).
- Fig. 8 a, b. - *Clavus (Drillia) angustae* (R. H. Herdman et A. M. Geer), x 1, 4, Badenian, Cut (Sebeş Alba).
- Fig. 9 a, b. - *Narona (Sveilia) derlovaricosa* Sacco, x 1,5, Badenian, Cut (Sebeş Alba).
- Fig. 10 a, b. - *Nassa (Tritia) limata* Chenu, x 2, Badenian, Cut (Sebeş Alba).
- Fig. 11 a,b. - *Clavatula (Clavatula) intermedia* (Brocchii), x 0,8, Badenian, Cut (Sebeş Alba).
- Fig. 12 a, b. - *Terebra (Terebra) neglecta* Michelotti, x 1,5, Badenian, Cut (Sebeş Alba).



VICTORIA LUBENESCU. Studiu faună badeniene din SW Transilvania.  
Pl. II.



Institutul Geologic. Dări de seamă ale ședintelor, vol. LIX/4.

### PLANSA III

Fig. 1. — *Terebra Glycerella fischeri* Nyl., X 1,8. Badenian, Cuf (Sebeș Alba).

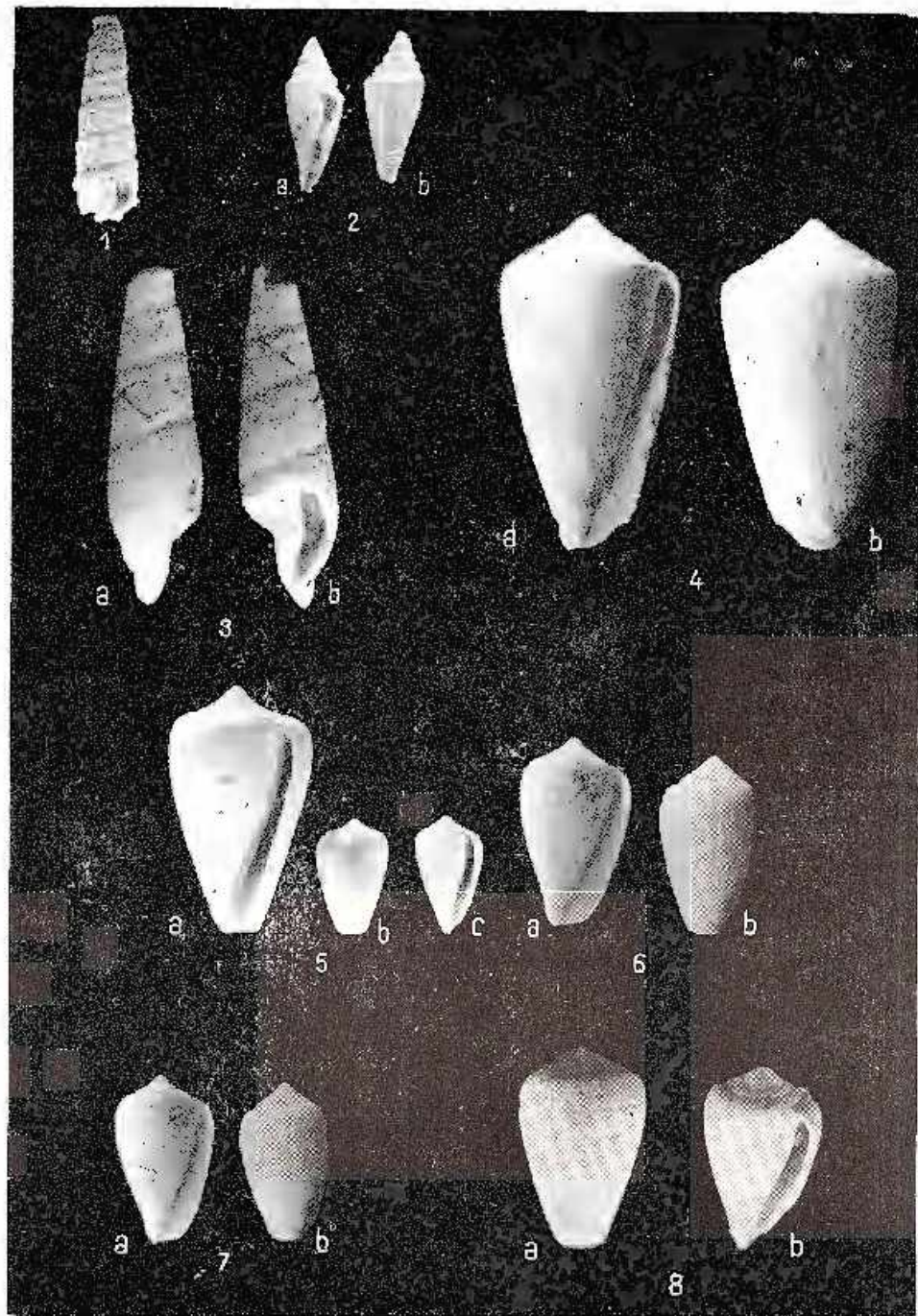
Fig. 2 a, b. — *Conus (Conularia) diffractus* Deshayes., X 1,5. Badenian, Cuf (Sebeș Alba).

Fig. 3 a, b. — *Sabrina (Oxymeris) fuscata modesta* (Corda). Badenian, Cuf (Sebeș Alba).

Fig. 5a, b; 6a, b; 7a, b; 8a, b. — *Conus (C. helgesius) fuscocinereus* Brönn. Badenian, Cuf (Sebeș Alba).



VICTORIA LUBENESCU. Studiu faunei badeniene din SW Transilvaniei.  
Pl. III.



Institutul Geologic. Dări de searne ale ședințelor, vol. LIX/4.

ASOCIAȚIA FAUNISTICĂ TORTONIANĂ DE LA BALTA SĂRATĂ-  
JUDEȚUL CARAŞ-SEVERIN<sup>1</sup>

DE

VIORICA PAVNOTESCU<sup>2</sup>, OVIDIU ILIESCU<sup>2</sup>, AUREL RADU<sup>2</sup>

**Abstract**

Tortonia Fauna from the Balta Sărătă Zone (Caras - Severin district). In this paper the Tortonian fauna from the Balta Sărătă, Caraș-Severin district, is presented. The fauna which was determined and corroborated with the encountered micropaleontological assemblage allows to assign to the deposits, from which it was sampled, the Lower Tortonian (Badenian) age. This fauna may be parallelized with the one met in Mehadia, Rugi-Delniști, Bahna, north-western Oltenia, Buituri, Lăpușnă, Zorlenț areas, Lem Basin (Bulgaria) and the Vienna Basin (Austria).

Fauna prezentată a fost colectată din orizontul marnos-argilos cu cărbuni și tufuri dacice aparținând Tortonianului inferior din extremitatea nordică a bazinului Caransebeș-Mehadia.

Punctul fosilifer se află la sud-est de localitatea Balta Sărătă și la cca 3 Km sud de orașul Caransebeș, pe un mic vîlcel al pîriului Zlagna, affluent al râului Timiș.

Printre primii cercetători care amintesc de prezența unor depozite tortoniene în această regiune, menționăm pe Halavâts (1880) și Schretter (1909).

Cercetări ulterioare, atât în zona menționată cât și în regiunile învecinate se datează lui Pop (1959), Iliescu<sup>3</sup>, et al. (1968, 1970),

<sup>1</sup> Comunicarea în ședință din 3 mai 1972.

<sup>2</sup> Intreprinderea Geologică de Prospecții, Sos. Kiseleff nr. 2, București.

<sup>3</sup> O. Iliescu, A. Radu, Viorica Pavnotescu. Sinteza lucrărilor geologice pentru cărbune brun în bazinul Caransebeș-Mehadia și Bozovici. 1970. Arh. I.G.P. București.

Lubănescu și Pavnotescu (1970), Marinescu și Marinescu (1962), Radu, Pavnotescu (1968)<sup>4</sup>, Stanca, Andreescu (1968).

Situația geologică de la Balta Sărătă prezintă următoarea succesiune: peste pictrișurile și conglomeratele ce reprezintă primele depozite atribuite Tortonianului, urmează alternanțe de marne și argile cenușii-gălbui, cu două sau trei nivale de cărbuni și 1–3 intercalații de tufuri dacice.

Materialul paleontologic care formează obiectul notei de față a fost întâlnit în intercalații marnoase-argiloase dintre stratele de cărbuni, asociat cu un bogat conținut micropaleontologic reprezentat prin:

- Pseudotriplasia elongata* M a t e k i
- Pseudoclavulina mexicana* C u s h .
- Butimina ovata* d ' O r b .
- Cassidulina carinata* C u s h .
- Cassidulina globosa* II a n t k .
- Cassidulina subglobosa* B r a d y
- Eponides umbonatus* Re u s s
- Globigerina apertura* C u s h .
- Globigerina bulbosa* Le Ro y
- Globigerina venezuelana* H e d b .
- Globigerina incompta* C i f e l l i
- Globigerina brady* W i s n e r
- Globigerinoides bisphaericus* (T o d d .)
- Globigerina bulloides* d ' O r b .
- Globigerina pachiderma* E h r e n b .
- Globigerina foliata* B o l l i
- Globigerina trilocularia* d ' O r b .
- Globigerinoides trilobus* (Re u s s )
- Planularia cassis* (F. et M.)
- Planularia lanceolata* (d' O r b .)
- Planularia ornata* d' O r b .
- Planulina wuellersdorfi* S c w ä g e r
- Pleotfrondicularia floridana* C u s h .
- Praeorbulina glomerosa* (B l o w .)
- Pyrgo lunula* d ' O r b .

<sup>4</sup> A. Radu, Viorica Pavnotescu, Revizuire și sinteză înscrăpătorilor geologice de cercetare pentru cărbune brun în bazinul Caransebeș-Mehadia, sectorul Caransebeș-Leneș. 1968. Arh. I.G.P. București.

- Pyrulina albatrossi* C u s h . et O s a w a  
*Turborotalia obesa* ( B o l l i )  
*Uvigerina aculeata* d' O r b .  
*Uvigerina galloway* C u s h .  
*Uvigerina laevigata* C o r y e l et R i v e r o  
*Dentalina badenensis* d' O r b .  
*Glandulina laevigata* d' O r b .  
*Bulimina subbulata* C u s h .  
*Cibicides conoides* ( O z y z . )  
*Cibicides pseudoungerianus* ( C u s h . )  
*Globorotalia mayeri* ( C u s h . et E l l i s o r )  
*Globorotalia scytula* ( B r a d y )  
*Orbulina suturalis* B r o n n  
*Orbulina universa* d' O r b .  
*Orbulina bilobata* d' O r b .

Analiza conținutului micropaleontologic arată o mare dezvoltare a globigerinelor, concomitent cu dezvoltarea orbulinelor, asociația care caracterizează în diverse regiuni din țară și din țările învecinate Tortonianul inferior (Badenian inferior).

Fauna determinată de noi de la Balta Sărată este constituită dintr-o asociație de moluște (lamelibranhiate și gasteropode), scafopode și anthozoare (pl. I, II).

#### Anthozoare

*Caryophyllia (Caryophyllia) vindobonensis* ( R e u s s )

#### Lamelibranhiate

- Anadara (Anadara) diluvii* ( L a m a r e k )  
*Chlamys (Aequipecten) spinosa* ( M ü n s t e r )  
*Chlamys seniensis lomnickii* H i l b e r .  
*Pyenodonta cochlear navicularis* ( B r o e c h i )  
*Carita subrudista* F r i e d b e r g  
*Cardita (Cardiocardita) parischi* G o l d f u s s  
*Venus (Ventricola) multilamella* L a m a r e k  
*Corbula (Varicorbula) gibba* ( O l i v i )

#### Gasteropode

- Acerilla (Acrilla) kimakowiczi* ( B o e t t i n g e n )  
*Turritella (Zaria) subangulata polonica* ( F r i e d b e r g )  
*Turritella (Toruloidella) bicarinata bicarinata* E i c h w a l d  
*Turritella (Archimediella) pythagoraica* H i l b e r  
*Architectonica (Architectonica) millegranum* L a m a r e k

- Natica (Nacca) millepunctata* Defrance  
*Natica (Lunatia) catena helicina* (Brocchi)  
*Aporrhais pespelicanus* Linné  
*Murex (Haustellum) partschi* Höernes  
*Murex* cf. *delbosianus* Grateloup  
*Typhis (Cyphonochelus) fistulosus* (Brocchi)  
*Mitrella (Macrurella) nassoides* (Grateloup)  
*Hinia (Uzita) limata* (Chemnitz)  
*Hinia (Uzita) restitutiana* Fontanes  
*Fusus ligerianus* Peyrot  
*Vexillum (Uromitra) cyprioticum* (Brocchi)  
*Gemmula anaë* (R. Höernes und Auinger)  
*Gemmula coronata* (Münster)  
*Epadix (Bathyomma) cataphracta dertogranosa* (Sacco)  
*Clavatula jouaneri* Desmoulin  
*Raphitoma harpula* (Bronn)  
*Conus (Cheliconus) fuscocingulatus* Bronn  
*Terebra bistrigata* (Sacco)  
*Ringicula (Ringicula) auriculata* Menardi

#### Scaphopode

- Dentalium (Entalis) badense* Partsch  
*Dentalium (Dentalium) michelotti* Höernes  
*Dentalium (Antale) vitreum* Schlotheim

Majoritatea dintre acestea sunt necitate pînă în prezent în această zonă. Mai mult forma *Aerilla (Aerilla) kimakowicz* Bötinger, nu a mai fost citată la noi în țară decît la Coștei (în Banat).

Din lista de faună anexată, bine reprezentate sunt moluștele, în special, gasteropodele, iar dintre acestea, atrag atenția prin abundență lor formele de *Turritella (Zaria) subangulata*, *T. (Archimediella) pythagorica*, *Natica (Nacca) millepunctata*, *N. (Lunatia) catena helicina*, precum și scaphopodele prin genul *Dentalium*.

Prezența unor genuri ca *Typhis*, *Murex*, *Aporrhais*, *Fusus*, cu cochlile frumos ornamentată, denotă un biotop bogat în carbonat de calciu. De asemenea abundența speciilor de moluște erbivore, avînd ca reprezentanți forme de *Turritella*, *Aporrhais*, etc. indică prezenta unei flore marine bine dezvoltată și doci ape cu adîncimi mai mici și bine aerate.

Se poate trage astfel concluzia că formele fosile prezентate indică o zonă apropiată de țărm, cu ape cu salinitate normală și cu o temperatură în general ridicată, apropiindu-se de un climat tropical.

Depozitele din care a fost colectată fauna determinată, aparțin Tortonianului (Badenianului) inferior. În sprijinul acestei afirmații, în afară de poziția lor stratigrafică este și conținutul mieropaleontologic, în care predomină formele de globigerine asociate cu orbuline.

Ansamblul faunistic prezintă asemănări cu faunele tortoniene cunoscute la Mehadia, Bahna, Oltenia de nord-vest, Buituri, Jăpușiu, Zorlenț, precum și cu cea întâlnită în bazinul Lomului (R. P. Bulgaria) și bazinul Vienei.

### BIBLIOGRAFIE

- Dincă Al., Radu Magdalena (1968) Asupra prezenței Tortonianului superior în culoul Bistra (Valea Mare-Banat). *Stud. cerc. geol. geof. ser. Geol.* 13, 2, București.
- Florei N., Băluță G. (1967) Date noi asupra faunei tortoniene de la Zorlențul Mare (Banat). *Stud. cerc. geol. geogr. ser. Geol.* 12/1, București.
- Friedberg W. (1934–1936) Mieczaki miocenische ziem Palskisch-Gasteropoda, 1911–1928, I. Lamellibranchiata, 1934–1936, II. Varșovia.
- Halavats J. (1880) Zur geologische Kenntnis des Szörenijer Komitates. *Föld-Közl.* Budapest.
- Hörner M. (1856) Die fossilen Mollusken der Tertiärbecken von Wien. *Abh. d.k.k.R.A.I. Univ. Wien.* Viena.
- (1870) Die fossilen Mollusken der Tertiärbeckens von Wien. *Abh. d. k. R. A. II Bivalven.* Viena.
- Ilieșcu O., Ilinculev A., Hinculev Luciana (1968) Bazinul Mehadia. Studii geologice și paleontologice. *Mem. Inst. Geol.* IX, București.
- Kojumdjieva E., Strachimirov M. (1960) Les fossiles de Bulgarie, Tortonien, VII, Sofia.
- Lubenescu Victoria, Pavnotescu Viorica (1970) Contribuții la stratigrafia Neogenului din bazinul Caransebeș. *D. S. Inst. Geol.* LVII/4, București.
- Marinescu F., Marinescu Josefina (1962) Contribuții la studiul Miocenului din bazinul Bahna-Orșova și culoul Balta-Beia de Aramă. *D.S. Com. Geol.* XLV, București.
- Moisescu Gertruda (1955) Stratigrafia și fauna de moluște din depozitele tortoniene și sarmatiene din regiunea Buituri (R.P.R.). Ed. Acad. R.P.R. București.
- Moor R. (1960) Treatise on Invertebrate Paleontology, partea I, Mollusca, 1, New York.
- Pop E. (1950) Le bassin néogène Caransebeș entre Poarta et Caransebeș. *C. R. Com. Géol. Roum.* XXVII–XXIX (Résumé), București.
- Sacco F. L. (1872–1904) Molluschi del Piemonte e della Liguria, XXX, Torino.

**Stancu Iosifina, Andreescu Eugenia (1968) Fauna tortoniană din regiunea Rugi-Delnești (bazinul Caransebeșului). Stud. cerc. geol. geof. geogr., ser. Geol. 13, 3, București**

## ASSOCIATION FAUNIQUE DE BALTA SĂRATĂ — DISTRICT DE CARAŞ-SEVERIN

(Résumé)

Dans cette note est présentée la faune tortonienne-badénienne prélevée des intercalations marnaises-argileuses cantonnées entre les couches à charbons de Balta Sărătă, district de Caraș Severin.

On a identifié 36 formes fossiles dont la plupart sont pour la première fois citées dans cette région.

L'association faunique identifiée a permis aussi quelques considérations d'ordre paléo-écologique et biostratigraphique qui ont conduit à conclure qu'elle a vécu dans un milieu à salinité normale et dans une zone littorale à climat chaud.

En la position stratigraphique des dépôts dont on a prélevé la faune citée et leur contenu micropaléontologique (abondance des Globigerines et des Orbulines) ils reviennent au Tortonien inférieur (Badénien). La faune qu'ils comportent peut être parallélisée à celle de la zone de Mehadia Rugi Delnești Bahana, l'Oltenia de NW, Buituri, Lăpușnă, Zorlenț, le bassin Lom (R. P. Bulgarie) et du bassin de Vienne.

## ÎNTREBĂRI ȘI DISCUȚII

**C. Stoica.** În asociatia micropaleontologică în afară de globigerine și orbuline, mai sunt și alte forme care se întâlnesc în Tortonianul superior?

**Viorica Pavnotescu.** Da. Într-adevăr, în afară globigerinelor și orbulinelor sunt prezente și unele forme care de obicei sunt întâlnite în Tortonianul superior. Prezența însă în explozie a globigerinelor, asociate cu orbulinile, sunt astăzi unanim acceptate, în special explozia de *Orbulina suturalis* și *Orbulina universa* ca reprezentând baza Tortonianului inferior. Prezența unor exemplare de radiolari și a unor forme izolate de microfosile care au o dezvoltare mai mare în Tortonianul superior, nu reprezintă un argument care să ne conduce în a atribui aceste depozite Tortonianului superior, deoarece ar infirma ceea ce toți cercetătorii acceptă astăzi (explozia de globigerine și orbuline) ca Tortonian inferior. Prezența radiolarilor în aceste depozite a condus pe Gh. Voicu (1970) la unele concluzii cu care nu putem fi de acord pe motivele săriște, în atribuirea vîrstei acestor depozite la Tortonianul superior, deoarece s-a bazat numai pe anumite forme, ignorând atât microconținutul caracteristic (globigerine și orbuline) cât și aspectul paleogeografic și paleotectonic de ansamblu al bazinului. De altfel formele care sunt citate ca tortoniene superioare, sunt întâlnite și în depozite mai vecni Helvețian sau chiar Burdigalian, chiar radiolarii se întâlnesc mult mai jos.



**Victoria Lubeneșcu.** Fauna prezentată de autori este foarte frumoasă, conține forme rare și reprezentă o contribuție însemnată adusă la descifrarea stratigrafiei Badenianului în bazinul Caransebeș – Mehadia.

**Maria Mărgărit.** Microfauna citată, cuprinzând o asociație bogată de faună tortoniană, este întâlnită și în bazinul Hațeg unde s-a considerat că reprezintă Tortonianul superior întrucât în acest bazin se întâlnește în strate intercalate între calcare de Leitha.

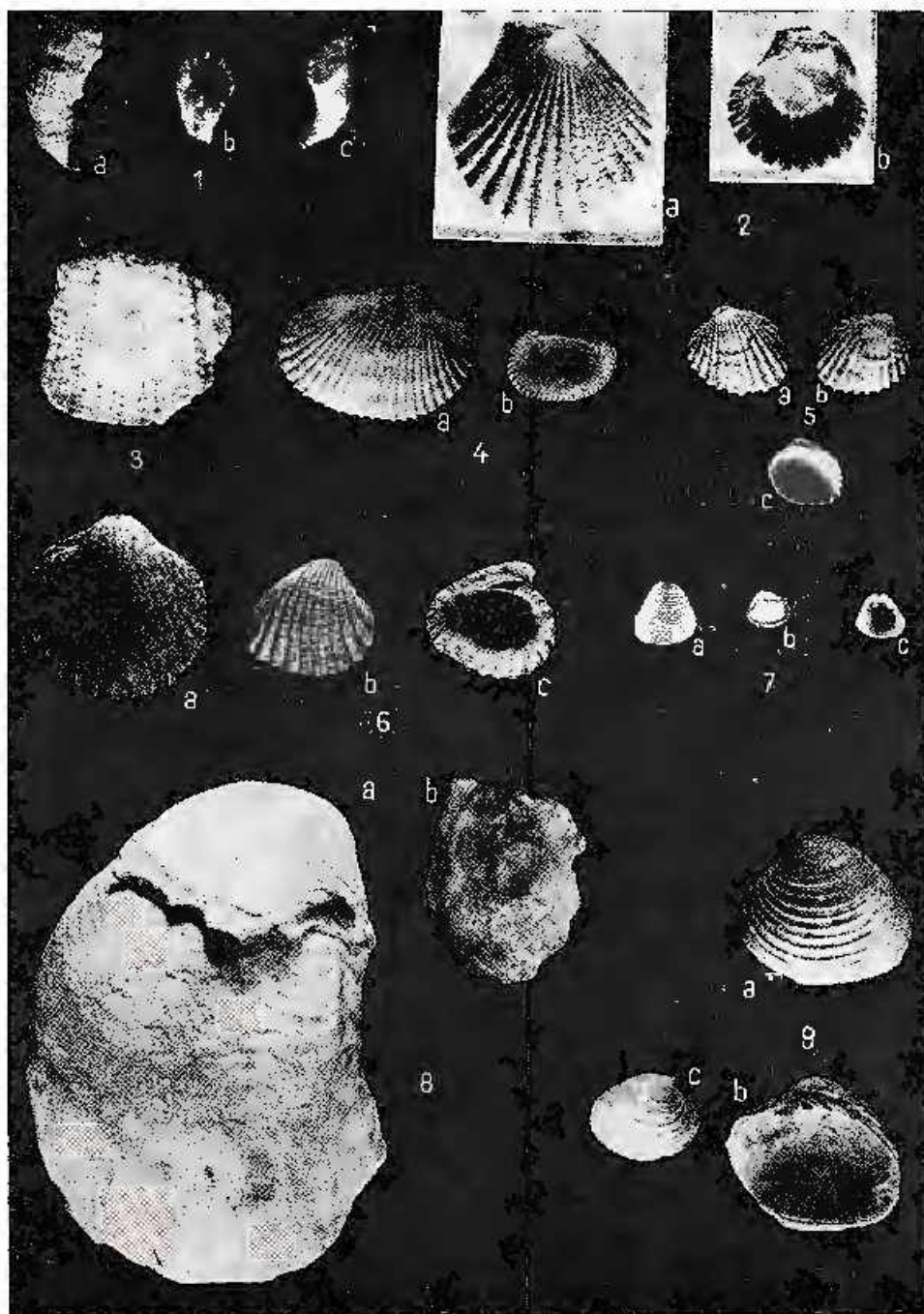
**Gh. Voicu.** Nivelul stratigrafic ce face obiectul comunicării aparține Tortonianului superior (= Badenianului superior) pentru următoarele argumente: conține asociația diagnostică (micropaleontologică) tipică a marnelor cu *Spirialis*. Această asociație încadrează stratigrafic zăcământul de cărbuni din bazinile Caransebeș și Mehadia; prezintă macrofauna tipică a calcarilor de Leitha; bazinile Bahna și Lăpușnic cu care autorii paralelizează nivelul stratigrafic cercetat sunt neîndoelnic tortonian superioare; —stratotipul microfaunei Tortonianului inferior este „tuful de Slănic” și „tuful de Dej” caracterizate prin dominarea formelor planctonice în special Orboline și mareala săracie a formelor bentonice. Nivelul stratigrafic cercetat de către autori nu are această asociație, ci pe aceea a „marnelor cu *Spirialis*”; nivelul cercetat prezintă o macrofaună foarte bogată, macrofauna cal arclor de Leitha, tortonian-superioare. Tuful de Slănic și tuful de Dej, tortonian-inferioare, prezintă o macrofaună foarte săracă cauzată de erupțiile vulcanice care au viciat benthosul.

## PLANSA I

- Fig. 1 a, b, c. — *Caryophyllia (Caryophyllia) vindobonensis* (Reuss).  
Fig. 2 a(x2), b. — *Chlamys senensis lomnickii* Illiger.  
Fig. 3. — *Chlamys (Aequipeclen) spinosa* (Münster).  
Fig. 4 a, b. — *Anadara (Anadara) diluvii* (Lamark).  
Fig. 5 a, b, c. — *Cardita subrugosa* (Friedberg).  
Fig. 6 a, b, c. — *Cardita (Cardiocardita) partschi* Goldfuss.  
Fig. 7 a, b, c. — *Corbula (Varicorbula) gibba* Olivieri.  
Fig. 8 a, b. — *Pycnodonta cochlear navicularis* (Brocchii).  
Fig. 9, a, b, c. — *Venus (Ventricola) multilamella* Lamagck.



VIORICA PAVNOTESCU. Asociația faunistică tortoniană de la Balta Sărătă.  
Pl. I.

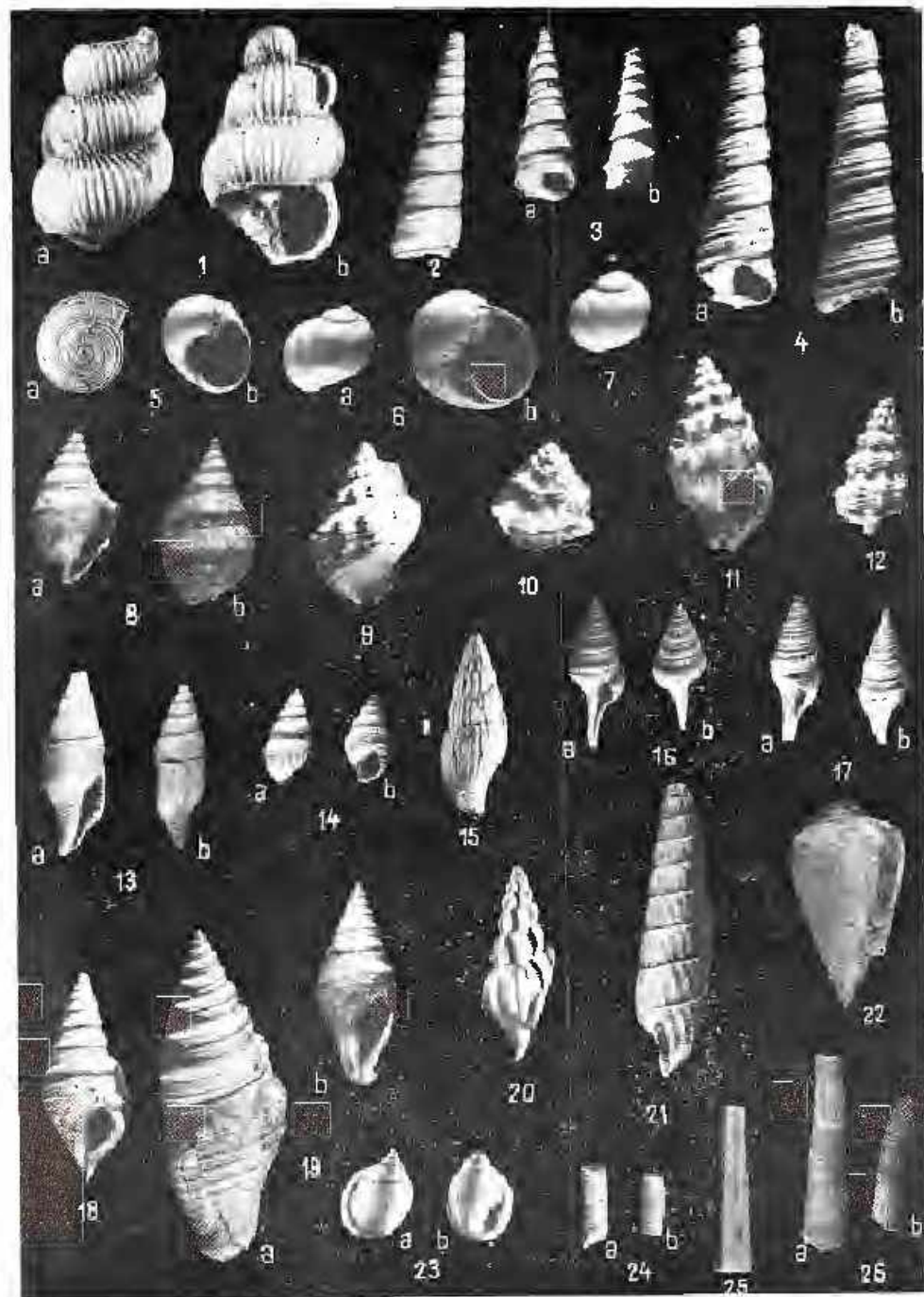


Institutul Geologic. Dări de seismă ale sedințelor, vol. LIX/4.

## PLANSA II

- Fig. 1 a, b(x2). — *Acrilla (Acrilla) kimakowicz* (Böcking er).
- Fig. 2. — *Turritella (Turcicidella) bicarinata bicarinata* Richwald.
- Fig. 3 a, b. — *Turritella (Zaria) subangulata polonica* (Broedberg).
- Fig. 4 a, b. — *Turritella (Archimediella) pythagorica* Elbeker.
- Fig. 5 (x2). — *Architectonica (Architectonica) millegranum* Lamesch.
- Fig. 6 a, b. — *Natica (Lunaria) catena helicina* (Broeck).
- Fig. 7 a, b. — *Natica (Nocca) millepunctata* De France.
- Fig. 8 a, b. — *Aporrhais pespelicani* Linnae.
- Fig. 9 (x2). — *Murex (Hamstellum) portuschi* Hörner.
- Fig. 10. — *Murex et. delbosianus* Gräfe & Guip.
- Fig. 11 (x2). — *Trochis (Cyphonocheilus) fistulosus* (Broeck).
- Fig. 12. — *Fusus ligurianus* Peyron.
- Fig. 13 a, b. — *Murella (Macrurella) nassoides* (Gmelin oup.)
- Fig. 14 a, b. — *Ulinia (Uvula) trimata* Chemnitz.
- Fig. 15. — *Vexillum (Uromitra) egyptianum* (Broeck.).
- Fig. 16 a, b. — *Gemmula coronata* (Maurer).
- Fig. 17, a, b. — *Gemmula annae* (R. Hörner und Anninger).
- Fig. 18. — *Clavatula jordanii* Desmoulin.
- Fig. 19 a(x2). — *Epolix (Balgionia) cataphracta derlogranosa* (Sacco).
- Fig. 20 (x2). — *Hoploma harpalum* (Brown).
- Fig. 21 (x2). — *Terebra vistriata exhibrita* (Sacco).
- Fig. 22. — *Comus (Chelyonius) fusescingulatus* Brown.
- Fig. 23 a, b. — *Reticularia (Ringicula) auriculata* Menard.
- Fig. 24 a, b. — *Dentalium (Antate) pyrenaeum* Schlethelm.
- Fig. 25. — *Dentalium (Dentalium) mirabilis* Höernes.
- Fig. 26 a, b. — *Dentalium (Eudalis) baderense* Pelsch.

VIORICA PAVNOTESCU. Asociația faunistică tortoniană de la Balta Sărătă.  
PL. II.



Institutul Geologic. Dări de scame ale sedințelor, vol. LIX/4.

#### 4. STRATIGRAFIE

### CONSIDERAȚII ASUPRA CRONOLOGIEI PROCESELOR VULCANICE NEOGENE DIN MUNTII CĂLIMANI, GURGHIU și HARGHITA<sup>1</sup>

DE

DAN P. RĂDULESCU<sup>2</sup>

#### Abstract

Comments on the Chronology of Neogene Volcanic Processes in the Călimani, Gurghiu and Harghita Mts. In commenting four absolute age determinations (see Table I) of volcanic rocks the author concludes that (1) the volcanic activity within the three massifs was not simultaneous but more and more recent toward south, and (2) the upper limit of the volcanism does not reach the Pleistocene but remains around the age of  $3, 9 \times 10^6$  years.

Recent au fost executate cîteva determinări de vîrstă absolută a unor roci vulcanice neogene din România (Rădulescu, Pătrășeu, Bellon, 1972); cu toate că selectarea formațiunilor supuse determinării a avut în vedere un obiectiv special, foarte restrîns, rezultatele obținute îngăduie unele observații preliminare asupra cronologiei ansamblului proceselor vulcanice desfășurate în cursul Neogenului în Carpații Orientali.

Rezultatele determinărilor de vîrstă absolută sunt prezentate în tabelul 1; toate probele reprezintă roci complet proaspete. Cele 4 valori de care dispunem permit comentarea, cu precădere, a două probleme: co-relarea proceselor vulcanice desfășurate în cele 3 masive muntoase, Călimani, Gurghiu și Harghita, și limita superioară a intervalului de activitate vulcanică.

<sup>1</sup> Comunicare în ședința din 17 martie 1972.

<sup>2</sup> Facultatea de Geologie-Geografie, Bul. Bălcescu nr. 1, București.



### Corelarea proceselor vulcanice desfășurate în Munții Călimani, Gurghiu și Harghita

Pe baza cunoștințelor geologice actuale, cele 4 determinări de vîrstă absolută permit o primă apreciere asupra relațiilor generale dintre fenomenele desfășurate în cele 3 porțiuni ale lanțului eruptiv, Munții Călimani Gurghiu și Harghita.

În tabelul 2 este prezentată, după ultimele lucrări publicate, succesiunea produselor eruptive în cele 3 porțiuni cu indicarea formațiunilor din care s-au făcut determinări de vîrstă absolută și valorile obținute.

TABELUL 1  
Vîrstă absolută a unor roci vulcanice din Carpații Orientali \*

Nr. probă	Natura petrografică	Punctul de colectare	Vîrstă (milioane ani)
R <sub>28</sub>	Andezit cu augit și hipersten	Pirul Tăieturilor (valea Haitei), Munții Călimani	7,08 ± 0,21
R <sub>461</sub>	Bazalt cu augit și olivină	Confluența valea Ilvei – valea Mureșului, Munții Călimani	7,37 ± 0,66
R <sub>461</sub>	Andezit cu hornblendă verde	Valea Jirca, Munții Gurghiu	6,8 ± 0,4
R <sub>422</sub>	Andezit cu hipersten dominant și augit	Vlăhița, carieră în valea Virghișului, Munții Harghita	3,92 ± 0,2

\* Determinările au fost executate de H. Bellon în Laboratorul de cronologie absolută al Facultății de Științe de la Orsay (D. Rădulescu, Șt. Pătrașcu, H. Bellon, 1972).

Relațiile dintre fenomenele din Munții Harghita și cele din Munții Gurghiu apar cu suficientă claritate deoarece succesiunile de roci din cele două regiuni sunt, practic, identice: andezitele amfibolice sunt, în ambele regiuni, mai vechi decât cele cu augit și hipersten. Poziția celor două puncte de recoltare a probelor în structurile vulcanice respective corespunde acestei relații iar valorile de vîrstă determinate demonstrează justifica interpretării geologice. Părerea autorului este că diferența de la  $6,8 \pm 0,4 \times 10^6$  la  $3,92 \pm 0,2 \times 10^6$  ani — în ipoteza extrapolării de la un masiv la celălalt a fiecărcia din cele două valori de vîrstă — este prea mare pentru a justifica ansamblul de fenomene desfășurate în fiecare regiune între momentul apariției andezitelor amfibolice și cel al apariției andezitelor cu augit și hipersten și că, deci, este foarte probabil că apariția tipurilor petrografice similare nu a fost concomitantă în cele două regiuni; cele două va-

lori de vîrstă par să indice — aşa ca și diverse elemente de ordin geologic — că ansamblul fenomenelor desfăşurate în Munții Harghita este mai recent decât ansamblul fenomenelor desfăşurate în Munții Gurghiu.

TABELUL 2  
Successiunea produselor vulcanice în Munții Călimani, Gurghiu și Harghita\*.

Vîrstă mil. ani	Călimani		Gurghiu	Harghita	Vîrstă mil. ani
	Nord	Sud			
3,92				and. bazaltoid	
	and. bazaltoid + bazalt			and. hipers- ten domi- nant.	3,92
	and. biotit + amfiboli		and. bazal- toid	and. augit + hipersten	
	and. piroxeni super.	and. bazal- toid + ba- zalt	and. augit + hipersten	and. piroxeni + amfiboli	
6,8	and. amfiboli	and. biotit + amfiboli	and. piroxeni + amfiboli	and. hornblendă + biotit	6,8
			and. hornblendă verde	and. hornblendă	
7,08	and. piroxeni infer.	and. pyroxeni	and. horn- blendă brună		7,08
	diorit	and. amfiboli	and. bazaltoid		
7,37	and. piroxeni + amfiboli	diorit	and. piroxeni		7,37
	dacit	and. piroxeni + amfiboli	and. piroxeni + amfiboli		
		dacit	and. amfiboli		

Notă. Este evident că din poziția în tabel a rocilor, cu excepția celor 4 pentru care există determinări (încadrare), nu poate fi dedusă cu exactitate vîrsta lor absolută; poziția lor reprezintă numai o sugestie în ceea ce privește vîrsta absolută.

\*. Tabelul prezintă într-o formă simplificată concluziile lucrărilor citate în bibliografie.



fără însă ca începerea activității din Munții Harghita să fi avut loc, neapărat, după încheierea aceleia din Munții Gurghiu (tabelul 2 nu poate reda astfel de detalii ale relațiilor dintre fenomenele desfășurate în cele 3 regiuni).

Situarea din Munții Călimani este ceva mai greu de interpretat, deși cercetătorii regiunii nordice și cei ai regiunii sudice au ajuns la stabilirea unor succesiuni de produse care corespund foarte bine în liniile lor principale. Poziția formațiunilor a căror vîrstă absolută a fost determinată este foarte clară în cele două succesiuni. Atribuirea celor două vîrste ne duce însă la o situație care, luate ca atare, este puțin verosimilă: andezitele bazaltoide cu  $7,37 \pm 0,66 \times 10^6$  ani ar reprezenta cele mai tinere produse în partea sudică, în timp ce andezitele piroxenice din Pîriul Tăieturilor, cu  $7,08 \pm 0,21 \times 10^6$  ani, s-ar situa în partea inferioară sau mijlocie a succesiunii din zona nordică a Munților Călimani.

Prima alternativă de interpretare, aceea a acceptării aproximativ a celeiași vîrste pentru încecerea activității în partea sudică și pentru partea ei de început în zona nordică nu se pare exclusă (această alternativă este figurată în tabelul 2 între paranteze în coloana corespunzînd părții nordice a Munților Călimani); nu există nici un element geologic care să indice o asemenea diferență între desfășurarea fenomenelor din cele două regiuni ale Munților Călimani.

O a doua alternativă, aceea a acceptării erorii maxime în sensul reducerii valorii  $7,37 \times 10^6$  la cca  $6,7 \times 10^6$  ani, nu se pare puțin probabilă deoarece, echivalind andezitele bazaltice din partea nordică cu cele din partea sudică, s-ar ajunge la concluzia, evident neverosimilă, că aproape întreagă activitate vulcanică din Munții Călimani s-ar fi desfășurat în curs de numai cca  $3,8 \times 10^6$  ani ( $7,08 \times 10^6 - 6,7 \times 10^6$  ani).

Possibilități de interpretare suplimentare există dacă succesiunilor stabilite de cercetătorii celor două regiuni li se aduc unele modificări.

O a treia alternativă apare în ipoteza că, în regiunea nordică, cele două nivele de andezite piroxenice constituie, în realitate, un singur nivel (din punct de vedere cronologic); atunci valoarea  $7,08 \times 10^6$  ani ar corespunde cu poziția superioară a succesiunii și diferența dintre regiunea sudică și cea nordică, în ceea ce privește partea terminală a activității, s-ar găsi în limite acceptabile.

O a patra alternativă ar apărea, în sfîrșit, dacă poziția în succesiune a andezitelor bazaltoide din partea sudică nu-ar fi reală. Singura altă posibilitate ar fi ca ele să facă parte din compartimentul inferior vulcano-sedimentar; în acest caz întreg restul succesiunii de roci din această regiune —

apartinând compartimentului superior — ar trebui să fie mult mai tînăr decit  $7,37 \times 10^6$  ani. O asemenea situație n-ar putea fi corelată însă cu cea din regiunea nordică — nici în cazul existenței unui singur nivel de andezite piroxenice nici în cazul existenței a două asemenea nivele — deoarece deplasind foarte mult spre actual limita superioară a perioadei de activitate din regiunea sudică s-ar crea o diferență prea mare între momentele terminale din cele două regiuni, comparabilă cu cea din prima alternativă sugerată și ea, din acest motiv, inaceptabilă.

Impresia autorului este, în limita cunoștințelor actuale, că cea de-a treia alternativă este cea mai verosimilă. Examinarea hărții și a textului în care au fost definite și separate cele două tipuri de andezite piroxenice (Cosma et al., 1964) nu furnizează elemente care să excludă cu desăvârșire o asemenea interpretare; autorul lucrării de față nu are însă alte elemente pentru susținerea echivalării celor două nivele de andezite și nu poate face, bineînțeles, o afirmație hotărâtă în acest sens.

Acceptarea acestei alternative pentru succesiunea produselor vulcanice din Munții Călimani — ea, de altfel, și eventuala acceptare a alternativei 2 sau, parțial, a alternativei 1 și 4 — conduce și la concluzia că încheierea activității vulcanice aici s-a produs mai timpuriu decit în Munții Gurghiu (andezitele piroxenice la  $7,08 \times 10^6$  ani în Munții Călimani în timp ce la  $6,8 \times 10^6$  ani succesiunea din Munții Gurghiu se găsește abia la andezitele cu hornblendă). În felul acesta se completează argumentarea ideii migrării vulcanismului dinspre nord spre sud; și în acest caz, ca și în cazul Gurghiu-Harghita, perioadele de activitate din cele două regiuni se suprapun parțial, în timp.

#### Limita superioară a intervalului de activitate vulcanică

În discuția asupra limitei superioare a vulcanismului din Carpații Orientali n-au putut fi aduse, pînă acum, decit puține argumente de ordin obiectiv. Două sunt elementele care au fost folosite în acest sens și care au creat — atît la cercetătorii regiunii vulcanice (Peltz, 1969; Peltz, Rădulescu, Vasilescu, Peltz, Peltz, 1964; Rădulescu, Boreoș, 1968) cît și la cei ai formațiunilor quaternare din jurul acestora (Ghenea, 1967; Ghenea, Bandrabur, Mihăilă, Ghenea, Giurgea, 1971; Ghenea, Bandrabur, Mihăilă, 1971; Liteanu, Ghenea, 1966) — impresia că activitatea vulcanică s-a prelungit pînă la începutul Pleistocenului: relativ bună conservare a așezatorilor vulcanice și constatarea unor intercalări de material cineritic în depozitele pleistocene. Recent (Peltz, Peltz,

1970), s-a argumentat chiar continuarea activității pînă în Pleistocenul superior.

În conformitate cu vîrstele absolute discutate în acest articol și cu ideea migrării vulcanismului de la nord spre sud, trebuie să ne așteptăm ca produsele cele mai tinere ale vulcanismului din Carpații Orientali — dacă excludem din considerațiile noastre vulcanismul bazaltic din Munții Perșani — să le găsim în Munții Harghita.

Cea mai mare parte a Munților Harghita — regiunile centrală și nordică — este acoperită de andezite cu augit și hipersten în curgeri largi, practic neaccesate de eroziune; exceptând aparițiile de andezite bazaltoide — corpuri intruzive mici, puțin numeroase — andezitele cu augit și hipersten sunt considerate de toți cercetătorii (Lazăr, Argheir, 1964; Peltz, Peltz, 1964; Rădulescu, Vasilescu, Peltz, Peltz, 1964; Rădulescu, Borcoș, 1968) a reprezenta ultimele produse ale activității vulcanice. În partea centrală a Munților Harghita, din masa andezitelor cu augit și hipersten au putut fi separate forme cu hipersten dominant, eliberate de aparate vulcanice dintr-o a doua generație asociate aparatului vulcanic principal care reprezintă, probabil, o calderă; ele sunt, deci, mai tinere decât restul andezitelor cu augit și hipersten (Rădulescu, 1964).

Proba R<sub>422</sub> provine din curgerea de andezite cu hipersten dominant deschisă în cariera de la est de localitatea Vlăhița; vîrsta sa absolută,  $3,92 \times 10^6$  ani, reprezintă, în consecință, în mod sigur, partea terminală a perioadei de emisiune de magme în cea mai mare parte a Munților Harghita. Andezitele bazaltoide, atât în nordul căt și în sudul Munților Harghita, nu pot să fi apărut mult după acest moment; de altfel, în regiunca nordică ele fac parte chiar din structura aparatului vulcanic Ostoroș (Peltz, Peltz, 1964), așa încît existența unui interval mare de timp între apariția lor și cea a andezitelor cu hipersten și augit este exclusă.

Harta geologică a României 1 : 200 000 (Foia 20, Odorhei, 1968) sugerează pentru andezitele cu amfiboli și biotit din partea sudică a Munților Harghita o poziție cronologică similară (sau superioară) acelei a andezitelor cu augit și hipersten — fără a o argumenta în textul explicativ — în ciuda faptului că ultimii cercetători ai acestei regiuni socotesc andezitele cu augit și hipersten mai tinere (Lazăr, Argheir, 1964). Chiar în alternativa sugerată de harta geologică 1 : 200 000, vîrsta andezitelor cu amfiboli și biotit nu poate fi mai recentă decât cea a andezitelor cu augit și hipersten cu diferențe de ordinul milioanelor de ani.

În concluzie, activitatea vulcanică din cea mai mare parte a Munților Harghita și deci, din lanțul Călimani-Gurghiu-Harghita s-a încheiat în urmă cu cca  $3,9 \times 10^6$  ani; în puține puncte, formarea de roci vulcanice a continuat o perioadă de timp încă nedeterminată — dar, după toate indicațiile scurtă sără nu se atinge, în acest fel, limita Pliocen-Chaternar. În lumina acestor date, interpretarea celor două observații menționate la început trebuie revizuită și apare mai probabil (a) că buna conservare a morfologiei vulcanice se datoră unei intensități foarte scăzute a eroziunii și (b) că nivelele de cinerite din depozitele cuaternare se găsesc în zăcăminte secundar aceea ce, de altfel, este indicat și de faptul, demonstrat de toate cercetările din regiunea vulcanică, că activitatea s-a încheiat cu procese efuzive și nu explozive.

O ultimă observație care se poate face este aceea că, cel puțin pentru Munții Gurghiu și Harghita, interpretarea generală a succesiunii fenomenelor geologice — existența unui compartiment vulcano-sedimentar, născut prin distrugerea unor aparate vulcanice mai vechi, și a unui compartiment superior, acela al suprastructurilor vulcanice astăzi vizibile — se dovedește a fi compatibilă cu perioadele de timp definite de vîrstele absolute: perioada activității vulcanice mai recente fiind de  $3,5 - 4 \times 10^6$  ani (între momentele cca 7,0 și cca  $3,5 \times 10^6$  ani), perioada de activitate mai veche și de eroare a aparatelor vulcanice corespunzătoare poate fi foarte bine concepută și durată cca  $5 \times 10^6$  ani, între începutul Phocenului (limita Miocen-Pliocen la  $12 \times 10^6$  ani) și momentul cca  $7,0 \times 10^6$  ani în urmă.

#### BIBLIOGRAFIE

- Cosma S., Teodoru I., Teodoru Camelia (1964) Contribuții la cunoașterea geologică Munților Călimani de nord și Birgău de sud. *D. S. Inst. Geol. L/2*, București.
- Ghenea C. (1967) Prezența unui tuf vulcanic în Villafranchianul din depresiunea valahă. *St. tehn. econ.*, II, 3, București.
- Bandrabur T., Mihăilă N., Ghenea Ana, Giurgea P. (1971) Notă explicativă la Harta cuaternarului din România 1:1 000 000, Inst. Geol. București.
  - Bandrabur T., Mihăilă N. (1971) Guidebook for Excursion INQUA, Prahova Valley — Brașov Bassin, Inst. Geol. București.
- Lazăr Arcelia, Arghir Adela (1964) Studiul geologic și petrografic al erupțiunii neogen din partea de sud a munților Harghita. *D. S. Inst. Geol. L/2*, București.
- Liteanu E., Ghenea C. (1966) Cuaternarul din România *St. tehn. econ.* H. 1, București.
- Peltz S. (1969) Studiul petrografic al părții de sud-est a munților Călimani. *St. tehn. econ.*, I, 4, București.



- Peitz Margareta (1964) Contribuții la cunoașterea aparatului vulcanic Ostoros (munții Harghita). *D.S. Inst. Geol.* L/1, București.
  - Peitz Margareta (1970) Contribuții petrografice și paleovulcanice la cunoașterea părții de sud-vest a munților Gurghiu. *D. S. Inst. Geol.* LVI/1, București.
  - Rădulescu D. (1964) Contribuții la cunoașterea structurii geologice a părții centrale a munților Harghita. *D. S. Inst. Geol.* L/2, București.
  - Vasilescu Al., Peitz S., Peitz Margareta (1964) Contribuții la cunoașterea structurii geologice a munților Gurghiu. *An. Com. Geol.* XXXIII, București.
  - Borcoș M. (1968) Aperçu général sur l'évolution du volcanisme néogène en Roumanie. *Ann. Com. Géol.* XXXVI, București.
  - Pătrașcu St., Bellon H. (1972) Pliocene Geomagnetic Epochs : New Evidence of Reversed Polarity around the Age of 7 my. *Earth & Planetary Science Letters*, 14/1.
- x x x Harta geologică a României 1 : 200 000, Foaia 20 Odorhei, 1968, București.

## CONSIDERATIONS SUR LA CHRONOLOGIE DES PROCESSUS VOLCANIQUES NÉOGÈNES DES MONTS CĂLIMANI, GURGHIU ET HARGHITA

(Résumé)

En examinant à la lumière des connaissances géologiques existantes quatre déterminations d'âge absolu (tab. 1) effectuées sur des roches volcaniques néogènes des Monts Călimani, Gurghiu et Harghita, deux idées s'en détachent sur cette région.

Les processus volcaniques ne se sont pas déroulés simultanément dans les trois massifs montagneux. Le volcanisme a avancé du N au S, la partie terminale de la période de manifestation dans une région septentrionale correspondant au début de la période des manifestations dans la région adjacente située au S.

L'achèvement de l'activité volcanique (dans les Monts Harghita et par conséquence dans l'ensemble de la chaîne volcanique) a eu lieu il y a environ  $3,5 \times 10^6$  années, fait démontré par l'âge de  $3,92 \times 10^6$  années obtenu pour les derniers produits volcaniques dans la plus grande partie des Monts Harghita. Après ce moment, l'activité volcanique n'a été que de courte durée, insignifiante pour établir la limite supérieure du volcanisme dans cette région.



#### 4. STRATIGRAFIE

### INFORMARE ASUPRA „REUNIUNII A V-a A GRUPULUI DE LUCRU PENTRU PARATETHYS — MAI-JUNIE — 1972 — ROMÂNIA

DE

FLORIAN MARINESCU<sup>1</sup>, MUŞAT GHEORGHIAN<sup>1</sup>

În perioada 29 mai — 8 iunie a avut loc în România a V-a reuniune a Grupului de lucru pentru Paratethys.

Organizarea reuniiunii în România a fost propusă în 1970 la Viena, la cea de a III-a reuniune a grupului pentru Paratethys.

Grupul de organizare a cuprins următorii specialiști: I. Andreescu<sup>1</sup>, Doina Gheorghian<sup>1</sup>, M. Gheorghian<sup>1</sup>, Fl. Marinescu<sup>1</sup>, L. Mirza<sup>2</sup>, I. C. Motăș<sup>1</sup>, T. Orășanu<sup>1</sup>, I. Paparianopol<sup>1</sup>, Gh. Popescu<sup>1</sup>, A. Rusu<sup>1</sup>, N. Suraru<sup>2</sup>. Pentru completarea unor date paleontologice au mai colaborat Josefina Stancu<sup>1</sup> și R. Olteanu<sup>1</sup>.

În afara membrilor Grupului de lucru pentru Paratethys, la această reuniune au fost invitați și alți specialiști din Austria, Bulgaria, Cehoslovacia, Jugoslavia, Polonia, Ungaria, URSS precum și din alte țări care, la Colocvinul Neogenului Mediteranean de la Lyon — 1971 și-au exprimat dorința de participare.

Reuniunea a debutat cu o zi de ședințe la Cluj, a continuat cu 7 zile în care au fost parcursi 2 600 km-excurse prin țară și s-a încheiat cu 3 zile de discuții la București. La ședințele de la Cluj și București și la excursie au participat cîteva grupe de specialiști din țară: de la Centrala Industrială a Gazului Metan — Mediaș, Institutul de Cercetări pentru Petrol — Cîmpina, Institutul de Petrol-Gaze și Geologie din București, Întreprinderea Geologică de Prospecții — București, Întreprinderea de Prospecții Geologice și Geofizice — București, Universitatea Babeș-Bolyai — Cluj,

<sup>1</sup> Institutul Geologic, Șos. Kiseleff nr. 55, București.

<sup>2</sup> Catedra de Geologie, Universitatea din Cluj, Str. Kogălniceanu Cluj.

Universitatea din Bucureşti și Universitatea Al. I. Cuza din Iaşi. Numărul participanților s-a ridicat la 99 de persoane, a căror listă nominală este anexată lucrării.

### Deschiderea reuniunii

Reuniunea a inceput la Cluj, în ziua de 29 mai 1972, în aula Nicolae Iorga a Universității Babeș-Bolyai, cu cuvintele de salut ale Prof. Dr. Doc. S. t. Pascu — rectorul Universității din Cluj, M. Bleahu — director adjunct științific al Institutului Geologic din București și A. Pop — din partea Grupului de lucru pentru Paratefphys. Au urmat scurte prezentări ale Neogenului din România, expuse de I. O. Motas — pentru Mioceneul inferior-mediu și de F. L. Marinescu pentru Sarmatian și Pliocen. Programul reuniunii de la Cluj a continuat cu vizitarea colecțiilor de geologie și de mineralogie a Universității.

### Excursia

În continuare a urmat excursia științifică, ce s-a desfășurat în perioada 30 mai-5 iunie. În cadrul excursiei au fost vizitate profile deschise în depozitele neogene din Transilvania, Banat, Oltenia și Muntenia. Organizarea administrativă a excursiei a fost preluată de către Oficiul Național de Turism, iar partea științifică a revenit grupului de organizare a cărui componentă a fost prezentată mai sus.

În timpul excursiei participanții au analizat profilele prezentate, au colectat fosile și probe micropaleontologice și au discutat, atât la față locului cit și în timpul deplasărilor de la o oprire la alta, confruntindu-si opiniiile.

În prima zi de excursie a fost parcurs traseul Cluj-Baciu-Sișeaua-Zimbor-Hida iar la înapoiere s-a intrat pînă la Coruș. În această primă zi au fost examineate depozitele egeriene-stratelor de Zimbor pe pîrîul Sîntic-Zimbor și stratele de Sînmihai pe valea Măgura în comuna Sînmihai-Almașului; depozitele eggenburgiene — nisipurile de Coruș la localitatea tip și argilele de Cherchiș de la dealul Cornș; depozite eggenburgian-otnangiene — stratele de Hida de la localitatea tip precum și depozitele badeniene — strate de Ciceu-Giurgești la Popești-Cluj.

Traseul celei de a doua zi de excursie a trecut prin Gherla-Dej și înăpoi, apoi Cluj-Turda-Alba Iulia-Sibiu. Pe acest traseu au fost examineate: depozite de vîrstă eggenburgian-otnangiiană — strate de Hida; depozite de vîrstă oligoceană — eggenburgiană — strate de Bîzusa, de Ilieanda și

de Buzaș în facies marnos precum și depozite de vîrstă karpatiană-badeniană — strate de Ciceu-Giurgești și tuful de Dej; iar în drum spre Turda — depozite badeniene cu celestină și gips.

Traseul celei de a treia zi de excursie a început la Sibiu-Răsinari apoi prin Deva-Caransebeș-Reșița. Au fost examineate depozite badeniene la Răsinari și Lăpușnic; depozite sarmatice la Răsinari și Soceni și depozite pannoniene la Soceni.

În ziua a patra de excursie s-a plecat de la Reșița spre Turnu Severin prin Soceni-Caransebeș-Mehadia-Orșova. Au fost examineate deschideri în depozite de vîrstă badeniană-pontian inferioară, cu opriri la Bolnișoara (7 km de Caransebeș), Gura Văii (Orșova), Breznița, Jidoștița, Valea Morilor (Turnu Severin).

Ziua a cincea de excursie a început la Turnu Severin, excursia trecând prin Tîrgu Jiu și Rimnicu-Vilcea. Au fost examineate deschideri în care aflorează depozite de vîrstă badeniană, pontiană și daciană cu opriri la Ilovăț, Valea Berii-Șișești de Sus, Piștești, Valea Mare-Bengești, Ciocadia, Dealul Tuțurului-Buleta.

În ziua a șasea excursia a avut traseul Cozia-Pitești-Tîrgoviște-Cimpina-Ploiești. Au fost examineate deschiderile în depozitele egerian-badeniene din lungul văii Prahova în regiunea Breaza-Cîmpina.

Ziua a șaptea de excursie a avut o modificare de program. Traseul urmat a fost Ploiești-Buzău—vizitarea vulcanilor noroioși de la Berca-Pielele Mari, regiune declarată rezervație naturală.

Programul excursiei realizate a coinește aproape întru totul cu cel propus și descris în ghidul excursiei (1972). Excepție face ultima zi cînd, din cauza lucrărilor la unul din podurile șoselei dintre Buzău și Vîntilă Vodă circulația a fost întreruptă impiedicindu-se în acest fel examinarea Pliocenului din lungul Slănicului de Buzău.

### Şedințele de lucru — Discuții și concluzii

În scopul de a cîștiga timp pentru discuțiile cu caracter științific de la București, în timpul excursiei, în seara zilei de 4 iunie, a avut loc la Ploiești o primă ședință de lucru, privind publicațiile din seria Chronostratigraphie und Neostratotypen.

În această ședință Dr. J. Senec a anunțat că volumul asupra Sarmatianului este deja încheiat și trimis la tipografie, urmînd să înceapă pregătirile pentru redactarea volumului asupra Egerianului.

Pentru acest volum, la care colaboră deja specialiști din Austria, Cehoslovacia și Ungaria, s-a propus că din România să fie prezentate 3—4

profile de referință din deschideri naturale din diverse regiuni ale țării și în diverse faciesuri. Din discuții s-au ales următoarele profile: stratele de Zimbor și de Siumihai din NW Transilvanie; stratele de Valea Lăpușului — faciesul intermediar al straturilor de Vima, din nordul Transilvaniei, formațiunea de Tîlmaciu din sudul Transilvaniei; bazinul Petroșani. De la exteriorul Carpaților nu a putut fi ales un profil reprezentativ, deoarece depozitele egeriene din aceea regiune au fost resedimentate în Eggenburgian (orizontul breciei sedimentare din formațiunea de Cornu). Au fost stabiliți responsabilul pentru România (N. Suraru — pentru problemele de coordonare a datelor de stratigrafie și descriere a profilelor) și pentru unele grupe paleontologice (Bekke Baldi — Moluște; I. Ciecha — Foraminifere; C. Lebenson — nannoplancton). Circulara privind organizarea lucrului pentru acest volum va fi difuzată de către redactorul coordonator al volumului, Dr. Ján Seneš.

În zilele de 6 — 8 iunie au avut loc, în incinta bibliotecii Institutului Geologic din București, ședințele de lucru ale Grupului pentru Paratethys.

*6 iunie* — în timpul dimineții s-au discutat problemele legate de corelarea formațiunilor Miocenului inferior și mediu (Egerian—Badenian) din România, cu cele din Paratethysul central. La discuții au luat cuvântul Dr. I. Ciecha, Prof. G. Demareq, Dr. Doina Gheorghian, Dr. M. Gheorghian, Dr. Mariana Iva, Prof. A. Papp, Dr. Gh. Popescu, Dr. J. Seneš, Dr. N. Suraru. A fost prezentată o scară cronologică a foraminiferelor bentonice în paralel cu cele planctonice.

Întrucât s-au exprimat pe de o parte opinii deosebite privind scară cronostratigrafică a Miocenului pre-badenian din Paratethys, iar pe de altă parte dorința de a se examina material micropaleontologic, s-a propus ca discutarea acestor probleme și examinarea la microscop să se continue în cadrul unui grup restrins de către cei interesați.

În după amiaza zilei de 6 iunie, lucrările reunii au continuat cu discuții asupra părții superioare a Miocenului și asupra intervalului de la limita Miocen-Pliocen. Problemele limitei Miocen-Pliocen nu au intrat în discuție, toți specialiștii fiind de acord că această chestiune depășește cadrul grupului de lucru pentru Paratethys, ea trebuind să fie discutată la scară globală.

O discuție amplă a avut loc asupra conținutului Sarmatianului și asupra termenului intercalat între Sarmatian (sensu Süss) și Pannonian. Tinind cont de prioritate (Süss, 1866) s-a recomandat păstrarea denumirii „Sarmatian” pentru intervalul cuprins între Badenian și Pannonian (sau echivalentele acestuia). Acest etaj cuprinde astfel Volhynianul și Bes-

sarabianul inferior (— stratele cu *Cryptomactra* sau echivalentele sale, anterioare nivelelor în care apar faunele cu congerii și melanopside din bazinele dacic și euxinic). Păstrarea în Euxinia a sensului mai larg al Sarmatianului este o chestiune de convenție locală, dar este necesară precizarea că nu este vorba de Sarmatian s. str. Din disenții a reieșit clar că această delimitare în cuprinsul Bessarabianului este marcată și de modificări ale faunelor, nu numai de cardiacii, dar și a altor moluște, precum și a foraminiferelor. Gh. Voicu a subliniat importanța formelor de „*Sphaeridă*” pentru corelările ce pot fi făcute în Sarmatian, atrăgind atenția că opiniaza a le încadra din punct de vedere sistematic la Misidae, ele fiind statolite.

Pentru intervalul următor, cuprins între Sarmatian s. str. și Pontian, este utilă folosirea unei denumiri comune, cel puțin pentru Paratethysul central. Necessitatea adoptării acestui nume apare evidentă mai ales acolo unde, în cadrul aceluiași teritoriu se găsesc terenuri neogene aparținând mai multor arii cu evoluție deosebită (pannonică, dacică, euxinică). Această necesitate apare evidentă mai ales pe teritoriul României și din acest motiv denumirea de Malvensian apare ca deosebit de utilă. S-a atras atenția că denumirea a fost aleasă în mod intenționat din bazinul dacic, regiune intermedieră între Pannonia și Euxinia, tocmai pentru a sublinia posibilitățile de corelare între aceste regiuni. Termenul de Pannonian, folosit încă și azi în cele două sensuri (cel inițial, al lui Roth von Teltz și redifinit de Lorenz, și sensul restrins dat de P. Stevanović), reprezintă mai mult denumirea unui facies particular al depozitelor neogene postsarmatiene din bazinul pannonic. Utilizarea în continuare a denumirii de Pannonian în sensul său larg (Austria, Cehoslovacia, Ungaria) sau adoptarea uneia din termenii echivalenți — Pannonian sens restrins (în Jugoslavia) ori Malvensian (propus de România) — în domeniul pannonic rămîne o chestiune de opțiune, dar se recomandă specialiștilor de a face efortul de a adopta un limbaj comun și să fie mai util posibilităților de corelare cît mai largă.

În acest fel Malvensianul, sinonim cu Pannonianul în sens restrins (Stevanović, 1961), cuprinde pe de o parte Slavonianul iar pe de altă parte Bessarabianul superior, Kersonianul și Meotianul. O corelare mai exactă a acestor subdiviziuni utilizate de cele două părți ale Carpaților, nu este încă posibilă, dar rezultatele studiilor asupra moluștelor și mai ales asupra ostracodelor oferă numeroase speranțe pentru viitorul apropiat.

Acstea păreri au fost susținute de Prof. A. Pop, Prof. Emilia Săulea, Dr. R. Jíříček, Dr. Fl. Marinescu, Dr. Florica

Negoită. O părere deosebită a prezentat Dr. Emilia Kojunski - eva care a susținut că Pannonianul în sens restrâns este aproape în întregime echivalent Meotianului.

În ziua de 7 iunie discuțiile au continuat asupra Pontianului, Dacianului și Romanianului.

S-a conchis că Pontianul este etajul Pliocen ale cărui depozite pot fi cel mai ușor corelate în cuprinsul Paratethysului. Baza sa este marcată de faunele cu *Congeria ungulacapras*, în Pannonia, primele apariții ale speciei *Paradaena abichi*, în bazinul dacic și Euxinia (echivalent stratelor superioare ca abichi din Pannonia), uneori asociată cu *Didaena strophora* și *Congeria digitifera*, sau cu primele nivele cu *Prosodacna littoralis* (în Euxinia și o parte din bazinul dacic). Limita superioară este dată de primele *Pachydaene* din Dacian sau Cimmerian. Subdiviziunile Pontianului sunt Odessian, Portaferrian și Bosphorian.

Discuții mai ample s-au purtat asupra denumirii subdiviziunii inferioare a Pontianului. Dr. V. Semenenko a recomandat denumirea de Novorossian, ea fiind mai veche (1897), ea aparținând lui Sokolow. În acest fel accepțiunea dată Novorossianului de către N. Andrussov, ca intervalul care cuprinde Pontianul inferior și mediu, pînă la Bosphorian, ar fi mai recentă (1917). În acest sens s-a redactat și tabelul de corelații din concluziile reuniiunii. Discuțiile duse ulterior de I. C. Motas, I. Andreescu și I. Paiașopol en V. Semenenko și revederea datelor de bibliografie au arătat că de fapt Sokolow împărtea Pontianul în trei subdiviziuni, dar fără să le fi denumit. Denumirea de Novorossian aparține lui Andrussov (1917) și cuprinde primele două subdiviziuni ale lui Sokolow (inelusiv stratele cu *rhomboidea* sau echivalentele sale). În acest fel este recomandabil păstrarea sensului dat de Andrussov pentru prima parte a Pontianului, pînă la Bosphorian, iar pentru Pontianul inferior (cuprins între baza Pontianului și stratele cu *Congeria rhomboidea* sau echivalentele sale) să se folosească numele propus recent (Măcovici, Marinescu, Motas, 1965) de Odessian.

Portaferrianul este intervalul Pontianului cu conținutul cel mai uniform de faună din întregul Paratethys și cu aria cea mai mare de răspîndire. El marchează momentul de maximă extensiune a depozitelor pontiene și cuprinde formațiunile cu *Congeria rhomboidea*, *C. balatonica*, *C. triangularis*, *Prosodacna carbonifera*.

Bosphorianul, subdiviziunea superioară a Pontianului, reprezintă un interval în care fauna o continuă pe cea portaferiană dar mai săracită.

În bazinul pannonic nu sunt cunoscute din Pontian decât Odessianul și Portaferianul, echivalentul Bosphorianului găsindu-se probabil în baza stratelor inferioare cu paludine.

Următorul interval stratigrafic discutat a fost Dacianul. Numele său dat de T e i s s e y r e (1906) are prioritate asupra Kimmerianului (A n d r u s s o w , 1907), numai că sinonimia lor nu poate fi considerată perfectă din cauza penuriei de date care să permită o echivalare exactă a limitelor superioare ale celor două subdiviziuni. Echivalentul pannonic al Dacianului se află tot în stratele inferioare cu paludine. În bazinul dacic, Dacianul a fost împărțit în două subdiviziuni. Dacianul inferior — Gețianul, caracterizat în special prin *Pachydaena*, având extinderea cea mai mare, și superior — Parsecovianul, mai restrâns ca arie de răspândire și caracterizat prin prezența genului *Prosodacna* (*Psilodon*) și a genurilor *Horiadaena* și *Limnodaena*. În bazinul Euxinic Kimmerianul cuprinde trei subdiviziuni, din care cea inferioară, Azovianul, corespunde aproximativ Gețianului, fără însă ca limitele lor superioare să coincidă. În acest fel Camischburianul și Panticapaeanul, subdiviziunile următoare, conținând prosodaene mari de tip *macrodon*, se pot corela cu aproximativ cu Parsecovianul. Un facies îndulcit al Kimmerianului este reprezentat prin stratele de Dună.

Următoarea temă discutată a fost ultimul termen al Pliocenului. În bazinul dacic el este reprezentat prin etajul Romanian, caracterizat prin apariția speciei *Unio sturdzae* în bază și prin abundența speciilor *Viviparus bifascinatus* și *V. stricturatus*. Prezența, în stratele medii cu paludine din sudul bazinului pannonic a acelorași specii de *Viviparus* deschide perspectiva corelării acestor depozite cu cele din România. Același lucru s-a remarcat și în ceea ce privește faunele din Kujalnikian. Din aceste motive se recomandă studierea aprofundată a unionidelor și viviparidelor din aceste depozite. În acest fel se speră să se poată aborda corelarea cătă mai exactă a stratelor medii și superioare cu paludine — cu Romanianul și a acestuia cu Kujalnikianul. Deoarece nici limita inferioară a acestor etaje locale și cu atit mai puțin cea superioară (care este funcție de hotărîrea că se va adopta cu privire la limita Pliocen-Pleistocen) nu pot fi bine corelate, deocamdată nu se poate recomanda folosirea unui termen stratigrafic unic. Din acest motiv s-a conchis că deocamdată pentru Pliocenul superior să se continue folosirea denumirilor locale, problema nomenclaturii rămânind deschisă. Pentru rezolvarea acestei probleme este imperios necesară aprofundarea studiului faunelor de moluște și de ostracode din intervalul Pliocenului superior.

La discuții au luat cuvintul: Nadežda Gagić, Elisabeta Hanganu, R. Jiříček, G. Karatishvili, Fl. Marinescu, I. C. Moataș, Vl. Semenenko, Ana Sokac, P. Stevanović. Trebuie reținută intervenția colegilor Ana Sokac și și Nadežda Gagić, care pe baza unor studii asupra ostracodelor au remarcat că stratele cu paludine pot reprezenta Pleistocenul, Plioceneului revenindu-i cel mult partea lor inferioară. Problema rămâne încă deschisă mai ales că este necesar un studiu comparativ și în bazinul dacic, asupra depozitelor daciene și romaniene, mai ales că în acest fel se abordează și problema limitei inferioare a Pleistocenului.

### **Lucările grupului de micropaleontologie**

Sedintele secțiunii au început în ziua de 6 iunie după amiază și au continuat și în ziua de 7 iunie (dimineață și după amiază). Ele au avut un caracter de lucru (examinarea preparatelor la microscop) și de discuții — schimburile de păreri.

Au luat parte: R. Brzobohaty<sup>4</sup>, I. Cicha, M. Holznacht, și R. Jiříček<sup>5</sup> (Cehoslovacia), Fr. Rögl (Elveția); Adela Bistricei, Nadežda Gagić<sup>6</sup>, Vera Marcović, Danica Matišin, Slavica Muldini-Mamuzić, Ana Sokac<sup>6</sup> (Jugoslavia); G. Bombiță, Constanța Corobei, Cornelia Cornea, Doina Gheorghian, M. Gheorghian, Elisabeta Hanganu<sup>6</sup>, Mariană Iva, Florica Negoiță<sup>6</sup>, R. Olteanu<sup>6</sup>, Gh. Popescu, Josefina Stancu<sup>6</sup>, Maria Suraru, N. Suraru (România).

Au fost prezentate succesiv în cadrul celor trei ședințe de lucru de la Institutul Geologic, următoarele categorii de preparate:

1. Colecția de tipuri de foraminifere planctonice (H. M. Bölli — Fr. Rögl, Elveția).
2. Colecția de asociații de foraminifere miocene din bazinul Vienei (I. Cicha — Fr. Rögl, Cehoslovacia-Elveția).
3. Colecția de foraminifere din stratele de Gostila, stratele de Chichiș și stratele de Hida (Gh. Popescu, România).
4. Colecția de microfaună din depozitele miocene (Egerian — Ottomanian) din nordul Transilvaniei (Mariană Iva, România);

<sup>4</sup> Un grup restrins (R. Brzobohaty și Josefina Stancu) a discutat asupra ostracodelor.

<sup>5</sup> Grupul de specialiști în ostracode a lucrat separat; materialul cercetat a fost pus la dispoziție de Elisabeta Hanganu, Florica Negoiță și R. Olteanu.



5. Colecția de specimene de *Cyclammina* în secțiuni (Miocen, G. h. Popescu, România).
6. Colecția de asociații micropaleontologice din profilul tip al formațiunii de Tălmaciu (Egerian-Eggenburgian) din sudul Transilvaniei (M. Gheorghian, România).
7. Asociații microfaunistice din depozitele badeniene — sarmatiene din sudul Transilvaniei (Doina Gheorghian, România).
8. Asociații microfaunistice de la Lăpușiu de Sus-Hunedoara (Doina Gheorghian, România).
9. Asociații microfaunistice din stratele de Cicou-Gurgești și din formațiunile suprajacente din nordul Transilvaniei (Karpatian-Sarmatian) (G. h. Popescu, România).
10. Asociații și tipuri de foraminifere din Miocenul Subcarpațiilor din Moldova (Constanța Corobeia — Cornelia Cornea, România).
11. Asociații de microforaminifere și Miogypsine din profilul tip al stratelor de Cornu din Subcarpații Munteniei (G. Bombiță — M. Gheorghian, România).
12. Asociații și tipuri de osiracode din Sarmatian — Pliocen din Muntenia și depresiunea getică (Elisabeta Hanganu, România).
13. Asociații de ostracode din Sarmatian — Pliocen de la exteriorul arcului Carpatie (Florica Negoiță, România).
14. Asociații și tipuri de ostracode din Sarmatian — Pliocenul de la exteriorul arcului Carpatie și din Pannonianul din Transilvania și depresiunea pannonică (R. Olteanu, România).
15. Asociații de otolite din depozitele sarmatiene din România (J. o. sefina Stanca, România).

Din examinarea materialului micropaleontologic și din schimbul de opinii avut, se desprind următoarele :

— În privința microfaunei de foraminifere :

1. Specimenele determinate în România (M. Gheorghian) ca *Globigerinoides quadrilobatus*, reprezentă (după F. r. Rögl și I. Ciech) subspecia *Gl. quadrilobatus primordius*, caracteristică Egerianului și totodată zonei N<sub>4</sub> din scara microbiostratigrafică internațională.
2. Formațiunca de Tălmaciu conține numeroase forme încă nedescrise de *Uvigerina*, momentan neîntîlnite în alte locuri din Paratethys. S-a recomandat studierea și descrierea lor.

3. Profilul de la Tălmăcel, care cuprinde depozite în facies marin foarte bogate în microfaună, va fi inclus ca faciostratotip în volumul asupra Egerianului din seria Chronostratigraphie und Neostratotypen.

4. Eggenburgianul din sudul Transilvaniei este bine reprezentat microfaunistic și perfect coreabil cu cel din Cehoslovacia și Austria.

5. Specimenele determinate în România (Constanța Corobeia, Cornelia Cornea, M. Gheorghian) drept *Cata-psidrax dissimilis* (din zona cu *C. dissimilis* din bază Miocenului) nu sunt forme tipice, fapt remarcat și în alte regiuni din Paratethys. Din acest motiv rămîne ca zona să fie păstrată numai pentru bioprovincia mediteraneană și în nici un caz pentru Paratethys.

6. Exemplarele determinate în România (Mariana Iva, M. Gheorghian) drept *Globigerina pachiderma* sunt foarte asemănătoare cu tipul speciei care provine din Pleistocenul marin. Problema care se ridică și care rămîne de studiat este dacă această specie nu a fost semnalată pînă în prezent și în sedimente mai vechi decît Pleistocenul, deoarece specimenele din România provin din depozite de vîrstă eggenburgiană.

7. Este util să se insiste asupra studiului microfaunelor ce indică Ottiungianul (Constanța Corobeia, Cornelia Cornea) la exteriorul arcului carpatic.

8. Este necesară aprofundarea studiului micropaleontologie asupra Karpatianului din România, microfauna acestui interval fiind deocamdată puțin concludentă.

9. Zonele microfaunistice din Badenianul românesc și cele din Sarmatiul sunt perfect coreabile cu cele din restul Paratethysului central.

10. În privința microfaunei de la Lăpușna-Hunedoara s-a exprimat opinia (Fr. Rögl și I. Cicha) că aceasta ar reprezenta Badenianul inferior pe baza prezenței speciei *Uvigerina macrocarinata* Papp și Turnovskii. Rămîn de revizuit macro- și microforaminiferele din associație (*Heterostegina*, *Borelis*, *Alveolina* și foraminiferele planctonice) pentru a se putea conchide definitiv asupra vîrstei (Badenian inferior sau superior).

— În privința microfaunei de ostracode:

11. S-a confirmat opinia exprimată de Elisabeta Hanganu asupra migrării faunelor de la est la vest în timpul Miocenului superior și a Pliocenului.

12. Schimbul de păreri între specialiștii români și cei jugoslavi a arătat că associația cu Cypridiidae din Malvensian (Meotianul) din domeniul dacie nu apare în Jugoslavia.

13. Asociațiile de ostracode din Pontianul din România sunt perfect corelabile cu cele din Paratethysul oriental.

14. Asociația de ostracode din Pannonianul din Transilvania și Banat sunt perfect corelabile cu cele din Jugoslavia și Ungaria.

15. Se recomandă intensificarea studierii ostracodelor din depozitele malvensiene din bazinele pannonic și dacic pentru punerea la punct a corelării acestor formațiuni care cuprind numeroase puncte comune (R. Jiříček și R. Olteanu).

16. S-au exprimat puncte de vedere diferite în privința încadrării taxonomică a unor genuri și specii de ostracode (Elišabeta Hauganu România — Nadežda Gagić, Ana Šokac, Jugoslavia)

— În privința resturilor de pești:

17. S-a remarcat existența unor specii ce pot fi considerate index pentru Sarmatian (*Argentina rumana*, *Gadus ? minusculoides*, *Atherina austriaca* etc.).

18. Fauna ihtiologică sarmatiană este deosebită de cea din Badenian prin: a) absența rechinilor; b) abundența clupeidelor, gădiidelor și gobidelor; c) mictphiidele, de fapt forme stenohaline sunt încă prezente numai în Sarmatianul inferior din Jugoslavia și România;

19. Fauna ihtiologică din partea de NW a Paratethysului central (bazinul Venei, al Slovaciei de est și al Dunării mijlocii) prezintă semnele unei îndulciri mai accentuate decât regiunile sudice și estice.

Ziua de 8 iunie nu a fost ocupată de ședințe de lucru decât dimineața. Conform programului, Dr. I. Andreeșeu a făcut o succintă prezentare a discuțiilor privind limita Pliocen-Pleistocen, discuții care au avut loc în cadrul coloquiului din URSS, prezintând totodată modul cum se pune această problemă în țara noastră.

În încheiere au fost prezentate pe scurt rezultatele discuțiilor care s-au purtat între specialiștii micropaleontologi și au fost reamintite problemele discutate în cadrul comisiei de stratigrafie — paleontologie, rezultatele discuțiilor fiind prezentate în tabelul alăturat. Trebuie subliniat că acest tabel reprezintă recomandările care au rezultat din discuțiile purtate, el putind constitui baza de plecare a altor discuții ulterioare.

În numele comitetului de organizare ne facem o datorie din a mulțumi tuturor acelora care au colaborat entuziasmat și desinteresat la realizarea reuniunii în condiții optime.

Mulțumim conducerii Institutului Geologic pentru solicitudinea și sprijinul pe care ni l-a acordat. Deosebite mulțumiri Rectoratului precum



și colectivului Catedrei de Geologie de la Universitatea din Cluj, care n-a preocupațit nimic pentru a ușura sau chiar a prelua organizarea și buna desfășurare a reuniunii la Cluj. Mulțumim de acord că grupul tehnic — desenatori, tehnoredactori și imprimerie atât de la Institutul Geologic cit și de la tipografia Informația-București pentru realizarea Ghidului excursiei.

### Propunerি

În afară de discuțiile privind corelările stratigrafice, în ședința din ziua de 7 iunie F1. Marinесcu a comunicat că la solicitarea primită din partea responsabilului Grupului de lucru pentru Paratethys, România se poate angaja cu coordonarea și editarea volumelor pentru Pliocen din seria Chronostratigraphie und Neostratotypen. În acest sens se consideră că primul volum care va fi redactat ar putea cuprinde Pontianul. Pentru aceasta face însă apel la toți colegii, specialiști din toate țările, pentru a intensifica studiile lor asupra Pontianului în așa fel încât la sfîrșitul anului 1974 redactarea volumului să poată fi încheiată și să înceapă imprimarea lui.

În cadrul aceleiași ședințe, tot F1. Marinесcu a propus redactarea a două lucrări pe care le consideră deosebit de utile ca instrumente de lucru: „Lexiconul zăcămintelor fosilifere neogene din Paratethys” și „Bibliografia Neogenului din Paratethys”. Nici aceste lucrări nu vor putea fi redactate fără concurșul tuturor specialiștilor din Paratethys. După ce au fost date explicațiile asupra modului în care consideră că vor putea fi concepute aceste lucrări, propunerile au fost acceptate, urmând ca pînă în toamna anului 1972 să se difuzeze circularele respective, în care să fie explicat pe larg modul în care trebuie redactate aceste lucrări și termenele de primire a manuscriselor.

### Anexa nr. 1

#### PROBLEMA LIMITEI TERȚIAR – QUATERNAR. SCURTĂ DARE DE SEAMĂ ASUPRA DISCUȚIILOR PURTATE ÎN CADRUL COLOQUIULUI INTERNACIONAL DIN URSS

ION ANDREESCU

Opiniile exprimate de către cercetători din toate continentele, referitoare la poziția limitei dintre Neogen și Quaternar, se grupează finalmente în trei părți. De notat că toate cele trei modalități de a trasa această limită au în vedere, în primul rînd criteriul evoluției lumii organice.

Astfel luând în considerație evoluția faunelor de mamifere, o parte dintre cercetători acceptă limita dintre Tertiar și Cuaternar la baza complexului Moldavian (nu este vorba de Meotianul superior numit și Moldavian, ci de o formațiune situată la limita Pliocen-Pleistocen) ceea ce ar corespunde aproximativ cu baza Villafranchianului inferior din Italia. Majoritatea mammalogilor consideră însă că partea inferioară a complexului Moldavian este mai veche decit Villafranchianul inferior, situându-se la nivelul părții superioare a complexului de Roussillon (= ? Osarnotian). În acest fel, doar partea superioară a complexului Moldavian de la Kotlovina ar corespunde Villafranchianului inferior. Conform acestei opinii limita inferioară a Cuaternarului trece între Kimmerianul superior (= Panticapeean) și Kuiatnikianul inferior (din Guria) din zona bazinului eurxinie și între „Seria de Balakany” și Acciagilianul din bazinul caspic. În bazinul dacic, conform acestei propuneri, limita dintre Tertiar și Cuaternar ar trece între stratele superioare cu *Psilodon* (= Dacian superior = Parscovian) și „stratele cu unionizi netezi și *Viriparus ex gr. bifascinatus*” (Romanian). Ca urmare, faunele de mamifere de la Berești și Mălnășeni, paralelizabile cu localitățile clasice pentru Villafranchianul inferior din Franța și Italia (Viallette, Etouaires, Villafranca d'Asti) ar reveni Pleistocenului inferior. Menționăm că, deocamdată, această manieră de a trasa limita dintre Tertiar și Cuaternar este adoptată de foarte puțini cercetători (K. V. Nikiforova, L. I. Aleksieva, P. Samson și P. Rădulescu etc.).

O a doua propunere pentru limita dintre Neogen și Antropogen se sprijină în principal pe evoluția faunelor de moluște din zona bazinelor eurxinic și caspic. Susținătorii acestei opinii au în vedere, de asemenea, puternica răcire generală a climei la nivelul Mindelianului. Limita ar trece astfel între Apșeronian și Bakinian, între Gurian și Ccaudian precum și între complexele de mamifere Tamanian și Tiraspolian. Trasată în acest fel limita ar corespunde cu începutul ultimei epoci de magnetism normal (= Brunhes, la 0,69 milioane ani). De asemenea, este posibil ca această limită să corespundă și cu apariția Pithecanthropului. Majoritatea cercetătorilor sovietici utilizează această schemă care, de altfel, este acceptată oficial în URSS.

În fine conform celei de a treia opinii îmbrățișată de majoritatea participanților străini la coloconiu din Uniunea Sovietică limita dintre Tertiar și Cuaternar trebuie trasată avându-se în vedere principiile de bază ale stratigrafiei prin care se recomandă ca separările între unitățile chronostratigrifice să se facă ținându-se cont de schimbările petrecute în fauna marină. Dacă ținem cont că Antropogenul se caracterizează printr-o al-

terare profundă și des repetată a climatului globului terestru, atunci este de presupus că aceste schimbări climatice au influențat hotărîtor evoluția lumii organice nu numai pe continente dar și în mări.

Cercetările din ultimii ani au dovedit că microfauna marină a fost sensibilă la schimbările climatice care au afectat globul terestru. Aceste schimbări s-au tradus prin dispariția unor genuri sau specii și prin apariția altora la nivelul Calabrianului, fapt ce poate fi folosit la trasarea limitei Pliocen-Pleistocen la baza acestui etaj marin. Principalele schimbări din lumea microorganismelor marine planetonice se rezumă la prima apariție evoluată a speciei *Globorotalia truncatulinoides* concomitent cu extincția pe plan planetar a speciei *G. tosaensis*. Prima specie este caracteristică pentru Calabrian, a dona pentru nivelele comparabile Piacenzianului. La același moment, odată cu începutul Calabrianului, se constată și extincția celei mai mari părți a discoasteridelor, moment ce corespunde aproximativ cu limita dintre zona cu *Discoaster brouweri* și zona cu *Gephyrocapsa caribeanica*.

Limita dintre Terțiar și Cuaternar trasată în acest mod adică la baza Calabrianului, trece în domeniul ponto-caspic între Apșeronian și Acciagilian, între Gurian și Kuialnikian (sau între Gurian și Poratianul superior) precum și între complexele de mamifere Tamanian și Iaprovian. Se estimează că Villafranchianul mediu, sau cel puțin o parte din acesta, ar reveni Pliocenului terminal. Trasată în acest mod, limita Terțiar-Cuaternar corespunde principalei schimbări a declinației magnetice (= Gilsa, la 1,79 milioane ani) din cadrul epocii Matuyama de magnetism invers. Ca urmare, corelările la scară planetară sunt foarte mult înlesnite.

Deoarece în momentul de față nu se cunoște cu exactitate echivalenții continentali ai Calabrianului (se admite, deocamdată, că aceasta corespunde doar cu Villafranchianul superior și poate cu o parte din cel median) s-a recomandat ca în următorii 10 ani Calabrianul să fie studiat în amănunte, din toate punctele de vedere, pentru a se încerca apoi o corelare mai judicioasă cu depozitele marine și continentale din întreaga lume.

Urmind această opinie se ține cont, pe de o parte, de recomandarea celui de al 18 Congres Geologic de la Londra din 1948 de a se trasa limita Terțiar-Cuaternar la baza unui etaj marin, respectiv a Calabrianului, iar pe de altă parte se elimină confuziile produse în rindul cercetătorilor ca urmare a admiterii, în trecut, a aserțiunii Calabrian = Villafranchian.

S-a recomandat, de asemenea, ca denumirea de Villafranchian să fie păstrată doar pentru ceea ce era cunoscut ca Villafranchian inferior, cu tipul la Villafranca d'Asti.

În ceea ce privește România trebuie amintit că pînă în prezent o mare parte dintre geologi acceptă limita Terțiар-Cuaternar la baza strătelor de Cindești, considerate ca echivalente ale Villafranchianului mediu și superior, după faunele de mamifere. Cercetările din ultimii ani au ridicat problema dacă nu cumva stratul de Cindești sănt ceva mai cuprinzătoare, corespunzind probabil și Villafranchianului inferior. În bazinul dacie se consideră că ultimul nivel cu *Potomida lenticularis* marchează sfîrșitul Pliocenului, ceea ce ar corespunde aproximativ cu limita dintre Porațianul inferior și cel superior precum și cu limita dintre complexele de mamifere Moldavian și Ilaprovian din domeniul euxinic. Se admite, de asemenea, că faunele de mamifere de la Tulucești (Moldova) și Cernătești (Oltenia) corespund Villafranchianului mediu și prin urmare, pot fi atribuite bazei Pleistocenului inferior. După opinia lui Samson și Radulescu (informație verbală) faunele de la Tulucești și Cernătești sănt ceva mai vechi corespunzind faunei de la Montopoli (Astian final).

O poziție încă insuficient precizată o au, în cadrul bazinului dacie, stratele de Pleșcoi. Părerea noastră referitoare la această chestiune ar fi trasarea limitei inferioare a Cuaternarului din zona de curbură a Carpaților Orientali peste stratele de Pleșcoi, anume între ultimul nivel cu *Euxinicardium* și primul nivel cu *Bogatschewia sturi*, identificat de noi la partea superioară a strătelor de Pleșcoi. Se știe că nivelul cu *Bogatschewia sturi* marchează baza Apșeronianului, urmând peste stratele Kuialnikianului superior de la Odesa. Or, conținutul faunistic al strătelor de Pleșcoi ne obligă ca, la nivelul actual al cunoștințelor, să le paralelizăm cu Kuialnikianul superior de la Krizjanovka (Odesa), eventual și cu partea inferioară a Gurianului. Este posibil ca, în viitor, luind în considerare prezența Adacnelor în stratele de Pleșcoi, să reconsiderăm într-o oarecare măsură poziția stratigrafică a acestor strate, paraleлизându-le cu Apșeronianul inferior (?), poate și cu o parte din cel mediu (?). Comparând cu faunele de moluște aciliagilienc, kuialnikiene, guriene și apșeroniene se poate preciza că exceptând Adacnele, nici un alt gen de limnocardiile din stratele de Pleșcoi, nu se apropie de faunele apșeroniene. Pe de altă parte, reprezentanții genului *Euxinicardium* din stratele de Pleșcoi reamintesc, într-o oarecare măsură pe cei din stratele de Kuialnik de la Odesa.

Poziția principalelor zăcăminte cu mamifere fosile pliocen-superioare și pleistocen-inferioare din bazinul dacie și compararea cu localitățile clasice din Franța și Italia reies din tabelul anexat.

I. ANDREESCU

## LES SUBDIVISIONS DES DÉPÔTS PLIOCÈNES SUPÉRIEURES ET PLEISTOCÈNES INFÉRIEURS DES BASSINS DACIQUE, EUXINIQUE ET CASPIQUE ET LA CORRÉLATION AVEC LES FAUNES CLASSIQUES DE FRANCE ET D'ITALIE

<sup>1</sup> EL MARINESCU, M., GHEORGHIAN, Informations sur la VI<sup>e</sup> Réunion du Groupe de Travail pour la Révision et l'Amélioration des Techniques d'Échantillonnage et d'Analyse des Faunes Classiques.

**Anexa II-a**

**Specialiștii care au participat la cea de a V-a reuniune a Grupului de lucru pentru Paratethys**

1. Albù Stefan	Bucureşti—România
2. Andreeșeu Ion	Bucureşti—România
3. Babucea Yvonne	Bucureşti—România
4. Bistriceanu Adela	Zagreb—Jugoslavia
5. Birlogeanu Marius	Mediaş—România
6. Brzobohaty Rotislav	Brno—Cehoslovacia
7. Căta Vasile	Mediaş—România
8. Chivu Maria	Bucureşti—România
9. Cieha Ivan	Praga—Cehoslovacia
10. Ciupagea Dumitru	Bucureşti—România
11. Clichici Octav	Cluj—România
12. Corobeia Constanța	Bucureşti—România
13. Cornea Cornelia	Bucureşti—România
14. Demareq Gerard	Lyon—Franța
15. Dicea Oprea	Bucureşti—România
16. Dinu Cornel	Bucureşti—România
17. Donos Iuri	Bucureşti—România
18. Donos Mirela	Bucureşti—România
19. Dragos Ioan	Cluj—România
20. Duțescu Pompiliu	Bucureşti—România
21. Dumitrescu Gheorghe	Bucureşti—România
22. Florei Nicolae	Cluj—România
23. Gabos Nicolae	Cluj—România
24. Gagić Nadežda	Belgrad—Jugoslavia
25. Gheorghian Doina Mihaela	Bucureşti—România
26. Gheorghian Mușat	Bucureşti—România
27. Ghinreă Virgil	Cluj—România
28. Grăf Ion	Bucureşti—România
29. Grăf Sanda	Bucureşti—România
30. Gruijinski Constantin	Bucureşti—România
31. Hámor Géza	Budapest—Ungaria
32. Hanganu Elisabeta	Bucureşti—România
33. Holzknecht Milan	Hodonín—Cehoslovacia
34. Ianoliu C.	Cluj—România
35. Ichim Traian	Bucureşti—România
36. Ionesi Rica	Iași—România

37. Ionesi Liviu	Iași—România
38. Iva Mariana	București—România
39. Janáček Josef	Bratislava—Cehoslovacia
40. Jiříćek Rudolf	Gbely—Cehoslovacia
41. Joja Theodor	București—România
42. Karatishvili Georgi D.	Tbilisi—URSS
43. Kojumdgieva Emilia	Sofia—Bulgaria
44. Krach Wilhelm	Krakowia—Polonia
45. Lăzărescu Vasile	București—România
46. Lebenzon Carol	București—România
47. Macarovici Nicolae	Iași—România
48. Manoliu Eugenia	București—România
49. Matušek Teodor	București—România
50. Marincaș Valeria	Cluj—România
51. Marinescu Florian	București—România
52. Marcovic Vera	Beograd—Novi Sad—Jugoslavia
53. Marosi Paul	Cluj—România
54. Matisin Danica	Zagreb—Jugoslavia
55. Mărgărit Eugenia	București—România
56. Meszáros Nicolae	Cluj—România
57. Moisescu Victor	București—România
58. Motas Constantin	București—România
59. Motas Ionel	București—România
60. Muñdini-Mamuzié Slavica	Zagreb—Jugoslavia
61. Müntz Kurt	București—România
62. Negoită Florica	București—România
63. Nicorici Eugen	Cluj—România
64. Olteanu Florian	București—România
65. Olteanu Radu	București—România
66. Orășanu Teodor	București—România
67. Orbocea Marioara	București—România
68. Pană Ioana	București—România
69. Papaiyanopol Florin Ion	București—România
70. Papp Adolf	Viena—Austria
71. Paucă Mircea	București—România
72. Popescu Ecaterina	București—România
73. Popescu Gheorghe	București—România
74. Rado Gertrude	București—România

75. Rögl Fred	Zürich—Elveția
76. Roșculescu Ecaterina	București—România
77. Rusu Anatolie	București—România
78. Sagatovici Alexandra	București—România
79. Saulea Emilia	București—România
80. Schultz Ortwin	Viena—Austria
81. Semenenko Vladimir Nic.	Kiev—URSS
82. Senes Ján	Bratislava—Cehoslovacia
83. Sokac Ana	Zagreb—Jugoslavia
84. Solcanu Mihai	București—România
85. Solomon Desideriu	București—România
86. Stancu Josefina	București—România
87. Stănculescu Constanța	București—România
88. Steininger Friederich	Viena—Austria
89. Stevanović Petar	Beograd—Jugoslavia
90. Stoicescu Adrian	București—România
91. Suraru Maria	Cluj—România
92. Suraru Nicolae	Cluj—România
93. Tămas M.	Cluj—România
94. Tătărîm Niță	București—România
95. Tudor Mira	București—România
96. Turculeț Liviu	București—România
97. Tîrlea Iulia	Cluj—România
98. Voicu Gheorghe	București—România
99. Zaharescu Geoergeta	Mediaș—România

**INFORMATION SUR LA „V<sup>e</sup> RÉUNION DU GROUPE DE TRAVAIL  
POUR LA PARATÉTHYS” MAI-JUIN-1972-ROUMANIE**

PAR

FLORIAN MARINESCU, MUŞAF GHEORGHIAN

Entre le 29 mai-8 juin a eu lieu en Roumanie la V<sup>e</sup> Réunion du Groupe de Travail pour la Paratéthys.

L'organisation de la Réunion en Roumanie a été proposée en 1970 à Vienne, à la III<sup>e</sup> réunion du groupe de travail pour la Paratéthys.

Le groupe qui a préparé la réunion a été formé par : I. Andreescu<sup>1</sup>, Doina Gheorghian<sup>1</sup>, M. Gheorghian<sup>2</sup>, Fl. Marinescu<sup>1</sup>, I. Mirza, I. C. Motas<sup>1</sup>, T. Orășanu<sup>1</sup>, I. Papaianopol<sup>1</sup>, Gh. Popescu<sup>1</sup>, A. Rusu<sup>1</sup>, N. Suraru<sup>2</sup>.

En dehors des membres du Groupe de travail pour la Paratéthys, à cette réunion ont été invités aussi d'autres spécialistes d'Autriche, de Bulgarie, de Tchécoslovaquie, de France, d'Yugoslavie, de Pologne, de Hongrie.

La réunion a débuté par un jour de séances à Cluj, a continué par 7 jours d'excursion, pendant lesquelles on a parcouru 2600 km à travers la Roumanie et s'est achevée par 3 jours de discussions à Bucarest. Aux séances de Cluj et de Bucarest et aux excursions ont participé aussi quelques groupes de spécialistes de Roumanie : de la Centrale Industrielle du Gaz Méthane (Mediaș), de l'Institut de recherches pour le Pétrole (Cimipna), de l'Institut de Pétrole-Gaz et Géologie de Bucarest, de l'Entreprise géologique de Prospections de Bucarest, de l'Entreprise de Prospections géologiques et géophysiques de Bucarest, de l'Université Babes-Bolyai de Cluj, de l'Université de Bucarest et de l'Université Al. I. Cuza de Iași. Nous annexons la liste des participants, au nombre de 98.

### Séance inaugurale de la Réunion

La Réunion a débuté à Cluj le 29 mai 1972, dans l'amphithéâtre Nicolae Iorga de l'Université Babes-Bolyai. Des allocutions furent prononcées par le Prof. Dr. Doc. S. t. Pascau — recteur de l'Université de Cluj, par le Dr. M. Bleahu — directeur scientifique de l'Institut Géologique de Bucarest et par le Prof. Dr. A. Pop de la part du Groupe de travail pour la Partéthys. Des aperçus sur le Néogène de Roumanie furent présentés par I. C. Motas (au sujet du Miocène inférieur-moyen) et par Fl. Marinescu (au sujet du Sarmatiens et du Pliocène). On a ensuite visité les collections géologiques et minéralogiques de l'Université de Cluj.

### Excursion

Entre le 30 mai—5 juin a eu lieu l'excursion scientifique dont le but a été de visiter les coupes où affleurent les dépôts néogènes de Transylvanie, Banat, Olténie et Valachie. L'Office National de Tourisme s'est char-

<sup>1</sup> Institutul Geologic, Șos. Kiseleff nr. 55, București.

<sup>2</sup> Catedra de Geologie — Universitatea din Cluj, Str. Kogălniceanu, Cluj.

gé de l'organisation administrative de l'excursion alors que l'organisation scientifique est revenue au groupe ci-dessus présenté.

Les participants à la Réunion ont analysé des affluerements, ont prélevé des fossiles et des échantillons micropaléontologiques, ont porté des discussions sur les lieux autant que durant les déplacements d'un arrêt à l'autre, confrontant leurs opinions.

Le premier jour d'excursion on a parcouru le trajet : Cluj-Baciu-Sin-paul-Zimbor-Hida et en rentrant à Cluj on a fait un détour jusqu'à Coruș. Ce premier jour on a examiné les dépôts égériens-couche de Zimbor sur le ruisseau Sintie -Zimbor, les couches de Sinnihai de la vallée de Măgura commune de Sinnihai-Almașului, les dépôts eggenburgiens-sables de Coruș de la localité type et les argiles de Chechiș de la colline Lorniții Coruș, les dépôts eggenburgiens-ottnangiens-couches de Hida de la localité type et les dépôts badéniens-couches de Ciceu-Giurgești de Popești-Cluj.

Au second jour d'excursion le trajet a été Cluj-Gherla-Dej-Poiana Blenchi, retour à Cluj, puis Turda-Alba Iulia-Sibiu. On a examiné les dépôts d'âge eggenburgien-ottnangien (couches de Hida), les dépôts d'âge oligocène-eggenburgien (couches de Bizușa, de Ileanda et de Buzaș) sous faciès marin marneux et les dépôts d'âge karpatien-badénien (couches de Ciceu-Giurgești et tuf de Dej) et en route vers Turda les dépôts badéniens à celestine et gypse.

Le troisième jour d'excursion on est parti de Sibiu vers Răsinari et ensuite à travers Deva-Caransebeș on est arrivé à Reșița. On a examiné les dépôts badéniens de Băsinari et de Lăpușiu, les dépôts sarmatiens de Răsinari et de Soceni, les dépôts pannonien de Soceni et ceux pontiens de la coupe Crivina-Criciova.

Le quatrième jour d'excursion on a parcouru la distance Reșița-Turnu Severin en passant par Soceni-Caransebeș-Mehadia-Orșova. On a présenté en route les afferements de dépôts badénien-sarmatiens inférieurs des golfs de Mehadia et de Bahna-Orșova et ceux badéniens, sarmatiens, méotiens et pontiens des environs de Turnu Severin, (Breznita, Jiduști, Valea Morilor-Cobași).

Le cinquième jour d'excursion on est parti de Turnu Severin vers Tîrgu Jiu-Rîmnicu Vilcea-Cozia. On a examiné les affleurements de dépôts d'âge pontien et dacien de Ilovăț, Șișești de jos, Piștești, Bengești et de Buletea et le Badénien de Cioadăia.

Le sixième jour d'excursion on a parcouru le trajet Cozia-Pitești-Tîrgoviște-Cîmpina-Ploiești. On a examiné les affleurements de dépôts égériens-badéniens qui longent la vallée de la Prahova dans la région de Breaza-Cîmpina.

A cause d'une crue du Slănicul de Buzău et des travaux en cours d'exécution à un pont entre Buzău et Vintilă-Vodă, dans le programme du VI<sup>e</sup> jour d'excursion est survenu un changement. On a parcouru le trajet Ploiești-Buzău et on a visité les volcans boueux de la réservation naturelle de Berca-Piclele Mari.

Le trajet parcouru a été celui proposé et décrit dans le guide de l'excursion (1972) à la différence du VI<sup>e</sup> jour quand, à cause de l'interruption de la circulation sur la route Buzău-Vintilă-Vodă, on n'a pas pu examiner le Pliocène qui affleure le long du Slănic de Buzău.

### Séances de travail

Afin de gagner du temps pour les discussions à caractère scientifique à Bucarest, au cours de l'excursion, le soir du 4 juin, a eu lieu à Ploiești la première séance de travail, concernant les publications de la série Chronostratigraphie und Neostratotypen.

Le Dr. J. Senes a annoncé que l'ouvrage sur le Sarmatiens est déjà terminé et expédié à l'imprimerie et que l'ouvrage sur l'Egérien est en train de rédaction.

Pour ce dernier ouvrage auquel collaborent déjà des spécialistes d'Autriche, de Tchécoslovaquie, et de Hongrie on a proposé à la Roumanie de présenter 3—4 coupes de références situées dans des régions différentes et apparaissant sous des faciès différents. À la suite des discussions on a choisi les coupes suivantes : les couches de Zimbor et de Simnihai du NW de la Transylvanie ; les couches de Valea Lăpușului — le faciès intermédiaire des couches de Vima du N de la Transylvanie, la formation de Tilmaciu du S de la Transylvanie ; le bassin de Petroșeni. On n'a guère pu choisir une coupe représentative à l'extérieur des Carpates car les dépôts égériens y ont été remaniés au cours de l'Eggenburgien (horizon de la brèche sédimentaire de la formation de Cornu). On a désigné le Dr. N. Suraru de l'Université Babes-Bolyai de Cluj pour coordonner les données de stratigraphie et à s'occuper des descriptions des coupes respectives, et les responsables des chapitres de paléontologie : Dr. Bek Baldi pour les Mollusques, Dr. I. Cicea pour les Foraminifères et Dr. O. Lebonzon pour le nannoplacton. La circulaire traitant l'organisation du travail pour cet ouvrage sera diffusée par le rédacteur coordonnateur Dr. Ján Senes.

Les séances de travail du 6 au 8 juin ont eu lieu dans la salle de la bibliothèque de l'Institut Géologique de Bucarest.

6 juin — au cours de la matinée on a porté des discussions sur des problèmes de corrélation entre les formations du Miocène inférieur et



moyen (Egérien — Badénien) de Roumanie et celles de la Paratéthys centrale. Aux discussions ont participé : Dr. I. Ciecha, Prof. G. Demarec, Dr. Doina Gheorghian, Dr. M. G. Gheorghian, Dr. Mariană Iva, Prof. A. Papp, Dr. Gh. Popescu, Dr. J. Senes, Dr. N. Suraru. On a présenté une échelle chronostratigraphique des foraminifères benthiques et planctoniques.

Etant donné qu'au sujet de l'échelle chronostratigraphique du Miocène Prébadénien de la Paratéthys furent exprimés des points de vue divergents et du fait qu'on a exprimé le désir d'examiner du matériel micropaléontologique on a proposé aux spécialistes respectifs de continuer les discussions et l'examen du matériel au microscope en groupe restreint.

Au cours de l'après midi les discussions portèrent sur la partie supérieure du Miocène. On n'a point entamé des discussions sur la limite Miocène/Pliocène proprement-dite, tous les spécialistes étant d'accord que ce problème dépasse le cadre du Groupe de travail pour la Paratéthys et qu'il doit être discuté à l'échelle du Globe.

Des discussions prolongées furent portées au sujet du contenu du Sarmatiens et du terme intercalé entre le Sarmatiens (*sensu Success*) et le Pontien. Vu la priorité (Suess, 1866) il a été recommandé de maintenir le terme de „Sarmatiens” pour l'intervalle compris entre le Badénien et le Pannonien (ou ses équivalents). Cet étage embrasse ainsi le Volhy-nien et le Bessarabien inférieur (= couches à *Cryptomactra* ou ses équivalents, antérieures au niveau où apparaissent les faunes à congéries et mélanoïpsidés des bassins dacique et euxinique). L'utilisation plus loin en Euxinie du Sarmatiens en un sens plus large est un problème local. Néanmoins il est nécessaire de préciser qu'il ne s'agit pas du Sarmatiens *s. str.*. Les discussions ont nettement révélé que cette délimitation dans le cadre du Bessarabien est marquée aussi par des modifications de faunes survenues non seulement parmi les cardiidés mais aussi parmi les autres mollusques et parmi les foraminifères. Gh. Voicu a souligné l'importance des formes de „*Sphaeridia*” pour des corrélations qu'on peut faire dans le Sarmatiens, tout en attirant l'attention qu'au point de vue systématique il les rattacherait aux *Misidae*, étant des statolithes de ce groupe.

En ce qui concerne l'intervalle compris entre le Sarmatiens ainsi délimité et le Pontien il est nécessaire de le désigner par une dénomination commune au moins pour ce qui est de la Paratéthys centrale. La nécessité d'adopter un nouveau terme est d'autant plus évidente surtout pour le territoire de la Roumanie, là où se trouvent ensemble des terrains néogènes revenant à plusieurs régions à évolutions différentes (pannonique, da-

cique, euxinique). On a expressément choisi le terme de Malvensien, qui a été emprunté au bassin dacique, région de raccordement entre la Pannonie et l'Euxinie, justement pour souligner les possibilités de faire des corrélations entre ces deux régions. Le terme de Pannonien utilisé aussi à présent dans les deux sens (celui initial de Roth von Telekt et redéfini par Lörenthey, et celui restreint donné par Stevanovic) représente plutôt la dénomination d'un faciès particulier des dépôts néogènes post-sarmatiens du bassin pannonicque. Il est donc question de conclure si l'on retient plus loin le terme de Pannonien (*s. l.*) utilisé par l'Autriche, la Tchécoslovaquie et la Hongrie ou si l'on adopte un des termes équivalents notamment : Pannonien sens restreint utilisé par la Yougoslavie ou Malvensien proposé par la Roumanie. Nous recommandons aux spécialistes de faire un effort et d'adopter un langage commun et propice à établir de larges corrélations.

En ce sens le Malvensien, synonyme du Pannonien sens restreint (Stevanovic, 1951), contient d'une part le Slavonien et le Serbien, et d'autre part le Bassarabien supérieur, le Kersonien et le Méotien. Une meilleure corrélation de ces subdivisions utilisées de part et d'autre des Carpates n'est pas encore possible, cependant les données offertes par l'étude des mollusques et surtout des ostracodes sont promettantes.

Le Prof. A. Pop, le Prof. Emilia Săulea, le Dr. R. Jiricsek le Dr. Fl. Marinescu, le Dr. Florica Negoiță abondent tous dans ce sens. Seule le Dr. Emilia Koju-mdigieva soutient que le Pannonien *s. str.* est presque intégralement équivalent du Méotien.

Le 7 juin, avant de commencer les discussions concernant les corrélations stratigraphiques, Fl. Marinescu a communiqué qu'à la suite des suggestions faites par le secrétaire du Groupe de Travail pour la Paratéthys la Roumanie peut s'assumer la tâche de coordonner et de rédiger les volumes sur le Pliocène de la série Chronstratigraphies und Neostratotypen. On peut partant considérer que le premier volume rédigé traitera du Pontien. Elle fait néanmoins appel à tous les collègues, spécialistes de tous les pays, d'intensifier leurs études sur le Pontien pour qu'à la fin de 1974 le volume soit complètement rédigé et prêt à être imprimé.

Fl. Marinescu a également proposé de rédiger deux travaux particulièrement utiles pour les spécialistes du Néogène, notamment le Lexique des gisements fossilières néogènes de la Paratéthys et la Bibliographie du Néogène de la Paratéthys pour lesquels nous sollicitons le concours de tous les spécialistes pour la Paratéthys. On a donné des explications sur la manière dont on pourra concevoir ces travaux, après quoi

les suggestions ont été acceptées. Jusqu'à la fin du 1973 on diffusera les circulaires respectives qui contiendront des explications détaillées sur la manière dont on devra rédiger ces travaux et les termes de réception des manuscrits.

La séance du 7 juin a continué avec des discussions sur le Pontien, le Dacien et le Romanian.

On a conclu que le Pontien est l'étage du Pliocène dont les dépôts sont facilement corrélables dans le cadre de la Paratéthys. Sa partie basale est marquée par : 1) les faunes à *Congeria unguiculata*, en Pannonie, 2) les premières apparitions de l'espèce *Paradacna abichi* dans le bassin dacique et en Euxinie (équivalent des couches supérieures à abichi en Pannonie), avec laquelle on trouve parfois ensemble *Didacna otiophora* et *Congeria digitifera*, ou 3) par les premiers niveaux à *Prosodarna littoralis* (en Euxinie et dans une partie du bassin dacique). La limite supérieure est donnée par les premières apparitions des Pachydaénés du Dacien ou du Cimmérien. Les subdivisions du Pontien sont : l'Odessien, le Portaferrien et le Bosphorien.

La dénomination de la subdivision inférieure du Pontien a suscité des discussions prolongées. Le Dr. V. Semenenko a recommandé celle de Novorossien, à raison d'ancienneté nous venant de Sokolov, (1897), le premier auteur qui a subdivisé le Pontien en trois parties. Ainsi le Novorossien de N. Andrussov (notamment : intervalle qui contient le Pontien inférieur et moyen jusqu'au Bosphorien) serait plus récent (1917). C'est dans ce sens que fut rédigé initialement le tableau des corrélations des conclusions de la Réunion. Une deuxième raison pour laquelle le Dr. V. Semenenko recommande de ne pas employer le nom d'Odessien comme subétage est pour éviter une éventuelle confusion avec le terme couches d'Odessa, qui ne sont qu'une partie du Pontien inférieur. Les discussions portées ultérieurement entre I. Motas, I. Andreeșcu et I. Popaianopol d'une part et V. Semenenko d'autre part et la révision des données de bibliographie ont montré qu'en réalité Sokolov avait partagé le Pontien en trois subdivisions, sans leur donner de nom. Le nom de Novorossien revient à Andrussov (1917) et représente les deux premières subdivisions de Sokolov (y compris les couches à rhomboidea ou ses équivalents). Il est donc recommandable de garder le sens donné par Andrussov à la première partie du Pontien jusqu'au Bosphorien et d'utiliser le nom d'Odessien récemment proposé (Macarović, Marinescu, Motas, 1965) pour le Pontien inférieur (compris entre

la partie basale du Pontien et les couches à *Congeria rhomboidea* ou ses équivalentes : = couches d'Eupatoria + couches d'Odessa).

Le Portaferrien est l'intervalle du Pontien le plus étendu, dont le contenu en faune est plus uniforme de tout le Pliocène de la Paratéthys. Il marque le maximum d'extension des dépôts pontiens et contient les formations à *Congeria rhomboidea*, *C. balatonica*, *C. triangularis*, *Prosodaena carbonifera*.

Le Bosphorien, la subdivision supérieure du Pontien, représente un intervalle où persiste une bonne partie de la faune du Portaferrien, mais appauvrie.

Dans le bassin pannonicque on n'a reconnu du Pontien que l'Odessien et le Portaferrien, l'équivalent du Bosphorien se trouvant probablement à la partie basale des couches inférieures à paludines, ou dans d'autres dépôts dulçaquicoles surmontant le Portaferrien de la Pannonie.

L'intervalle stratigraphique suivant mis en discussion a été le Dacien. Son nom, nous venant de T e i s s e y r e (1906), a la priorité par rapport au Cimmérien (A n d r u s s o w , 1907); cependant on ne saurait les considérer parfaitement synonymes, faute de données suffisantes à faire une équivalence exacte entre les limites supérieures des deux subdivisions. L'équivalent pannonicque du Dacien se trouve toujours dans les couches inférieures à paludines. Dans le bassin dacique, le Dacien a été divisé en deux subdivisions : le Dacien inférieur ou Gétien, le plus étendu, caractérisé particulièrement par la présence de *Pachydaena* et le Dacien supérieur ou Parsecovien, moins étendu et caractérisé par la présence des genres : *Prosodaena* (*Psilodon*), *Horiodaena* et *Limnodaena*. Dans le bassin eugxiénique le Cimmérien contient trois subdivisions, dont celle inférieure l'Azovien correspond approximativement au Gétien, sans toutefois que leurs limites coïncidassent. Ainsi les subdivisions suivantes, le Kamnyshbourian et le Panticapéen, contenant des prosodaénés de grande taille de type *macrodon*, peuvent être corrélées, avec approximation, au Parsecovien. Un faciès adouci du Cimmérien est représenté par les couches de Douah.

Le terme suivant mis en discussion a été celui qui représente le Pliocène sommital. Dans le bassin dacique il est représenté par l'étage Romainien, caractérisé par l'apparition de l'espèce *Unio sturdzae* en base et par l'abondance des espèces *Viviparus bifarinatus* et *V. stricturatus*. La présence, dans les couches moyennes à paludines de la partie méridionale du bassin pannonicque, des mêmes espèces de *Viviparus* conduit à la probabilité de corrélations entre ces dépôts et ceux de Roumanie. Il en est de même

en ce qui concerne les faunes du Kouyalkien. Aussi recommande-t-on l'étude approfondie des unionidés et des viviparidés de ces dépôts, car on espère aboutir à des corrélations exactes entre les couches moyennes et supérieures à paludines et le Romanien et entre celui-ci et le Kouyalkien. Etant donné que ni la limite inférieure de ces étages locaux, d'autant moins celle supérieure (qui dépend de la décision que l'on va adopter à l'égard de la limite Pliocène-Péistocène) ne sauraient être corrélées, pour le moment on ne peut pas recommander l'utilisation d'un terme stratigraphique unique.

Pour cause on a décidé d'utiliser, pour le Pliocène supérieur, plus loin des dénominations locales, le problème de la nomenclature restant ouvert, mais il est absolument nécessaire d'approfondir l'étude des faunes à mollusques et à ostracodes du Pliocène supérieur.

Ont participé aux discussions : Nadezda Gagie, Elisabeta Hanganu, R. Jiricék, G. Karatishvili, Fl. Marinescu, I. C. Motas, Vl. Semenenko, Ana Sokac, P. Stevanovic. Nous retenons les interventions de Ana Sokac et de Nadezda Gagie qui, basées sur des études effectuées sur des ostracodes, ont remarqué que les couches à paludines pourraient représenter le Péistocène, au Pliocène revenant tout au plus leur partie inférieure. Néanmoins le Prof. P. Stevanovic n'accepte pas ce point de vue. Le problème reste encore ouvert, d'autant plus qu'aux études comparatives des dépôts daciens et romaniens où l'on pourrait aborder aussi le problème de la limite inférieure du Péistocène, est absolument nécessaire.

#### Travaux du groupe de micropaléontologie

Les micropaléontologues travaillèrent dans l'après midi du 6 juin, le matin et l'après midi du 7 juin. On a examiné les collections de foraminifères et d'ostracodes et on a porté des discussions concernant les corrélations des dépôts néogènes de Roumanie avec les stratotypes de la Paratéhys centrale.

Ont participé : — R. Brzobohaty<sup>4</sup>, I. Cicha, M. Holzhausen et R. Jiricék<sup>5</sup> (Tchécoslovaquie); Fr. Rögl (Suisse);

<sup>4</sup> Quelques chercheurs (R. Brzobohaty et Josefina Stancu) ont porté des discussions sur les stololithes.

<sup>5</sup> Les spécialistes en ostracodes ont travaillé séparément; le matériel examiné a été procuré par Elisabeta Hanganu, Florica Negoiță et R. Oiteanu.



— Adela Bistricei, Nadezda Gagie<sup>5</sup>, Vera Marcovici, Danica Matisin, Slavica Maldini-Mamuzie, Ata Sokac<sup>6</sup> (Yugoslavie); — G. Bombiță, Constanța Corobea Cornelie Cornea, Doina Gheorghian, M. Gheorghian, Elisabeta Hanganu<sup>8</sup>, Mariana Iva, Florica Negoiță R. Olteanu, Gh. Popescu, Josefina Stancu<sup>9</sup>, Maria N. Suraru (Roumanie).

On a insisté sur les catégories de préparations suivantes :

1. La collection des types de foraminifères planctoniques (H. M. Bölli — Fr. Rögl, Suisse).
2. La collection des foraminifères miocènes du bassin de Vienne (L. Cicha — Fr. Rögl, Tchécoslovaquie — Suisse).
3. La collection des foraminifères des couches de Gostila, des couches de Chechiș et des couches de Hida (Gh. Popescu, Roumanie).
4. La collection de microfaune des dépôts miocènes (Egérien-Ottangien) du N de la Transylvanie (Mariana Iva, Roumanie).
5. La collection des spécimens de *Cyclammina* en coupes minces (Miocène) (Gh. Popescu, Roumanie).
6. La collection micropaléontologique de la coupe type de la formation de Tîlmaciu (Egérien-Eggenburgien) du S de la Transylvanie (M. Gheorghian, Roumanie).
7. Les associations microfauniques des dépôts badéniens-sarmatiens du S de la Transylvanie (Doina Gheorghian, Roumanie).
8. Les associations microfauniques de Lăpușiu de Sus-Hunedoara (Doina Gheorghian, Roumanie).
9. Les associations microfauniques des couches de Ciceu-Giurgești et des formations surjacentes du N de la Transylvanie (Karpation — Sarmatien) (Gh. Popescu, Roumanie).
10. Les associations et les types de foraminifères du Miocène des Subcarpates de la Moldavie (Constanța Corobea — Cornelie Cornea, Roumanie).
11. Les associations des microforaminifères et des Miogypsines de la coupe type des couches de Cornu des Subcarpates de la Munténie (G. Bombiță — M. Gheorghian, Roumanie).
12. Les associations et les types d'ostracodes du Sarmatien-Pliocène de la Munténie et de la Dépression Gétique (Elisabeta Hanganu, Roumanie).
13. Les associations d'ostracodes du Sarmatien — Pliocène situées à l'extérieur de l'arc carpatique (Florica Negoiță, Roumanie).

14. Les associations et les types d'ostracodes du Sarmatien—Pliocène situés à l'extérieur de l'arc carpatique et du Pannonien de la Transylvanie et de la Dépression Pannonique (R. Olteanu, Roumanie).

15. Les associations d'otolithes des dépôts sarmatiens de la Roumanie (Josefină Stanca, Roumanie).

De l'examen du matériel micropaléontologique et des discussions se détachent les appréciations suivantes :

— Au sujet de la microfaune à foraminifères :

1. Les spécimens identifiés en Roumanie (M. Gh. e o r g h i a n) comme *Globigerinoides quadrilobatus* représentent (selon Fr. Rögl et I. Ciechla) la sous-espèce *Gl. quadrilobatus primordius*, caractéristique pour l'Egéen et pour la zone N<sub>4</sub> de l'échelle microbiostratigraphique internationale.

2. La formation de Tălmaciū contient de nombreuses formes d'*Uvigerina* non encore décrites et non encore rencontrées dans d'autres endroits de la Paratéthys. On a recommandé de les étudier et de les décrire.

3. La coupe de Tălmăcel, avec des dépôts sous faciès marin abondant en microfaune, est recommandée comme faciostratotype pour l'Egéen.

4. L' Eggenburgien du sud de la Transylvanie est bien représenté quant à la microfaune et parfaitement corréable à celui de Tchécoslovaquie et d'Autriche.

5. Les spécimens identifiés en Roumanie (Constanta Corobeia, Cornelis Cornea, M. Gh. e o r g h i a n) comme *Catapsidax dissimilis* (de la zone à *C. dissimilis* de la base du Miocène) ne sont pas des exemplaires typiques, fait remarqué aussi dans d'autres régions de la Paratéthys. Pour cause la zone ne sera retenue que pour la bioprovence méditerranéenne, et en aucun cas pour la Paratéthys.

6. Les exemplaires identifiés en Roumanie des dépôts eggenburgiens (Mariana Iva, M. Gh. e o r g h i a n), comme des *Globigerina pachyderma* approchent sensiblement du type de l'espèce qui provient du Pléistocène marin. Le problème soulevé et qui est à étudier est si cette espèce a été signalée aussi dans des sédiments plus anciens que le Pléistocène.

7. Il faut insister sur l'étude des microfaunes qui indiquent l'Ottomanien à l'extérieur de l'arc carpatique (Constanta Corobeia, Cornelis Cornea).

8. On doit approfondir l'étude micropaléontologique du Karpatien de Roumanie, sa microfaune étant pour le moment peu concluante.

9. Les zones microfauniques du Badénien de Roumanie et du Sarmatiens sont parfaitement corrélables à celles du reste de la Paratéthys centrale.

10. Quant à la microfaune de Lăpușiu-Hunedoara, considérée par certains auteurs comme Badénien supérieur, il a été affirmé (Fr. Rögl et L. Cicchà) qu'elle représente le Badénien inférieur, vu la présence de l'espèce *Uvigerina macrocarinata* Papp et Turnovský. Sont à réviser les macro- et les microforaminifères de ce gisement (*Heterostegina*, *Borelis*, *Alveolina* et les foraminifères planctoniques) afin de conclure définitivement sur leur âge.

— Au sujet de la microfaune à ostracodes :

11. On a confirmé l'opinion de Elisabeta Hanganu sur la migration des faunes de l'E à l'W durant le Miocène supérieur et le Pliocène.

12. Les discussions entre les spécialistes roumains et yougoslaves ont abouti à la conclusion que la faune à Cyprididae du Malvensien supérieur (Méotien) du domaine dacique n'apparaît pas en Yougoslavie.

13. Les faunes d'Ostracodes du Pontien de Roumanie sont parfaitement corrélables à celles de la Paratéthys orientale.

14. Les faunes d'ostracodes du Malvensien (= Pannonien s. str.) de la Transylvanie et du Banat sont parfaitement corrélables à celle de la Yougoslavie et de la Hongrie.

15. On a recommandé l'intensification de l'étude des Ostracodes des dépôts malvensiens des bassins pannons et daciques pour la mise au point des corrélations de ces formations qui comportent de nombreux points communs (R. Jirićek et R. Olteanu).

16. Des points de vue différents ont été exprimés en ce qui concerne la taxonomie de certaines formes d'ostracodes (Elisabeta Hanganu, Roumanie; Nadezda Gagie, Ana Sokac, Yougoslavie)

— Au sujet des restes de poissons, surtout otolithes :

17. On a remarqué l'existence de certaines espèces qui peuvent être considérées des espèces index pour le Sarmatiens (*Argentina rumana*, *Gadus? minusculoides*, *Atherina austriaca* etc.).

18. La faune ichthyologique sarmatienne se distingue de celle badénienne par : a) l'absence des requins; b) l'abondance des clupéidés, gadidiés et gobiidés; c) les mictophiidés, en réalité des formes sténohalines ne sont encore présentes que dans le Sarmatiens inférieur de Yougoslavie et de Roumanie.

19. La faune ichtyologique de la partie NW de la Paratéthys centrale (bassins de Vienne, la partie orientale de la Slovaquie et le Danube moyen) accuse des adoucissements plus marqués que ceux des régions méridionales et orientales.

Le 8 juin les séances de travail eurent lieu seulement au cours de la matinée. Conformément au programme le Dr. I. Andreescu a succinctement présenté des discussions sur la limite Pliocène-Péistocene, discussions qui ont eu lieu au colloque d'URSS, présentant en même temps la manière dont ce problème doit se poser en Roumanie. Ce texte se trouve en annexe, à la fin de ce compte rendu.

A la fin furent présentés succinctement les résultats des discussions des micropaléontologues et repris les problèmes de stratigraphie discutés lors de la réunion. Les résultats de ces discussions sont consignés dans le tableau annexé. Il y a lieu de remarquer que ce tableau représente les recommandations résultées des discussions, pouvant constituer les points de départ pour des discussions futures.

Nous considérons qu'il nous revient la tâche de remercier au nom du Comité d'organisation à tous ceux qui ont collaboré pleins d'enthousiasme et désintéressés à mener à de bonnes fins cette Réunion.

Nous adressons nos remerciements aux dirigeants de l'Institut Géologique pour la sollicitude et l'appui accordés. Nous remercions tout particulièrement au Rectorat et au collectif de la Chaire de Géologie de l'Université de Cluj qui n'ont rien épargné pour nous venir en aide en s'assurant l'organisation et le déploiement en bonnes conditions de la Réunion à Cluj. Nous remercions également au groupe technique — dessinateurs, technorédacteurs et imprimeurs de l'institut Géologique autant qu'à la typographie „Informația — Bucarest pour la réalisation du guide de l'excursion.

#### Anexe no. 1

#### PROBLÈME DE LA LIMITÉ TERTIAIRE QUATERNAIRE. APERÇU SUR LES DISCUSSIONS DU COLLOQUE INTERNATIONAL D'URSS

TON ANDREESCU

Les points de vue exprimés par les chercheurs de tous les continents sur la position de la limite Néogène/Quaternaire ont été finalement séparés en trois groupes. A noter que les trois manières de tracer cette limite tiennent compte tout d'abord de l'évolution du monde organique. Prenant en considération l'évolution des faunes des mammifères une partie des



chercheurs acceptent la limite entre le Tertiaire et la Quaternaire à la partie basale du complexe Moldavien (il ne s'agit pas du Méotien supérieur, nommé aussi Moldavien, mais d'une formation située à la limite Pliocène—Péistocène) ce qui correspondrait approximativement à la base du Villafranchien inférieur d'Italie. Cependant la plupart des mammalogues considèrent que la partie inférieure du Moldavien est plus ancienne que le Villafranchien inférieur, étant située à la partie supérieure du Roussillon (= ? Osarnotien), et alors seule la partie supérieure du Moldavien (de Kotovina) correspondrait au Villafranchien inférieur. D'après cette opinion la limite inférieure du Quaternaire est tracée entre le Cimmérien supérieur (= Panticapéen) et le Kouyalkien inférieur (de Gouric) du bassin euxinique et entre la „Série de Balakany” et l'Aktchagylien du bassin caspique. Dans le bassin dacique, suivant ce point de vue la limite Tertiaire/Quaternaire passerait entre les couches supérieures à *Psilodon* (= Dacien supérieur = Parscovien) et les „couches à unionidés lisses et *Viviparus ex gr. bifarinatus*” (= Romanien). Pour cause les faunes mammifères de Berești et de Mălușteni parallélisables à celles des localités classique pour le Villafranchien inférieur de France et d'Italie (Viallette, Etouaires, Villafranca d'Asti), reviendraient au Pleistocene inférieur. Nous mentionnons que pour le moment cette manière de tracer la limite Tertiaire / Quaternaire n'a été adoptée que par un nombre réduit de chercheurs (K. V. Nikiforova, L. I. Aleksieva, P. Samson et P. Rădulescu etc.).

Une seconde proposition notamment celle de tracer la limite Néogène/Antropogène s'appuie principalement sur l'évolution des faunes à mollusques de la zone des bassins euxinique et caspique. Les promoteurs de cette idée tiennent également compte du refroidissement sensible et général du climat au cours du Mindélien. Donc cette limite devrait être tracée entre l'Aphéronien et la Bakinien, entre le Gouien et le Tschaoudien ainsi qu'entre les complexes de mammifères Tamanien et Tiraspolien. Elle correspondrait alors au début de la dernière époque de magnétisme normal (= Brunhes, il y a 0,69 mill. a.). Elle pourrait également correspondre à l'apparition de *Pithécanthropus*. La plupart des chercheurs soviétiques utilisent ce schéma qui, par ailleurs, est officiellement acceptée en U.R.S.S.

Enfin, conformément au troisième point de vue, embrassé par la plupart des participants étrangers au colloque d'URSS la limite Tertiaire/Quaternaire doit être tracée en tenant compte des principes de base de la stratigraphie qui recommandent que les séparations entre les unités chrono-

stratigraphiques soient faites à partir des modifications subies par la faune marine. Etant donné que l'Antropogène se caractérise par une altération profonde et répréhensible souvent du climat du globe terrestre il est à supposer que ces changements climatiques eussent nettement influencé l'évolution du monde organique continental autant que marin.

Les recherches effectuées ces dernières années attestent que la microfaune marine a été sensible aux changements climatiques qui ont affecté le globe terrestre. Ces changements se traduisent par la disparition de certains genres ou espèces et par l'apparition d'autres au cours du Calabrien, fait qui pourrait être utilisé pour tracer la limite Pliocène/Pliostocene à la partie basale de cet étage marin. Des principaux changements survenus parmi les microorganismes marins planétaires nous signalons la première apparition évoluée de l'espèce *Globorotalia truncatulinoides* synchrone à l'extinction totale de l'espèce *G. tosaensis*. La première espèce caractérise le Calabrien et la seconde les niveaux comparables au Piacenzien (= Plaisancien). Au début du Calabrien s'éteignent aussi la plupart des discoasterides, époque qui correspond approximativement à la limite entre la zone à *Discoaster brouweri* et la zone à *Gephyrocapsa caribeanica*.

La limite Tertiaire/Quaternaire, tracée de cette manière, c'est-à-dire à la partie basale du Calabrien, passe dans le domaine Ponto-Caspique entre l'Apchérien et l'Aktchagylien, entre le Gourien et le Kouyalnikien (ou entre le Gourien et le Poratien supérieur) ainsi qu'entre les complexes de mammifères Tamanien et Khaprovien. On estime que le Villafranchien moyen, ou au moins une partie de cette subdivision, reviendrait au Pliocène terminal. Ainsi tracée la limite Tertiaire/Quaternaire correspond au changement principal de la déclinaison magnétique (= Gilsa, il y a 1,79 m.a.) de l'époque Matuyama de magnétisme inverse. Par conséquence les corrélations à l'échelle planétaire sont sensiblement facilitées.

Etant donné qu'à l'heure actuelle l'on ne connaît pas exactement les équivalents continentaux du Calabrien (on admet pour le moment que celui-ci ne correspond qu'au Villafranchien supérieur et peut-être aussi à une partie de celui moyen) on a recommandé pour les 10 années suivantes d'étudier minutieusement le Calabrien de tous les points de vue afin de tenter une corrélation plus judicieuse avec les dépôts marins et continentaux du monde entier.

Tenant compte de ce point de vue on respecte d'une part les recommandations du 18<sup>e</sup> Congrès Géologique de Londres (1948) de tracer la limite Tertiaire/Quaternaire à la base d'un étage marin, respectivement le Calabrien, et d'autre part on écarte toute confusion venant du fait que les chercheurs avaient admis autrefois l'assertion Calabrien = Villafranchien.

On a également recommandé de ne maintenir le nom de Villafranchien que pour désigner les dépôts connus sous le nom de Villafranchien inférieur, dont le type a été établi à Villafranca d'Asti.

En ce qui concerne la Roumanie rappelons que jusqu'à l'heure actuelle bon nombre de ses chercheurs acceptent la limite Tertiaire/ Quaternaire à la partie basale des couches de Cândești, considérées équivalentes du Villafranchien moyen et supérieur vu les faunes de mammifères. Les recherches effectuées ces dernières années ont soulevé le problème selon lequel les couches de Cândești seraient plus comprises correspondant probablement aussi au Villafranchien inférieur. Dans le bassin dacique en considère que le dernier niveau à *Potomida lenticularis* marque la fin du Pliocène, fait qui correspondrait approximativement à la limite Poration inférieur/Poratien supérieur ainsi qu'à la limite d'entre les complexes à mammifères du Moldavien et du Khaprovien du domaine euxinique. On a également admis que les faunes à mammifères de Tulucești (Moldavie) et de Cernătești (Olténie) correspondent au Villafranchien moyen et peuvent partant être attribuées à la partie basale du Pléistocène inférieur. À l'avis de S a m s o n et R ā d u l e s c u (information orale) les faunes de Tulucești et de Cernătești correspondent à la faune de Montopoli (Astien terminal).

Dans le bassin dacique une position incertaine est celle des couches de Pleșcoi. Nous exprimons notre point de vue dans le tableau 1 où nous tentons de mettre d'accord les différentes opinions au sujet de la limite Tertiaire/ Quaternaire. Dans ce schéma nous avons placé la limite inférieure du Quaternaire de la zone de courbure des Carpates Orientales au dessus des couches de Pleșcoi notamment entre le dernier niveau à *Euxinicardium* et le premier niveau à *Bogatschewia sturi*, que nous avons identifié à la partie supérieure des couches de Pleșcoi. Il est bien connu que le niveau à *Bogatschewia sturi* marque la partie basale de l'Apchéronien reposant sur des couches équivalentes du Kouyalnikien supérieur d'Odesse. Or le contenu faunique des couches de Pleșcoi nous oblige, au niveau actuel de nos connaissances, à les paralléliser au Kouyalnikien supérieur de Krijanovka (Odesse), éventuellement aussi à la partie inférieure du Gourien. Il n'est pourtant pas exclu que, plus tard, tenant compte de la présence des Adaenés dans les couches de Pleșcoi nous recousidérons en quelque mesure la position stratigraphique de ces couches, les parallélisant à l'Apchéronien inférieur (?), voire même à une partie de celui moyen (?). Comparant les faunes à mollusques de l'Aktchagylien, du Kouyalnikien, du Gourien et de l'Apchéronien nous sommes à même de préciser que, exception faite pour les Adaenés, aucun genre des limnocoardiidés des couches de Pleșcoi n'ap-

proche des faunes apchéroniennes. D'autre part les représentants du genre *Euxinicardium* des couches de Pleșcoi rappellent en une certaine mesure ceux des couches de Kouyalnik d'Odessa.

La position des principaux gisements de mammifères fossiles du Pliocène supérieur et du Pléistocène inférieur du bassin dacique et les comparaisons avec ceux des localités types de France et d'Italie sont consignées dans le tableau.



## CUPRINS

### PALEOZOIC

1. Kräutner G., Mureșan M., Iliescu Violeta, Minzatu Silvia, Vijdea Eleonora, Tânăsescu Anca, Ionciuc Magdalena, Andăr Anca, Anastase S. Devonian-Carboniferul inferior epimetamorfic din Polana Rusă . . . . .	5
2. Mureșan M. Seria de Izvorul Mureș - o nouă formățiune paleozoică în Carpații Orientali . . . . .	65
3. Năstăseanu S. Notă preliminară privind Paleozoiul anchimetamorfic (formățiunea de Oslea) din Carpații Meridionali . . . . .	71

### MEZOZOIC

4. Nicolae I. Notă asupra vîrstei rocilor eruptivi din zona Cheile Turzii . . . . .	85
---	----

### NEOZOIC

5. Lebenzon C. Nannoplantonul calcaros din stratele de Podul Secul și orizontul bazal al gresiei de Fusari din valea Târcuța (cursul superior al văii Tarcăului) . . . . .	89
6. Lebenzon C. Nannoplantonul calcaros al depozitelor oligocene și miocene-inferioare din cursul superior al văii Tarcăului (valea Târcuța și valea Răchităș) . . . . .	101
7. Lubenescu Victoria, Gheorghian Doina. Observații biostratigrafice pe valea Rodului (vest de Sibiu) . . . . .	113
8. Lubenescu Victoria. Contribuții la studiul faunei badeniene din sud-vestul Transilvaniei (zona Sebeș-Alba-Cuț) . . . . .	121
9. Pavnotescu Viorica, Iliescu O., Radu A. Asociația faunistică de la Bella Sărătă - județul Caraș-Severin . . . . .	127
10. Rădulescu D. Considerații asupra cronologiei proceselor vulcanice neogene din munții Călimani, Gurghiu și Harghita . . . . .	135
11. Marinescu F.I., Gheorghian M. Informare asupra „Reuniunii a V-a grupului de lucru pentru Paratethys” — mai-iunie-1972, România . . . . .	143





## CONTENU

(Résumé)

### PALÉOZOÏQUE

1. Krautner G. II, Mureșan M., Iliescu Violeta, Minzatu Silvia Vijdea Eleonora, Tăndărescu Anca, Ioniciă Magdalena, Andăr Anca, Anastase S. Le Dévonien-Carbonifère inférieur épiméta- morphique de Poiana Rusă . . . . .	61
2. Mureșan M. Série d'Izvorul Mureș, une nouvelle formation paléozoïque dans les Carpates Orientales . . . . .	69
3. Năstăscău S. Note préliminaire concernant le Paléozoïque anéchimétamorphi- que (formation d'Oslea) des Carpates Méridionales . . . . .	83

### MÉSOZOÏQUE

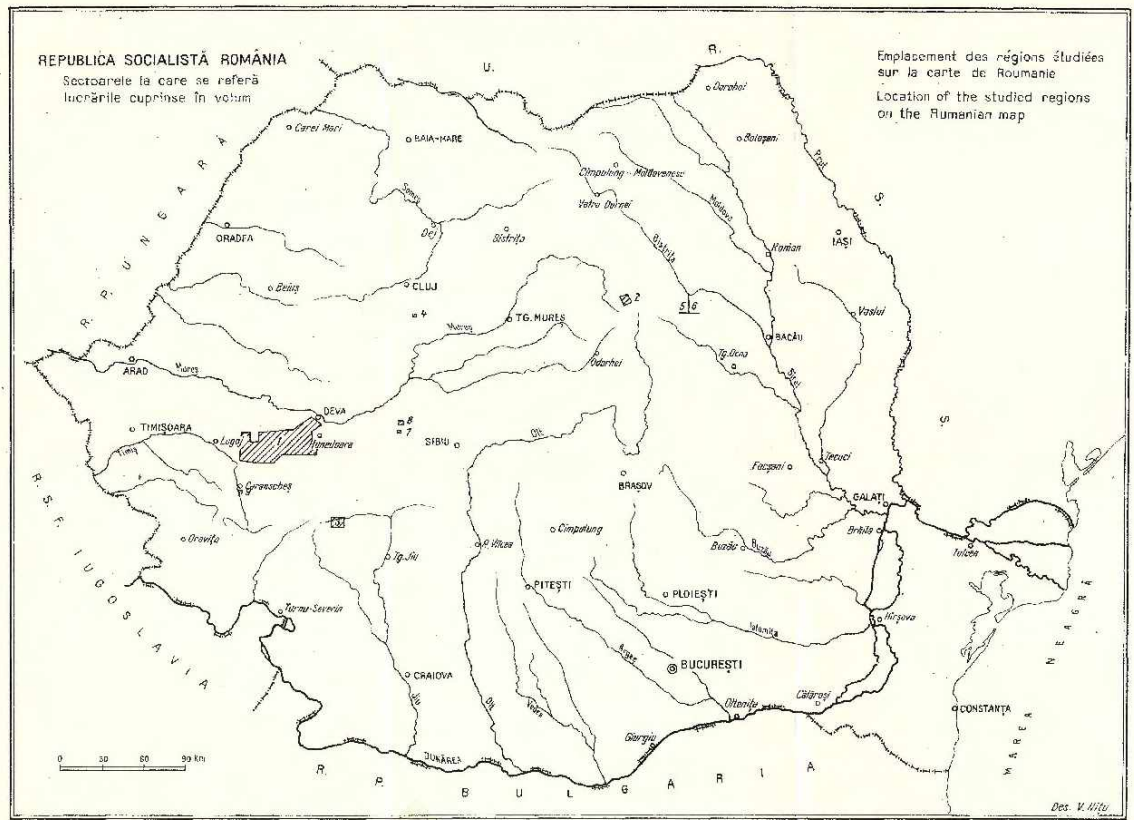
4. Nicotae L. Note sur l'âge des roches éruptives de la zone de Cheile Turzii . . . . .	88
---	----

### NÉOZOÏQUE

5. Lebenczon C. Le nannoplancton calcaire des couches de Padul Secul et de l'hor- izon basal du grès de Fusaru de la vallée de Târcuța (cours supérieur de la vallée du Tarcău) . . . . .	99
6. Lebenczon C. Le nannoplancton calcaire des dépôts oligocènes et miocènes inférieurs du cours supérieur de la vallée du Tarcău (vallées de Târcuța et de Răchită) . . . . .	110
7. Lubenescu Victoria, Gheorghian Doina. Remarques fauniques dans la vallée du Rodu (à l'W de Sibiu) . . . . .	118
8. Lubenescu Victoria. Contributions à l'étude de la faune badénienne du SW de la Transylvanie (zone de Sebeș Alba Cut) . . . . .	125
9. Pavnotescu Victoria, Iliescu O., Radu A. Association faunique tortonienne de Balta Sărata - district de Caraș-Severin . . . . .	132
10. Rădulescu D. Considérations sur la chronologie des processus volcaniques néogènes des Monts Călimani, Gurghiu et Marghita . . . . .	142
11. Marinescu F.I., Gheorghian M. Information sur la „Ve Réunion du Groupe de Travail pour la Paratéthys”, mai-juinie 1972 — Roumanie	161







**Redactor: MARGARETA FELTZ**  
**Tehnoredactor: GEORGETA BORLEA**  
**Traducător: MARGARETA ILALJEU, MARIANA SAULKA**  
**Ilustrație: V. NITU**

---

*Dat la editare: martie 1975. Bani de tipar: col. 1975. Tiraj: 1000 ex. Hările sereia  
I.A. Formaci 70 - 100/55 o. Colii de tipar: II.S. Comanda 027. Pentru biblioteci  
indicate de clasificare 55 (058).*

---

*Intreprinderă poligrafică „Informația” Str. Brezoianu nr. 23-25. București  
România*



**Institutul Geologic al României**

95503



Institutul Geologic al României

**Responsabilitatea asupra conținutului articolelor  
revine în exclusivitate autorilor**



Institutul Geologic al României

INSTITUT GEOLOGIQUE

COMPTES RENDUS DES SÉANCES

TOME LIX

1972

4. STRATIGRAPHIE



Institutul Geologic al României